

การพัฒนาการเข้ารหัสตามมาตรฐาน MPEG-1/Audio Layer1

โดยใช้ DSP 56009 EVM

MPEG-1/Audio Layer 1 by using DSP 56009 EVM



จัดทำโดย

นาย จิรยุทธ ชกทิส
นาย ชินเดช คารานวัฒน์
นาย ธิโนบล เซ็นภักดิ์

เลขหมู่.....
เลขทะเบียน..... 42289
วัน, เดือน, ปี 16 พ.ค. 2545

.b.....
.i.....

ปริญญาานิพนธ์นี้เป็นส่วนหนึ่งของการศึกษาตามหลักสูตรปริญญาวิศวกรรมศาสตรบัณฑิต
สาขาวิชาอิเล็กทรอนิกส์
คณะวิศวกรรมศาสตร์
สถาบันเทคโนโลยีพระจอมเกล้าเจ้าคุณทหารลาดกระบัง
ปีการศึกษา 2543

เอกสารนี้เป็นเอกสารที่สงวนไว้สำหรับการใช้งานเพื่อการศึกษาเท่านั้น ไม่อนุญาตให้นำไปใช้ประโยชน์ด้านการค้า
ไม่ว่ากรณีใดๆ ทั้งสิ้น อีกทั้งห้ามมิให้ตัดแปลงเนื้อหาและต้องอ้างอิงถึงเจ้าของเอกสารทุกครั้งที่มีการนำไปใช้

611201447

การพัฒนาการเข้ารหัสตามมาตรฐาน MPEG-1/AudioLayer1
โดยใช้ DSP 56009 EVM
MPEG-1/Audio Layer 1 by using DSP 56009 EVM



ปริญญานิพนธ์นี้เป็นส่วนหนึ่งของการศึกษาตามหลักสูตรปริญญาวิศวกรรมศาสตรบัณฑิต
สาขาวิชาอิเล็กทรอนิกส์
คณะวิศวกรรมศาสตร์
สถาบันเทคโนโลยีพระจอมเกล้าเจ้าคุณทหารลาดกระบัง
ปีการศึกษา 2543

เอกสารนี้เป็นเอกสารที่สงวนไว้สำหรับการใช้งานเพื่อการศึกษาเท่านั้น ไม่อนุญาตให้นำไปใช้ประโยชน์ด้านการค้า
ไม่ว่ากรณีใดๆ ทั้งสิ้น อีกทั้งห้ามมิให้ตัดแปลงเนื้อหาและต้องอ้างอิงถึงเจ้าของเอกสารทุกครั้งที่มีการนำไปใช้

รายงาน ภาคเรียนที่ 2 ปีการศึกษา 2543

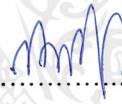
ภาควิชาอิเล็กทรอนิกส์

คณะวิศวกรรมศาสตร์ สถาบันเทคโนโลยีพระจอมเกล้าเจ้าคุณทหารลาดกระบัง

เรื่อง การพัฒนาการเข้ารหัสตามมาตรฐาน MPEG-1/Audio Layer 1 โดยใช้ DSP 56009 EVM

ผู้จัดทำ

นาย จิรยุทธ	ชกทิส	40010131
นาย ชินเดช	คารานูวัฒน์	40010184
นาย ธโนบล	เซ็นภักดี	40010308



..... อาจารย์ที่ปรึกษา

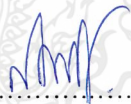
(ผศ.ดร.สมศักดิ์ ชุมช่วย)

เอกสารนี้เป็นเอกสารที่สงวนไว้สำหรับการใช้งานเพื่อการศึกษาเท่านั้น ไม่อนุญาตให้นำไปใช้ประโยชน์ด้านการค้า
ไม่ว่ากรณีใดๆ ทั้งสิ้น อีกทั้งห้ามมิให้ตัดแปลงเนื้อหาและต้องอ้างอิงถึงเจ้าของเอกสารทุกครั้งที่มีการนำไปใช้

เรื่อง การพัฒนาการเข้ารหัสตามมาตรฐาน MPEG-1/Audio Layer 1 โดยใช้ DSP 56009 EVM
MPEG-1/Audio Layer 1 by using DSP 56009 EVM

นาย จิรยุทธ์	ชคทิส	40010131
นาย ชินเดช	คารานูวัฒน์	40010184
นาย ธโนบล	เซ็นภักดี	40010308

โครงการนี้ได้รับการตรวจสอบแล้ว พร้อมทั้งจะทำการสอบได้


.....
(ผศ.ดร. สมศักดิ์ ชุมช่วย)

อาจารย์ที่ปรึกษา

เอกสารนี้เป็นเอกสารที่สงวนไว้สำหรับการใช้งานเพื่อการศึกษาเท่านั้น ไม่อนุญาตให้นำไปใช้ประโยชน์ด้านการค้า
ไม่ว่ากรณีใดๆ ทั้งสิ้น อีกทั้งห้ามมิให้ตัดแปลงเนื้อหาและต้องอ้างอิงถึงเจ้าของเอกสารทุกครั้งที่มีการนำไปใช้

กิตติกรรมประกาศ

งานชิ้นนี้สำเร็จลงได้ก็ด้วยความเอื้อเฟื้อและความอนุเคราะห์จากบุคคลหลายๆ ท่าน อาทิเช่น ผศ.ดร. สมศักดิ์ ชุมช่วย อาจารย์ที่ปรึกษาที่แสนใจดี ที่เอื้อเฟื้อหนังสือ และคำแนะนำต่างๆ เวลาที่พวกเรามีส่วนที่ไม่เข้าใจ ,อาจารย์สุรเดช ตรีไตรลักษณ์ ที่แนะนำหนังสือ ,พีต่อ พีโอ พีบัญญัติ พีบุย พีเทพ ที่เอื้อเฟื้อคอมพิวเตอร์เวลาที่เราไม่มีคอมใช้ และแนะนำ website ที่เกี่ยวข้อง , สันต์ เน ชาญ นื่อง หนุ่ม โต้้ง เพื่อนร่วมแก๊ง ที่คอยให้กำลังใจ และยังมีบุคคลอื่นๆอีก ที่ไม่ได้เอ่ยนามในที่นี้ ขอขอบคุณทุกๆท่านครับและท้ายที่สุดที่ขาดไม่ได้คือ ขอขอบคุณ คุณพ่อ คุณแม่ ที่ทำให้พวกเราเกิดมา และให้การศึกษาเลี้ยงดูอบรมอย่างดี จนพวกเราได้มาทำโปรเจ็คนี้

คณะผู้จัดทำ

เอกสารนี้เป็นเอกสารที่สงวนไว้สำหรับการใช้งานเพื่อการศึกษาเท่านั้น ไม่อนุญาตให้นำไปใช้ประโยชน์ด้านการค้า ไม่ว่ากรณีใดๆ ทั้งสิ้น อีกทั้งห้ามมิให้ตัดแปลงเนื้อหาและต้องอ้างอิงถึงเจ้าของเอกสารทุกครั้งที่มีการนำไปใช้

บทคัดย่อ

ในปัจจุบันนี้เทคโนโลยีทางด้านคอมพิวเตอร์เข้ามามีบทบาทในชีวิตประจำวันมาก ทั้งในด้านการใช้งานและความบันเทิง เช่น ด้านมัลติมีเดียทั้งทางภาพและเสียง ซึ่งเป็นการประมวลผลข้อมูลทางด้านดิจิทัลทั้งสิ้น ดังนั้นจึงได้มีผู้คิดค้นวิธีการต่างๆ เพื่อให้ข้อมูลภาพและเสียงเหล่านั้น ซึ่งเดิมที่มีขนาดใหญ่มากไม่สะดวกในการเก็บและส่งถ่ายข้อมูลนั้น ให้มีขนาดเล็กลงโดยบีบอัดข้อมูล ซึ่งหลังการบีบอัดข้อมูลนี้คุณภาพของภาพและเสียงก็เทียบใกล้เคียงเดิมก่อนการบีบอัดให้มากที่สุด แต่ในที่นี้เราจะสนใจแต่เสียงเพียงอย่างเดียว ซึ่งการบีบอัดสัญญาณเสียงทางดิจิทัลนี้จะสามารถทำให้เกิดการเก็บและการส่งถ่ายข้อมูลทางเสียงได้อย่างมีประสิทธิภาพ มีวิธีการในการบีบอัดข้อมูลเสียงนี้อยู่หลายวิธีแต่ละวิธีจะมีความซับซ้อนในการเข้ารหัสและถอดรหัสแตกต่างกันไป แตกต่างกันทางด้านคุณภาพของเสียงที่ได้ออกมาหลังการบีบอัด และแตกต่างกันทางด้านจำนวนของข้อมูลที่บีบอัดลงไป แต่ที่เราสนใจก็คือการบีบอัดแบบมาตรฐาน MPEG-1/Audio (ISO/IEC 11172-3) ซึ่งเป็นวิธีซึ่งมีความซับซ้อนมาก บีบอัดข้อมูลได้สูง และเป็นกระบวนการที่จะได้สัญญาณเสียงที่มีคุณภาพดี ซึ่งการบีบอัดข้อมูลนั้นจะมีทั้งการเข้ารหัสและการถอดรหัส แต่ที่เราจะสนใจคือการเข้ารหัสซึ่งจะเป็นกระบวนการเอาสัญญาณเสียงทางดิจิทัลมาบีบอัดให้เกิดข้อมูลที่มีขนาดเล็กลง(MPEG-1/Audio) หลังจากนั้นเราก็สามารถนำข้อมูลที่ถูบีบอัดนั้นผ่านกระบวนการถอดรหัสทำให้เกิดเป็นเสียงขึ้นมาได้ แต่ขอบเขตของวิทยานิพนธ์เล่มนี้เป็นการศึกษากระบวนการเข้ารหัสตามมาตรฐาน MPEG-1/Audio(ISO/IEC 11172-3) ทั้งหมดอย่างคร่าวๆ แต่จะเจาะลึกเฉพาะส่วนของ Filterbank, FFT และส่วนของ Psychoacoustics โดยทำการเขียนโปรแกรมภาษาแอสเซมบลี โดยใช้ Motorola DSP56000 Software Simulator Version 6.3.0 เพื่อจำลองการทำงานในส่วนของ Filterbank และ FFT แทนตัวบอร์ด Motorola 56009 EVM และได้เขียนโปรแกรมใน Matlab เพื่อจำลองกระบวนการทำงานในส่วนของ Psychoacoustics เพิ่มเติมด้วย

Abstract

Up to now, computers are becoming more and more important in our daily lives in the area of working, entertainments, etc. The multimedia, which means sound and images used " Digital Signal Processing" to process any instructions we desired.

A large number of developers gradually try to create lots of methods in order to compress those sound and image data to make them become smaller and smaller in size and significantly, the quality of the compressed data should be the same as the original one. In this report, we are interested in digital audio compression, which enables more efficient storage and transmission of audio data. The many forms of audio compressions techniques offer a range of encoder and decoder complexity, and differing amounts of data compression.

The MPEG/Audio standard is a high complexity, high compression and high audio quality algorithms. We have been studying all the MPEG-1/Audio encoding algorithms thoroughly and attempting to understand DSP56009 Evaluation Board produced by Motorola. Not only have we implemented Filterbank, the first part of the algorithms, in this semester, but also Fast Fourier Transform(FFT), one of the technics used to map time domain data into frequency domain data, and the last but not least part of our splendid project, Psychoacoustics, which determine the number of bits for the audio data, are done in the same fashion depicted in the standard as well.

By the way, we use Motorola DSP 56000 Software Simulator Version 6.3.0 instead of Motorola 56009 EVM for the convenience to check the data in the memory, register, etc. In addition, we have also used Matlab to simulate every algorithm stated above to assure that the stuff we have done is absolutely correct

ขอบเขตของโครงการ

วัตถุประสงค์ของโครงการ

ศึกษาและทำความเข้าใจมาตรฐาน MPEG-1/Audio (ISO/IEC 11172-3) เพื่อนำมาพัฒนาโปรแกรมเข้ารหัสสัญญาณเสียงแบบ PCM เพื่อให้ได้เอาต์พุตออกมาเป็นข้อมูลประเภท MPEG-1/Audio (ISO/IEC 11172-3) โดยการประยุกต์ใช้บอร์ด DSP56009EVM เพื่อนำอัลกอริทึมที่ศึกษาได้ไปพัฒนาชิป โดยใช้ภาษา VHDL ต่อไป

ขอบเขตของการปฏิบัติงาน

เป็นการศึกษากระบวนการเข้ารหัสตามมาตรฐาน MPEG-1/Audio(ISO/IEC 11172-3) ทั้งหมดอย่างคร่าวๆ แต่จะเจาะลึกเฉพาะส่วนของ Filterbank, FFT และส่วนของ Psychoacoustics โดยทำการเขียนโปรแกรมภาษาแอสเซมบลี โดยใช้ Motorola DSP56000 Software Simulator Version 6.3.0 เพื่อจำลองการทำงานในส่วนของ Filterbank และ FFT แทนตัวบอร์ด Motorola 56009 EVM และได้เขียนโปรแกรมใน Matlab เพื่อจำลองกระบวนการทำงานในส่วนของ Psychoacoustics เพิ่มเติมด้วย

ผลที่คาดว่าจะได้รับ

1. เข้าใจว่าทำไมต้องเกิดการบีบอัดข้อมูลตามมาตรฐาน MPEG-1/Audio (ISO/IEC 11172-3) และข้อดีของมัน

2. เข้าใจวิธีการในการเข้ารหัสตามมาตรฐาน MPEG-1/Audio (ISO/IEC 11172-3) ทั้งหมดอย่างคร่าวๆ แต่เข้าใจอย่างค่อนข้างลึกซึ้งในส่วนของฟิลเตอร์แบงก์, FFT และส่วนของ Psychoacoustics

3. ศึกษาในส่วนของ Filterbank, FFT และส่วนของ Psychoacoustics โดยทำการเขียนโปรแกรมภาษาแอสเซมบลี โดยใช้ Motorola DSP56000 Software Simulator Version 6.3.0 เพื่อจำลองการทำงานในส่วนของ Filterbank และ FFT แทนตัวบอร์ด Motorola 56009 EVM และได้เขียนโปรแกรมใน Matlab เพื่อจำลองกระบวนการทำงานในส่วนของ Psychoacoustics เพิ่มเติมด้วย

สารบัญ

	หน้า
บทคัดย่อ	I
Abstract	II
ขอบเขตของโครงการ	III
บทที่ 1 บทนำ	
ฟิลเตอร์แบงก์	2
แบบจำลองทางไซโคอคูสติก	2
การจัดสรรบิตหรือการจัดสรรเสียงรบกวน	2
ตัวจัดรูปแบบของบิตสตรีม	3
บทที่ 2 ความรู้พื้นฐานของสัญญาณเสียงดิจิทัล	4
2.1 การสุ่มตัวอย่างสัญญาณเชิงเวลาเต็มหน่วย	4
ทฤษฎีการสุ่มตัวอย่าง	4
2.2 การซ้อนทับกันของสัญญาณ	9
การป้องกันการซ้อนทับกันของสัญญาณ	10
2.3 การควอนไทซ์	12
2.4 Pulse Code Modulation	13
บทที่ 3 การบีบอัดข้อมูลแบบ MPEG/AUDIO	16
3.1 การบีบอัดสัญญาณอนาล็อกแบบ MPEG	16
MPEG/AUDIO Encoding and Decoding	17
Layer 1	18
Layer 2	19
Layer 3	19
บทที่ 4 ฟิลเตอร์แบงก์	21
Psychoacoustic	27
บทที่ 5 DSP 56009 Evaluation Module	39
หน่วยความจำภายนอก	39
ส่วนติดต่อกับผู้ใช้	39

เอกสารนี้เป็นเอกสารที่สงวนไว้สำหรับการใช้งานเพื่อการศึกษาเท่านั้น ไม่อนุญาตให้นำไปใช้ประโยชน์ด้านการค้า
ไม่ว่ากรณีใดๆ ทั้งสิ้น อีกทั้งห้ามมิให้ดัดแปลงเนื้อหาและต้องอ้างอิงถึงเจ้าของเอกสารทุกครั้งที่มีการนำไปใช้

	หน้า
ส่วนรับส่งข้อมูล	40
5.1 สถาปัตยกรรมภายในชิป DSP 56009 และ โครงสร้างบัส	40
5.1.1 Data Bus	41
5.1.2 Address Bus	41
5.1.3 Data ALU	41
Data ALU input register	42
MAC and Logic unit	42
Shifter and Limiter shifter	43
5.1.4 Address generation unit	43
Address register	44
Offset register	44
Modifier register	44
Address ALU	44
5.1.5 โปรแกรมคอนโทรลเลอร์	44
register	45
Program counter	45
Status register	45
Operating mode register	45
Loop address register	46
Loop address counter	46
System stack	46
Stack pointer register	46
สถาปัตยกรรมภายใน	47
Program decode control	47
Program address generator	47
Program interrupt controller	47
5.2 การจัดสรรหน่วยความจำของ DSP 56009	48
5.3 DSP 5603 Data and program memory	49
ข้อมูลหน่วยความจำถาวร X	49

เอกสารนี้เป็นเอกสารที่สงวนไว้สำหรับการใช้งานเพื่อการศึกษาเท่านั้น ไม่อนุญาตให้นำไปใช้ประโยชน์ด้านการค้า
ไม่ว่ากรณีใดๆ ทั้งสิ้น อีกทั้งห้ามมิให้ตัดแปลงเนื้อหาและต้องอ้างอิงถึงเจ้าของเอกสารทุกครั้งที่มีการนำไปใช้

	หน้า
ข้อมูลหน่วยความจำถาวร Y	49
โปรแกรม ROM	49
บูทสแต็ปรอม	49
ตำแหน่งหน่วยความจำที่สงวนไว้	49
5.4 โหมดการอ้างอิงหน่วยความจำแบบใช้รีจิสเตอร์ทางอ้อม	50
No update	50
Post increment by 1	50
Post decrement by 1	51
Post increment by offset Nn	50
Post decrement by offset Nn	50
Index by offset Nn	50
Pre decrement by 1	50
5.5 รูปแบบการปรับค่าอ้างอิงหน่วยความจำ	51
Linear modifier	51
Modulo modifier	51
Reverse – carry modifier	55
บทที่ 6 Peripheral section	56
6.1 External memory interface (EMI)	56
6.2 Serial audio interface (SAI)	61
6.3 Serial host interface (SHI)	66
บทที่ 7 Software algorithms	72
Poly phase filter bank algorithm	72
FFT Algorithm	74
Function logarithm base 10 algorithm	76
บทที่ 8 วิเคราะห์ผลการทดลองและสรุปผล	78
ภาคผนวก ก รายละเอียดของชุดคำสั่งของชิป DSP 56009	
ภาคผนวก ข โปรแกรมการเข้ารหัสในส่วนของ Filterbank, FFT	
บรรณานุกรม	

สารบัญรูปภาพ

	หน้า
รูปที่ 1.1 ส่วนที่เริ่มแรกของกระบวนการทำงานทางไซโคอะคูสติก	1
รูปที่ 2.1 ตัวอย่างของการสุ่มตัวอย่างเชิงเวลาเต็มหน่วย	6
รูปที่ 2.2 ผลของการแซมปลิงสัญญาณที่มีแถบความถี่จำกัด และการสร้างขึ้นมาใหม่ขึ้นมาใหม่	8
รูปที่ 2.3 ตัวอย่างการซ้อนทับกันของสัญญาณ	9
รูปที่ 2.4 ความสัมพันธ์ระหว่างความถี่ซ้อนทับกับความถี่สัญญาณอินพุท	11
รูปที่ 2.5 ตัวอย่างการมอดูเลทแบบต่างๆ	14
รูปที่ 2.6 ตัวอย่างของ Pulse-Parameter Modulation	15
รูปที่ 3.1 MPEG/Audio compression and decompression	18
รูปที่ 3.2 แถบความถี่ที่ได้จาก Filter bank เทียบกับแถบความถี่วิกฤติ	20
รูปที่ 4.1 การสร้าง MPEG/Audio encoder filter bank	21
รูปที่ 4.2 Flow diagram of MPEG/Audio encoder filter bank	22
รูปที่ 4.3 การเปรียบเทียบระหว่าง $h[n]$ และ $c[n]$	24
รูปที่ 4.4 ผลตอบสนองความถี่ของตัวกรอง โปรโตไทป์	25
รูปที่ 4.5 การซ้อนทับกันของผลตอบสนองทางความถี่ ระหว่าง 2 แถบความถี่ย่อยที่ใกล้กัน	26
รูปที่ 4.6 Robinson – Danson Curve	27
รูปที่ 4.7 รูปแบบอย่างง่าย ๆ ของหูมนุษย์	28
รูปที่ 4.8 ตัวอย่าง Critical Band	29
รูปที่ 4.9 Absolute Threshold and Masking Threshold	30
รูปที่ 4.10 Masking Curve ของความถี่ต่างๆ	31
รูปที่ 4.11 จุดเริ่มการบดบังที่ระดับพลังงานต่างๆกัน	32
รูปที่ 4.12 การลดจำนวนบิตเรท	33
รูปที่ 4.13 noise level ที่เกิดจากการ quantize	35
รูปที่ 4.14 เสียงที่ไม่ได้ยินจะไม่ถูกโค้ด	36
รูปที่ 4.15 Bit Allocation	37

เอกสารนี้เป็นสาธารณสมบัติของสถาบันเทคโนโลยีพระจอมเกล้าเจ้าคุณทหารลาดกระบัง ไม่อนุญาตให้นำไปใช้ประโยชน์ด้านการค้า

ไม่ว่ากรณีใดๆ ทั้งสิ้น อีกทั้งห้ามมิให้ดัดแปลงเนื้อหาและต้องอ้างอิงถึงเจ้าของเอกสารทุกครั้งที่มีการนำไปใช้

	หน้า
รูปที่ 5.2 Data ALU Block Diagram	42
รูปที่ 5.3 MAC Unit	43
รูปที่ 5.4 Address Generation Unite	44
รูปที่ 5.5 Program Controller Block Diagram	45
รูปที่ 5.6 Status Register	45
รูปที่ 5.7 Operating Mode Register	46
รูปที่ 5.8 Stack Pointer Register	46
รูปที่ 5.9 Memory Map แบบต่างๆ	47
รูปที่ 5.10 Circular Buffer	51
รูปที่ 5.11 Linear addressing with a modulo modifier	52
รูปที่ 5.12 Modulo Modifier Example	53
รูปที่ 6.1 EMI Programming Model	57
รูปที่ 6.2 EMI Refresh Control Register	58
รูปที่ 6.3 EMI Control/Status Register	59
รูปที่ 6.4 EMI Address Generation Block Diagram	59
รูปที่ 6.5 Data – Delay Structure	61
รูปที่ 6.6 SAI Baud rate Generator Block Diagram	62
รูปที่ 6.7 SAI Receive Section Block Diagram	62
รูปที่ 6.8 SAI Transmit Section Block Diagram	63
รูปที่ 6.9 SAI Programming Model	64
รูปที่ 6.10 Baud rate Control Register	64
รูปที่ 6.11 Receive Control/Status Register	65
รูปที่ 6.12 Transmit Control/Status Register	66
รูปที่ 6.13 Serial Host Interface Block Diagram	67
รูปที่ 6.14 SHI I/O Shift Register	68
รูปที่ 6.15 SHI Slave Address Register and SHI Clock Control Register	69
รูปที่ 6.16 SHI Control/Status register	70
รูปที่ 6.17 Characteristics of SPI Bus	70
รูปที่ 6.18 I ² C Bus Characteristic	71

	หน้า
รูปที่ 7.1 Flow Diagram ของ Program Polyphase Filter bank	73
รูปที่ 7.2 FFT Flow Diagram	75
รูปที่ 7.3 Flow Diagram ของฟังก์ชัน logarithm ฐาน 10	77
รูปที่ 8.1ก – 8.17 แสดงผลการทดลองเมื่อป้อนความถี่อินพุทขนาด 0.002,10kHz	79-90
รูปที่ 8.18ก – 8.34 แสดงผลการทดลองเมื่อป้อนความถี่อินพุทขนาด 0.003,1kHz 0.002,10kHz และ 0.001,11kHz	91 - 102



บทที่ 1

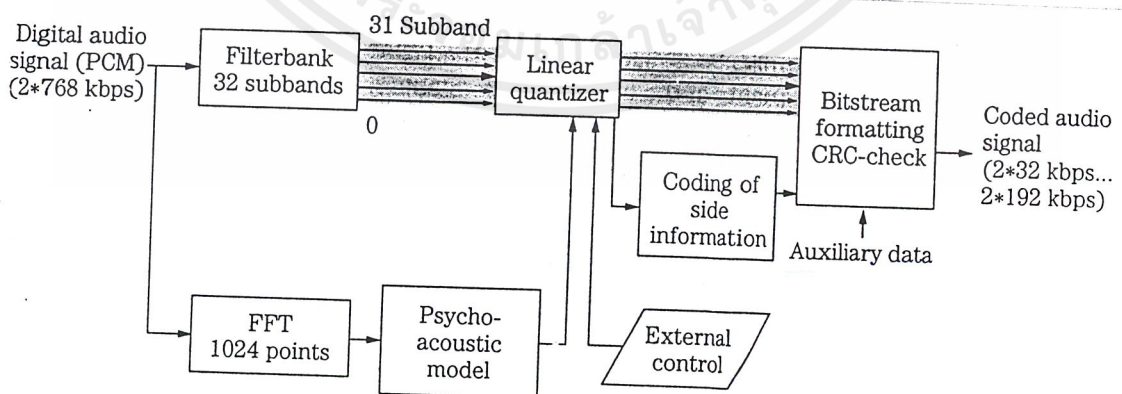
บทนำ

การติดต่อสื่อสารผ่านระบบดิจิทัลได้มีบทบาทมากขึ้นในปัจจุบันแต่เนื่องจากข้อจำกัดของระบบบางประการเมื่อระบบมีขนาดใหญ่ขึ้น เช่น ความกว้างแถบส่งสัญญาณ (Bandwidth) ของระบบเดิมมีขนาดจำกัด , ปริมาณหน่วยความจำที่จะต้องใช้มากขึ้นเมื่อมีผู้ใช้เพิ่มขึ้น ซึ่งถ้าเราสามารถหาวิธีการที่จะลดปริมาณข้อมูลภายในระบบลงได้นั้นหมายถึงต้นทุนของระบบจะลดลงตามไปด้วย

การบีบอัดข้อมูลเสียงมีความสำคัญมากสำหรับการติดต่อสื่อสารผ่านระบบดิจิทัลในปัจจุบัน ยกตัวอย่างเช่น โทรศัพท์มือถือ เครื่องถ่ายอินเตอร์เน็ต เป็นต้น เนื่องด้วยในการถ่ายโอน (Transfer) ข้อมูลเสียงปริมาณมาก ๆ จำเป็นจะต้องใช้หน่วยความจำและระยะเวลาจำนวนมาก

ปัจจุบันได้มีการนำเอาวิธีการบีบอัดข้อมูลเสียงแบบต่างๆมาเพื่อลดปริมาณหน่วยความจำ โดยที่ความผิดพลาด (Error) ของข้อมูลเสียงนั้นจะต้องอยู่ในระดับที่สามารถยอมรับได้ วิธีการหนึ่งก็คือ การบีบอัดข้อมูลแบบ MPEG-Audio (Motion Picture Expert Group - Audio) ตามมาตรฐาน ISO/IEC 11172-3 โดยนำหลักการของความสามารถทางการได้ยินของมนุษย์ (Psychoacoustic) มาเป็นตัวตัดสินใจว่าจะลดข้อมูลส่วนใดลงได้บ้าง

กระบวนการทำงานของไซโคอะคูสติก (Psychoacoustic) รูปที่ 1.1 แสดงส่วนเริ่มแรกของกระบวนการทำงานทางไซโคอะคูสติก



รูปที่ 1.1 ส่วนเริ่มแรกของกระบวนการทำงานทางไซโคอะคูสติก

เอกสารนี้เป็นเอกสารที่สงวนไว้สำหรับการใช้งานเพื่อการศึกษาเท่านั้น ไม่อนุญาตให้นำไปใช้ประโยชน์ด้านการค้า ไม่ว่ากรณีใดๆ ทั้งสิ้น อีกทั้งห้ามมิให้ตัดแปลงเนื้อหาและต้องอ้างอิงถึงเจ้าของเอกสารทุกครั้งที่มีการนำไปใช้

ที่ส่วนเริ่มแรกของตัวเข้ารหัสแบบไฮโคอะคูสติกคือ

1. ฟิเตอร์แบงก์ (Filterbank)

ฟิเตอร์แบงก์เป็นการเปลี่ยนแปลงสัญญาณจากโดเมนเวลาเป็น โดเมนความถี่ มีฟิเตอร์แบงก์อยู่ 2 ชนิดที่ใช้ในกระบวนการทำงานของ ISO/IEC 11172-3 (MPEG – Audio) คือ โพลีเฟสฟิเตอร์แบงก์ (Polyphase filterbank) และ ไฮบริดจ์โพลีเฟส/MDCT ฟิเตอร์แบงก์ (Hybrid polyphase/MDCT filterbank) แต่ละชนิดจะมีการเปลี่ยนแปลงสัญญาณโดยเฉพาะของมันเอง ในโดเมนเวลาและโดเมนความถี่ ฟิเตอร์แบงก์เหล่านี้เป็น critically sampled (ตัวอย่างเช่น มีจำนวนตัวอย่างที่สุ่มออกมาในโดเมนที่วิเคราะห์อยู่เท่ากับในโดเมนเวลา) ฟิเตอร์แบงก์เหล่านี้จะเป็นการจัดแบ่งความถี่ในขั้นต้นเมื่อใช้ในตัวเข้ารหัส และจะเป็นตัวกรองสำหรับการสร้างสัญญาณขึ้นมาใหม่เมื่อใช้ในตัวถอดรหัส ตัวอย่างที่ออกมาจากฟิเตอร์แบงก์ จะถูกนำมาควอนไทซ์(Quantize)

2. แบบจำลองทางไฮโคอะคูสติก (The psychoacoustic model)

แบบจำลองทางไฮโคอะคูสติกเป็นการคำนวณหาระดับของเสียงรบกวนที่สามารถสังเกตเห็นได้สำหรับในแต่ละแถบความถี่ที่เกิดในตัวฟิเตอร์แบงก์ ระดับของสัญญาณรบกวนเหล่านี้จะถูกใช้ในการจัดสรรทางบิต (Bit allocation) หรือ การจัดสรรทางเสียงรบกวน (noise allocation) เพื่อเป็นตัวกำหนดว่าจะใช้ตัวควอนไทซ์ที่แท้จริง (Actual Quantizers) และระดับของตัวควอนไทซ์ (Quantizer levels) จะมีรูปแบบจำลองทางไฮโคอะคูสติกอยู่ 2 แบบ คือ แบบที่ 1 และแบบที่ 2 ซึ่งแบบที่ 1 นั้นจะใช้ในเลเยอร์ 1 และ เลเยอร์ 2 ส่วนแบบที่ 2 นั้นจะใช้ในเลเยอร์ 3 ไฮโคอะคูสติกทั้งสองแบบนี้ผลที่ได้ออกมาตอนท้ายสุดก็คืออัตราส่วนระหว่างสัญญาณจริงๆ กับสัญญาณที่ถูกบดบังไว้ (Signal-to-mask ratio--SMR) สำหรับแต่ละแถบความถี่ (ในเลเยอร์ 1 และ 2) หรือ สำหรับในกลุ่มของแถบความถี่ (ในเลเยอร์ 3)

3. การจัดสรรบิตหรือการจัดสรรเสียงรบกวน (Bit or noise allocation)

ตัวที่ใช้จัดสรร (allocator) จะดูผลทั้งตัวอย่างที่ออกมาจากฟิเตอร์แบงก์ และผลที่ได้ออกมาจากแบบจำลองทางไฮโคอะคูสติก (SMR) แล้วนำผลทั้งนี้มาปรับเปลี่ยนการจัดสรรทางบิต (เลเยอร์ 1 และ 2) หรือ ปรับเปลี่ยนการจัดสรรทางเสียงรบกวน (เลเยอร์ 3) เพื่อให้ได้ทั้งอัตราการส่งข้อมูลแบบบิตและการบดบัง (masking) ตามความต้องการอย่างพร้อมกันทั้งสองอย่าง

4. ตัวจัดรูปแบบของบิตสตรีม (The Bitstream formatter)

ตัวจัดรูปแบบของบิตสตรีมจะนำเอาเอาท์พุทที่ควอนไทซ์แล้วหลังออกมาจากฟิลเตอร์เบงก์ พร้อมกับค่าการจัดสรรทางบิต(เลขอร์ 1 และ 2) หรือ การจัดสรรทางเสียงรบกวน(เลขอร์ 3) และข้อมูลรอบข้างต่างๆ ที่จำเป็นมาใช้ จากข้อมูลทั้งหมดที่กล่าวมาจะนำไปเข้ารหัสและจัดรูปแบบข้อมูลเหล่านั้นในแนวทางที่มีประสิทธิภาพ ซึ่งในกรณีของเลขอร์ 3 ที่จุดนี้จะนำเอาฮัฟแมน โค้ด (Huffman codes) มาใช้



เอกสารนี้เป็นเอกสารที่สงวนไว้สำหรับการใช้งานเพื่อการศึกษาเท่านั้น ไม่อนุญาตให้นำไปใช้ประโยชน์ด้านการค้าไม่ว่ากรณีใดๆ ทั้งสิ้น อีกทั้งห้ามมิให้ตัดแปลงเนื้อหาและต้องอ้างอิงถึงเจ้าของเอกสารทุกครั้งที่มีการนำไปใช้

บทที่ 2

ความรู้พื้นฐานของสัญญาณเสียงดิจิทัล (Digital Audio)

2.1 การสุ่มตัวอย่างสัญญาณเชิงเวลาเต็มหน่วย (Discrete Time Sampling)

การสุ่มตัวอย่างสัญญาณเชิงเวลาเต็มหน่วย เป็นกลไกที่มีความจำเป็นซึ่งได้อธิบายระบบสัญญาณเสียงทางดิจิทัล, เปลี่ยนสัญญาณอนาลอกเป็นสัญญาณดิจิทัล และเป็นตัวแบ่งแยกสัญญาณดิจิทัลออกจากระบบอนาลอก

การสุ่มตัวอย่างสัญญาณเป็นกระบวนการที่ไม่เกิดการสูญเสีย ถ้าสัญญาณที่เข้ามามีสภาวะที่เหมาะสม เราจะสังเกตได้ว่าสัญญาณที่มีผลตอบสนองทางความถี่จำกัดจะสามารถถูกสุ่มตัวอย่างสัญญาณออกมาโดยปราศจากการสูญเสียของข้อมูลนั้น สัญญาณที่ถูกสุ่มตัวอย่างออกมาจะประกอบด้วยข้อมูลทั้งหมดที่บรรจุอยู่ในสัญญาณเริ่มแรกที่เข้ามา เราสามารถสร้างสัญญาณที่เข้ามาตอนแรกได้ใหม่จากสัญญาณที่ถูกสุ่มตัวอย่างขึ้นมา โดยทั่วไปแล้ว เราจะสังเกตได้ว่ามีวิธีสำหรับสร้างสัญญาณขึ้นมาใหม่จากขนาดค่าขนาด (Amplitude) ซึ่งเกิดที่จุดซึ่งห่างเท่าๆ กัน ในโดเมนเวลา

ทฤษฎีการสุ่มตัวอย่าง

ทฤษฎีการสุ่มตัวอย่างที่นิยมใช้กันอย่างแพร่หลาย ในวงการวิศวกรรมในปัจจุบันคือ ทฤษฎีของไนควิสต์ (Nyquist Theorem) ซึ่งทฤษฎีนี้มีเนื้อหาว่า สัญญาณที่มีแถบความถี่จำกัด (Bandlimited) ซึ่งต่อเนื่อง สามารถถูกทดแทนได้ด้วยลำดับที่ถูกสุ่มตัวอย่างออกมาเป็นค่าๆ โดยปราศจากการสูญเสียข้อมูลใดๆ และยังอธิบายด้วยว่าสัญญาณเริ่มแรกที่เข้ามาสามารถสร้างขึ้นมาใหม่จากตัวอย่างที่สุ่มมาได้อย่างไร ยิ่งไปกว่านั้นทฤษฎีนี้จะเจาะจงลงไปด้วยว่าความถี่ของการสุ่มตัวอย่าง (Sampling Frequency) ต้องมีค่าอย่างน้อยที่สุด 2 เท่าของความถี่ที่สูงที่สุดของสัญญาณที่นำมาสุ่มตัวอย่าง (Signal Frequency) ซึ่งเขียนเป็นสมการได้คือ

$$F_s \geq 2F_a$$

F_s = ความถี่ของการสุ่มตัวอย่าง (Sampling Frequency)

F_a = ความถี่ที่สูงที่สุดของสัญญาณที่นำมาสุ่มตัวอย่าง (Signal Frequency)

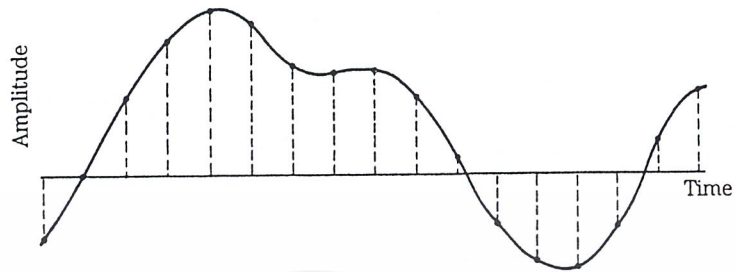
ทฤษฎีการสุ่มตัวอย่างข้างต้นสามารถนำมาใช้กับสัญญาณเสียง สัญญาณเสียงที่เข้ามาจะถูกกรองความถี่ต่ำผ่าน (Lowpass filtered) ดังนั้นมันจะถูกจำกัดแถบความถี่ด้วยผลตอบสนองความถี่ทั้งหมดซึ่งต่ำกว่าความถี่ไนควิสต์ ในทางอุดมคตินั้นตัวกรองจะถูกออกแบบโดยจะมีเพียงสัญญาณที่ความถี่สูงซึ่งมีค่าสูงกว่าความถี่สูงสุดที่มนุษย์จะสามารถได้ยินนั้นถูกกรองออกไป ตอนนี้สัญญาณก็สามารถที่จะถูกสุ่มซึ่งจะเป็นการกำหนดค่าขนาดของสัญญาณที่จุดนั้นๆ ตัวอย่างที่สุ่มมาได้จาก

เอกสารนี้เป็นเอกสารที่จัดทำขึ้นเพื่อใช้ในการเรียนการสอนเท่านั้น ไม่สามารถนำออกจำหน่ายหรือทำซ้ำโดยไม่ได้รับอนุญาต หากมีข้อผิดพลาดประการใดขออภัยเป็นอย่างสูง

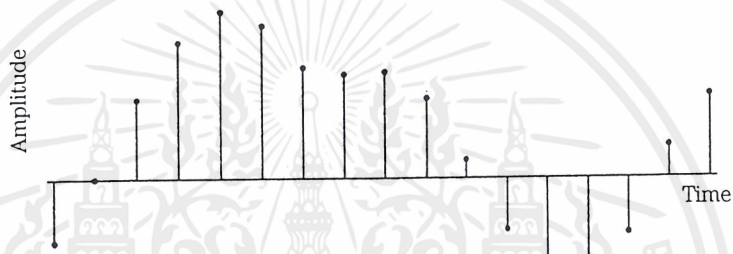
สัญญาณที่มีแถบความถี่จำกัดนี้จะประกอบด้วยข้อมูลเดียวกันกับสัญญาณที่มีแถบความถี่จำกัดซึ่งไม่ได้ถูกสุ่มตัวอย่าง ที่เอาท์พุทของระบบ สัญญาณจะสามารถถูกสร้างขึ้นใหม่และจะไม่มีการสูญเสียข้อมูล(จากการสุ่มตัวอย่าง) เมื่อเปรียบเทียบระหว่างสัญญาณเอาท์พุทและสัญญาณอินพุทที่ถูกกรองแล้ว จากคุณสมบัตินี้ของการสุ่มตัวอย่างสัญญาณเอาท์พุทที่ได้ออกมาไม่เป็นการประมาณค่า แต่จะเป็นค่าที่ถูกต้องแน่นอน สัญญาณที่มีแถบความถี่จำกัดจะถูกสร้างอีกครั้งหนึ่งดังแสดงได้ในรูปที่ 2.1

พิจารณาการเปลี่ยนแปลงอย่างต่อเนื่องของสัญญาณอนาลอกนั้นจะเห็นได้ว่าจะถูกสุ่มตัวอย่างเพื่อสร้างอนุกรมของพัลส์ ขนาดของแต่ละพัลส์เมื่อผ่านการ quantized แล้วจะได้ผลออกมาเป็นตัวเลขซึ่งแทนขนาดของสัญญาณในขณะนั้น เพื่อที่จะแก้ไขสถานการณ์นี้เรากำหนดให้ความถี่ของการสุ่มตัวอย่างเป็นจำนวนของตัวอย่างที่สุ่มได้ต่อวินาที ยกตัวอย่างเช่น ถ้าความถี่ของการสุ่มตัวอย่างคือ 40,000 ตัวอย่างต่อวินาที ซึ่งเหมือนกับการบอกว่าสุ่ม 1 อย่างในเวลา 1/40,000 วินาที การเปลี่ยนรูปแบบสัญญาณอย่างรวดเร็วนั้นจำเป็นต้องการความถี่ในการสุ่มตัวอย่างสัญญาณที่สูงขึ้น ดังนั้นความถี่ในการสุ่มตัวอย่างของระบบทางดิจิทัลเป็นตัวกำหนดขอบเขตความถี่สูงของระบบ การเลือกความถี่ในการสุ่มตัวอย่างนั้นเป็นสิ่งสำคัญที่สุดในการออกแบบระบบทางดิจิทัล เพราะว่ามันจะเป็นตัวช่วยกำหนดแถบความถี่กว้างของความถี่ (Bandwidth) ของระบบ

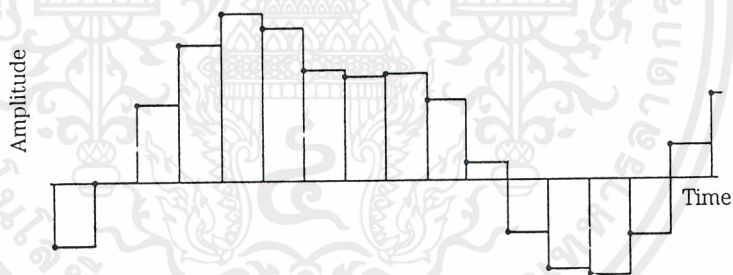
ถ้าเรากำหนดความถี่ในการสุ่มตัวอย่างเป็น S ตัวอย่างต่อวินาที มันจำเป็นต้องแทนรูปแบบสัญญาณได้อย่างสมบูรณ์ด้วยแถบความถี่กว้างของความถี่ คือ $S/2$ Hz ในทางกลับกันความถี่ในการสุ่มตัวอย่างต้องมีค่าน้อยที่สุด คือ 2 เท่าของความถี่ที่สูงที่สุดของสัญญาณเสียงเพื่อที่จะได้เกิดการสุ่มตัวอย่างแบบไม่เกิดการสูญเสีย ตัวอย่างเช่น สัญญาณเสียงจะมีผลตอบสนองทางความถี่ตั้งแต่ 0 Hz ถึง 20 KHz ซึ่งจากทฤษฎีที่กล่าวมาแล้วต้องการความถี่ในการสุ่มตัวอย่างเริ่มต้นที่ 40 KHz จะสังเกตเห็นได้ว่าขอบเขตของทฤษฎีการสุ่มตัวอย่างนั้นจะทำการจำกัดความถี่ของสัญญาณที่เข้ามาไม่ให้มากกว่าครึ่งหนึ่งของความถี่ในการสุ่มตัวอย่าง (ความถี่ในควิซท์) ความถี่ของสัญญาณเสียงที่มีความถี่มากกว่าที่กล่าวไปนั้นจะเป็นสาเหตุที่ทำให้เกิดการเอเลียส(aliasing) ขึ้น ซึ่งจะอธิบายความหมายของคำว่าเอเลียสในบทนี้ ตัวกรองความถี่ต่ำผ่านจะถูกใช้ก่อนหน้าวงจรการสุ่มตัวอย่างเพื่อที่จะกำจัดความถี่ที่มีค่ามากกว่าครึ่งหนึ่งของความถี่ในการสุ่มตัวอย่าง ตัวกรองความถี่ต่ำผ่านก็จะถูกติดตั้งไว้ที่เอาท์พุทของระบบสัญญาณเสียงทางดิจิทัลเพื่อที่จะกำจัดความถี่สูงที่ถูกสร้างขึ้นมาจากภายในระบบ ตัวกรองนี้จะทำการสร้างสัญญาณเริ่มต้นที่เข้ามาขึ้นมาใหม่ ซึ่งจะได้กล่าวในรายละเอียดในภายหลัง



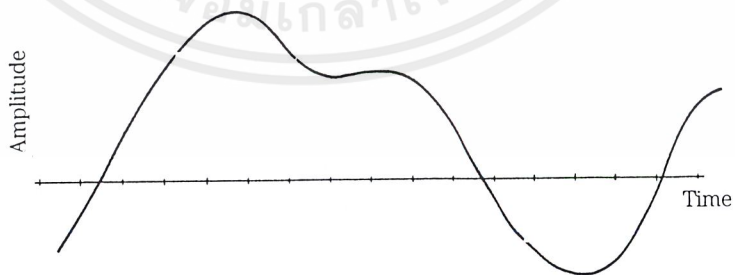
A The input analog signal is sampled.



B The numerical values of these samples are stored or transmitted (effect of quantization not shown).



C Samples are held to form a staircase representation of the signal.



D An output lowpass filter interpolates the staircase to reconstruct the input waveform.

รูปที่ 2.1 ด้วยการสุ่มตัวอย่างเชิงเวลาเต็มหน่วยจะทำให้สัญญาณที่มีแถบความถี่จำกัดสามารถ

สุ่มตัวอย่างและสร้างขึ้นใหม่โดยปราศจากการสูญหายของข้อมูล

เอกสารนี้เป็นเอกสารที่สงวนไว้สำหรับการใช้งานเพื่อการศึกษาเท่านั้น ไม่อนุญาตให้นำไปใช้ประโยชน์ด้านการค้า

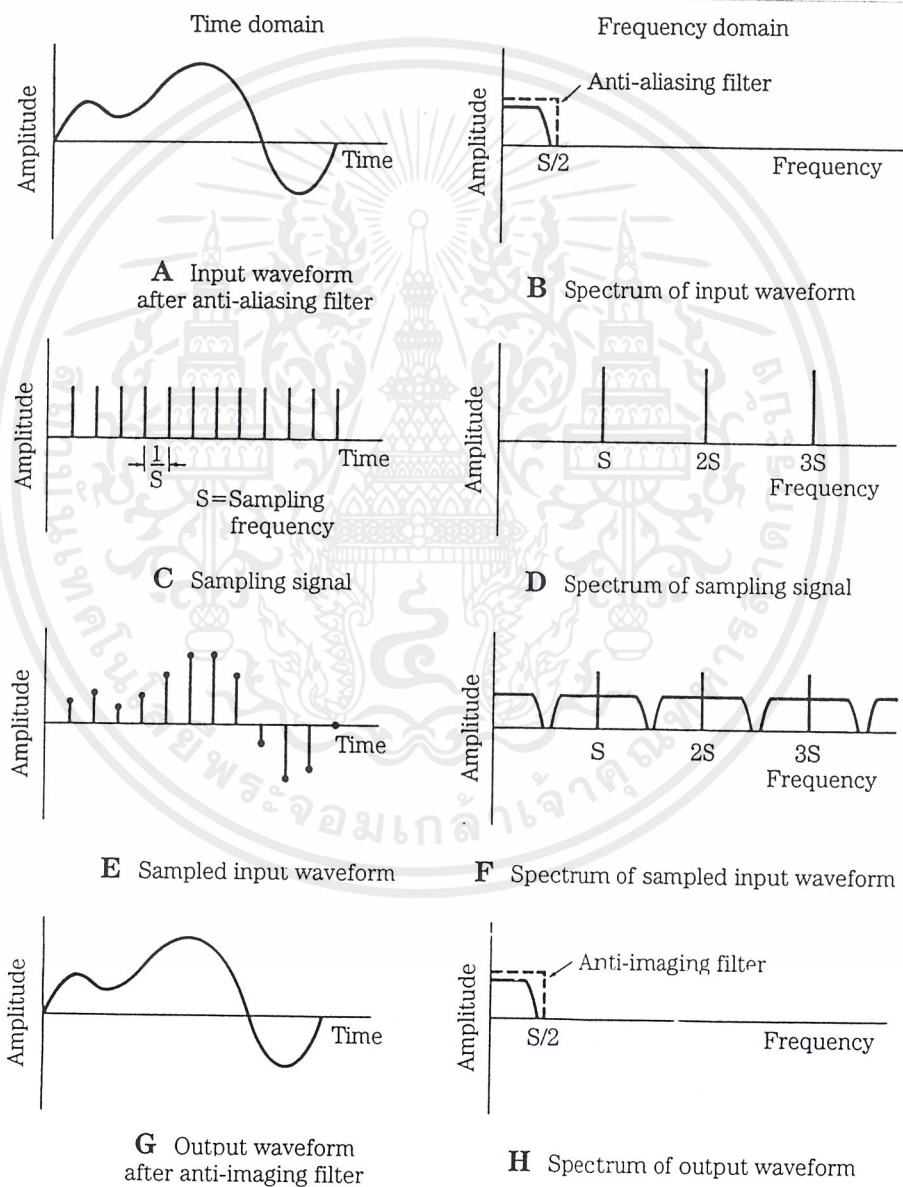
ไม่ว่ากรณีใดๆ ทั้งสิ้น อีกทั้งห้ามมิให้ตัดแปลงเนื้อหาและต้องอ้างอิงถึงเจ้าของเอกสารทุกครั้งที่มีการนำไปใช้

เราจะสังเกตได้ว่าที่ความถี่ต่างๆ ของสัญญาณเสียงจะถูกสุ่มตัวอย่างได้อย่างง่ายดาย เพราะที่ความถี่ต่ำจะมีความยาวคลื่นยาวกว่าที่ความถี่สูง จะพบว่ามีตัวอย่างที่ถูกสุ่มออกมาและพร้อมที่จะแสดงถึงค่าในแต่ละคาบ แต่เมื่อความถี่ของสัญญาณเสียงสูงขึ้นจะพบว่าคาบนั้นสั้นลงและมีจำนวนตัวอย่างที่ถูกสุ่มออกมาต่อคาบน้อยกว่า ท้ายที่สุดจะเห็นได้ว่ากรณีของขอบเขตทางทฤษฎีของ critical sampling ที่ความถี่ของสัญญาณเสียงซึ่งเป็นครึ่งหนึ่งของความถี่ในการสุ่มตัวอย่าง จะพบว่าจะมีเพียง 2 ตัวอย่างต่อคาบ อย่างไรก็ตามถึงแม้ว่าจะมีเพียงแค่ 2 ตัวอย่าง ก็สามารถที่จะแสดงค่าแทนรูปแบบสัญญาณได้ ตัวอย่างเช่น พิจารณากรณีที่ใช้ความถี่ในการสุ่มตัวอย่างคือ 40 KHz และสัญญาณที่เข้ามาเป็นคลื่นรูปไซน์ (sinewave) ที่มีความถี่ 20 KHz ตัวสุ่มตัวอย่างจะสามารถสุ่มตัวอย่างได้ 2 ค่า ซึ่งจะได้ผลคือ คลื่นรูปสี่เหลี่ยมที่มีความถี่ 20 KHz จะพบว่ารูปคลื่นที่ได้มาไม่เหมือนกับรูปคลื่นไซน์ที่เข้ามาแต่แรก อย่างไรก็ตามคลื่นรูปสี่เหลี่ยมที่มีความถี่ 20 KHz นี้จะประกอบด้วยฮาร์โมนิกคี่ (Odd Harmonics) คือ คลื่นรูปไซน์ที่มีความถี่ 20, 60, 100, 140 และ 180 KHz ฯลฯ ตัวกรองความถี่ต่ำที่เอาที่พหุของระบบทางสัญญาณเสียงดิจิทัลจะกำจัดความถี่ทั้งหมดที่สูงกว่าครึ่งหนึ่งของความถี่ในการสุ่มตัวอย่างออกไปทั้งหมด เมื่อฮาร์โมนิกสูงถูกกำจัดออกไปหมด เอาที่พหุของระบบจะสร้างคลื่นรูปไซน์ที่มีความถี่ 20 KHz ขึ้นมาใหม่ซึ่งจะมีลักษณะเหมือนกับรูปคลื่นที่เข้ามาตอนเริ่มแรก เราทราบว่ารูปคลื่นที่ถูกสุ่มตัวอย่างเป็นคลื่นรูปไซน์เพราะว่าตัวกรองความถี่ต่ำผ่านทางด้านอินพุทจะไม่ยอมให้ความถี่สูงของรูปคลื่นผ่านไปถึงตัวสุ่มตัวอย่างได้ ถ้านำเรื่องความสามารถของหูของคนเรามาเกี่ยวข้องกับด้วย จะพบว่าคลื่นรูปไซน์จะเป็นคลื่นที่เหมาะสมมาก เพราะว่าความถี่ฮาร์โมนิกของคลื่นรูปไซน์ที่มีความถี่ 20 KHz จะสูงกว่าความถี่ที่หูของคนเราสามารถได้ยินได้

กระบวนการสุ่มตัวอย่างและการทำการสร้างสัญญาณขึ้นมาใหม่นั้นแสดงให้เห็นอยู่ในรูป 2.2 สัญญาณที่เกี่ยวข้องในการสุ่มตัวอย่างสัญญาณถูกแสดง ณ ที่จุดต่างๆ กันในกระบวนการ ยิ่งไปกว่านั้น รูปทางซ้ายมือจะแสดงถึงสัญญาณในโดเมนเวลาและส่วนรูปทางขวามือจะแสดงถึงสัญญาณที่เหมือนกันกับทางซ้ายมือแต่อยู่ในโดเมนความถี่ ในทางกลับกันเราสามารถสังเกตขนาดของสัญญาณเหนือแกนเวลา และสามารถสังเกตผลตอบสนองทางความถี่ของมันได้ เราจะสังเกตได้ว่าในรูป 2.2a และ 2.2b นั้นสัญญาณเสียงที่เข้ามาต้องถูกจำกัดแถบความถี่ที่ครึ่งหนึ่งของความถี่สุ่มตัวอย่าง ($S/2$) โดยใช้ตัวกรองที่ต่อต้านการเกิดเอเลียส ตัวกรองนี้จะกำจัดความถี่ทั้งหมดที่สูงกว่าความถี่ในควิซท์ทิ้งไป สัญญาณที่ถูกสุ่มตัวอย่างในรูปที่ 2.2c และ 2.2d จะเกิดขึ้นซ้ำๆ กันที่ความถี่ในการสุ่มตัวอย่าง S และสเปกตรัม (Spectrum) ของมันจะประกอบด้วยพัลส์ที่หลากหลายความถี่ในการสุ่มตัวอย่าง เช่น $S, 2S, 3S, \dots$ เมื่อสัญญาณเสียงถูกสุ่มตัวอย่างดังแสดงในรูปที่ 2.2e และ 2.2f ขนาดของสัญญาณ ณ ที่เวลาที่ถูกรวมตัวอย่างจะถูกสำรองไว้ อย่างไรก็ตามสัญญาณที่

เอกสารนี้เป็นเอกสารที่สงวนไว้สำหรับการใช้งานเพื่อการศึกษาเท่านั้น ไม่อนุญาตให้นำไปใช้ประโยชน์ในการค้า
ไม่ว่ากรณีใดๆ พงสน์ อีกทั้งห้ามมิให้คัดแปลงเนื้อหาและต้องอ้างอิงถึงเจ้าของเอกสารทุกครั้งหากมีการนำ

สุ่มตัวอย่างมานี้จะประกอบด้วยลักษณะของรูปแบบของสเปกตรัมดั้งเดิมตั้งแต่ตอนแรก ซึ่งมีศูนย์กลางอยู่ที่ความถี่ในการสุ่มตัวอย่างหลายๆ ความถี่ เพื่อที่จะนำสัญญาณที่สุ่มตัวอย่างมากลับนำมาสร้างใหม่ ดังเช่นแสดงในรูปที่ 2.2g และ 2.2h ตัวอย่างถูกทำให้ผ่านตัวกรองความถี่ต่ำผ่านซึ่งมีคุณสมบัติในการต่อต้านรูปร่างที่ไม่ถูกต้อง(anti -imaging) เพื่อที่จะกำจัดรูปสัญญาณทั้งหมดที่อยู่เหนือความถี่ $S/2$



รูปที่ 2.2 โดเมนเวลา(ด้านซ้าย) และ โดเมนความถี่(ด้านขวา) แสดงผลของการแซมปลิงสัญญาณที่มีแถบความถี่จำกัด และการสร้างขึ้นมาใหม่(reconstruct)

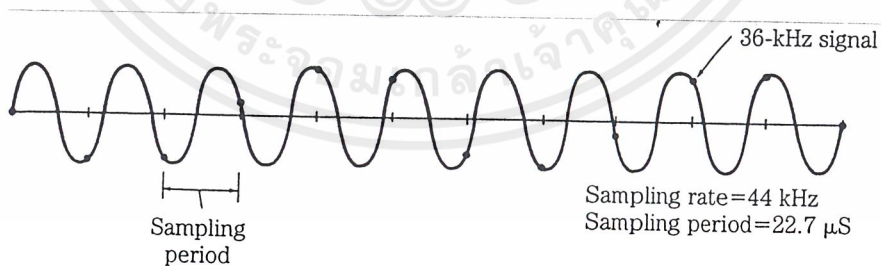
เอกสารนี้เป็นเอกสารที่สงวนไว้สำหรับการใช้งานเพื่อการศึกษาเท่านั้น ไม่อนุญาตให้นำไปใช้ประโยชน์ด้านการค้าไม่ว่ากรณีใดๆ ทั้งสิ้น อีกทั้งห้ามมิให้ตัดแปลงเนื้อหาและต้องอ้างอิงถึงเจ้าของเอกสารทุกครั้งที่มีการนำไปใช้

2.2 Aliasing (การซ้อนทับกันของสัญญาณ)

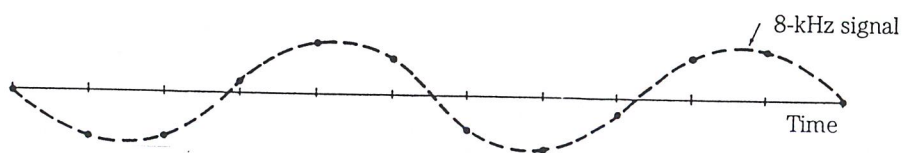
สิ่งที่เป็นเรื่องท้าทายสำหรับนักออกแบบระบบ Digital audio ก็คือ การซ้อนทับกันของสัญญาณ ซึ่งเป็นเรื่องที่สับสนเป็นอย่างมากในการสุ่มสัญญาณ การซ้อนทับกันของสัญญาณนี้จะเป็นผลทำให้องค์ประกอบของสัญญาณผิดเพี้ยนไปได้ สัญญาณที่ผิดพลาดนี้จะออกมาทางเอาต์พุต ทำให้เป็นการยากในการแยกแยะสัญญาณให้ถูกต้องตามแบบตัวต้นแบบ จึงควรคำนึงถึง สำหรับนักออกแบบในการป้องกันไม่ให้เกิดเหตุการณ์นี้ขึ้น

จากการสังเกต เราทราบว่า การสุ่มสัญญาณคือกระบวนการที่ไม่เกิดการสูญเสีย แต่สิ่งที่สำคัญที่สุด คือ อินพุตจะต้องมีช่วงความถี่ค่าหนึ่ง นั่นคือ จะต้องมีความถี่ต่ำไว้เป็นตัวกำหนดช่วงความถี่ การซ้อนทับกันของสัญญาณเป็นเรื่องที่ละเมิดกฎของการสุ่มสัญญาณ สัญญาณอนาล็อกที่เราต้องการทำการสุ่มจะต้องเท่ากับ หรือ น้อยกว่าครึ่งหนึ่งของความถี่สุ่มสัญญาณ (sampling frequency) ถ้าเกิดสัญญาณอนาล็อกตัวนั้นมีค่าความถี่มากกว่าครึ่งหนึ่งของความถี่สุ่มสัญญาณ จะเกิดการซ้อนทับกันของสัญญาณขึ้นได้ ถ้าความถี่ของสัญญาณอนาล็อกเพิ่มขึ้น จำนวนจุดที่เราจะสุ่มออกมาได้ก็จะลดลง ถ้าถึงความถี่ Nyquist เมื่อไหร่ ก็จะทำให้มี 2 แซมเปิ้ลใน 1 คาบ ถ้าเรายังสุ่มสัญญาณที่ความถี่สูงกว่าความถี่ Nyquist ขึ้นไปอีก ก็จะทำให้ตัวอย่างที่ได้จากการสุ่มเกิดข้อผิดพลาดได้มากขึ้นๆ ไปอีก

พิจารณาในระบบดิจิทัล ที่ใช้ความถี่ในการสุ่มสัญญาณที่ 44 KHz และคิดว่าสัญญาณที่ความถี่ 36 KHz ได้ถูกส่งเข้าไป ดังรูป 2.3



A A 36-kHz waveform is sampled at 44 kHz.



B Upon reconstruction, the 36-kHz signal is filtered out, leaving an aliased 8-kHz signal.

เอกสารนี้เป็นเอกสารที่สงวนไว้สำหรับบุคลากรในหน่วยงานเพื่อการศึกษาเท่านั้น ไม่อนุญาตให้อ่านไปใช้ประโยชน์ด้านการค้า
รูปที่ 2.3 สัญญาณอินพุตซึ่งเกินครึ่งหนึ่งของความถี่สุ่มจะเกิดการซ้อนทับกันของสัญญาณที่ความถี่ต่ำกว่า
ไม่ว่ากรณีใดๆ ทั้งสิ้น อีกทั้งห้ามมิให้คัดแปลงเนื้อหาและต้องอ้างอิงถึงเจ้าของเอกสารทุกครั้งที่มากรุณาไปใช้

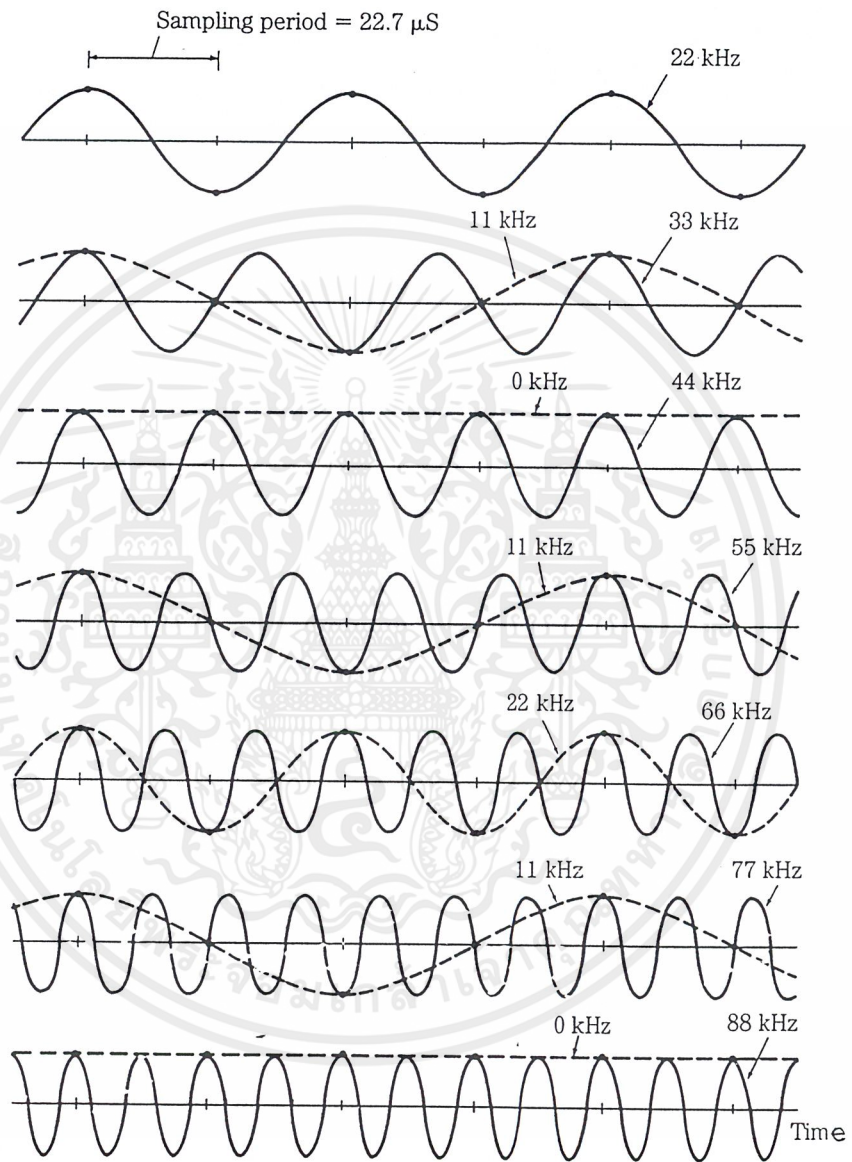
องค์ประกอบมูลฐานของการซ้อนทับจะได้ว่า $44-36 = 8 \text{ Khz}$ เห็นได้ว่าจะได้เอาที่พหูที่ไม่ถูกต้อง ทำให้เกิดการสับสนขึ้นได้ว่า สัญญาณที่เราป้อนเข้าไปเป็นความถี่ที่ 36 Kz หรือ 8 Khz ยิ่งไปกว่านั้นต้องคำนึงว่าที่ตัวกรองความถี่ต่ำ ที่ทางด้านเอาที่พหูของระบบดิจิทัล ซึ่งทำให้ฟังก์ชันขึ้นบันไดเรียบขึ้น เพื่อจะให้ได้สามารถสร้างออกมาให้เหมือนอินพุท และความถี่คutoffของตัวกรอง คือ ครึ่งหนึ่งของความถี่สุ่มสัญญาณ ดังนั้นความถี่อื่นๆที่เกินความถี่สุ่มก็จะถูกกำจัดออกไป ในกรณีนี้ ความถี่ที่ 36 Khz ก็จะถูกกำจัดออกไปด้วย แต่ที่ความถี่ 8 Khz หรือก็คือความถี่ซ้อนทับยังคงอยู่เหมือนเดิมนั่นคือ จะได้ความถี่ที่เราไม่ต้องการ ส่งผลให้สัญญาณอินพุทเกิดการลดทอน (distortion) ขึ้นอีก ดังรูป 2.3

ยังมีวิธีแสดงการเกิดการซ้อนทับของสัญญาณอยู่หลายวิธี ถึงแม้ว่าจะเห็นแต่ความถี่ 8 Khz (ดังเช่นตัวอย่างที่ยกในตอนต้น) ปรากฏอยู่ในแถบความถี่ของสัญญาณนาฬิกา ต้องพึงระวังเสมอว่าการซ้อนทับจะเกิดขึ้นไม่ว่าความถี่ของการสุ่มจะสูงเท่าไรก็ตาม ลองพิจารณาให้ความถี่ในการสุ่มสัญญาณมีค่าเท่ากับ 44 Khz อินพุทที่ความถี่ตั้งแต่ $0-22 \text{ Khz}$ จะให้ผลลัพธ์ที่ถูกต้อง แต่ถ้าความถี่อินพุทที่มีค่าตั้งแต่ $22-44 \text{ Khz}$ ก็จะเกิดการซ้อนทับของสัญญาณจาก 22 Khz ถึง 0 Hz รูปที่ 2.4 แสดงผลของการเกิดการซ้อนทับจาก $0-22 \text{ Khz}$ เมื่อเพิ่มความถี่อินพุท

การป้องกันการซ้อนทับของสัญญาณ (Aliasing Prevention)

ในทางปฏิบัติ ปัญหาของผลการซ้อนทับของสัญญาณจะสามารถถูกแก้ไขได้ ตามความเป็นจริงแล้ว ระบบการบันทึกลงทางด้านดิจิทัลที่ถูกออกแบบให้มีคุณภาพที่ดีแล้ว การซ้อนทับกันก็จะไม่เกิดขึ้น ผลลัพธ์ที่ได้ก็จะตรงไปตรงมา คือ สัญญาณอินพุทจะถูกจำกัดย่านความถี่ด้วยตัวกรองความถี่ต่ำที่คม ที่ให้ได้การลดทอนที่มีนัยสำคัญที่ความถี่ Nyquist เพื่อให้แน่ใจว่าสัญญาณที่จะทำการสุ่มไม่เกินความถี่ Nyquist ตัวกรองทางอุดมคติ จะต้องมีการลดทอนที่มีค่านันต์และมีความไวในการเปลี่ยนสถานะจากแถบผ่านเป็นแถบหยุดมากๆ อย่างไรก็ตามในทางปฏิบัติ ตัวกรองไม่สามารถออกแบบให้เป็นไปตามอุดมคติได้ ส่วนมากเราจะออกแบบให้แถบเปลี่ยนสถานะ (transition band) มีค่าการลดทอนที่ยอมรับได้

เป็นสิ่งที่สำคัญมาก ที่จะต้องตรวจสอบทฤษฎีการสุ่มสัญญาณ และตัวกรองความถี่ต่ำ ของสัญญาณอินพุทที่เข้ามาในระบบดิจิทัล ถ้าการซ้อนทับของสัญญาณเกิดขึ้น จะไม่มีเทคนิคใดที่จะเอาความถี่ซ้อนทับออกไปจากสัญญาณนาฬิกาอินพุท



รูปที่ 2.4 ความถี่ซ้อนทับ (เส้นประ) ในแถบสัญญาณออกดิโอซึ่งแปรค่าตั้งแต่ 0 ถึง 22Khz เมื่อความถี่อินพุท(เส้นทึบ) เพิ่มขึ้น

เอกสารนี้เป็นเอกสารที่สงวนไว้สำหรับการใช้งานเพื่อการศึกษาเท่านั้น ไม่อนุญาตให้นำไปใช้ประโยชน์ด้านการค้าไม่ว่ากรณีใดๆ ทั้งสิ้น อีกทั้งห้ามมิให้ดัดแปลงเนื้อหาและต้องอ้างอิงถึงเจ้าของเอกสารทุกครั้งที่มีการนำไปใช้

2.3 Quantization

การวัดเหตุการณ์ใดๆก็ตามที่มีการเปลี่ยนแปลงของเรื่องเวลามาเกี่ยวข้องกับ จะมีความหมายถ้าทั้งค่าและเวลาของสิ่งที่เราวัดสามารถนำมาเก็บไว้ได้ การสุ่มสัญญาณจะแสดงเวลาของการวัด และการควอนไทซ์จะแสดงค่าของการวัด หรือในกรณีของสัญญาณอนาล็อก ก็คือ ขนาดของแอมพลิจูดของรูปคลื่นนั่นเอง การสุ่มและการควอนไทซ์เป็นองค์ประกอบพื้นฐานของระบบดิจิทัล และทั้งการสุ่มและการควอนไทซ์จะเป็นตัวตัดสินความกว้างของสัญญาณและความละเอียด รูปคลื่นอนาล็อกสามารถแสดงออกมาในแบบอนุกรมของพัลส์ แอมพลิจูดของแต่ละพัลส์จะได้ค่าที่แสดงค่าของสัญญาณอนาล็อก ณ ช่วงเวลานั้น การควอนไทซ์นั้นความแม่นยำจะถูกจำกัดจากความละเอียดของระบบ เพราะว่าความยาวของค่านี้อยู่จำกัด ความละเอียดของระบบสัญญาณดิจิทัลออกดีโอก็จะถูกจำกัดด้วยทำให้เกิดความคลาดเคลื่อนในการวัดขึ้น โดยความคลาดเคลื่อนที่เกิดขึ้นนี้โดยปกติจะหมายถึงสัญญาณรบกวน (Noise) ในระบบสัญญาณอนาล็อกนั่นเอง

ถ้าเราควอนไทซ์อย่างมีรูปแบบ (Uniform quantize) แอมพลิจูดของสัญญาณอนาล็อกจะถูกแมปไปเป็นจำนวนของค่าที่ถูกควอนไทซ์ที่มีค่าเท่ากับค่าความสูงของสัญญาณนั้นๆ การจะแสดงผลที่มีคุณภาพสูงจะต้องใช้ระดับของเลขที่มีค่ามาก อย่างเช่น สัญญาณเสียงที่มีคุณภาพสูง จะต้องการ 65536 ระดับแอมพลิจูด หรือมากกว่า อย่างไรก็ตาม มีเพียงแค่ 2-3 ระดับเท่านั้นที่จะมีข้อมูลอยู่ อย่างเช่น 2 ระดับแอมพลิจูดจะมีข้อมูลของเสียงพูดอยู่

พิจารณาโวลต์มิเตอร์ 2 อัน อันหนึ่งเป็นแบบอนาล็อก อีกอันเป็นแบบดิจิทัล แต่ละอันจะวัดแรงดัน ซึ่งก็คือสัญญาณอินพุท ถ้าให้เป็นมิเตอร์ที่มีคุณภาพสูง และสังเกตค่าอย่างละเอียด เราจะอ่านค่าอนาล็อกมิเตอร์ได้เป็น 1.27 โวลต์ แต่ดิจิทัลโวลต์มิเตอร์ที่มีแค่ 2 หลัก จะอ่านได้ 1.3 โวลต์ ถ้าเป็น 3 หลักได้ 1.27 โวลต์ ถ้าเป็น 4 หลักได้ 1.247 โวลต์ ทั้งอนาล็อกและดิจิทัลมิเตอร์จะมีข้อผิดพลาดเกิดขึ้น ข้อผิดพลาดของมิเตอร์ทางอนาล็อกก็คือ ผลของอุปกรณ์และความยากในการอ่าน ภายในสถานะทางอุดมคติ ความละเอียดของการวัดเชิงอนาล็อก จะถูกจำกัดด้วยสัญญาณรบกวนของมิเตอร์เอง

ถ้าทำการวัดด้วยดิจิทัลมิเตอร์ ผลของความคลาดเคลื่อนจะแตกต่างกัน ความแม่นยำจะถูกจำกัดโดยความละเอียดของตัวมิเตอร์ นั่นคือ ขึ้นอยู่กับจำนวนหลักที่แสดง ถ้ายิ่งหลักมาก ก็จะมีความแม่นยำมากด้วย ถ้าหลักสุดท้าย จะถูกปิดให้สัมพันธ์กับค่าจริง เช่น 1.27 จะถูกปิดเป็น 1.3

การควอนไทซ์ก็คือ เทคนิคการวัดสัญญาณอนาล็อก ให้เป็นค่าทางตัวเลข ระบบทางดิจิทัลจะใช้เป็นแบบเลขฐานสอง จำนวนของค่าที่เป็นไปได้ จะถูกตัดสินโดยความยาวของข้อมูลที่เป็นเลขฐานสองนั้น นั่นคือ จำนวนของบิตที่จะประกอบด้วยสัญญาณเดิม ในทางปฏิบัติ ความละเอียดจะเป็นอิทธิพลมาจากคุณภาพของ A/D (analog to digital converter)

เอกสารนี้เป็นเอกสารสงวนลิขสิทธิ์ไว้เพื่อใช้เพื่อการศึกษาเท่านั้น ไม่อนุญาตให้นำไปใช้ประโยชน์ด้านการค้าไม่ว่ากรณีใดๆ ทั้งสิ้น อีกทั้งห้ามมิให้ตัดแปลงเนื้อหาและต้องอ้างอิงถึงเจ้าของเอกสารทุกครั้งที่มีการนำไปใช้

การสุ่มสัญญาณช่วงจำกัดทางทฤษฎี จะเป็นกระบวนการที่ไม่เกิดการสูญเสีย แต่การเลือกค่าของแอมพลิจูดที่ความถี่สุ่มใดๆ ต้องคำนึงถึงเสมอว่า ค่าที่ได้มาจากการควอนไทซ์ จะเป็นเพียงแค่ค่าประมาณของสัญญาณจริงเท่านั้น

2.4 Pulse Code Modulation

ในทางทฤษฎี มีเทคนิคมากมายที่ใช้ในการถอดรหัสอนาลอกเป็นสัญญาณดิจิทัล จะเหมือนกันในกระบวนการที่จะเปลี่ยนสัญญาณอนาลอกไปเป็นสัญญาณดิจิทัล แต่ทางปฏิบัติ แต่ละวิธีจะต่างกันในด้านคุณภาพทางด้านแบนด์วิธ และ S/N Ratio การมอดคูเลทก็จะไม่มีอะไรไปมากกว่าการถอดรหัสของข้อมูล สำหรับจุดประสงค์ในการส่งหรือเก็บข้อมูล เทคนิคต่างๆ เช่น AM, FM ได้ถูกใช้มาเป็นระยะเวลายาวนานในการมอดคูเลทความถี่พาหะ กับข้อมูลทางอนาลอกในการกระจายเสียงของวิทยุ ดังจะยกตัวอย่างในรูป 2.4

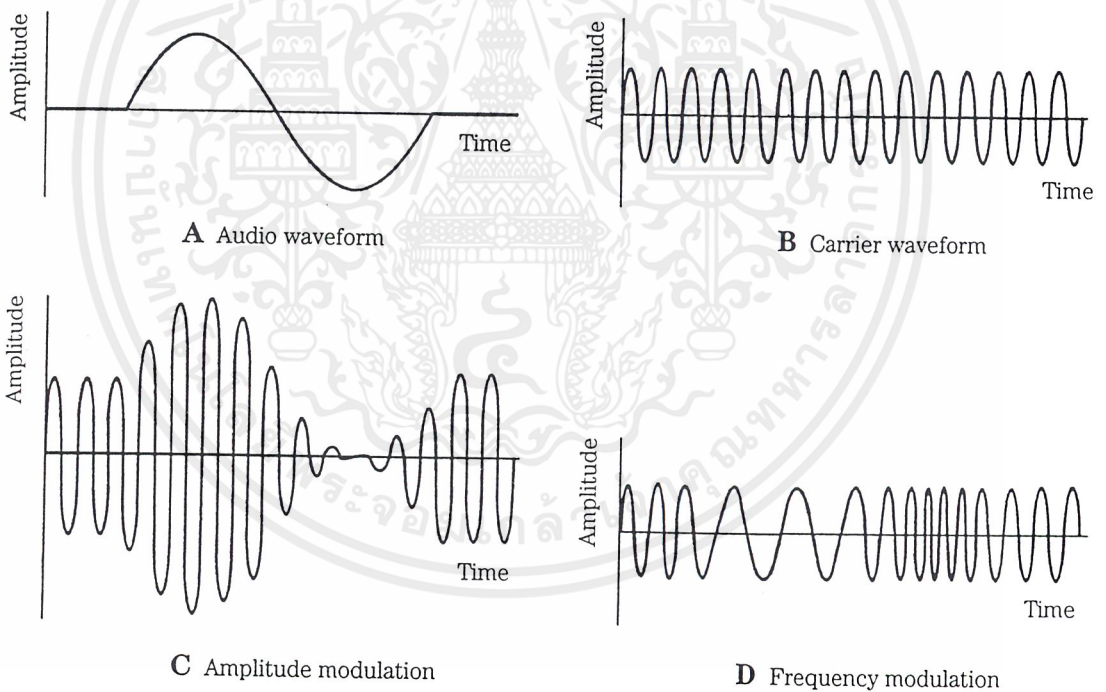
เมื่ออยู่ในระหว่างส่งผ่านข้อมูล มีพัลส์มอดคูเลทขึ้นอยู่หลายชนิดด้วยกัน เช่น pulse width หรือ position in frequency ในช่วงเวลาใดๆ จะแสดงแอมพลิจูดของสัญญาณ ณ ช่วงเวลาใดๆ pulse width modulation ซึ่งเป็นตัวอย่างที่เกิดขึ้นมาก่อนส่วน pulse position modulation ได้เกิดขึ้นมาทีหลัง ซึ่งทั้งสองกรณี แอมพลิจูดของสัญญาณต้นแบบจะถูกโค้ดและถูกส่งผ่านในรูปของพัลส์ที่มีแอมพลิจูดคงที่ แอมพลิจูดของสัญญาณสามารถจะถูกส่งผ่านโดยตรงโดย modulation pulse, pulse-amplitude modulation(PAM) ก็จะเป็นอีกตัวอย่างหนึ่ง ซึ่งวิธีนี้แอมพลิจูดของพัลส์แต่ละลูก จะเท่ากับแอมพลิจูดของสัญญาณ ณ ที่ความถี่สุ่มใดๆ PWM, PPM และ PAM ได้ถูกแสดงดังรูป 2.5a ถึง d ถึงแม้จะใช้วิธีที่กล่าวมาข้างต้นบ่อยครั้งก็ตามในการเปลี่ยนรูปแบบของสัญญาณ แต่ก็ยังไม่เหมาะสมที่จะส่ง หรือ บันทึกสัญญาณเพราะ ผลของข้อจำกัดทางด้านความคลาดเคลื่อน หรือความจำกัดของช่วงสัญญาณ

กรรมวิธีที่นิยมในการใช้มากที่สุดในการมอดคูเลทสัญญาณก็คือ pulse-code modulation(PCM) เสนอโดย นาย Alec Reeves ในรูปของ PCM สัญญาณอินพุทจะต้องผ่านการสุ่มสัญญาณ ควอนไทซ์ และเข้ารหัส โดยการแสดงแอมพลิจูดของสัญญาณอนาลอกในรูปของความกว้างของพัลส์ เลขฐานสองสามารถที่จะแสดงค่าของแอมพลิจูด ที่ตัวรับ รหัสที่อยู่ในรูปของพัลส์จะถูกใช้ในการสร้างสัญญาณอนาลอกขึ้นมาใหม่ เลขไบนารีซึ่งแสดงแอมพลิจูดของสัญญาณที่เราสุ่มจะถูกโค้ดให้อยู่ในแบบ PCM ดังแสดงในรูป 2.5g

โดยวิธีการแบบ PWM, PPM และ PAM เราต้องการแค่พัลส์เดียวในการแสดงค่าของแอมพลิจูด แต่ PCM จะต้องการหลายพัลส์ ดังนั้น PCM จึงต้องการช่องสัญญาณที่มีช่องความถี่กว้างขึ้น นอกเอกสารนี้เป็นเอกสารที่สงวนไว้สำหรับการใช้งานเพื่อการศึกษาเท่านั้น ไม่อนุญาตให้นำไปใช้ประโยชน์ด้านการค้าไม่ว่ากรณีใดๆ ทั้งสิ้น อีกทั้งห้ามมิให้ตัดแปลงเนื้อหาและต้องอ้างอิงถึงเจ้าของเอกสารทุกครั้งที่มีการนำไปใช้

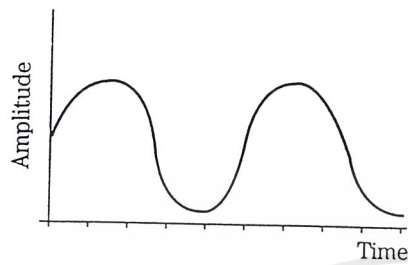
จากนั้นสัญญาณ PCM จะเป็นวิธีที่ไม่เกิดการสูญเสีย ดังนั้นคุณภาพของการส่งสัญญาณแบบ PCM จึงขึ้นกับคุณภาพของการสุ่มสัญญาณ และกระบวนการควอนไทซ์

รูปแบบของระบบแบบ PCM ก่อนอื่นจะมีคลื่นอนาลอกผ่านตัวกรอง และสุ่มสัญญาณ แล้วแอมพลิจูดที่ได้ ถูกควอนไทซ์โดย analog to digital converter เลขฐานสองจะเป็นตัวแสดงอนุกรมของพัลส์ที่ถูกมอดดูเลทโดยเป็นตัวแสดงแอมพลิจูดของรูปคลื่นที่เวลาการสุ่มใดๆ ในส่วนของเครื่องเล่น ข้อมูลจะถูกตีมอดดูเลท ถอดรหัสและแก้ไขข้อผิดพลาดเพื่อจะให้ได้ตรงตามสัญญาณเดิมมากที่สุด รูปคลื่นอนาลอกจะถูกทำให้กลับคืนมาเมื่อผ่าน digital to analog converter และตัวกรองความถี่ต่ำ

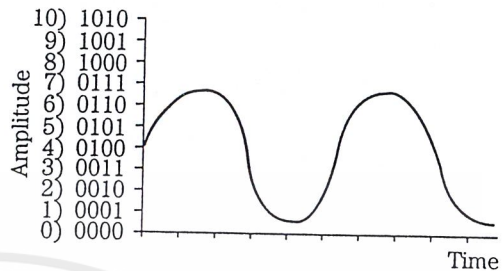


รูปที่ 2.5 amplitude modulation และ frequency modulation จะเป็นตัวอย่างของการมอดดูเลทที่ง่าย ๆ

เอกสารนี้เป็นเอกสารที่สงวนไว้สำหรับการใช้งานเพื่อการศึกษาเท่านั้น ไม่อนุญาตให้นำไปใช้ประโยชน์ด้านการค้าไม่ว่ากรณีใดๆ ทั้งสิ้น อีกทั้งห้ามมิให้ตัดแปลงเนื้อหาและต้องอ้างอิงถึงเจ้าของเอกสารทุกครั้งที่มีการนำไปใช้



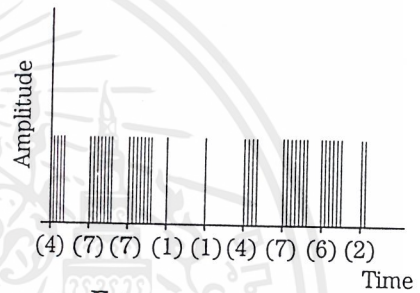
A Analog waveform



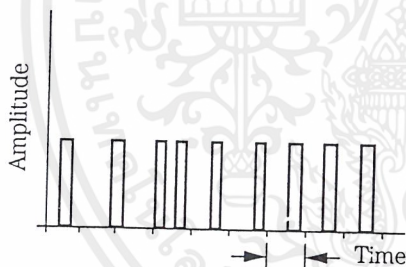
E Quantized analog waveform



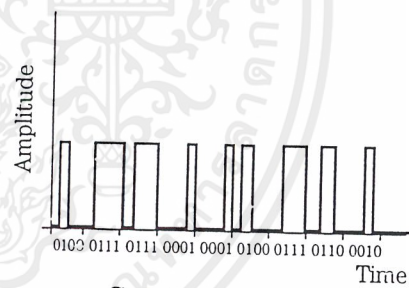
B Pulse-width modulation



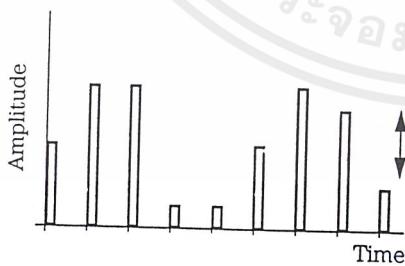
F Pulse-number modulation



C Pulse-position modulation



G Pulse-code modulation



D Pulse-amplitude modulation

รูปที่ 2.6 PWM, PPM, PAM เป็นตัวอย่างของ pulse-parameter modulation ส่วน PNM และ PCM เป็นตัวอย่างของ numerical pulse parameter modulation

เอกสารนี้เป็นเอกสารที่สงวนไว้สำหรับการใช้งานเพื่อการศึกษาเท่านั้น ไม่อนุญาตให้นำไปใช้ประโยชน์ด้านการค้า ไม่ว่ากรณีใดๆ ทั้งสิ้น อีกทั้งห้ามมิให้ตัดแปลงเนื้อหาและต้องอ้างอิงถึงเจ้าของเอกสารทุกครั้งที่มีการนำไปใช้

บทที่ 3

การบีบอัดข้อมูลด้วยวิธีการแบบ MPEG-Audio

การบีบอัดสัญญาณอนาล็อกเชิงดิจิทัลจะสามารถทำให้เกิดการเก็บข้อมูลและส่งข้อมูลได้อย่างมีประสิทธิภาพ เทคนิคการบีบอัดจะขึ้นอยู่กับระดับความซับซ้อน,คุณภาพของสัญญาณ และจำนวนของข้อมูล การแสดงผลเป็นสัญญาณดิจิทัลของข้อมูลที่เป็นอนาล็อกนั้นมีประโยชน์ด้วยกันอยู่หลายประการ เช่น ลดผลของสัญญาณรบกวน มีเสถียรภาพมากขึ้น เป็นต้น สัญญาณอนาล็อกที่อยู่ในรูปดิจิทัลสามารถทำให้เกิดการสะดวกในการผสมสัญญาณ,กรองสัญญาณ ผ่านดิจิทัลคอมพิวเตอร์ได้มาก

การเปลี่ยนจากสัญญาณอนาล็อกไปเป็นสัญญาณดิจิทัลเริ่มจากสุ่มสัญญาณอินพุทและทำการเปลี่ยนระดับของสัญญาณที่ทำการสุ่มให้อยู่ในแบบของดิจิทัล โดยจะประกอบไปด้วยเลขฐานสองซึ่งเป็นตัวแสดงระดับของสัญญาณที่เราทำการสุ่ม วิธีการในการแสดงผลของสัญญาณแต่ละสัญญาณที่เราทำการสุ่มจะอยู่ในแบบ PCM (Pulse code modulation)

จากทฤษฎีของ Nyquist กล่าวว่าไว้ว่า ช่วงเวลาของสัญญาณที่ถูกสุ่มอย่างน้อยต้องไม่น้อยไปกว่าครึ่งหนึ่งของอัตราที่เราใช้ในการสุ่มสัญญาณ (Sampling rate) อัตราการสุ่มสัญญาณโดยทั่วไปจะอยู่ในช่วง 8 KHz ถึง 48 KHz โดยในช่วง ความถี่สุ่มที่ 8 KHz จะคลุมความถี่อย่างมากที่สุดคือ 4 KHz ซึ่งก็จะเป็นช่วงความถี่เสียงที่มนุษย์เราสร้างขึ้น ส่วนช่วง 48 KHz จะคลุมความถี่เสียงทั้งหมดโดยอยู่ในช่วงประมาณ 20 KHz

3.1 การบีบอัดสัญญาณอนาล็อกแบบ MPEG

คุณสมบัติเด่นของการบีบอัดแบบนี้คือ การนำวิธี Masking มาใช้ ซึ่งเป็นความสามารถที่น้อยสุดของหูคนเราโดยจะเกิดขึ้นเมื่อสัญญาณอนาล็อกที่ดังกว่าไปข่มสัญญาณอนาล็อกที่เบากว่าทำให้ไม่สามารถได้ยินเสียงที่เบากว่าอันนั้น ปรากฏการณ์เช่นนี้ได้ถูกสังเกตและนำมาใช้ควบคู่กับการทดลอง Psychoacoustic

จากผลการสังเกตทำให้เราทราบว่าหูคนเรามีย่านความถี่ที่ได้ยินจำกัด โดยจะเปลี่ยนไปตั้งแต่ต่ำกว่า 100 Hz สำหรับความถี่น้อยที่สุดที่สามารถได้ยินได้ไปจนถึงมากกว่า 4 Hz ซึ่งเป็นความถี่มากที่สุด ดังนั้นสเปกตรัมของสัญญาณสามารถที่จะถูกแบ่งเป็นแถบวิกฤต (critical bands) ซึ่งเปรียบเสมือนผลสะท้อนของพลังงานโดยอยู่ในรูปของฟังก์ชันความถี่ สามารถดูได้จากตาราง Critical Band Boundaries

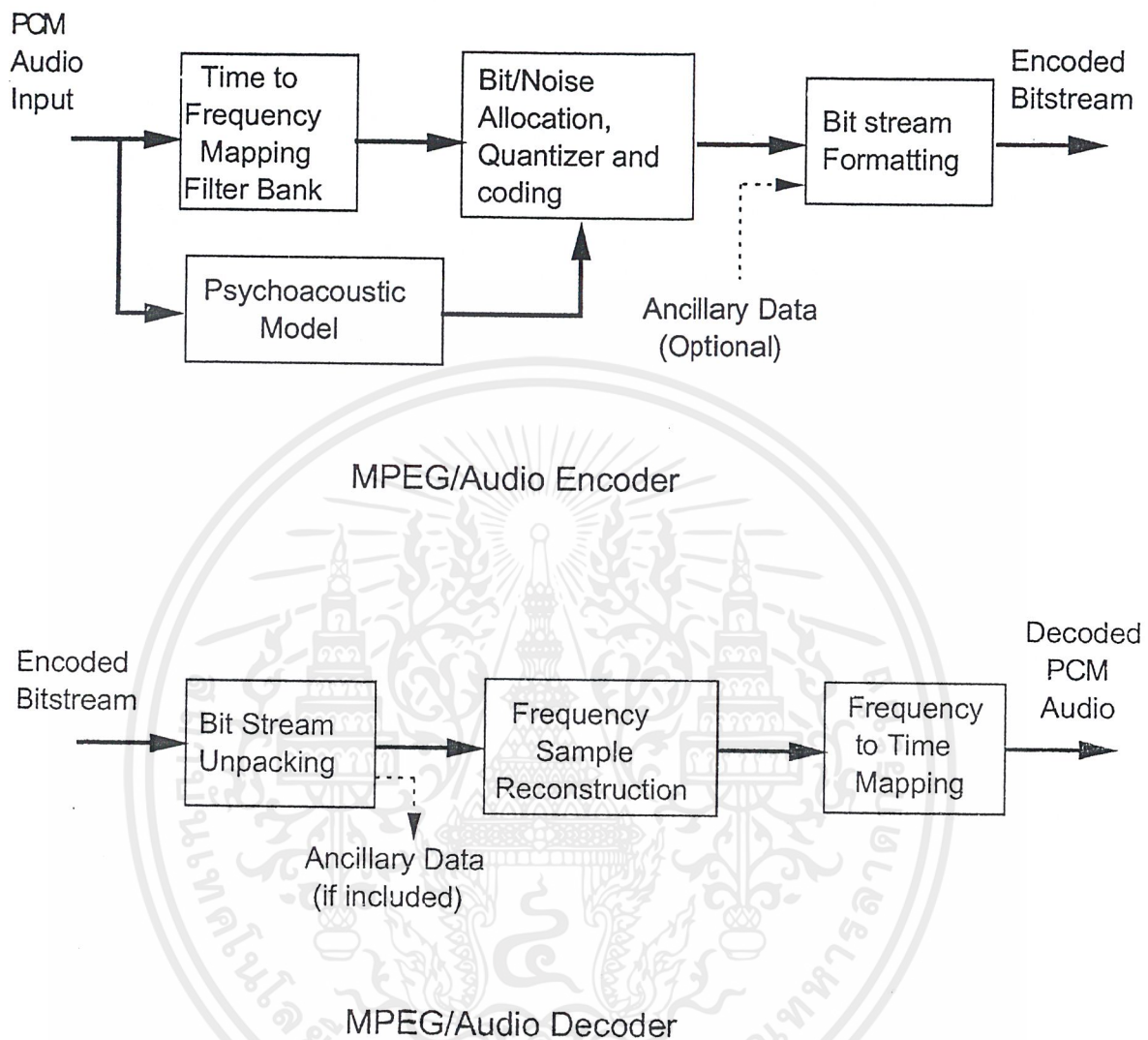
เอกสารนี้เป็นเอกสารที่สงวนไว้สำหรับการใช้งานเพื่อการศึกษาเท่านั้น ไม่อนุญาตให้นำไปใช้ประโยชน์ด้านการค้าไม่ว่ากรณีใดๆ ทั้งสิ้น อีกทั้งห้ามมิให้ตัดแปลงเนื้อหาและต้องอ้างอิงถึงเจ้าของเอกสารทุกครั้งที่มีการนำไปใช้

เนื่องจากความจำกัดของมนุษย์ในการได้ยินเสียง การเริ่มต้นของ masking ที่ความถี่ใดๆ จะขึ้นกับรูปแบบของสัญญาณภายในแถบวิฤตของความถี่นั้นส่วนการบีบอัดสัญญาณอนาลอกจากคุณสมบัติดังกล่าวสามารถนำมาใช้ให้เป็นประโยชน์โดยการเปลี่ยนจากโดเมนเวลาเป็นโดเมนความถี่ จากนั้นก็ทำการแบ่งสเปกตรัมให้อยู่ในแถบย่อย (subband) โดยพิจารณาควบคู่กับแถบวิฤตจากนั้นก็ quantize แต่ละแถบความถี่ด้วยวิธีการของ Psychoacoustic เพื่อการบีบอัดที่มีประสิทธิภาพมากที่สุดแต่แต่ละแถบความถี่ควรจะถูก quantize ให้ไม่มากไปกว่าความจำเป็นเพื่อจะทำให้ไม่เกิดผลของ quantization noise

Mpeg/Audio Encoding and Decoding

รูป 3.1 แสดง block diagram ของ Mpeg/audio encoder and decoder หลักการก็คือเมื่อมีสัญญาณอนาลอกจะนำมาผ่าน filter bank โดยจะทำการแบ่งอินพุตให้เป็นแถบย่อย(subband) ในขณะเดียวกันอินพุตก็เข้ากระบวนการ Psychoacoustic โดยจะตัดสินใจ signal to mask ratio ของแต่ละแถบย่อย ส่วนการจัดเรียงบิต จะใช้ signal to mask ratio ตัดสินเพื่อแบ่งจำนวนบิตทั้งหมดในการ quantize ของแต่ละแถบย่อยเพื่อลดผลของ quantization noise บล็อกสุดท้ายจะแสดงสัญญาณอนาลอกที่ถูกquantize และจัดเรียงรูปแบบข้อมูลเพื่อจะนำไปใช้สำหรับการเข้ารหัส ซึ่งการเข้ารหัสก็จะเป็นการกลับกระบวนการทำงานกับแบบถอดรหัส

มาตรฐานของการบีบอัดในแบบ mpeg จำแนกออกได้เป็น 3 เลเยอร์ โดยเลเยอร์ที่ 1 จะเป็นรูปแบบที่ง่ายที่สุด ส่วนเลเยอร์ที่ 2 และ 3 จะซับซ้อนขึ้นมาอีกและบางวิธีการยังต้องใช้ผลของเลเยอร์ 1 ด้วย



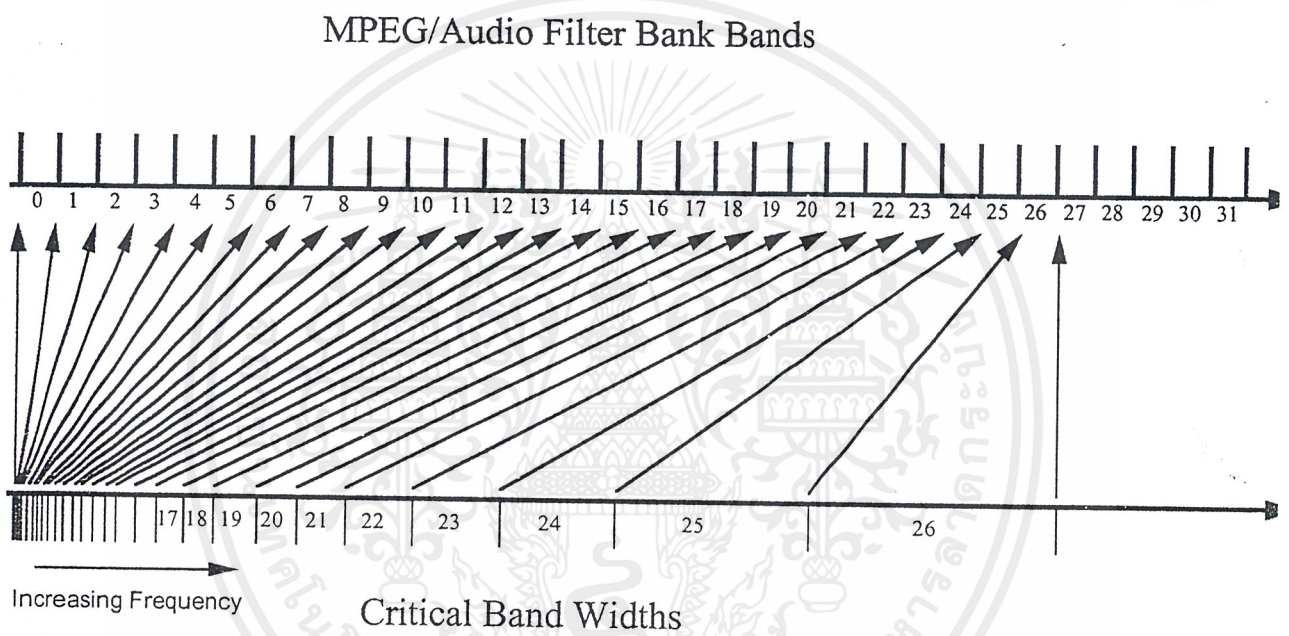
รูปที่ 3.1 mpeg/audio compression and decompression

Layer 1

รูปแบบวิธีการจะใช้ Filter bank เหมือนกันกับอีก 2 แบบ โดย filter bank นี้จะแบ่งสัญญาณออกออกเป็น 32 แถบความถี่ที่มีความกว้างเท่าๆกัน filter นี้จะสามารถสร้างได้ง่าย และให้ความละเอียดทางเวลาได้ดีและให้ความละเอียดทางด้านความถี่ที่สมเหตุสมผลโดยขึ้นกับสมบัติความสามารถในการได้ยินของมนุษย์ ก่อนอื่น 32 แถบความถี่ที่เท่าๆกันจะยังไม่ใช่แถบความถี่วิกฤตดังแสดงไว้ในรูปที่ 3.2 เนื่องจาก bandwidth กว้างเกินไปสำหรับความถี่ต่ำ ส่งผลให้จำนวนบิตที่เกิดจากการ quantize ไม่สามารถปรับให้ทันความไวของสัญญาณรบกวนที่อยู่ในแต่ละแถบวิกฤต โดยที่แถบวิกฤตที่มีความไวของสัญญาณรบกวนมากที่สุด จะเป็นตัวกำหนดจำนวนบิตที่จะ quantize สำหรับแถบความถี่ทั้งหมด ประการที่สอง filter bank และอินเวอร์สของมันจะทำให้เกิดการสูญเสีย

เอกสารนี้เป็นเอกสารที่สงวนไว้สำหรับการใช้งานเพื่อการศึกษาเท่านั้น ไม่อนุญาตให้ทำไปใช้ประโยชน์ในการค้า
 ขึ้นได้ แต่ด้วยความโชคดีที่ว่าข้อผิดพลาดที่เกิดจาก filter bank เป็นปัญหาที่เล็กน้อย จนเราไม่จำเป็นต้อง
 ไม่ว่ากรณีใดๆ ทั้งสิ้น อีกทั้งห้ามมิให้คัดแปลงเนื้อหาและต้องอ้างอิงถึงเจ้าของเอกสารทุกครั้งหากมีการนำไปใช้

และการเปลี่ยนไปมาระหว่างบล็อกลำต้นและบล็อกลำยาวจะไม่สามารถเปลี่ยนแปลงไปได้ทันที โดยชั้น
 ตอนกรรมวิธีดังกล่าวจะกล่าวอย่างละเอียดอีกครั้งหนึ่ง

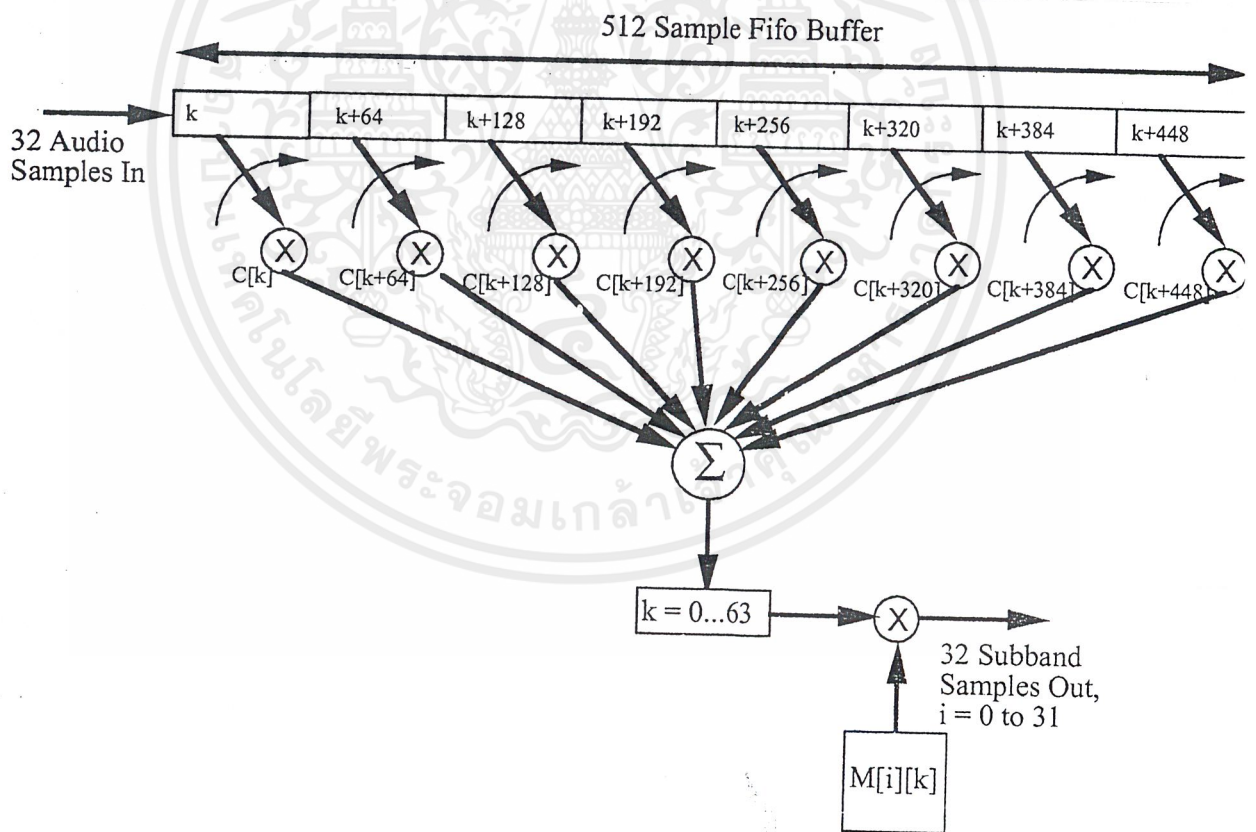


รูปที่ 3.2 แถบความถี่ที่ได้จาก filter bank เทียบกับแถบความถี่วิกฤต

เอกสารนี้เป็นเอกสารที่สงวนไว้สำหรับการใช้งานเพื่อการศึกษาเท่านั้น ไม่อนุญาตให้นำไปใช้ประโยชน์ด้านการค้า
 ไม่ว่ากรณีใดๆ ทั้งสิ้น อีกทั้งห้ามมิให้ตัดแปลงเนื้อหาและต้องอ้างอิงถึงเจ้าของเอกสารทุกครั้งที่มีการนำไปใช้

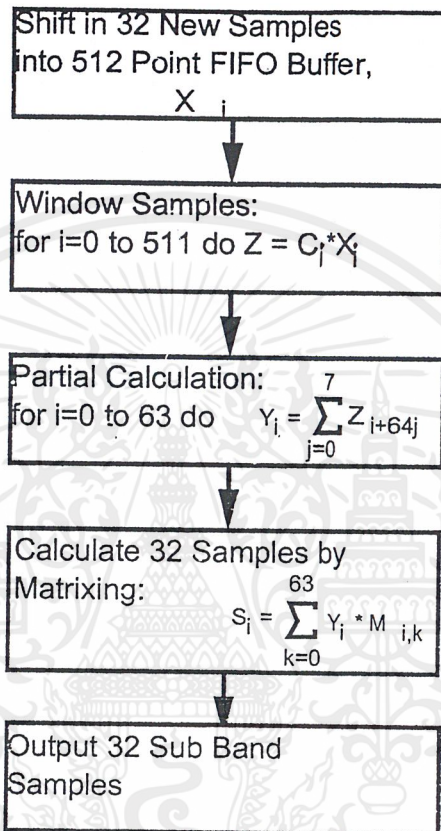
บทที่ 4 FILTER BANK

เพื่อจะให้ความเข้าใจดีขึ้น ซึ่งเป็นประโยชน์อย่างมากในการเริ่มจะศึกษาตั้งแต่ต้นกำเนิดของมัน ISO/MPEG audio standard ได้อธิบายวิธีการในการคำนวณตัวกรองแบบโพลีเฟส รูปที่ 4.1 แสดงโครงสร้างสำหรับการคำนวณตัวกรองโพลีเฟสแบบถอครหัสโดยเสนอโดย นาย Rothweiler เพื่อเป็นการเปรียบเทียบ รูปที่ 4.2 แสดงไดอะแกรมไหล(flow diagram) จากมาตรฐาน ISO/MPEG audio



รูปที่ 4.1 การสร้าง mpeg/audio encoder filter bank

เอกสารนี้เป็นเอกสารที่สงวนไว้สำหรับการใช้งานเพื่อการศึกษาเท่านั้น ไม่อนุญาตให้นำไปใช้ประโยชน์ด้านการค้า ไม่ว่ากรณีใดๆ ทั้งสิ้น อีกทั้งห้ามมิให้ตัดแปลงเนื้อหาและต้องอ้างอิงถึงเจ้าของเอกสารทุกครั้งที่มีการนำไปใช้



รูปที่ 4.2 โค้ดอะแกรมการไหลของ mpeg/audio encoder filter bank

63 7

$$S_i [i] = \sum_{k=0}^{63} \sum_{j=0}^7 M[i] [k] * (C[k+64j] * x[k+64j]) \quad \text{สมการ 1}$$

ที่ซึ่ง

I คือ คัดขึ้นของแถบความถี่ย่อย ซึ่งมีช่วงตั้งแต่ 0 ถึง 31

$S_i [i]$ คือ แชนเนลทางด้านเอาต์พุตของตัวกรองสำหรับแถบความถี่ย่อย ที่เวลา t โดย t เป็น

เลขคูณจำนวนเต็ม ของ 32 ช่วงออกดีโอแชนเนล

เอกสารนี้เป็นเอกสารที่สงวนไว้สำหรับการใช้งานเพื่อการศึกษาเท่านั้น ไม่อนุญาตให้นำไปใช้ประโยชน์ด้านการค้า
 $C[n]$ คือ หนึ่งในบรรดา 512 สัมประสิทธิ์ของวินโดว์ที่ถูกกำหนดในมาตรฐาน

$X[n]$ คือ อินพุตออกดีโอโดยได้มาจาก 512 บัฟเฟอร์ และ

$M[i][k] = \cos [((2*i+10 * (k-16)\pi)/64)]$ คือ สัมประสิทธิ์ของแมทริกซ์

สมการข้างต้นเป็นการแบ่งทำทีละช่วงเพื่อลดการคำนวณให้น้อยลง เพราะว่าฟังก์ชันในวงเล็บไม่ขึ้นกับค่าของ i และ $M[i][k]$ ก็เป็นอิสระกับค่าของ j ดังนั้น 32 เอ้าท์พุทที่ออกจากตัวกรองต้องการแค่ $512+32*64 = 2566$ การคูณ และ $64*7 + 32*63 = 2464$ การบวก และโดยคร่าว 80 การคูณและการบวกต่อ 1 เอ้าท์พุท ซึ่งการจะลดกระบวนการคูณหรือการบวก จะใช้วิธีการแบบ fast discrete cosine transform หรือ fast fourier transform

ยังมีอีกวิธีในการคำนวณสมการ 1 ให้เป็นแบบตัวกรองคูณประสาน (Filter convolution) ดังสมการ

$$S_i [i] = \sum x(t-n) * H_i[n]$$

ที่ซึ่ง

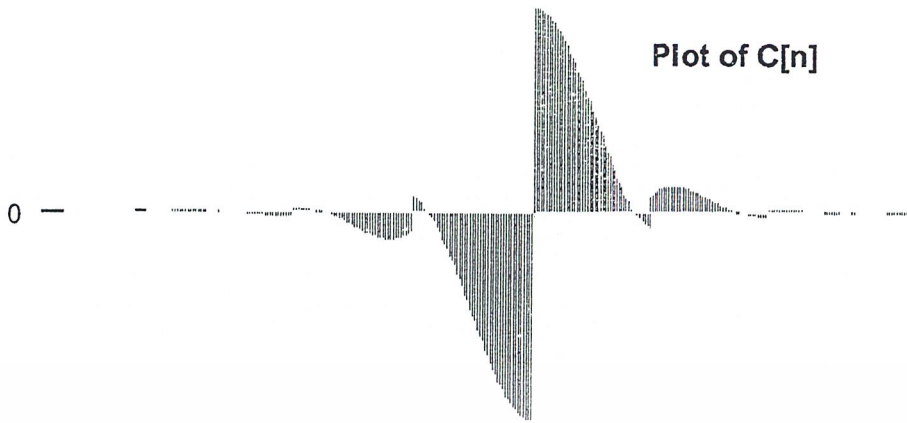
$x(\tau)$ เป็นออกดีโอแชนเนล ที่เวลา τ และ

$H_i[n] = h(n) * \cos [(2*i+1) * (n-16) * \pi/64]$ โดย

$h[n] = -C[n]$ ถ้าส่วนที่เป็นเลขจำนวนเต็มของ $(n/64)$ เป็นเลขคี่
 $= C[n]$ กรณีอื่นๆ สำหรับ $n=0$ ถึง 511

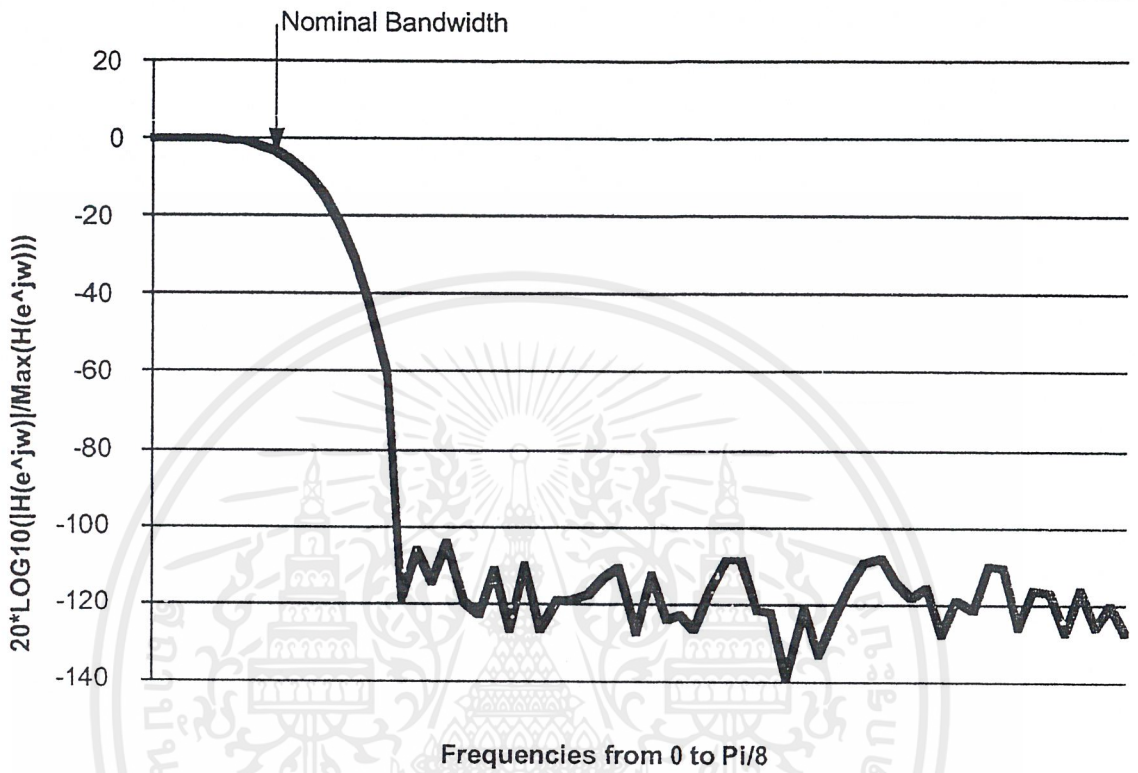
ในการคำนวณรูปแบบนี้ แต่ละแถบความถี่ย่อยของ filter bank จะมีผลตอบสนองแบบช่วงแถบความถี่ผ่านของตัวเอง(band-pass filter response) คือ $H_i[n]$ ถึงแม้ว่า แบบนี้จะสะดวกในการคำนวณแต่ผลลัพธ์ที่ได้จะยังไม่ค่อยมีประสิทธิภาพ การคำนวณตรงๆของสมการนี้ต้องการ $32*512 = 16384$ การคูณ และ $32*511 = 16352$ การบวก เพื่อจะคำนวณ 32 เอ้าท์พุทของตัวกรอง

สัมประสิทธิ์ $h[n]$ ก็จะเป็น โปรโตไทป์ของผลตอบสนองตัวกรองความถี่ต่ำของตัวกรองแบบโพลีเฟส รูป 4.3 ได้เปรียบเทียบการพล็อต $h[n]$ กับ $c[n]$ โดย $c[n]$ จะใช้ในสมการคำนวณทีละช่วง และจะมีกลุ่มของความถี่เลขคี่ 64 สัมประสิทธิ์ของ $h[n]$ เพื่อที่จะซัดเซกับค่า $M[i][k]$ พจน์โคไซน์ของ $M[i][k]$ จะแปรในช่วง 0 ถึง 63 และครอบคลุมจำนวนคี่ของครึ่งวัฏจักร(cycle) ในขณะที่พจน์โคไซน์ของ $H_i[n]$ จะแปรค่าในช่วง 0 ถึง 511 และครอบคลุม 8 เท่าของครึ่งวัฏจักร



รูปที่ 4.3 การเปรียบเทียบ ระหว่าง $h[n]$ และ $c[n]$

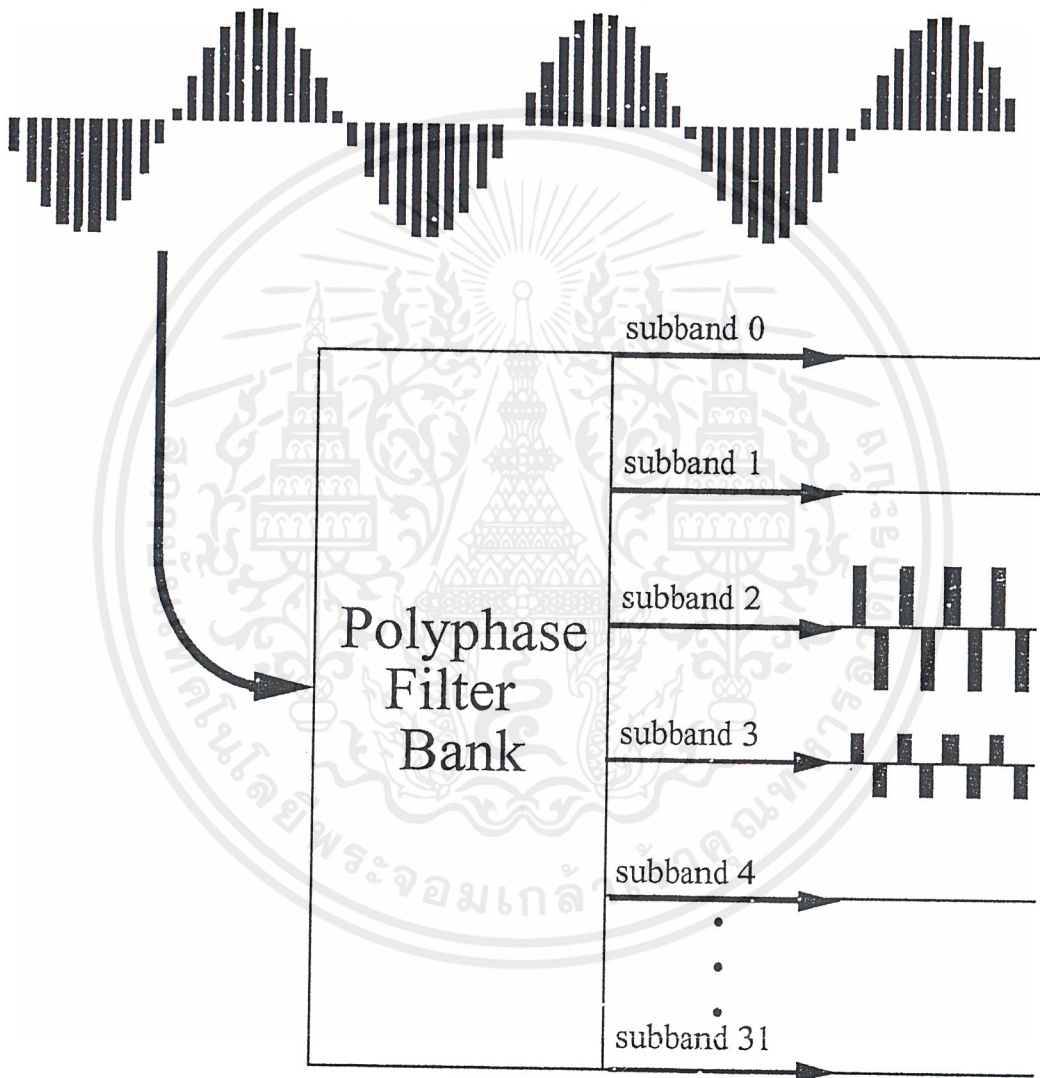
สมการ $H_p[n]$ แสดงว่า แชมป์แต่ละตัวจะเป็นการมอดดูเลขของผลตอบสนองแบบโปรโตไทป์กับพจน์โคไซน์ เพื่อเลื่อนผลตอบสนองความถี่ทำให้ไปอยู่ในช่วงแถบความถี่ที่เหมาะสม จึงเป็นที่มาของคำว่า ตัวกรองโพลีเฟส ตัวกรองนี้จะมีความถี่ศูนย์กลางอยู่ที่จำนวนเท่าของเลขคี่ของ $\pi/(64T)$ โดยที่ T คือ คาบของการสุ่มออกดิโอ และแต่ละตัวจะมีความกว้างของความถี่คือ $\pi/(32T)$ รูปที่ 4.4 แสดงผลตอบสนองของตัวกรองแบบโปรโตไทป์ แต่ยังไม่คมที่ช่วงคัทออฟ ดังนั้นเอาท์พุทที่ออกจากตัวกรอง จะสามารถเกิดการซ้อนทับของสัญญาณขึ้นได้ การออกแบบตัวกรองแบบโปรโตไทป์และการรวมกันของการเลื่อนเฟสให้เหมาะสมในพจน์ของโคไซน์ จะทำให้เกิดการหักล้างของการซ้อนทับของสัญญาณที่เอาท์พุทของ filter bank ของตัวเข้ารหัส (decoder) เหตุผลอีกอย่างหนึ่งของการใช้ตัวกรองที่มีช่วงความถี่กว้างกว่าปกติก็คือ การซ้อนทับของช่วงความถี่ของตัวกรองโพลีเฟสที่อยู่ใกล้กัน ผลกระทบอันนี้จะทำให้เกิดการเสียหายแก่การบีบอัดข้อมูลออกดิโอ เพราะว่า พลังงานของสัญญาณที่ใกล้ขอบแถบความถี่ normalize จะปรากฏในรูปของ 2 เอาท์พุทที่ติดกันของตัวกรองโพลีเฟส รูป 4.5 แสดงรูปสัญญาณไซน์ ที่มีเพียงพลังงานเดียวที่ความถี่เดียว แต่ปรากฏที่เอาท์พุทของตัวกรองโพลีเฟสที่ 2 จำนวนแถบความถี่ย่อย(subband)



รูปที่ 4.4 ผลตอบสนองทางความถี่ของตัวกรอง โปรโตไทป์

เอกสารนี้เป็นเอกสารที่สงวนไว้สำหรับการใช้งานเพื่อการศึกษาเท่านั้น ไม่อนุญาตให้นำไปใช้ประโยชน์ด้านการค้าไม่ว่ากรณีใดๆ ทั้งสิ้น อีกทั้งห้ามมิให้ตัดแปลงเนื้อหาและต้องอ้างอิงถึงเจ้าของเอกสารทุกครั้งที่มีการนำไปใช้

Input audio: 1,500 Hz sinewave sampled at 32 kHz, 64 of 256 samples shown



Subband Outputs:
8x32 samples; both subband 3 and 4
have significant output values

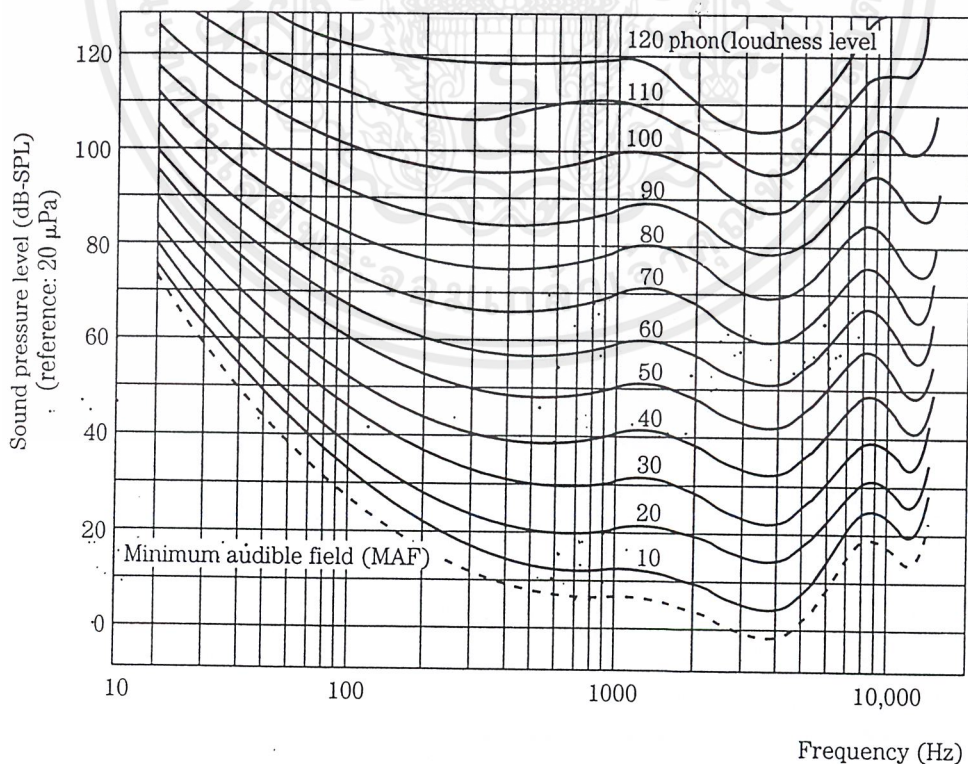
รูปที่ 4.5 การซ้อนทับของสัญญาณ

สัญญาณ ไซน์ที่มีความถี่เดียวสามารถเกิดเอาท์พุทได้ 2 แถบความถี่ย่อย

เอกสารนี้เป็นเอกสารที่สงวนไว้สำหรับการใช้งานเพื่อการศึกษาเท่านั้น ไม่อนุญาตให้นำไปใช้ประโยชน์ด้านการค้า ไม่ว่ากรณีใดๆ ทั้งสิ้น อีกทั้งห้ามมิให้ดัดแปลงเนื้อหาและต้องอ้างอิงถึงเจ้าของเอกสารทุกครั้งที่มีการนำไปใช้

ไซโคอะคูสติก (Psychoacoustics)

เมื่อเราได้ยินเสียงเพลง เราสามารถแยกเสียงฮาโมนิกส์ที่ 5 กับความถี่มูลฐานได้หรือไม่ หรือบอกข้อแตกต่างของเสียงที่ 1000 Hz กับ 1002 Hz ทั้งหมดที่กล่าวมาจะอยู่ในเรื่อง ไซโคอะคูสติก ซึ่งเป็นศาสตร์ที่เกี่ยวข้องกับการได้ยินของมนุษย์ โดยจะอธิบายผลตอบสนองของหูในทุกอย่างที่เราได้ยิน หูคนจะครอบคลุมความถี่ในช่วงที่กว้างมาก จิตเริ่มของการได้ยินที่ 120 dB SPL จะมีความเข้มของเสียงเป็นล้านล้านเท่าของความถี่จิตเริ่มในการได้ยินที่ 0 Db SPL เพื่อความสะดวกในการอธิบาย จึงเป็นการง่ายในการใช้หน่วยเดซิเบลเข้ามาช่วย เพื่อสะดวกในการพล็อตกราฟและอ่านค่า ความไวของหูคนจะมากที่สุดที่ความถี่ตั้งแต่ 1 KHz ถึง 5 KHz และความไวจะลดลงที่ความถี่สูงและความถี่ต่ำ จากการทดลองกล่าวไว้ว่า ทางเดินของความดังที่เท่ากัน (equal-loudness contour) เช่นแบบของ Robinson-Danson Curve บอกไว้ว่า ทางเดินที่ต่ำสุดจะบอกถึงสนามที่น้อยสุดที่จะได้ยิน ซึ่งก็หมายถึง ระดับพลังงานเสียงที่น้อยที่สุดภายใต้แถบความถี่ของการได้ยิน อย่างเช่น จุดเริ่มที่จะได้ยินของเสียงที่ ความถี่ 30 Hz จะต้องมีค่าความดังเป็น 60 เท่าของเสียงที่ความถี่ 4 KHz ผลตอบสนองจะแปรเปลี่ยน โดยขึ้นกับความดัง ยิ่งเสียงดังมากเท่าไร ผลตอบสนองก็จะยิ่งเรียบมากขึ้นเท่านั้น

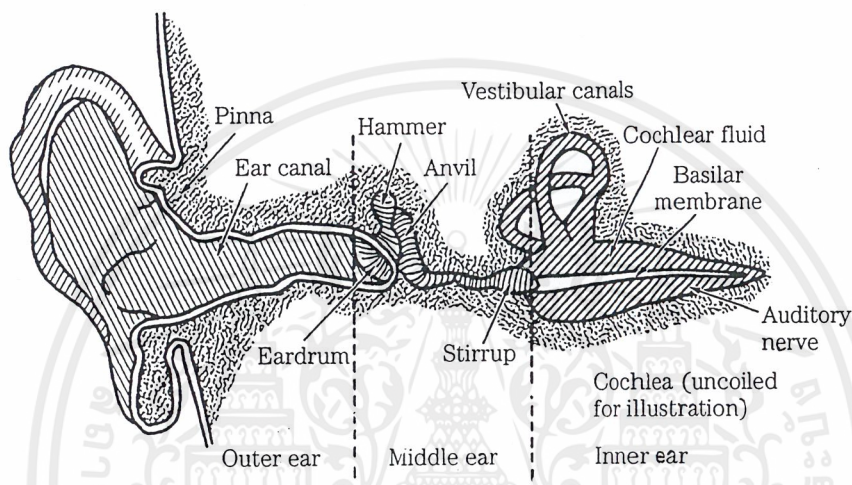


รูปที่ 4.6 แสดงทางเดินของเสียงที่ความดังเท่ากันบอกเป็นนัยว่าหูคนมีความสัมพันธ์ไม่เป็นเส้น

เอกสารตรงกับความถี่ และเส้นโค้งนี้ได้มาจาก การศึกษาไซโคอะคูสติก โดยใช้เสียงเป็นรูปไซน์
ไม่ว่ากรณีใดๆ ทั้งสิ้น อีกทั้งห้ามมิให้ตัดแปลงเนื้อหาและต้องอ้างอิงถึงเจ้าของเอกสารทุกครั้งที่มีการนำไปใช้

สรีระศาสตร์ของหูมนุษย์ และ แลบบความถี่วิกฤต

หูคนจะเปลี่ยนพลังงานเสียงที่ได้ยินเป็นพลังงานกล และสุดท้ายจะเปลี่ยนเป็นพลังงานคลื่นไฟฟ้า และถูกส่ง ไปยังสมอง รูปที่ 4.7 แสดงส่วนต่างๆ ของหูคนเรา



รูปที่ 4.7 รูปแบบอย่างง่าย ๆ ของหูมนุษย์

ได้มีการทดสอบ basilar membrane ผลออกมาว่า หูประกอบด้วย hair cell ประมาณ 30000 เซลล์ ถูกจัดเรียงเป็นหลายๆ แถวตามแนวของ basilar membrane ขนาดประมาณ 32 มิลลิเมตร ส่วนนี้จะเรียกว่า organ of corti โดยเซลล์เหล่านี้จะตรวจจับการสั่นสะเทือนของ basilar membrane และส่งผ่านข้อมูลของเสียงไปยังสมองในรูปของคลื่นไฟฟ้า การแบ่งแยกความถี่ (Frequency Discrimination) บอกไว้ว่า ที่ความถี่ต่ำเสียงที่ต่างกัน 2-3 Hz หูก็จะสามารถแยกแยะได้ แต่เมื่อที่ความถี่สูง เสียงจะต้องต่างกันหลายร้อยเฮิรตซ์ ถึงจะได้ยิน และในแต่ละกรณี hair cell จะตอบสนองกับการกระตุ้นที่มากสุดในย่านความถี่ของมันเท่านั้น โดยจะเรียกย่านเหล่านี้ว่า แลบบความถี่วิกฤต(Critical band) และสามารถจะประมาณได้ด้วยสมการ

$$\text{Critical Bandwidth in Hertz} = 24.7 * (4.37F + 1)$$

เมื่อ F เป็นความถี่กึ่งกลางในหน่วยกิโลเฮิรตซ์

เอกสารนี้เป็นเอกสารที่สงวนไว้สำหรับการใช้งานเพื่อการศึกษาเท่านั้น ไม่อนุญาตให้นำไปใช้ประโยชน์ด้านการค้า ไม่ว่ากรณีใดๆ ทั้งสิ้น อีกทั้งห้ามมิให้ตัดแปลงเนื้อหาและต้องอ้างอิงถึงเจ้าของเอกสารทุกครั้งที่มีการนำไปใช้

นาย Eberhard Zwicker ได้ประมาณหุคนว่ามี 24 แถบความถี่วิกฤตสำหรับความถี่ที่ต่ำกว่า 15 KHz และ แถบที่ 25 จะครอบคลุมในย่านตั้งแต่ 15 ถึง 20 KHz โดยตัวอย่างของแถบความถี่วิกฤต จะมีไว้ในรูป 4.8 สังเกตว่า แถบความถี่วิกฤตสำหรับความถี่ 1KHz ที่เป็นชาชนั้นจะมีความกว้างประมาณ 100 Hz และมีความถี่กึ่งกลาง 1 KHz จะสามารถได้ยินเสียง ถ้าเกิดเสียงนั้นมีพลังงานมากกว่า เสียง 1 KHz ที่ระดับเดียวกัน

Critical band number (Bark)	Center frequency (Hz)	Critical band (Hz)	Lower cutoff frequency (Hz)	Upper cutoff frequency (Hz)
1	50	-	-	100
2	150	100	100	200
3	250	100	200	300
4	350	100	300	400
5	450	110	400	510
6	570	120	510	630
7	700	140	630	770
8	840	150	770	920
9	1000	160	920	1080
10	1170	190	1080	1270
11	1370	210	1270	1480
12	1600	240	1480	1720
13	1850	280	1720	2000
14	2150	320	2000	2320
15	2500	380	2320	2700
16	2900	450	2700	3150
17	3400	550	3150	3700
18	4000	700	3700	4400
19	4800	900	4400	5300
20	5800	1100	5300	6400
21	7000	1300	6400	7700
22	8500	1800	7700	9500
23	10,500	2500	9500	12,000
24	13,500	3500	12,000	15,500
25	18,775	6550	15,500	22,050

Tobias

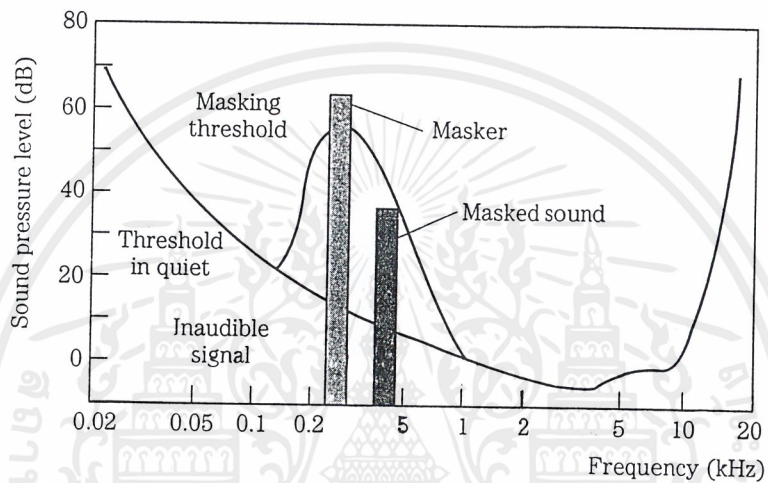
รูปที่ 4.8 เป็นตัวอย่างตารางของแถบความถี่วิกฤตในย่านการได้ยิน

ขีดเริ่มของการได้ยิน และการบดบัง (Threshold of Hearing and Masking)

ปรากฏการณ์ 2 อย่างที่เกี่ยวข้องกับการได้ยิน ของมนุษย์ คือ ขีดเริ่มน้อยสุดของการบดบัง (Minimum Masking Threshold) ดังรูปที่ 4.9 เส้นโค้งของขีดเริ่มการได้ยินจะอธิบายถึงระดับที่น้อยที่สุดซึ่งหูจะสามารถรับรู้ได้ ณ ความถี่ใดๆ ขีดเริ่มนี้จะเปรียบเทียบกับกับเสียงที่ 0 dB ความถี่ 1 KHz หูคนจะมีความไวมากที่สุดที่ความถี่ 1 ถึง 5 KHz ที่ซึ่งเราสามารถได้ยินเสียงที่ต่ำกว่า 0 dB ได้ โดยปกติสัญญาณเสียง 2 ชุดที่มีพลังงานเท่ากัน และคนละความถี่จะมีความดังไม่เท่ากัน และจะ

เหมือนกับการได้ยินเสียงสัญญาณรบกวน และการลดทอนสัญญาณจะเปลี่ยนตามความถี่ ความไวไม่เท่ากันใดๆ ทั้งสิ้น อีกทั้งห้ามมิให้ตัดแปลงเนื้อหาและต้องอ้างอิงถึงเจ้าของเอกสารทุกครั้งที่มีการนำไปใช้

จะลดลงที่ความถี่สูง และความถี่ต่ำ อย่างเช่น เสียงที่ 20 Hz จะต้องมีพลังงานอย่างน้อยเท่ากับ 70 dB ของเสียง 1KHz เพื่อที่จะได้ยินที่ความดังเท่ากัน การเข้ารหัสจะเปรียบเทียบสัญญาณอินพุตกับ ค่าขีดเริ่มของการได้ยิน และทำการกำจัดสัญญาณที่อยู่ใต้ค่าขีดเริ่ม เพราะว่าหูเราจะไม่ได้ยินเสียง เหล่านี้

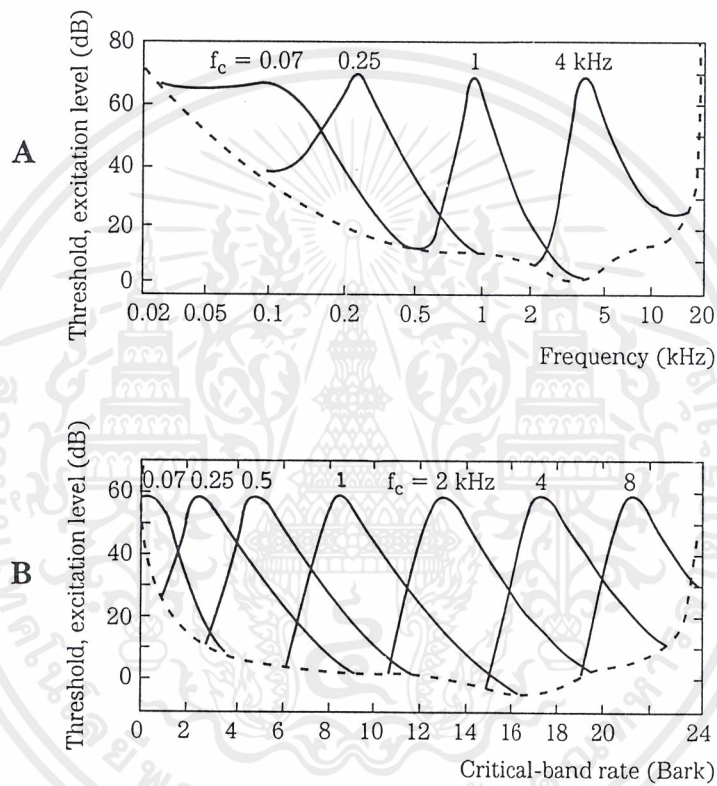


รูปที่ 4.9 ขีดเริ่มของการได้ยินอธิบายถึง เสียงที่อ่อนกว่าย่านการได้ยินของหู เสียงที่มีพลังงานมาก จะยกระดับขีดเริ่มการได้ยินในย่านใกล้เคียง ทำให้ได้เส้นโค้งการบดบังชุดใหม่

การบดบังทางขนาดจะเกิดขึ้นเมื่อสัญญาณเสียงได้เลื่อนเส้นโค้งขีดเริ่มขึ้นในย่านของความถี่ที่อยู่ใกล้ๆ เสียงอันนั้น ขีดเริ่มการบดบังบอกระดับเสียงอันจะซึ่งเริ่มได้ยิน เมื่อมีเสียงหลายๆ ชุดถูกสร้างขึ้นมาพร้อมกัน การบดบังจะเกิดขึ้น เมื่อเสียงอันที่ดังกว่าจะไปบดบังเสียงที่อ่อนกว่า โดยที่เสียงอันที่ดังกว่าจะเรียกว่า ตัวบดบัง (Masker) และเสียงที่อ่อนกว่าจะเรียกว่า ตัวถูกบดบัง (Maskee) ทฤษฎีการบดบังได้บอกไว้ว่า เสียงที่ความถี่ต่ำสามารถจะบดบังเสียงที่ความถี่สูงกว่าได้ในแถบความถี่วิกฤตเดียวกัน เช่น เสียงที่ความถี่ 500 Hz สามารถจะบดบังเสียงที่อ่อนกว่าที่ความถี่ 600 Hz ได้ระบบการบันทึกเสียงจะไม่บันทึกเสียง 600 Hz ลงไปเพราะว่าหูเราจะไม่ได้ยินเสียงนี้ และจะบันทึกเสียงที่ความถี่ 500 Hz แทน โดยปกติมักจะขึ้นกับขนาด เสียงที่อ่อนกว่าจะถูกบดบังด้วยเสียงที่เข้มกว่า ที่ความถี่ใกล้เคียงกัน โดยส่วนมากจะอยู่ในช่วง 100 Hz ในช่วงความถี่ต่ำ หรือก็คือ แถบความถี่วิกฤตเดียวกัน

จากรูปที่ 4.10 เห็นได้ว่า ความถี่ต่ำสามารถบดบังความถี่สูงได้ การบดบังจะมีการกินเข้าไปในแถบความถี่วิกฤตที่ใกล้เคียงกัน เมื่อเสียงอันดังและมีหลายฮาโมนิคส์ เช่น สัญญาณ 1 KHz ไม่ว่าจะกรณีใดๆ ทั้งสิ้น อีกทั้งห้ามมิให้ตัดแปลงเนื้อหาและต้องอ้างอิงถึงเจ้าของเอกสารทุกครั้งที่มีการนำไปใช้

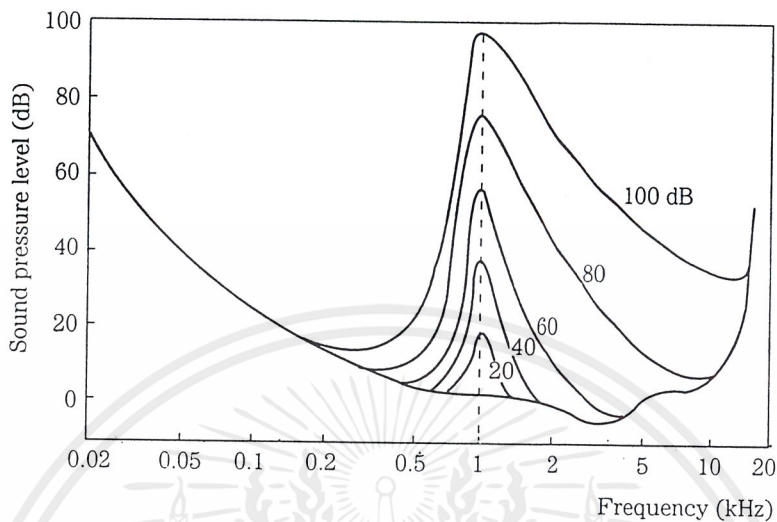
จะสามารถบดบังสัญญาณ 2 KHz ได้ เสียงที่มีแอมพลิจูดต่ำๆ จะบดบังเสียงอื่นได้น้อย เสียงที่มีความกว้างของแถบความถี่วิกฤตน้อยก็จะบดบังสัญญาณอื่นได้น้อยเช่นกัน ส่วนเสียงอันดังและมีหลายความถี่ จะมีการบดบังได้มาก โดยจะมีเส้นโค้งการบดบังขยายกว้าง



รูปที่ 4.10

เส้นโค้งการบดบัง ณ ที่ความถี่ใดๆ จะไม่สมมาตรกัน ความชันของเส้นโค้งที่ถูกเลื่อนขึ้นจะชันน้อยกว่าที่ด้านความถี่สูง ดังนั้นจึงเป็นเรื่องไม่ยากนักสำหรับเสียงที่มีความถี่ต่ำจะบดบังเสียงที่มีความถี่สูง และถ้าระดับพลังงานของตัวบดบังมากขึ้น ก็จะทำให้เส้นโค้งขีดเริ่มขยายตัวกว้างขึ้น และความชันของเส้นโค้งที่ความถี่สูงก็จะลดลงอีก แต่ความชันที่ความถี่ต่ำแทบจะไม่เปลี่ยนแปลง

เอกสารนี้เป็นเอกสารที่สงวนไว้สำหรับการใช้งานเพื่อการศึกษาเท่านั้น ไม่อนุญาตให้นำไปใช้ประโยชน์ด้านการค้าไม่ว่ากรณีใดๆ ทั้งสิ้น อีกทั้งห้ามมิให้ตัดแปลงเนื้อหาและต้องอ้างอิงถึงเจ้าของเอกสารทุกครั้งที่มีการนำไปใช้



รูปที่ 4.11 ซีดเริ่มการบดบังจะเปลี่ยนแปลงตามระดับพลังงาน โดยทดลองที่ความถี่กลาง 1 KHz เหตุผลของการโค้ดสัญญาณตามการได้ยินของมนุษย์

จุดประสงค์ของระบบการลดจำนวนข้อมูล คือ ลดอัตราข้อมูล (Data Rate) ซึ่งเป็นผลคูณของความถี่สุ่ม และ ความยาวของคำ (Wordlength) โดยสามารถลดบิตเรตลงได้ด้วยการลดความถี่สุ่ม แต่จากทฤษฎีของ Nyquist จะไปกระทบกับแถบความถี่ของสัญญาณ ในอีกทางหนึ่ง คือ ลดความยาวของคำลง อย่างไรก็ตามจะทำให้ไปลดทอนสัญญาณเสียงนั้นๆ ลง 6 DB/bit หรือก็คือ เพิ่มระดับสัญญาณรบกวนขึ้นมา จึงมีการใช้หลักการทางไซโคอะคูสติก โดยจะคงค่าความถี่สุ่มเอาไว้ แต่จะลดขนาดของข้อมูลลง ตามเงื่อนไขของสัญญาณ โดยเฉพาะการบดบังและปัจจัยอื่นๆ จะถูกพิจารณาเพื่อทำให้ผลลัพธ์ที่เพิ่มระดับของสัญญาณรบกวนมีผลกระทบน้อยที่สุด

ระบบการเข้ารหัสสัญญาณจะพิจารณาความถี่และแอมพลิจูด ของสัญญาณอินพุท และเปรียบเทียบกับกรับรู้ของมนุษย์ ข้อมูลที่สอดคล้องกับรูปแบบก็หมายถึง ส่วนที่เราได้ยิน และจะนำมาเข้ารหัส ส่วนอื่นจะถูกกำจัดออกไป ผลลัพธ์ของกระบวนการคำนวณทางดิจิทัลทำให้ได้ข้อมูลส่วนที่สำคัญเท่านั้น เช่น สามารถจะลดอัตราข้อมูลลงไปได้ถึง $\frac{1}{4}$ จาก 1.41 Mbps เป็น 384 Kbps ปริมาณข้อมูลลดลงไปถึง 75% โดยวิธีการแบบ PCM ทุกๆสัญญาณจะถูกกำหนดให้มีความยาวเท่ากัน แต่การเข้ารหัสด้วยวิธีไซโคอะคูสติกจะกำหนดจำนวนบิตตามการได้ยิน ถ้าเสียงที่สำคัญจะกำหนดจำนวนบิตมากเพื่อจะแน่ใจว่าไม่สูญเสียข้อมูลในส่วนที่สำคัญไป ในทางตรงกันข้ามจำนวนบิตที่ไม่มากจะถูกกำหนดให้กับเสียงที่อ่อนกว่า ส่วนเสียงที่ไม่ได้ยินจะไม่มีการโค้ดเลย ด้วยวิธีนี้การลดบิตเรตก็จะทำได้สำเร็จ อัตราส่วนการลดข้อมูลเป็นอัตราส่วนของอินพุทบิตเรต ต่อเอาต์พุทบิตเรต อาจจะเป็น 4:1, 8:1 หรือ 16:1 ก็ได้

เอกสารนี้เป็นทรัพย์สินของมหาวิทยาลัยเทคโนโลยีพระจอมเกล้าธนบุรี ไม่อนุญาตให้นำไปใช้ประโยชน์ด้านการค้าไม่ว่ากรณีใดๆ ทั้งสิ้น อีกทั้งห้ามมิให้ดัดแปลงเนื้อหาและต้องอ้างอิงถึงเจ้าของเอกสารทุกครั้งที่มีการนำไปใช้

โดยปกติจะมีวิธีจัดเรียงบิตอยู่ 2 ชนิด แต่วิธีที่นิยมใช้คือ Forward Adaptive Allocation ซึ่งการจัดสรรจำนวนบิตจะทำให้เสร็จในส่วนของการเข้ารหัส และข้อมูลที่ถูกเข้ารหัสแล้วจะอยู่ในรูปของบิตสตรีม ประโยชน์ของวิธีนี้คือใช้วิธีทางไซโคอะคูสติก ในส่วนของตัวเข้ารหัส ส่วนตัวถอดรหัสไม่ต้องมีในส่วนนี้ เพราะว่าจะใช้ข้อมูลจากบิตสตรีม ในการสร้างสัญญาณขึ้นมาใหม่

Bits/sample	Comp ratio	58 kHz	44.1 kHz
16	1:1	768 kbps	705.6 kbps
8	2:1	384	352.8
4	4:1	192	176
2.67	6:1	128	117.7
2	8:1	96	88.2
1.45	11:1	69.6	64

รูปที่ 4.12-การลดจำนวนบิตเรท สำหรับสัญญาณคู่ที่มีความถี่ 44.1 และ 48 KHz

การโค้ดสัญญาณแบบการบีบอัดข้อมูล (Data Reduction Coding)

การโค้ดสัญญาณในโดเมนความถี่มี 2 ชนิดคือ การโค้ดแบบสับแบนด์ และการโค้ดแบบทรานฟอร์ม โดยทั่วไปการโค้ดแบบสับแบนด์จะทำให้ได้ความละเอียดทางเวลาสูงแต่จะแย่ในส่วนของความละเอียดทางความถี่ แต่การโค้ดแบบทรานฟอร์มจะให้ความละเอียดทางเวลาดำและความละเอียดทางความถี่สูง ทั้ง 2 แบบ แสดงในรูป 4.13 ไม่ว่าแซมเปิ้ลในโดเมนเวลา หรือ โดเมนความถี่ อย่างไรก็ตามอย่างหนึ่งจะถูกควอนไทซ์ตามรูปแบบของไซโคอะคูสติกที่อยู่ในส่วนของการเข้ารหัส การโค้ดแบบสับแบนด์จะแบ่งอินพุตออกเป็นหลายๆสับแบนด์ โดยการใช้ฟิลเตอร์เบงค์มาช่วย และพิจารณาพลังงานที่อยู่ในแต่ละสับแบนด์ ในส่วนของการโค้ดแบบทรานฟอร์ม สัญญาณอินพุตจะถูกเปลี่ยนเป็นบล็อกของสเปกตรัมในโดเมนความถี่ จากนั้นสัมประสิทธิ์ของการเปลี่ยนจะถูกควอนไทซ์และโค้ดตามแบบทางไซโคอะคูสติก

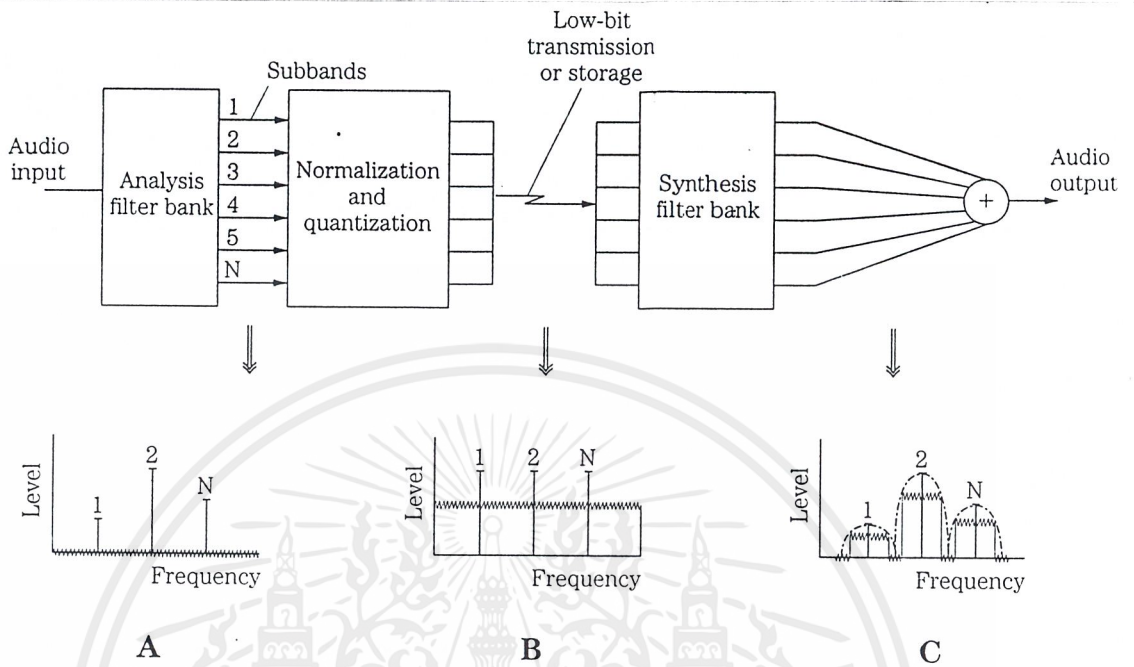
ทั้งในส่วนของการโค้ดแบบสับแบนด์ หรือ ทรานฟอร์มจะใช้วิธีทางไซโคอะคูสติกในการควอนไทซ์เฉพาะสัญญาณในส่วนที่มีนัยสำคัญต่อการได้ยินเท่านั้น ในส่วนของสัญญาณที่ต่ำกว่าขีดเริ่ม หรือถูกบดบังโดยสัญญาณอื่นที่มีนัยสำคัญกว่าจะทำให้ไม่ได้ยิน และจะไม่มี การโค้ดสัญญาณนั้น นอกจากนั้นความละเอียดในการควอนไทซ์จะต้องปรับเปลี่ยนให้ความผิดพลาดเกิดในส่วนที่มีนัยสำคัญ โดยหวังว่าเมื่อถอดรหัสสัญญาณออกมาแล้ว ข้อผิดพลาดจะถูกบดบังโดย

สัญญาณของมันเองอีกที วิธีการนี้จะทำให้ได้การบีบอัดที่ดี สามารถทำให้ได้อัตราส่วนการบีบอัด 4:1 หรือ 12:1 อย่างไม่ยากนัก

การโค้ดแบบสับแบนด์

การโค้ดแบบนี้ได้ถูกพัฒนาครั้งแรกในห้องทดลองเบลล์ในปี 1980 บล็อกของแฮมเบิ้ลที่อยู่ ในโดเมนเวลาซึ่งแสดงถึงสัญญาณแถบกว้างจะถูกนำมารวบรวมและป้อนเข้าไปในฟิลเตอร์แบงก์ โดยจะแบ่งสัญญาณออกเป็นช่องๆ เพื่อจะประมาณแถบความถี่วิกฤตของหูคนเรา โดยที่ฟิลเตอร์แบงก์นี้จะต้องมีความถี่คutoffที่คม เพื่อเลียนแบบผลตอบสนองของแถบความถี่วิกฤต และจำกัดสัญญาณรบกวนจากการควอนไทซ์ให้อยู่ในแบนด์นั้นๆ ซึ่งจะมีเพียงตัวกรองทางดิจิทัลเท่านั้นที่ทำได้ โดยแฮมเบิ้ลในแต่ละสับแบนด์จะถูกนำมาพิจารณา และเปรียบเทียบกับรูปแบบทางไซโคอะคูสติก

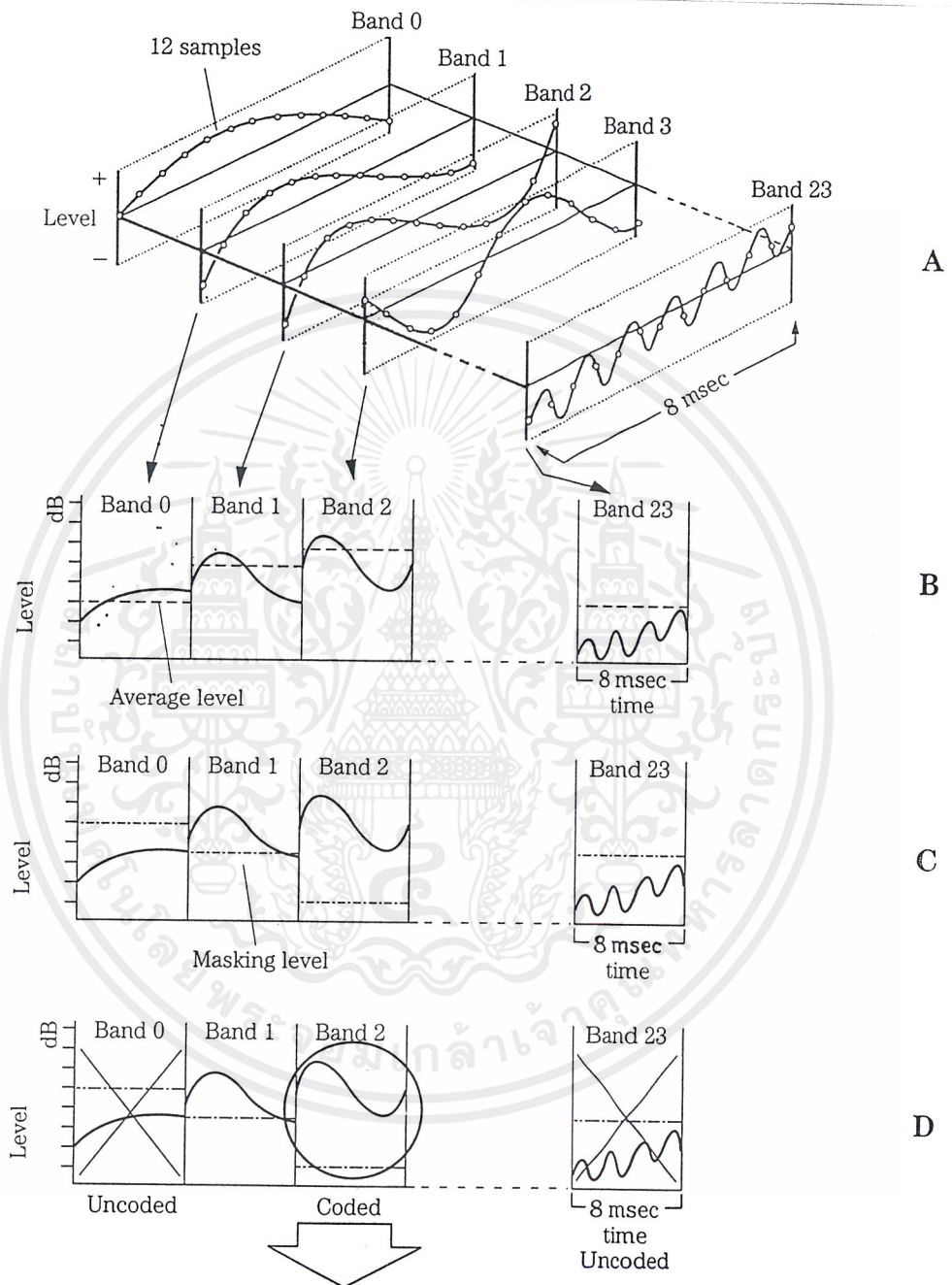
แต่ละสับแบนด์ จะถูกโค้ดอย่างเป็นอิสระต่อกัน โดยอาจจะมีจำนวนบิตมากหรือน้อยต่างกันในแต่ละสับแบนด์ แต่ทุกๆกรณี จะเกิดสัญญาณรบกวนจากการควอนไทซ์เพิ่มขึ้นมา อย่างไรก็ตามเมื่อสัญญาณสร้างขึ้นมาใหม่ สัญญาณรบกวนจะถูกจำกัดให้อยู่เฉพาะในสับแบนด์นั้น และถูกบดบังโดยสัญญาณคิงรูป 4.13 การจัดแจงบิต จะถูกพิจารณาโดยรูปแบบทางไซโคอะคูสติก โดยทำทุกๆสับแบนด์ในทุกๆบล็อกของข้อมูลใหม่ที่เข้ามา แฮมเบิ้ลจะถูกควอนไทซ์ตามการได้ยินของสัญญาณและสัญญาณรบกวน



รูปที่ 4.13 การโค้ดแบบสับแบนด์จะสร้างแอมเบิ้ลให้อยู่เป็นแบนด์แคบๆที่มีสัญญาณรบกวนระดับน้อยๆ แอมเบิ้ลในแต่ละสับแบนด์จะถูกควอนไทซ์ ทำให้ไปยกระดับสัญญาณรบกวนขึ้นมา เมื่อสัญญาณถูกสร้างขึ้นใหม่ ตัวกรองจะบังคับให้สัญญาณรบกวนอยู่ในสับแบนด์นั้นๆ ที่ซึ่งจะถูกบดบังโดยสัญญาณ A สับแบนด์แอมเบิ้ลที่มีความละเอียดทางความถี่สูง B ควอนไทซ์ให้ได้ขีดจำกัดที่ต้องการ C เมื่อสร้างสัญญาณขึ้นมาใหม่ สัญญาณรบกวนจะถูกบดบังโดยสัญญาณนั้นๆ

ในการออกแบบบางวิธียังได้มีการป้อนสัญญาณเพื่อจะเปลี่ยนจากโดเมนเวลาเป็นโดเมนความถี่ เช่นการใช้ FFT เพื่อคำนวณพลังงานในแต่ละสับแบนด์ โดยค่านี้จะถูกป้อนไปให้รูปแบบของไซโคอะคูสติก เพื่อตัดติ่งเส้นโค้งผลรวมการบดบังที่จะให้กับสัญญาณในบล็อคนั้น โดยเฉพาะตัวเข้ารหัสจะพิจารณาพลังงานในแต่ละสับแบนด์ เพื่อดูว่าสับแบนด์ใดมีข้อมูลเสียงที่ได้ยินอยู่ การคำนวณเกิดขึ้นเพื่อดูพลังงานเฉลี่ยของแต่ละสับแบนด์ของข้อมูลบล็อคนั้น โดยค่าพลังงานเฉลี่ยนี้จะถูกใช้เพื่อคำนวณระดับการบดบัง(Masking level) และการบดบังของสัญญาณจากสับแบนด์ที่อยู่ใกล้เคียง ในที่สุด ค่าขีดเริ่มน้อยสุดของการได้ยิน(Minimum Masking Threshold) จะถูกคำนวณออกมาในแต่ละสับแบนด์เพื่อจะได้ระดับการบดบังขั้นสุดท้าย พลังงานสูงสุดที่อยู่ในแต่ละสับแบนด์จะถูกคำนวณ และ เปรียบเทียบกับระดับการบดบัง สับแบนด์ที่ไม่มีข้อมูลที่ได้ยินจะไม่ถูกโค้ด เสียงที่ถูกบดบังโดยเสียงที่ดังกว่าจะไม่ถูกโค้ด และในบางกรณีสับแบนด์สามารถจะบดบังสับแบนด์ข้างเคียงได้ ทำให้ไม่โค้ด ส่วนสับแบนด์ที่มีระดับพลังงานอยู่สูงกว่าระดับขีดเริ่มการบดบังน้อยสุด จะมีข้อมูลในส่วนที่เราได้ยิน และจะถูกโค้ด

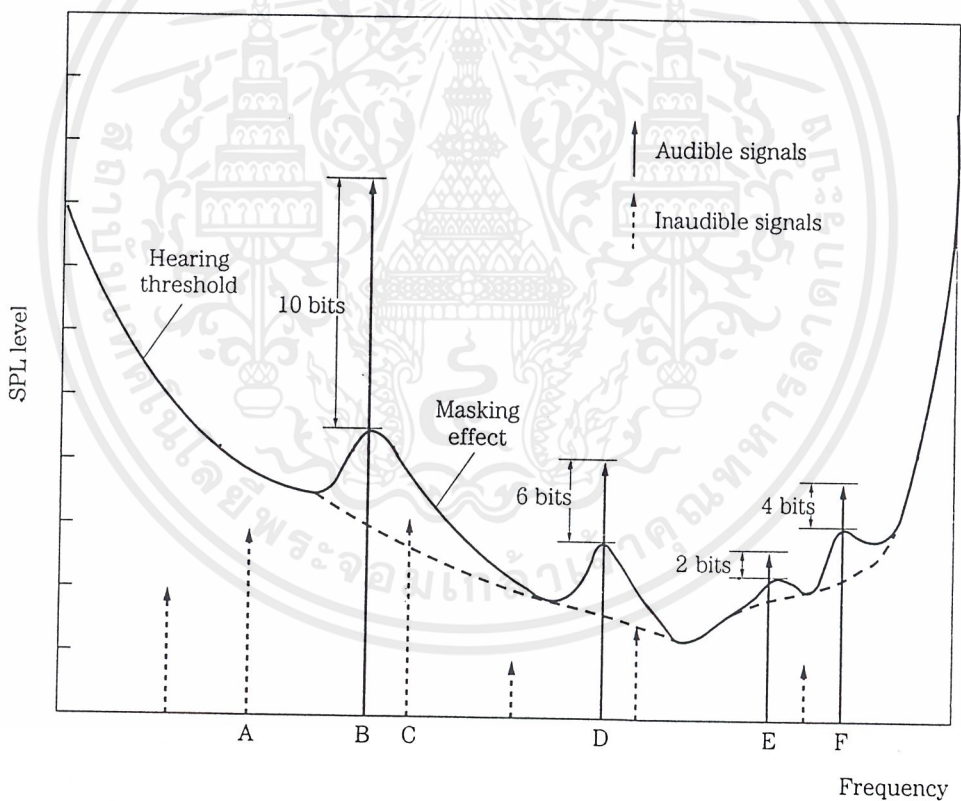
เอกสารนี้เป็นเอกสารลิขสิทธิ์ของมหาวิทยาลัยเทคโนโลยีพระจอมเกล้าธนบุรี ไม่อนุญาตให้นำไปใช้ประโยชน์ด้านการค้า ไม่ว่ากรณีใดๆ ทั้งสิ้น อีกทั้งห้ามมิให้ดัดแปลงเนื้อหาและต้องอ้างอิงถึงเจ้าของเอกสารทุกครั้งที่มีการนำไปใช้



รูปที่ 4.14 การโค้ดแบบสับแบนด์จะแบ่งสัญญาณออกเป็นสับแบนด์แคบๆ และคำนวณระดับพลังงานเฉลี่ย อีกทั้งระดับบดบัง แล้วก็จะคอนโตนซ์แซมเปิลในแต่ละสับแบนด์ A เอาท์พุทของตัวกรอง 24 สับแบนด์ B การคำนวณระดับเฉลี่ยในแต่ละสับแบนด์ C การคำนวณระดับการบดบังของแต่ละสับแบนด์ D สับแบนด์ที่ไม่ได้ยินเสียงจะไม่ถูกโค้ด E จำนวนบิตจะถูกจัดสรรให้ตามระดับของ

สัญญาณที่เหนือระดับบดบัง การใช้งานเพื่อการศึกษาเท่านั้น ไม่อนุญาตให้นำไปใช้ประโยชน์ด้านการค้า ไม่ว่ากรณีใดๆ ทั้งสิ้น อีกทั้งห้ามมิให้ดัดแปลงเนื้อหาและต้องอ้างอิงถึงเจ้าของเอกสารทุกครั้งที่มีการนำไปใช้

การคำนวณจะเปรียบเทียบอัตราส่วนของพลังงานสูงสุดกับระดับบดบังในแต่ละสับแบนด์ ดังรูปที่ 4.15 แสดงเส้นแนวตั้งซึ่งเป็นพลังงานสูงสุด และระดับขีดเริ่มต่ำสุดของการได้ยิน ส่วนสัญญาณที่ต่ำกว่าขีดเริ่มการบดบังจะไม่ถูกโค้ด อย่างเช่น สัญญาณ A ต่ำกว่าเส้นโค้งจะไม่ถูกโค้ด ส่วนสัญญาณ B จะถูกโค้ด แต่การเกิดของมันได้ลดระดับแอมพลิจูดสัมพัทธ์ลง ส่วนของสัญญาณ B ระหว่างเส้นโค้งน้อยสุดและ เส้นโค้งบดบังแสดงถึงจำนวนแสดงถึงจำนวนบิตที่ถูกโค้ดเมื่อเกิดการบดบังขึ้น ในอีกแง่หนึ่ง แทนที่จะใช้ S/N Ratio เราจะใช้ S/M Ratio แทน โดยจะคำนวณมาจากทุกๆสับแบนด์ และผลต่างของค่าสัญญาณสูงสุด และขีดเริ่มต่ำสุดของการได้ยิน ถูกนำมาใช้ในการพิจารณาจำนวนบิตที่จะกำหนดให้ในแต่ละสับแบนด์



รูปที่ 4.15 การจักรรบิตจะกำหนดจำนวนบิตตามการได้ยิน ส่วนที่ไม่ได้ยินจะไม่มีโค้ด

จำนวนบิตที่ให้กับแต่ละสับแบนด์จะต้องเพียงพอที่จะให้ระดับของสัญญาณรบกวนต่ำกว่าระดับบดบัง ในตอนเราสร้างสัญญาณขึ้นมาใหม่ จำนวนของบิตนั้น ได้มาจากค่า SMR Ratio

เอกสารนี้เป็นเอกสารที่สงวนไว้สำหรับการใช้งานเพื่อการศึกษาเท่านั้น ไม่อนุญาตให้นำไปใช้ประโยชน์ด้านการค้าไม่ว่ากรณีใดๆ ทั้งสิ้น อีกทั้งห้ามมิให้ดัดแปลงเนื้อหาและต้องอ้างอิงถึงเจ้าของเอกสารทุกครั้งที่มีการนำไปใช้

การโค้ดแบบทรานฟอร์ม

ในการโค้ดแบบนี้ บล็อกของสัญญาณในโดเมนเวลาจะเปลี่ยนเป็นโดเมนความถี่ โดยอาจใช้ Fast Fourier Transform มาช่วย สัมประสิทธิ์สเปกตรัมที่ได้จาก FFT จะถูกควอนไทซ์ตามรูปแบบของไซโคอะคูสติก ส่วนที่ถูกบดบังจะถูกกำจัดออกไป เนื่องจากแอมพลิจูดที่อยู่ในโดเมนเวลาแล้วเปลี่ยนเป็นโดเมนความถี่จะให้เราได้สัมประสิทธิ์สเปกตรัม จำนวนของสัมประสิทธิ์บางครั้งเราเรียกว่า จำนวนถึงความถี่ เช่น 512 จุด จะทำให้ได้สัมประสิทธิ์ความถี่ 256 สเปกตรัม หรือ 256 ถึงความถี่ สัมประสิทธิ์อาจจะเป็น 512 หรือ 1024 หรือมากกว่า จะถูกแบ่งให้เป็น 32 สับแบนด์ โดยสเปกตรัมเหล่านี้แสดงถึงบล็อกของสัญญาณในโดเมนเวลา



เอกสารนี้เป็นเอกสารที่สงวนไว้สำหรับการใช้งานเพื่อการศึกษาเท่านั้น ไม่อนุญาตให้นำไปใช้ประโยชน์ด้านการค้าไม่ว่ากรณีใดๆ ทั้งสิ้น อีกทั้งห้ามมิให้ตัดแปลงเนื้อหาและต้องอ้างอิงถึงเจ้าของเอกสารทุกครั้งที่มีการนำไปใช้

บทที่ 5

DSP56009 Evaluation Module

DSP56009EVM เป็นบอร์ดที่ใช้สำหรับออกแบบและพัฒนาระบบเสียงเชิงดิจิทัล ซึ่งตัวประมวลผลหลักของโมดูลนี้เป็นตัวประมวลผลทางดิจิทัล (Digital Signal Processor) ของบริษัทโมโตโรล่า เบอร์ DSP56009 โดยมีคำสั่งรองรับการประมวลผลเชิงดิจิทัลโดยตรงนอกจากนี้ยังรองรับ Protocol ได้อีกหลายแบบด้วย

บนบอร์ดประกอบไปด้วยส่วนสำคัญต่างๆดังนี้

DSP56009 เป็น Digital Signal Processor ขนาด 24 บิต ทำงานที่ความถี่ 81 MHz

- สามารถทำงานได้ด้วยความเร็ว 40.5 ล้านคำสั่งต่อวินาที
- ประกอบด้วยบัสรับส่งข้อมูลภายในขนาด 24 บิต 4 ชุด , แอดเดรสบัสภายในขนาด 16 บิต 3 ชุด ที่สามารถอ้างถึงได้พร้อมกัน
- มีหน่วยความจำภายในทั้งแบบ ROM และ RAM ได้แก่
 - a) X-data RAM ขนาด 4608 x 24 บิต และ X-data ROM ขนาด 3072 x 24 บิต
 - b) Y-data RAM ขนาด 4352 x 24 บิต และ Y-data RAM ขนาด 1792 x 24 บิต
 - c) Program RAM ขนาด 512 x 24 บิต และ Program ROM ขนาด 10240 x 24 บิต
 - d) สามารถแปลงเนื้อที่ X และ Y data RAM ขนาด 2304 x 24 บิตให้เสมือนเป็น Program RAM ได้
 - e) มี OnCE (On Chip Emulator) port สำหรับติดต่อกับ host ภายนอก
 - f) มี Phase Lock Loop ที่สามารถโปรแกรมได้ใช้สำหรับสร้างฐานความถี่

หน่วยความจำภายนอก (External memory)

- มีหน่วยความจำแบบ SRAM และ non-volatile RAM ขนาด 8192 ไบต์ ที่สามารถเคลื่อนย้ายข้อมูลระหว่างกันแบบเป็นบล็อกได้
- มี slot มาตรฐานขนาด 30-pin แบบ SIMM ที่สามารถเพิ่มหน่วยความจำแบบ DRAM ได้สูงสุดถึง 4 M x 8

ส่วนติดต่อกับผู้ใช้ (User interface)

- ควบคุมโดยไมโครคอนโทรลเลอร์เบอร์ MC68HC711E9 ที่อนุญาตให้ผู้ใช้โปรแกรมได้ด้วยรหัสเฉพาะแบบ 68HC11

เอกสารนี้เป็นเอกสารที่สงวนไว้สำหรับการใช้งานเพื่อการศึกษาเท่านั้น ไม่อนุญาตให้นำไปใช้ประโยชน์ด้านการค้าไม่ว่ากรณีใดๆ ทั้งสิ้น อีกทั้งห้ามมิให้ตัดแปลงเนื้อหาและต้องอ้างอิงถึงเจ้าของเอกสารทุกครั้งที่มีการนำไปใช้

- มีหน่วยแสดงผลแบบ LCD (2 บรรทัด 16 ตัวอักษร / บรรทัด) สั่งงานได้ด้วยสวิทช์ 4 ตัว และผู้ใช้สามารถเพิ่มสวิทช์ควบคุมได้อีก 16 ตัว
- มีชิปเบอร์ MC68705k1 สำหรับแปลงการสื่อสารจากแบบ RS-232 ไปเป็น OnCE
- ควบคุมด้วยรีโมทคอนโทรลแบบอินฟราเรดได้

ส่วนรับส่งข้อมูล (Input / Output)

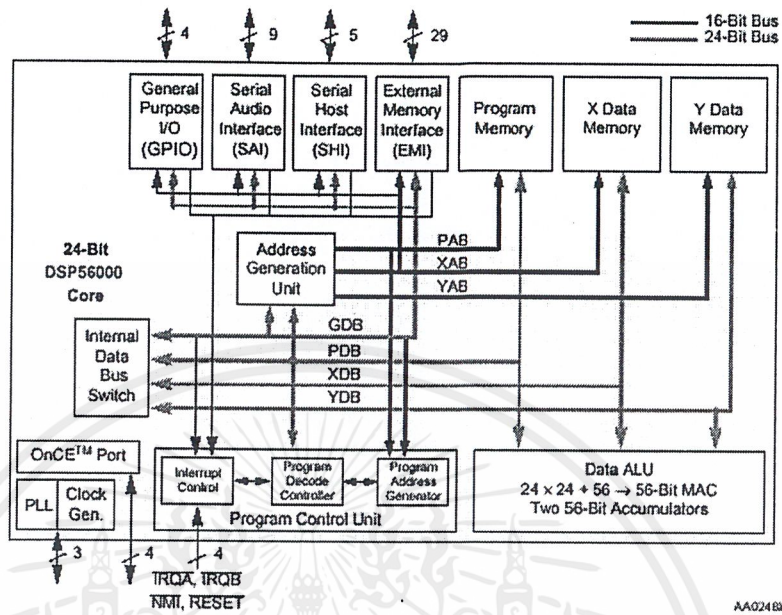
- A / D แบบ 2 ช่องสัญญาณขนาด 20 บิต
- D / A แบบ 6 ช่องสัญญาณขนาด 18 บิต
- สามารถเลือกความถี่สุ่ม (Sampling frequency) สำหรับ A / D และ D / A ได้ 2 แบบ คือ 44.1 และ 48 kHz
- มีตัวลดทอนสัญญาณเอาต์พุตแบบโปรแกรมได้
- สามารถรับ-ส่งสัญญาณผ่านทางแสงได้ โดยใช้มาตรฐานแบบ SPDIF / CP340
- มี connector ขนาด 50 pin ใช้กำหนดอินพุตและเอาต์พุตอื่นๆได้

5.1 สถาปัตยกรรมภายในชิป DSP56009 และโครงสร้างของบัส

(Architectural overview and bus structure)

สถาปัตยกรรมภายในของ DSP56009 ได้ถูกออกแบบให้รองรับการประมวลผลสัญญาณเชิงเลข (Digital Signal Processor) ได้อย่างมีประสิทธิภาพ โดยเฉพาะอย่างยิ่งการประยุกต์ใช้งานกับการประมวลผลสัญญาณเสียงเชิงเลข (Digital Audio Application) จากรูปที่ 5.1 จะเห็นว่า DSP56009 ได้ถูกออกแบบให้ส่วนคำนวณข้อมูล

(Data ALU) , ส่วนอ้างอิงหน่วยความจำ (Address Generation Unit) และส่วนควบคุมโปรแกรม (Program Control Unit) แยกกันทำงานเป็นอิสระต่อกันทั้งหมด นั่นคือชิปจะทำการประมวลผลทั้ง 3 ส่วนไปพร้อมๆกัน ซึ่งทำให้การทำงานโดยรวมรวดเร็วขึ้นมาก รายละเอียดของส่วนต่างๆเป็นดังนี้



รูปที่ 5.1 สถาปัตยกรรมภายในของ DSP56000

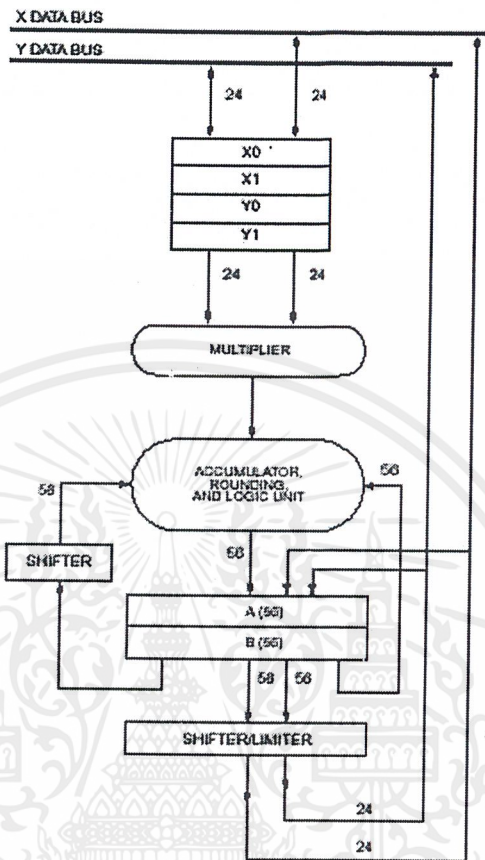
5.1.1 Data Bus ประกอบด้วยบัสขนาด 24 บิต แบบ 2 ทิศทาง (Bidirectional) จำนวน 4 ชุด คือ X data bus (XDB) , Y data bus (YDB) , Program data bus (PDB) และ Global data bus (GDB)

XDB และ YDB สามารถใช้ร่วมกันเพื่อประมวลผลทีละ 48 บิต , PDB ใช้สำหรับส่งผ่านคำสั่งไปประมวลผลโดยทำงานขนานกับบัสชุดอื่นๆ ส่วนการอ้างอิงข้อมูลรอบนอก (Peripheral) จะกระทำผ่าน GDB ข้อมูลในบัสทุกชุดสามารถถ่ายโอนระหว่างกันได้โดยผ่านทาง Internal Data Bus Switch

5.1.2 Address Bus ประกอบด้วยบัสขนาด 16 บิต แบบทิศทางเดียว (Unidirectional) จำนวน 3 ชุด ได้แก่ X address bus (XAB) , Y address bus (YAB) และ program address bus (PAB) โดยทุกชุดจะถูกควบคุมจาก Address Generation Unit

การอ้างอิงหน่วยความจำภายนอกสามารถทำได้สำหรับหน่วยความจำทุกแบบ แต่จะอ้างอิงได้เพียง 1 ตำแหน่งต่อ 1 รอบคำสั่ง (Instruction Cycle) เท่านั้น

5.1.3 Data ALU ประกอบด้วยรีจิสเตอร์และหน่วยคำนวณดังรูปที่ 5.2 รายละเอียดมีดังนี้



รูปที่ 5.2 Data ALU Block Diagram

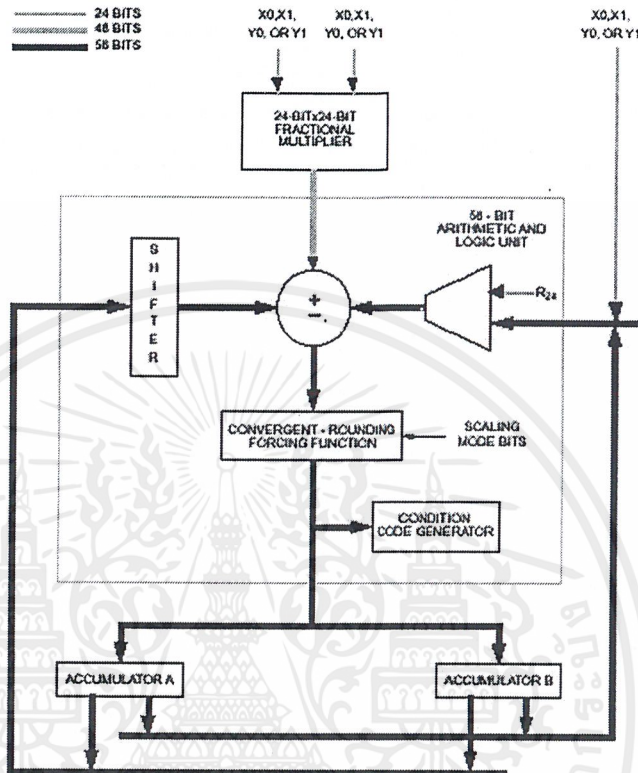
- Data ALU Input Register (X1 , X0 , Y1 , Y0) เป็นรีจิสเตอร์สำหรับข้อมูลทั่วไป (General-purpose register) ซึ่งสามารถใช้เป็นรีจิสเตอร์ขนาด 48 บิต X และ Y ได้ โดยมีการจัดเรียงลำดับข้อมูลเป็น X1:X0 และ Y1:Y0 นั่นคือ X1 และ Y1 เป็นข้อมูลที่มีความสำคัญมากที่สุด (Most Significant Word)

รีจิสเตอร์เหล่านี้ทำหน้าที่เป็น Input buffer ระหว่าง XDB , YDB กับ MAC Unit (Multiply -Accumulator / Logic Unit) โดยเขียนและอ่านผ่านทาง XDB และ YDB

- MAC and Logic Unit เป็นหน่วยประมวลผลหลักของ DSP56009 ในกรณีที่ทำ การประมวลผลคำสั่งแบบการคำนวณเลข (Arithmetic) หน่วยนี้จะสามารถรับอินพุตได้มากที่สุด 3 แหล่ง และจะให้ผลลัพธ์ขนาด 56 บิตใน Accumulator A หรือ B (A2:A1:A0 , B2:B1:B0) โดยที่การคำนวณจะทำงานได้เป็นอิสระขนานกับการอ้างอิง XDB และ YDB

การประมวลผลทางตรรกะ (Logic) ได้แก่ AND , OR , EOR (Exclusive OR)

และ NOT จะใช้เพียงรีจิสเตอร์ A1 หรือ B1 ขนาด 24 บิตเท่านั้น เอกสารนี้เป็นเอกสารที่สงวนลิขสิทธิ์ไว้เพื่อการใช้งานภายในองค์กรเท่านั้น กรุณาอย่าให้นำไปใช้ประโยชน์ด้านการค้า ไม่ว่ากรณีใดๆ ทั้งสิ้น อีกทั้งห้ามมิให้ดัดแปลงเนื้อหาและต้องอ้างอิงถึงเจ้าของเอกสารทุกครั้งที่มีการนำไปใช้

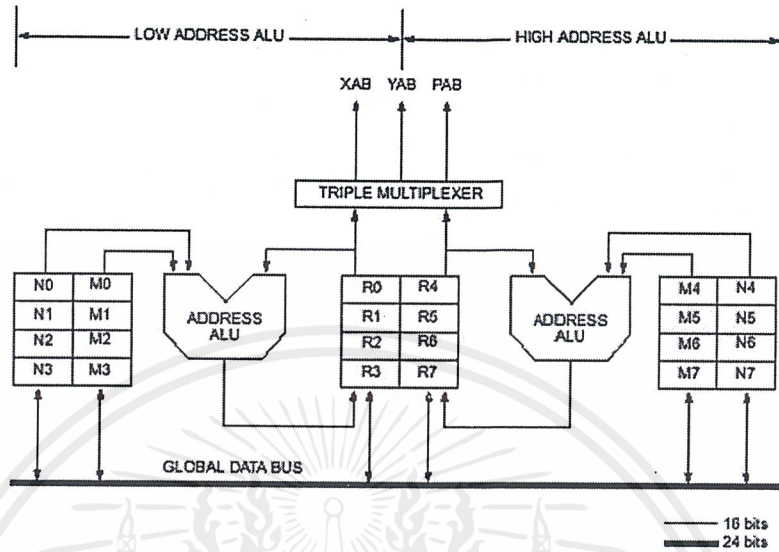


รูปที่ 5.3 MAC Unit

- Shifter and Limiter Shifter จะใช้เมื่อมีการเรียกใช้คำสั่งที่มีการเลื่อนบิตไปทางซ้ายหรือขวาเท่านั้น ส่วน Limiter จะใช้จำกัดค่าที่อ่านจาก Accumulator A หรือ B (ขนาด 56 บิต) ไปยัง XDB หรือ YDB (ขนาด 24 บิต) โดยจะทำการประมาณค่าให้ใกล้เคียงกับค่าใน Accumulator ให้มากที่สุด

5.1.4 Address Generation Unit เป็นหน่วยสำหรับคำนวณและสร้างสัญญาณที่ระบุตำแหน่งของหน่วยความจำที่จะนำไปใช้งาน โดยส่วนอื่นๆของการประมวลผล ประกอบด้วยรีจิสเตอร์และหน่วยคำนวณดังรูปที่ 5.4

เอกสารนี้เป็นเอกสารที่สงวนไว้สำหรับการใช้งานเพื่อการศึกษาเท่านั้น ไม่อนุญาตให้นำไปใช้ประโยชน์ด้านการค้าไม่ว่ากรณีใดๆ ทั้งสิ้น อีกทั้งห้ามมิให้ตัดแปลงเนื้อหาและต้องอ้างอิงถึงเจ้าของเอกสารทุกครั้งที่มีการนำไปใช้



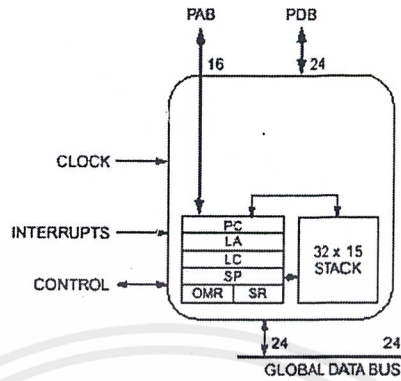
รูปที่ 5.4 Address Generation Unit

- Address Register (R_n) ประกอบไปด้วยรีจิสเตอร์ขนาด 16 บิต 2 ชุด ชุดละ 4 ตัว ($R_0 - R_3$ และ $R_4 - R_7$) ซึ่งใช้ตำแหน่งของหน่วยความจำ โดยรีจิสเตอร์ทุกตัวจะเขียนและอ่าน โดยผ่านทาง GDB
- Offset Register (N_n) ประกอบไปด้วยรีจิสเตอร์ขนาด 16 บิต 2 ชุด ชุดละ 4 ตัว ($N_0 - N_3$ และ $N_4 - N_7$) ใช้สำหรับเก็บค่า Offset ที่จะนำไปเพิ่มหรือลดค่าใน R_n โดยรีจิสเตอร์ทุกตัวจะเขียนและอ่าน โดยผ่านทาง GDB
- Modifier Register (M_n) ประกอบไปด้วยรีจิสเตอร์ขนาด 16 บิต 2 ชุด ชุดละ 4 ตัว ($M_0 - M_3$ และ $M_4 - M_7$) ใช้สำหรับการอ้างอิงหน่วยความจำแบบ Modulo โดยรีจิสเตอร์ทุกตัวจะเขียนและอ่าน โดยผ่านทาง GDB
- Address ALU เป็นหน่วยคำนวณตำแหน่งของหน่วยความจำโดยอ้างอิงข้อมูลจากรีจิสเตอร์ R_n , N_n และ M_n

5.1.5 Program Controller เป็นส่วนควบคุมการทำงานของชิป แสดงส่วนต่างๆ ได้ดังรูปที่

5.5

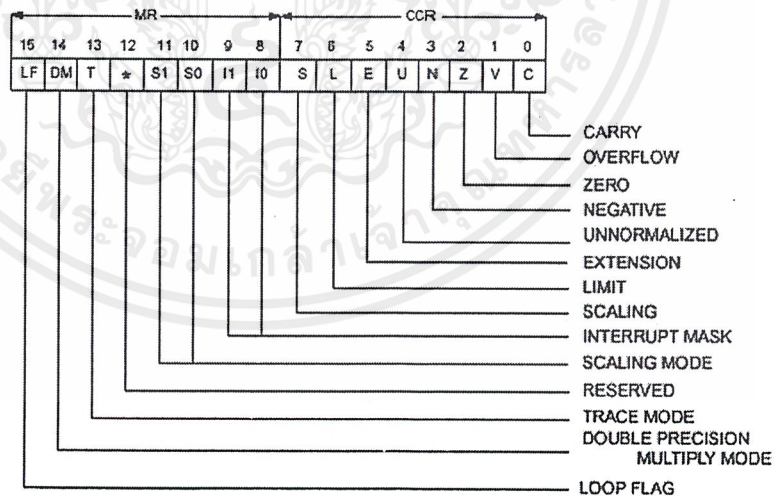
เอกสารนี้เป็นเอกสารที่สงวนไว้สำหรับการใช้งานเพื่อการศึกษาเท่านั้น ไม่อนุญาตให้นำไปใช้ประโยชน์ด้านการค้าไม่ว่ากรณีใดๆ ทั้งสิ้น อีกทั้งห้ามมิให้ตัดแปลงเนื้อหาและต้องอ้างอิงถึงเจ้าของเอกสารทุกครั้งที่มีการนำไปใช้



รูปที่ 5.5 Program Controller Block Diagram

- รีจิสเตอร์ ประกอบด้วยรีจิสเตอร์ควบคุมการทำงานดังนี้

- * Program Counter (PC) รีจิสเตอร์ขนาด 16 บิต ซึ่งใช้เก็บค่าตำแหน่งของคำสั่งถัดไปที่จะทำการอ่าน (Fetch) เข้าสู่ส่วนถอดรหัสคำสั่ง (Decode)
- * Status Register (SR) รีจิสเตอร์ขนาด 16 บิต ประกอบด้วย Mode Register (MR) (ใน 8 บิตบน) Condition Code Register (CCR) (ใน 8 บิตล่าง) รายละเอียดของแต่ละบิตแสดงดังรูปที่ 5.6

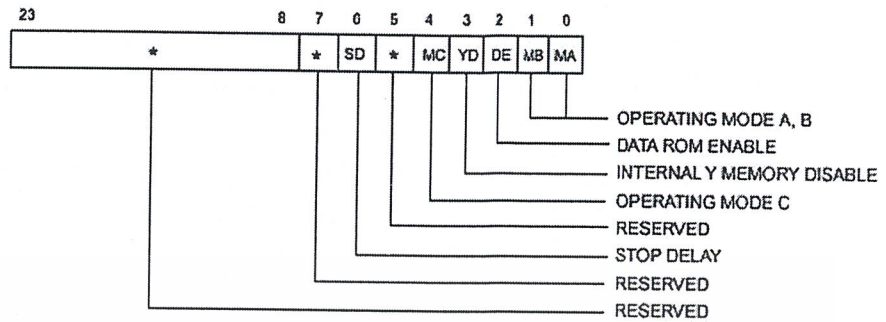


All bits are cleared after hardware reset except bits 8 and 9 which are set to ones. Bits 12 and 16 to 23 are reserved, read as zero and should be written with zero for future compatibility

รูปที่ 5.6 Status Register

* Operating Mode Register (OMR) รีจิสเตอร์ขนาด 24 บิต แต่ใช้เพียง 5 บิตเท่านั้น รายละเอียดแสดงในรูปที่ 5.7

เอกสารนี้เป็นเอกสารที่สงวนไว้สำหรับการใช้งานเพื่อการศึกษาเท่านั้น ไม่อนุญาตให้นำไปใช้ประโยชน์ด้านการค้าไม่ว่ากรณีใดๆ ทั้งสิ้น อีกทั้งห้ามมิให้ตัดแปลงเนื้อหาและต้องอ้างอิงถึงเจ้าของเอกสารทุกครั้งที่มีการนำไปใช้



รูปที่ 5.7 Operating Mode Register

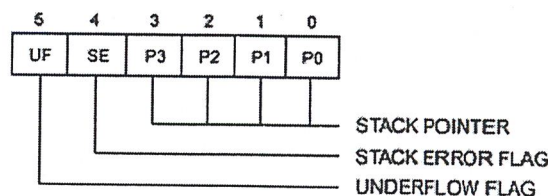
* Loop Address Register (LA) รีจิสเตอร์ขนาด 16 บิต ซึ่งใช้เก็บตำแหน่งของคำสั่งสุดท้ายของ Loop เมื่อมีการเรียกใช้ Hardware Loop (คำสั่ง DO) มีหน้าที่ตรวจสอบและควบคุมจำนวน Loop ที่จะต้องวน โดยจะทำงานร่วมกันกับ Loop Counter Register (LC)

* Loop Counter Register (LC) รีจิสเตอร์ขนาด 16 บิต ซึ่งใช้เก็บจำนวนครั้งที่ต้องทำซ้ำใน Hardware Loop

* System Stack (SS) เป็นหน่วยความจำแบบ 32 บิต แบ่งเป็น 2 ส่วนๆละ 16 บิต คือ SSH และ SSL โดย SSH จะใช้สำหรับเก็บค่าภายใน PC ส่วน SSL จะใช้เก็บข้อมูลภายใน SR เมื่อมีการเรียกใช้โปรแกรมย่อย (Subroutine) นอกจากนี้ยังใช้เก็บค่าใน LA และ LC ด้วยในกรณีที่มีการเรียกใช้ Hardware Loop

หน่วยความจำส่วนนี้มีด้วยกัน 15 ตำแหน่งนั้นหมายความว่า DSP56009 อนุญาตให้ผู้ใช้เรียกใช้โปรแกรมย่อยซ้อนกันได้มากที่สุด 15 ระดับ หรือเรียกใช้ Hardware Loop ซ้อนกันได้มากที่สุด 7 ระดับ

* Stack Pointer Register (SP) เป็นรีจิสเตอร์ขนาด 6 บิต ใช้สำหรับชี้ตำแหน่งของ System Stack 4 บิต ส่วนอีก 2 บิตที่เหลือจะใช้บอกสถานะ (Status Flag) ของ SS



รูปที่ 5.8 Stack Pointer Register

เอกสารนี้เป็นเอกสารที่สงวนไว้สำหรับการใช้งานเพื่อการศึกษาเท่านั้น ไม่อนุญาตให้นำไปใช้ประโยชน์ด้านการค้าไม่ว่ากรณีใดๆ ทั้งสิ้น อีกทั้งห้ามมิให้ดัดแปลงเนื้อหาและต้องอ้างอิงถึงเจ้าของเอกสารทุกครั้งที่มีการนำไปใช้

- สถาปัตยกรรมภายใน Program Controller Unit

* Program Decode Control (PDC) เป็นส่วนถอดรหัสคำสั่งที่รับมาจากหน่วยความจำโปรแกรม (Program Memory) ซึ่งจะสร้างสัญญาณควบคุมที่จำเป็นสำหรับคำสั่งนั้นๆเพื่อให้ส่วนอื่นนำไปใช้ต่อไป

* Program Address Generator (PAG) ประกอบด้วยรีจิสเตอร์ PC , SP , SS , OMR , SR , LC และ LA ซึ่งจะใช้อ้างอิงตำแหน่งของหน่วยความจำเพื่อการควบคุมการทำงานต่อไป

* Program Interrupt Controller (PIC) เป็นส่วนรับการร้องขออินเทอร์พท์ (Interrupt Request) ที่เกิดขึ้นทั้งหมดทั้งภายในและภายนอกชิป โดยจะทำการสร้าง Interrupt Vector ส่งให้กับรีจิสเตอร์ PC เป็นการเรียกใช้โปรแกรมบริการอินเทอร์พท์ (Interrupt Service Routine) ซึ่งลำดับความสำคัญของอินเทอร์พท์แต่ละแบบนั้นถูกกำหนดไว้ตาม Interrupt Priority Level (IPL) ดังตารางที่ 1

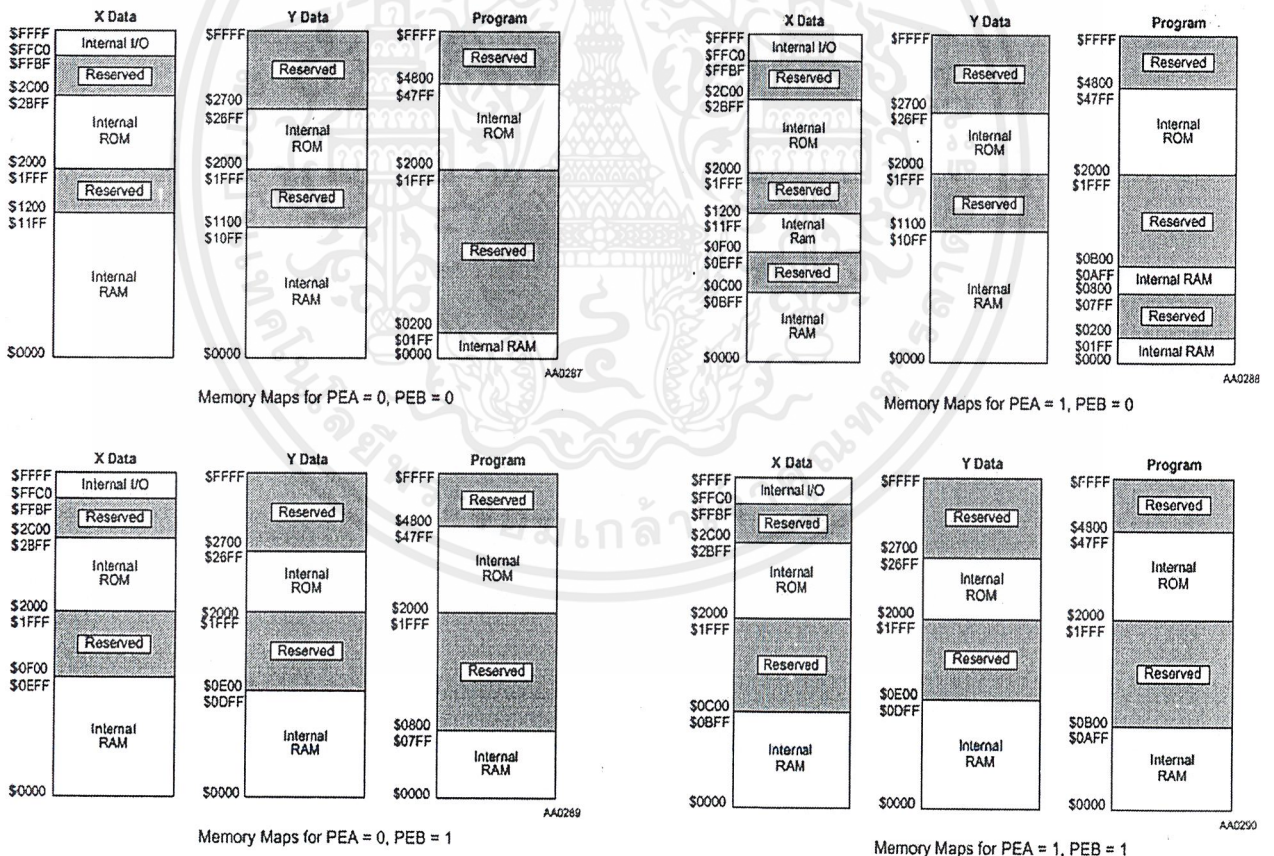
Priority	Interrupt
Level 3 (Nonmaskable)	
Highest	Hardware RESET
	Illegal Instruction
	NMI
	Stack Error
	Trace
Lowest	SWI
Levels 0, 1, 2 (Maskable)	
Highest	IRQA (External Interrupt)
	IRQB (External Interrupt)
	SAI Receiver Exception
	SAI Transmitter Exception
	SAI Left Channel Receiver
	SAI Left Channel Transmitter
	SAI Right Channel Receiver
	SAI Right Channel Transmitter
	SHI Bus Error
	SHI Receive Overrun Error
	SHI Transmit Underrun Error
	SHI Receive FIFO Full
	SHI Transmit Data
	SHI Receive FIFO Not Empty
	EMI EBAR0 Memory Wrap
EMI EBAR1 Memory Wrap	
Lowest	EMI Read Data
	EMI Write Data

เอกสารนี้เป็นเอกสารที่สงวนไว้สำหรับ **ตารางที่ 1** แสดง Interrupt Priority Level ให้นำไปใช้ประโยชน์ด้านการค้าไม่ว่ากรณีใดๆ ทั้งสิ้น อีกทั้งห้ามมิให้ตัดแปลงเนื้อหาและต้องอ้างอิงถึงเจ้าของเอกสารทุกครั้งที่มีการนำไปใช้

5.2 การจัดสรรหน่วยความจำของ DSP56009 (Memory Map)

โปรแกรมของ DSP 56009 และข้อมูลที่อยู่ในหน่วยความจำจะเป็นอิสระต่อกัน และในชิปข้อมูลในหน่วยความจำจะถูกแบ่งออกเป็นสองหน่วยความจำย่อย เรียกว่า X และ Y และก็จะจะมีสองหน่วยความจำถาวรในหน่วยความจำ X และ Y และหน่วยความจำถาวรบูทสแตรป (Bootstrap ROM) สามารถครอบคลุมโปรแกรมหน่วยความจำชั่วคราว หน่วยความจำข้อมูลสามารถจะถูกแบ่งออกเป็นสองส่วนเพื่อจะทำงานร่วมกับสองแอดเดรสของ ALU เมื่อจะได้นำข้อมูลที่ละสองข้อมูลไปเป็นข้อมูลเข้า ALU ได้อย่างทันทีทันใด

ด้วยการเปลี่ยนค่าบิต PEA,PEB (Program Ram Enable bits) ในโหมดปฏิบัติการรีจิสเตอร์ OMR จะได้โครงสร้างของ Memory Map ที่ต่างกันได้ 4 รูปแบบ ดังรูปที่ 5.9



รูปที่ 5.9 Memory Map แบบต่างๆ

เอกสารนี้เป็นเอกสารที่สงวนไว้สำหรับการใช้งานเพื่อการศึกษาเท่านั้น ไม่อนุญาตให้นำไปใช้ประโยชน์ด้านการค้า ไม่ว่าจะกรณีใดๆ ทั้งสิ้น อีกทั้งห้ามมิให้ดัดแปลงเนื้อหาและต้องอ้างอิงถึงเจ้าของเอกสารทุกครั้งที่มีการนำไปใช้

5.3 DSP 56009 Data and Program Memory

- ข้อมูลหน่วยความจำถาวร X ข้อมูลหน่วยความจำถาวร X (X Data Rom) จะครอบคลุมตำแหน่ง \$2000-\$2BFF ในตำแหน่งของข้อมูลหน่วยความจำถาวร
- ข้อมูลหน่วยความจำถาวร Y จะครอบคลุมตำแหน่ง \$2000-\$26FF ในตำแหน่งของข้อมูลหน่วยความจำถาวร Y
- โปรแกรมรอม จะกินพื้นที่ \$2000-\$47FF ในตำแหน่งของโปรแกรมรอม
- บูทสแต็ปรอม จะกินพื้นที่ 0-31(\$0-\$1F) และ 256-287(\$100-\$11F) ในสองพื้นที่ในบูทสแต็ปแมป บูทสแต็ปรอมจะถูกโปรแกรมมาจากโรงงานเพื่อจะแสดงการกระทำทางบูทสแต็ปตามการรีเซ็ตของฮาร์ดแวร์ มันจะกระโดดไปที่ตำแหน่งเริ่มต้นของรอม(P:\$2000) หรือ ดาวน์โหลดไปถึง 512 คำของโปรแกรมผู้ใช้(user program) จาก EPROM จะถูกรวมกับพอร์ต EMI หรือจากพอร์ต SHI กิจกรรมของบูทสแต็ปรอมคือเข้าควบคุมโดยโหมดบิตใน OMR เมื่ออยู่ในโหมดบูทสแต็ป 512 คำแรกของโปรแกรมแรกจะไม่สามารถอ่านได้แต่เขียนได้

โปรแกรมจะถูกโหลดจาก EPROM ภายนอก ถ้า MC:MB:MA = 001 โปรแกรมแรกภายในด้วย 1536 ไบท์จาก EPROM ที่ต่ออยู่กับ EMI และ EPROM จะอยู่ในตำแหน่งที่ EMI แออดเรส \$0 เราจะสันนิษฐานว่า EPROM จะถูกเลือกผ่านขา GPIO3 และเอาต์พุตของขานี้จะถูกโปรแกรมให้เป็นแบบชนิด active high/active low

ไบต์จะถูกรวมให้เป็น 512 หรือ 24-bit word และจัดเก็บในโปรแกรมแรกที่อยู่ติดกัน เริ่มต้นที่ P:\$0000

โปรแกรมจะถูกโหลดจาก SHI ในโหมด SPI ถ้า MC:MB:MA=101 หรือ โหมด IIC ถ้า MC:MB:MA=111 โปรแกรมแรกภายในถูกโหลดถึง 512 คำซึ่งมีขนาดความยาว 24 บิต จะได้รับทาง SHI

- ตำแหน่งหน่วยความจำที่สงวนไว้ (Reserve Memory Spaces) ตำแหน่งนี้ผู้ใช้ไม่สามารถใช้งานได้ จะถูกเก็บไว้ใช้ในการขยายในอนาคต การเขียนไปที่ตำแหน่งหน่วยความจำสงวนจะไม่มีผลอะไร ส่วนการอ่านจะส่งค่า \$000005 ออกมา ถ้ามีการเข้าไปเอาข้อมูลของตำแหน่งเหล่านี้ ก็จะส่งค่า \$000005 ออกมาเช่นกัน ซึ่งก็คือ Op-code ของคำสั่งที่ไม่ถูกต้องนั่นเอง

เอกสารนี้เป็นเอกสารที่สงวนไว้สำหรับการใช้งานเพื่อการศึกษาเท่านั้น ไม่อนุญาตให้นำไปใช้ประโยชน์ด้านการค้าไม่ว่ากรณีใดๆ ทั้งสิ้น อีกทั้งห้ามมิให้ดัดแปลงเนื้อหาและต้องอ้างอิงถึงเจ้าของเอกสารทุกครั้งที่มีการนำไปใช้

5.4 โหมดการอ้างอิงหน่วยความจำแบบใช้รีจิสเตอร์ทางอ้อม (Address Register Indirect Modes)

วิธีการอ้างอิงข้อมูลในหน่วยความจำของ DSP56009 เราสามารถทำได้หลายแบบ ซึ่งวิธีหนึ่งที่สำคัญก็คือการใช้ Address Register (Rn) เป็นตัวชี้ (Pointer) ตำแหน่งหน่วยความจำ ซึ่งชุดคำสั่งของ DSP56009 มีวิธีในการ Update ค่าตัวชี้ได้อย่างรวดเร็วและหลากหลาย ได้แก่

- No Update ค่าภายใน Rn จะคงที่หลังจากที่ปฏิบัติคำสั่ง
เช่น MOVE A1,X:(R0) ย้ายข้อมูลจากรีจิสเตอร์ A1 ไปยัง X-Memory ที่ชี้โดยรีจิสเตอร์ R0 โดยไม่มีการเปลี่ยนค่าใน R0 หลังจาก ทำคำสั่งเสร็จสิ้น
- Post Increment by 1 ค่าภายใน Rn จะมีค่าเพิ่มขึ้น 1 หลังจากปฏิบัติคำสั่ง
เช่น MOVE B0,Y:(R1)+ ย้ายข้อมูลจากรีจิสเตอร์ B0 ไปยัง Y-Memory ที่ชี้โดยรีจิสเตอร์ R1 โดยค่าใน R1 จะเพิ่มขึ้น 1 หลังจาก ทำคำสั่งเสร็จสิ้น
- Post Decrement by 1 ค่าภายใน Rn จะมีค่าลดลง 1 หลังจากปฏิบัติคำสั่ง
เช่น MOVE Y0,Y:(R3)- ย้ายข้อมูลจากรีจิสเตอร์ Y0 ไปยัง Y-Memory ที่ชี้โดยรีจิสเตอร์ R3 โดยค่าใน R3 จะลดลง 1 หลังจาก ทำคำสั่งเสร็จสิ้น
- Post Increment by Offset Nn ค่าภายใน Rn จะมีค่าเพิ่มขึ้น Nn หลังจากปฏิบัติคำสั่ง
เช่น MOVE X1,X:(R2)+N2 ย้ายข้อมูลจากรีจิสเตอร์ X1 ไปยัง X-Memory ที่ชี้โดยรีจิสเตอร์ R2 โดยค่าใน R2 จะถูกบวกเพิ่มด้วยค่าใน N2 หลังจาก ทำคำสั่งเสร็จสิ้น
- Post Decrement by Offset Nn ค่าภายใน Rn จะมีค่าลดลง Nn หลังจากปฏิบัติคำสั่ง
เช่น MOVE X:(R4)-N4,A0 ย้ายข้อมูลจากหน่วยความจำ X-Memory ที่ชี้โดยรีจิสเตอร์ R4 ไปยังรีจิสเตอร์ A0 โดยค่าใน R4 จะถูกลดค่าลงด้วยค่าใน N4 หลังจาก ทำคำสั่งเสร็จสิ้น
- Index by Offset Nn อ้างถึงหน่วยความจำตำแหน่งที่ชี้โดยค่าผลบวกระหว่างค่าภายใน Rn และ Nn และรีจิสเตอร์ทั้งคู่จะมีค่าคงเดิม หลังจากปฏิบัติคำสั่ง
เช่น MOVE Y1,X:(R6+N6) ย้ายข้อมูลจากรีจิสเตอร์ Y1 ไปยัง X-Memory ที่ชี้โดยค่าผลรวมระหว่างรีจิสเตอร์ R6 กับ N6
- Pre Decrement by 1 ค่าภายใน Rn จะมีค่าลดลง 1 ก่อนที่จะปฏิบัติคำสั่ง
เช่น MOVE X:-(R5),B1 ลดค่าในรีจิสเตอร์ R5 ลง 1 ก่อนที่จะย้ายข้อมูลจากหน่วยความจำ X-Memory ที่ชี้โดยรีจิสเตอร์ R5 ไปยังรีจิสเตอร์ B1

เอกสารนี้เป็นเอกสารที่สงวนไว้สำหรับการใช้งานเพื่อการศึกษาเท่านั้น ไม่อนุญาตให้นำไปใช้ประโยชน์ด้านการค้าไม่ว่ากรณีใดๆ ทั้งสิ้น อีกทั้งห้ามมิให้ตัดแปลงเนื้อหาและต้องอ้างอิงถึงเจ้าของเอกสารทุกครั้งที่มีการนำไปใช้

5.5 รูปแบบการปรับค่าอ้างอิงหน่วยความจำ (Address Modifier Type)

เราสามารถกำหนดรูปแบบดังกล่าวได้ทั้งหมด 3 แบบ คือ Linear , Modulo และ Reverse-carry Modifier โดยจะใช้รีจิสเตอร์ Mn ในการกำหนดรูปแบบ

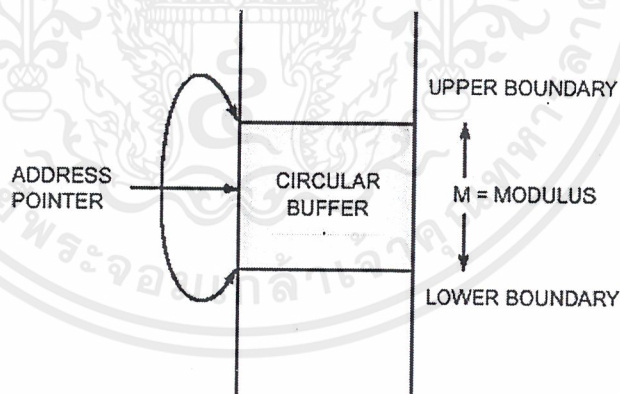
- Linear Modifier ($Mn = \$FFFF$) เป็นการเปลี่ยนค่า Rn แบบเชิงเส้น
- Modulo Modifier ($Mn = MODULUS - 1$) การระบุตำแหน่งแอดเดรสจะถูกแสดงด้วย modulo M ซึ่ง M มีค่าความกว้างจาก 2 ถึง +32,768 (ดูตามตารางที่ 2) ค่าตัวเลขของ Modulo M ทำให้ค่าแอดเดรสรีจิสเตอร์ ยังคงอยู่ภายในช่วงความกว้างของขนาดของ M สามารถอธิบายได้โดยขอบเขตล่างและขอบเขตบนของแอดเดรส (ดูรูปที่ 5.10) ค่า $m = M-1$ จะถูกเก็บไว้ในโมดิไฟเออร์รีจิสเตอร์(Modifier Register) , Mn ค่าของขอบเขตล่าง(แอดเดรสฐาน) นั้นต้องมีค่าศูนย์ใน k LSBs ซึ่ง $2^k \geq M$ และดังนั้นต้องเป็นจำนวนเท่าของ 2^k ขอบเขตบนจะมีค่าเท่ากับค่าของขอบเขตล่างบวกขนาดของ modulo แล้วลบ 1 (แอดเดรสฐาน + M -1) ในกรณี $M \leq 2^k$ ดังนั้น M จะถูกเลือก ชุดของลำดับของบล็อกความจำ(memory block) (แต่ละบล็อกมีความยาว 2^k จะถูกสร้างขึ้นมา ที่ซึ่ง circular buffer นี้ สามารถถูกติดตั้งลงไปได้ ถ้า $M < 2^k$ ก็จะมีช่องว่างระหว่าง circular buffer ที่อยู่ติดกันคือ $(2^k) - M$ ตัวอย่างเช่น ถ้าต้องการสร้าง circular buffer ที่มี 21 ชั้น คือ $M = 21$ และขอบเขตล่างของแอดเดรสจะต้องมีค่า LSBs 5 ค่าเท่ากับศูนย์ ($2^k \geq 21$ ดังนั้น $k \geq 5$) ส่วนรีจิสเตอร์ Mn จะถูกโหลดข้อมูลเข้าไปด้วยค่า 20 ขอบเขตล่างบางที่อาจจะเลือกค่าเป็น 0, 32 , 64 , 96 , 128 ,160, ... ขอบเขตบนของบัพเฟอร์ค่าขอบเขตล่างบวกด้วย 21 และจะมีที่ตำแหน่งช่องว่างที่ไม่ได้ใช้ในหน่วยความจำซึ่งอยู่ระหว่างตำแหน่งแอดเดรสที่อยู่บนสุดและตำแหน่งแอดเดรสล่างสุดของบัพเฟอร์ที่ใช้งานได้ที่อยู่ถัดไป ซึ่งตัวชี้แอดเดรสไม่จำเป็นต้องอยู่ที่ตำแหน่งขอบเขตล่างสุดหรือที่ปลายสุดของขอบเขตบน ตัวชี้แอดเดรสสามารถที่จะเริ่มต้นชี้ที่ตำแหน่งใดๆ ก็ได้ภายในขอบเขตของตำแหน่งของ modulo ที่ได้กำหนดไว้แล้ว ทั้งค่าแอดเดรสของขอบเขตล่างและขอบเขตบนของตำแหน่งของ modulo จะไม่ถูกเก็บค่าไว้ มีแต่เพียงขนาดของ modulo เท่านั้น ที่จะถูกเก็บค่าใน Mn ส่วนค่าของแอดเดรสทั้งขอบเขตล่างและบนจะถูกกำหนดโดยค่าที่อยู่ใน Rn พิจารณาที่ (Rn)+ ซึ่งเป็นการกำหนดค่าแอดเดรสทางอ้อม(Indirect addressing mode) จะพบว่าถ้าตัวชี้ของแอดเดรสรีจิสเตอร์เพิ่มมากขึ้นผ่านขอบเขตบนของบัพเฟอร์ (ตำแหน่งแอดเดรสที่ฐานบวก M-1) มันก็จะม้วนหมุน

เอกสารนี้เป็นเอกสารที่สงวนไว้สำหรับการใช้งานเพื่อการศึกษาเท่านั้น ไม่อนุญาตให้นำไปใช้ประโยชน์ด้านการค้า
ไม่ว่ากรณีใดๆ ทั้งสิ้น อีกทั้งห้ามมิให้ตัดแปลงเนื้อหาและต้องอ้างอิงถึงเจ้าของเอกสารทุกครั้งที่มีการนำไปใช้

ผ่านตำแหน่งแอดเดรสพื้นฐาน(ขอบเขตล่าง) อีกทางหนึ่งจากที่กล่าวไปแล้วคือ ถ้าเราพิจารณาที่ (Rn)- ซึ่งเป็นการกำหนดค่าแอดเดรสทางอ้อม จะพบว่าถ้าตำแหน่งแอดเดรสลดลงผ่านขอบเขตล่าง(ตำแหน่งแอดเดรสพื้นฐาน) มันก็จะม้วนหมุนย้อนผ่านตำแหน่งแอดเดรสพื้นฐานบวกด้วย M-1 (ขอบเขตบน)

MMMM	Addressing Mode Arithmetic
0000	Reverse Carry (Bit Reverse)
0001	Modulo 2
0002	Modulo 3
:	:
7FFE	Modulo 32767
7FFF	Modulo 32768
8000	Reserved

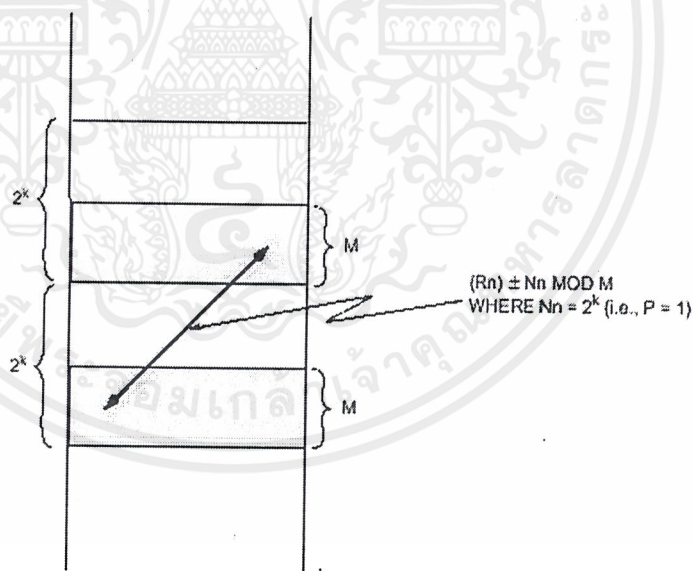
ตารางที่ 2 Address Modifier Type



รูปที่ 5.10 Circular Buffer

ถ้าค่าออฟเซต N_n ถูกใช้ในการคำนวณค่าตำแหน่งแอดเดรส ค่าสัมบูรณ์ของ 16 บิตออฟเซตคือ $|N_n|$ ต้องน้อยกว่าหรือเท่ากับ M สำหรับการระบุตำแหน่งแอดเดรสด้วย modulo ถ้า $M_n > M$ ผลที่ได้จะเป็นข้อมูลที่ไม่อิสระ(dependent) และไม่สามารถคาดเดาได้ ยกเว้นแต่ในกรณีพิเศษที่ซึ่ง $N_n = P * 2^k$ คือจำนวนเท่าของขนาดของบล็อกซึ่งค่า P จะเป็นจำนวนเต็มบวกเสมอ สำหรับกรณีพิเศษนี้ เมื่อเราใช้ $(R_n) + N_n$ เป็นวิธีในการระบุแอดเดรส(addressing mode) ตัวชี้ (R_n) จะกระโดดอย่างเป็นเส้นตรงถึงไม่ว่ากรณีใดๆ ทั้งสิ้น อีกทั้งห้ามมิให้ตัดแปลงเนื้อหาและต้องอ้างอิงถึงเจ้าของเอกสารทุกครั้งที่มีการนำไปใช้

ตำแหน่งแอดเดรสที่มีค่าสัมพัทธ์เดียวกันในบัพเฟอร์อันใหม่ ที่ซึ่งมี P บล็อกที่มุ่งหน้า
 ไปในหน่วยความจำ รูปที่ 5.11) ในทำนองเดียวกัน $(Rn) - Nn$ ตัวชี้จะกระโดดจำนวน
 P บล็อกกลับเข้าไปในหน่วยความจำ การใช้เทคนิคในลักษณะนี้มีประโยชน์ในการคำนวณ
 หลายๆ ตารางแบบเป็นการต่อเนื่อง หรือ เป็นอาร์เรย์ N มิติ (N-dimensional arrays)
 ขอบเขตของค่าสำหรับ Nn คือ $-32,768$ ถึง $+32,767$ ส่วนตัว modulo arithmetic unit
 จะม้วนหมุนตัวชี้ของตำแหน่งโดยค่าที่ต้องการอย่างอัตโนมัติ ชนิดของแอดเดรสโมดิฟิ-
 เคชันนี้มีประโยชน์ในการสร้าง circular buffer สำหรับ FIFO (การเข้าคิว), สายการ
 หน่วงเวลา(delay lines) และบัพเฟอร์ของตัวอย่างจะมีความยาวได้ถึง 32,768
 สามารถนำไปใช้สำหรับการ decimation, interpolation และการสร้างรูปแบบสัญญาณ
 ขึ้นมาใหม่ ในกรณีพิเศษคือ $(Rn) \pm Nn \text{ mod } M$ โดย $Nn = P * 2^k$ นี้จะมีประโยชน์คือ
 จะใช้อัลกอริทึม(algorithm) เดียวกันบนหลายๆ บล็อกของข้อมูลในหน่วยความจำ ยก
 ตัวอย่างคือ กระบวนการกรองแบบขนาน โดยใช้ infinite impulse response (IIR) filter



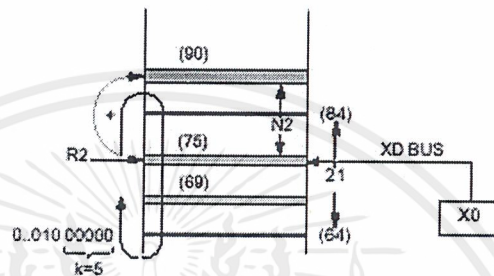
รูปที่ 5.11 Linear Addressing with a Modulo Modifier

เอกสารนี้เป็นเอกสารที่สงวนไว้สำหรับการใช้งานเพื่อการศึกษาเท่านั้น ไม่อนุญาตให้นำไปใช้ประโยชน์ด้านการค้า
 ไม่ว่ากรณีใดๆ ทั้งสิ้น อีกทั้งห้ามมิให้ตัดแปลงเนื้อหาและต้องอ้างอิงถึงเจ้าของเอกสารทุกครั้งที่มีการนำไปใช้

EXAMPLE: MOVE X0.X:(R2)+N

LET:

M2	00....0010100	MODULUS=21
N2	00....0001111	OFFSET=15
R2	00....1001011	POINTER=75



รูปที่ 5.12 Modulo Modifier Example

ตัวอย่างของ address register indirect modulo addressing นี้จะแสดงในรูปที่ 5.12 เริ่มต้นที่ตำแหน่ง 64 circular buffer ขนาด 21 ชั้น จะถูกสร้างขึ้นมา ตำแหน่งแอดเดรสที่ถูกสร้างขึ้นมาจะออฟเซตไป 15 ตำแหน่ง ขอบเขตล่าง = $L * 2^k$ ซึ่ง $2^k \geq 21$ ดังนั้น $k = 5$ และค่าตำแหน่งแอดเดรสของขอบเขตล่างต้องเป็นจำนวนเท่าของ 32 ขอบเขตล่างอาจจะถูกเลือกเป็น 0, 32, 64, 96, 128, 160, สำหรับตัวอย่างนี้ L ถูกกำหนดให้เป็น 2 ทำให้ขอบเขตล่างเป็น 64 ขอบเขตบนของบัพเฟอร์ก็จะเป็น 84 (ขอบเขตล่างบวก 20 (M-1)) รีจิสเตอร์ Mn จะถูกโหลดด้วยค่า 20 (M-1) เข้าไป ส่วนออฟเซตรีจิสเตอร์จะถูกกำหนดให้เป็น 15 ($Nn \leq M$) ตัวชี้แอดเดรสไม่จำเป็นต้องชี้ที่แอดเดรสของขอบเขตล่างสุดและ จะสามารถเริ่มต้นชี้ที่ไหนก็ได้ภายในขอบเขตแอดเดรสของ modulo ที่กำหนดไว้ (ในตัวอย่างนี้จะอยู่ภายในขอบเขตล่าง + (2^k) ของขอบเขตแอดเดรส) ตัวชี้แอดเดรส Rn จะถูกเลือกให้มีค่าเป็น 75 ในตัวอย่างนี้ เมื่อ R2 ได้เพิ่มค่าไป 1 โดยออฟเซตของคำสั่ง MOVE แทนที่จะชี้ไปยังตำแหน่ง 90 มันจะม้วนหมุนไปที่ตำแหน่ง 69 ถ้ารีจิสเตอร์ตัวชี้แอดเดรสผ่านขอบเขตบนของบัพเฟอร์ก็จะเกิดการม้วนหมุนไปที่แอดเดรสฐาน ถ้าแอดเดรสลดลงผ่านขอบเขตล่างมันจะม้วนหมุนไปยังแอดเดรสฐานบวกกับ M-1

ถ้า Rn อยู่นอกขอบเขตของ modulo buffer และทำให้รีจิสเตอร์ Rn มีการเปลี่ยนแปลงค่าใหม่เข้ามา ข้อมูลใน Rn จะถูกเปลี่ยนแปลงตามกฎของ modulo ตัวอย่างเช่น

MOVE B0,X:(R0) + N0 (เมื่อ R0 = 6 , M0 = 5 และ N0 = 0) จะทำให้ค่า R0 ไม่เปลี่ยนแปลงเพราะว่า N0 = 0 อย่างไรก็ตามเพราะ R0 อยู่เหนือขอบเขตบน ดังนั้น AGU จะคำนวณ $R0+N0-M0-1$ สำหรับค่าใหม่ใน R0 และเซต R0 = 0

คำสั่ง MOVE ในรูปที่ 5.12 จะนำข้อมูลของ X0 ไปเก็บในหน่วยความจำ X ซึ่งระบุตำแหน่งโดย(R2) แล้ว(R2) จะเปลี่ยนแปลงค่าใหม่ใน modulo ด้วยค่า 21 ค่าใหม่ของ R2 จะไม่ใช่ 90 แต่จะเป็น 69

- Reverse-carry Modifier (Mn = \$0000) การกลับบิตตัวทศถูกเลือกโดยเซตโมดิไฟร์ รีจิสเตอร์(Modifier Register) ให้เป็นศูนย์(ดูจากตารางที่ 2) แอดเดรสโมดิไฟร์เคชั่นจะถูกทำในส่วนของฮาร์ดแวร์โดยการถอดแบบตัวทศในทิศทางที่ตรงกันข้ามการกลับบิตตัวทศจะเสมือนกับการรีเวอร์สบิตข้อมูลที่อยู่ใน Rn แล้วรวมกับค่าของออฟเซตจากนั้นก็ทำการรีเวอร์สอีกที ถ้าการอ้างอิงแอดเดรสแบบ +Nn ถูกใช้กับแอดเดรสโมดิไฟร์นี้และ Nn มีค่าที่เป็น 2^{k-1} (จำนวนเท่าของสอง) วิธีแบบนี้จะเหมือนกับการกลับ k,LSB ของรีจิสเตอร์ Rn เพิ่มค่าของ Rn ไปหนึ่งแล้วทำการกลับ k,LSB ของ Rn อีกครั้ง วิธีการนี้จะเป็นประโยชน์มากกับการใช้งานในเรื่องของแฟกเตอร์ตัวบิด(twiddle factor) ของ FFT ช่วงค่าของ Nn จะแปรอยู่ในช่วง 0 ถึง +32K ซึ่งจะทำให้เกิดการกลับบิตขึ้นมากถึง 65536 จุด

บทที่ 6

Peripheral Section

เป็นส่วนที่ใช้สำหรับให้ผู้ใช้ชิป DSP สามารถติดต่อสื่อสารและรับส่งข้อมูลกับอุปกรณ์ภายนอกต่างๆ (I/O Device) หรือหน่วยประมวลผลอื่น (Host Interface) ได้ รวมถึงการอ้างถึงหน่วยความจำภายนอกและการควบคุมอื่นๆ ประกอบด้วย

1. External Memory Interface (EMI)
2. Serial Audio Interface (SAI)
3. Serial Host Interface (SHI)
4. General Purpose Input/Output (GPIO)

6.1 External Memory Interface (EMI)

เป็นส่วนควบคุมการอ้างถึง (Access) หน่วยความจำภายนอกทั้งแบบ Static และ Dynamic (SRAM, DRAM) ซึ่งโดยมากในงานประมวลผลสัญญาณเสียง (Digital Audio) จะใช้หน่วยความจำภายนอกในการเก็บข้อมูลที่ได้จากการสุ่ม (Sample) ซึ่งเหมาะจะใช้เป็นที่พักข้อมูลแบบหน่วงเวลา (Data-delay Buffer)

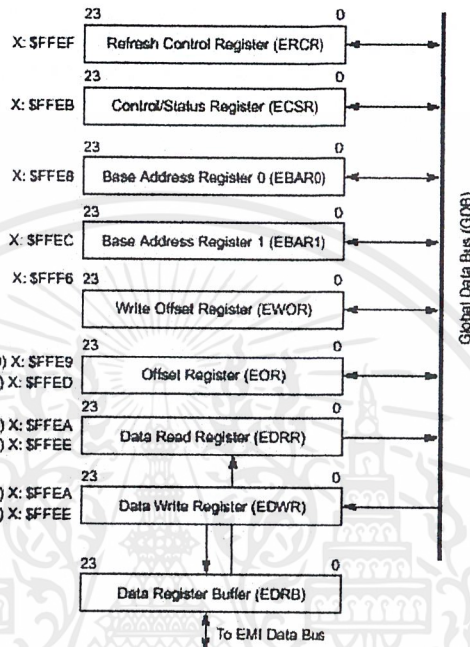
ความสามารถในการอ้างถึงหน่วยความจำแบบ SRAM ได้มากที่สุดขนาด 256x8 bits และหน่วยความจำแบบ DRAM ได้ถึง 4Mx4 bits บัสดข้อมูลสามารถเลือกใช้แบบ 4 หรือ 8 บิตก็ได้ นอกจากนี้ยังสามารถเลือกขนาดของคำ (Data word length) เป็น 8, 16, 20 หรือ 24 บิตก็ได้ โดยการตัดต่อข้อมูลตามขนาดที่กำหนดจะเป็นไปอย่างอัตโนมัติ ส่วนโหมดการอ้างถึงหน่วยความจำเลือกได้ทั้งแบบ Absolute หรือ Relative ก็ได้

6.1.1 EMI Programming Model แสดงดังรูปที่ 6.1 รีจิสเตอร์แต่ละตัวสามารถเข้าถึงข้อมูลได้โดยคำสั่ง MOVEP (ยกเว้น EDRB ซึ่งเป็นบัฟเฟอร์รีจิสเตอร์) รายละเอียดของรีจิสเตอร์แต่ละตัวมีดังนี้

- **EMI Base Address Registers (EBAR0, EBAR1)** รีจิสเตอร์ขนาด 24 บิต ใช้สำหรับเก็บค่า Base address ที่จะใช้คำนวณ Address ที่จะอ้างถึงโดยการนำค่าในรีจิสเตอร์นี้ไปลบออกจากค่าในรีจิสเตอร์ EOR (กรณีอ่านค่าข้อมูล) หรือ EWOR (กรณีที่เขียนข้อมูล) ค่าใน EBARx นี้สามารถกำหนดให้เพิ่มขึ้น 1 หลังจากที่เข้าถึงหน่วยความจำแล้ว

เอกสารนี้เป็นเอกสารที่สงวนไว้สำหรับการใช้งานเพื่อการศึกษาเท่านั้น ไม่อนุญาตให้นำไปใช้ประโยชน์ด้านการค้าไม่ว่ากรณีใดๆ ทั้งสิ้น อีกทั้งห้ามมิให้ดัดแปลงเนื้อหาและต้องอ้างอิงถึงเจ้าของเอกสารทุกครั้งที่มีการนำไปใช้

โดยกำหนดได้จากรีจิสเตอร์ ECSR ค่าภายในรีจิสเตอร์เก็บอยู่ในรูป (Unsigned integer)



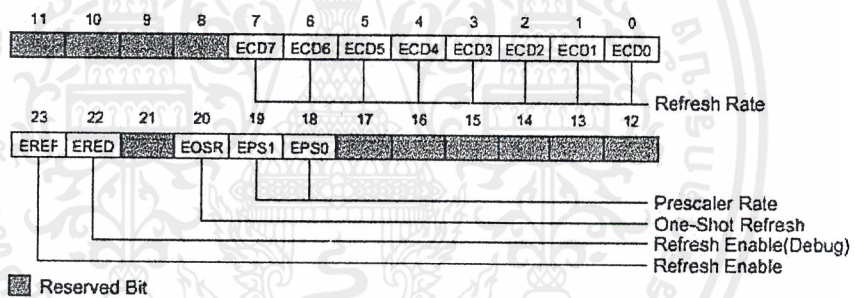
รูปที่ 6.1 EMI Programming Model

- **EMI Write Offset Register (EWOR)** รีจิสเตอร์ขนาด 24 บิต ใช้ในการคำนวณ address ที่จะทำการเขียนข้อมูลลงไป ร่วมกับค่าใน EBARx
- **EMI Offset Register (EOR)** รีจิสเตอร์ขนาด 24 บิต ใช้ในการคำนวณ address ที่จะทำการอ่านข้อมูลเข้าสู่ตัว DSP ร่วมกับค่าใน EBARx โดยทั่วไปในงานด้าน Digital audio จะใช้ในการอ้างอิงข้อมูลที่มีการหน่วงเวลา (Data-delay buffer)
- **EMI Data Write Register (EDWR0, EDWR1)** รีจิสเตอร์ที่เขียนได้เท่านั้นขนาด 24 บิต ใช้เก็บข้อมูลที่ต้องการจะเขียนลงไปทีหน่วยความจำภายนอก อยู่ที่ตำแหน่ง \$FEEA(EDWR0) และ \$FEE (EDWR1) ตามลำดับ
- **EMI Data Read Register (EDRR)** รีจิสเตอร์ที่อ่านได้เท่านั้นขนาด 24 บิต ใช้เก็บข้อมูลที่ต้องการจะอ่านจากหน่วยความจำภายนอก อยู่ที่ตำแหน่ง \$FEEA(EDRR0) และ \$FEE (EDRR1) ตามลำดับ
- **EMI Data Register Buffer (EDRB)** รีจิสเตอร์ขนาด 24 บิต ทำหน้าที่ Pack หรือ

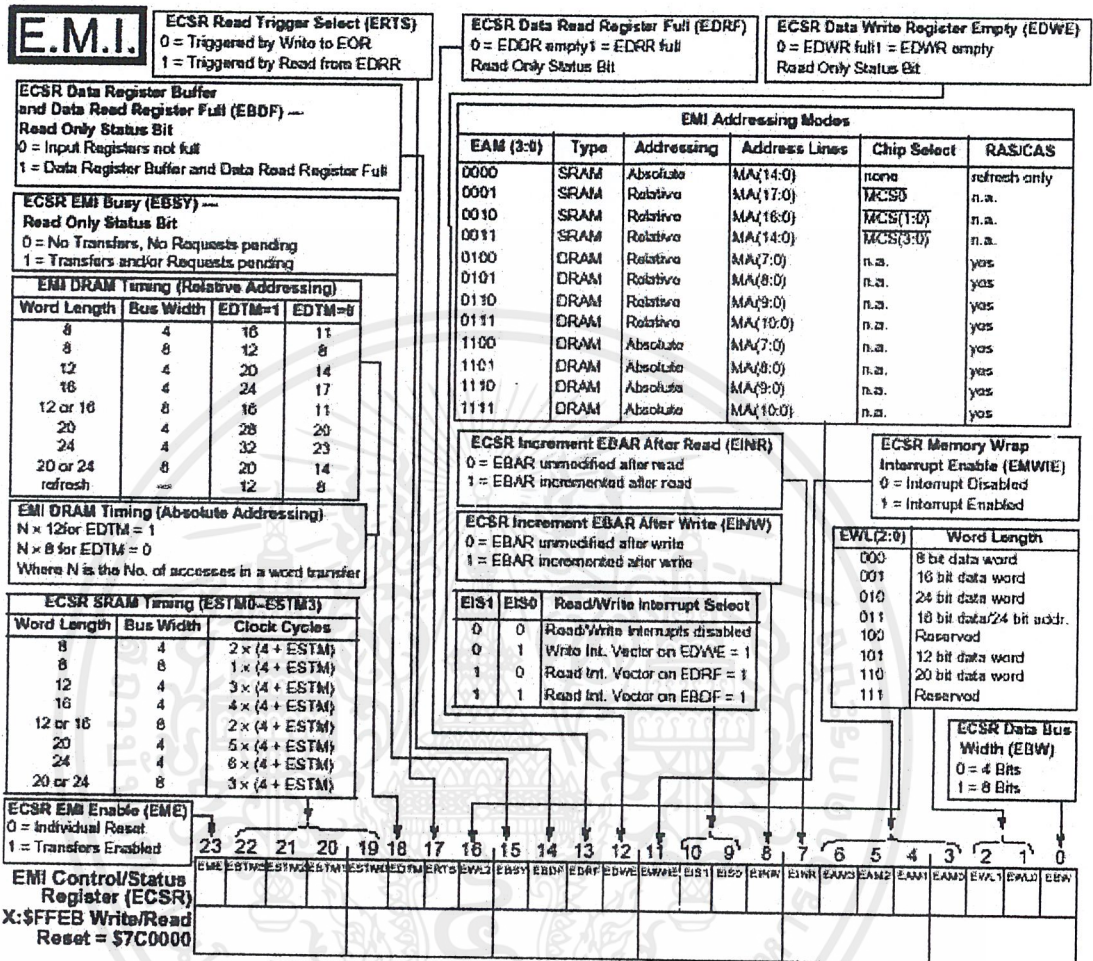
เอกสารนี้เป็นเอกสารที่เผยแพร่โดยทางบริษัท ไมโครคอนโทรลเลอร์ จำกัด เพื่อใช้ในการเรียนรู้และทำความเข้าใจเกี่ยวกับผลิตภัณฑ์ของทางบริษัทฯ ไม่ว่ากรณีใดๆ ทั้งสิ้น อีกทั้งห้ามมิให้คัดแปลงเนื้อหาและต้องอ้างอิงถึงเจ้าของเอกสารทุกครั้งที่มีการนำไปใช้

EMI มีขนาดได้เป็น 4 หรือ 8 บิตเท่านั้นส่วนขนาดของคำ (Word) อาจเป็นได้ทั้ง 8, 12, 16, 20 หรือ 24 บิต ดังนั้นข้อมูลจะต้องถูก Unpack ที่รีจิสเตอร์ตัวนี้ก่อน จึงค่อยส่งผ่านตามบัสข้อมูลไปยังหน่วยความจำภายนอก โดยเมื่อทำการเขียนข้อมูลที่มีความยาวของค่าน้อยกว่า 24 บิต บิตบน (Most significant bit) เท่านั้นที่จะถูกส่งออกไป ทำนองเดียวกันกับการอ่านข้อมูล จะต้องมีการ Pack ก่อนจึงค่อยส่งให้รีจิสเตอร์ EDRR ต่อไป และมีการเติมศูนย์ลงไปที่ท้ายคำในกรณีข้อมูลที่อ่าน ได้มีความยาวของค่าน้อยกว่า 24 บิต

- **EMI Refresh Control Register (ERCR)** รีจิสเตอร์ขนาด 24 บิตใช้ในการควบคุมการ Refresh หน่วยความจำชนิด DRAM แสดงรายละเอียดดังรูปที่ 6.2
- **EMI Control/Status Register (ECSR)** รีจิสเตอร์ขนาด 24 บิตใช้ในการควบคุมการทำงานของ EMI รายละเอียดของแต่ละบิตแสดงดังรูปที่ 6.3



รูปที่ 6.2 EMI Refresh Control Register

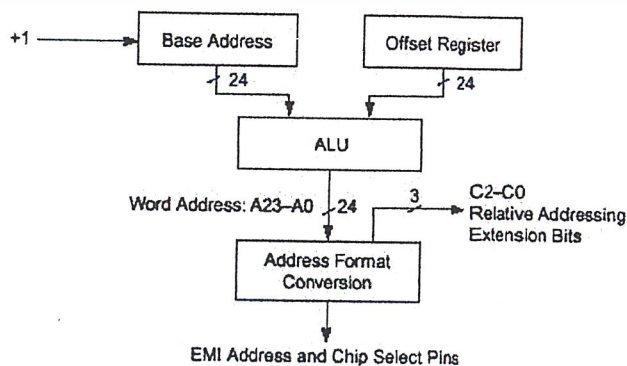


รูปที่ 6.3 EMI Control/Status Register

6.1.2 EMI Address Generation

การคำนวณ Address จะกระทำโดย Address

Generation Unit (AGU) ดังแสดงในรูปที่ 6.4



รูปที่ 6.4 EMI Address Generation Block Diagram

เอกสารนี้เป็นเอกสารที่สงวนไว้สำหรับการใช้งานเพื่อการศึกษาเท่านั้น ไม่อนุญาตให้นำไปใช้ประโยชน์ด้านการค้า ไม่ว่าจะกรณีใดๆ ทั้งสิ้น อีกทั้งห้ามเผยแพร่ต่อแหล่งข้อมูลและต้องอ้างอิงถึงเจ้าของเอกสารทุกครั้งที่มีการนำไปใช้

AGU จะทำการคำนวณตำแหน่งของหน่วยความจำสำหรับการอ่านข้อมูลโดยการนำค่าในรีจิสเตอร์ EBARx ไปลบออกจากค่าในรีจิสเตอร์ EOR และทำนองเดียวกันกับการเขียนข้อมูลลงไปในหน่วยความจำ ตำแหน่งของหน่วยความจำจะคำนวณได้จากการนำค่าในรีจิสเตอร์ EBARx ไปลบออกจากค่าในรีจิสเตอร์ EWOR

เราสามารถแบ่งการเข้าถึงตำแหน่งของข้อมูล ได้ 4 แบบดังนี้

- 1) **SRAM Absolute Addressing** การเข้าถึงหน่วยความจำแบบนี้เหมาะสำหรับการอ่านข้อมูลแบบ โปรแกรม(การอ่าน โปรแกรมที่อยู่ภายนอก DSP)และสามารถใช้ร่วมกับการเข้าถึงแบบ Relative ได้ด้วย
- 2) **SRAM Relative Addressing** ใช้ในการสร้างที่พักข้อมูลบนหน่วยความจำแบบ SRAM(Data-delay buffer) โดยสามารถอ้างถึงหน่วยความจำได้มากที่สุด 256k ตำแหน่ง ขึ้นอยู่กับค่าในรีจิสเตอร์ควบคุม
- 3) **DRAM Absolute Addressing** การเข้าถึงข้อมูลจะช้ากว่าหน่วยความจำแบบ SRAM โดยอ้างอิงขนาดของหน่วยความจำได้มากที่สุดขนาด 4M
- 4) **DRAM Relative Addressing** ใช้ในการสร้างที่พักข้อมูลบนหน่วยความจำแบบ DRAM(Data-delay buffer)

6.1.3 DRAM Refresh

หน่วยความจำแบบ DRAM ต้องการการ Refresh เพื่อให้ข้อมูลยังคงอยู่ในหน่วยความจำ ซึ่งวิธีการ Refresh หน่วยความจำนั้นมีด้วยกัน 2 แบบคือ

- 1) **Access Memory** การเข้าถึงหน่วยความจำทุกๆตำแหน่งด้วยเวลาที่เหมาะสม จะเสมือนกับการ Refresh หน่วยความจำ(จะต้องมีการเขียน โปรแกรมในการ Refresh หน่วยความจำเพิ่มเติม)
- 2) **Internal Refresh Timer** อีกวิธีหนึ่งคือการใช้ Internal Refresh Timer ที่มีอยู่ในตัว DSP โดยสามารถควบคุมการตั้งเวลา Refresh ได้ผ่านทางรีจิสเตอร์ควบคุม

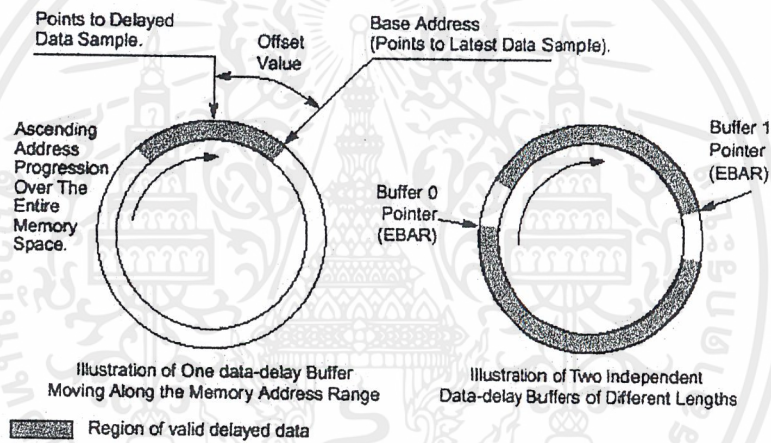
6.1.4 Read Data Transfer

การอ่านค่าข้อมูลจากหน่วยความจำจะต้องมีการกระตุ้น(Trigger)เพื่อให้ DSP เริ่มต้นทำการอ่านข้อมูลเข้า โดยสามารถกระตุ้นได้ 2 รูปแบบคือ

- 1) กระตุ้นโดยการเขียนค่าลงในรีจิสเตอร์ EOR (ERTS=0)
- 2) กระตุ้นโดยการอ่านค่าจากรีจิสเตอร์ EDRR (ERTS=1)

6.1.5 Write Data Transfer การเขียนข้อมูลลงไปที่หน่วยความจำภายนอก จำเป็นจะต้องทำการกระตุ้นการเขียนเช่นเดียวกันกับการอ่าน โดยใช้วิธีการเขียนข้อมูลที่ต้องการจะนำไปเก็บในหน่วยความจำลงไปในรีจิสเตอร์ EDWR ได้เพียงวิธีเดียวเท่านั้น

6.1.6 Data-Delay Structure เป็นลักษณะการเก็บข้อมูลเป็นลำดับ (Sequential) ตามหน่วยเวลา โดยที่ตำแหน่งของหน่วยความจำจะสัมพันธ์กับเวลาที่หน่วง (Delay) ไป ซึ่งโครงสร้างของส่วน EMI มีรีจิสเตอร์รองรับการเก็บข้อมูลแบบนี้อยู่แล้วคือ EBARx และ EOR,EWOR (ในหัวข้อ 6.1.1) Data-Delay Structure แสดง โครงสร้าง ได้ดังรูปที่ 6.5



รูปที่ 6.5 Data-Delay Structure

6.2 Serial Audio Interface (SAI)

DSP สามารถติดต่อสื่อสารกับแหล่งข้อมูล (เช่น Audio Sample) ที่จะนำมาประมวลผลผ่านทาง Serial Audio Interface โดยเป็นพอร์ตแบบอนุกรมที่ทำงานแบบ Full-duplex ซึ่งสามารถเชื่อมต่อกับอุปกรณ์ภายนอกได้หลากหลายรูปแบบ เช่น Analog-to-Digital (A/D) converter, Digital-to-Analog (D/A) converter เป็นต้น

ส่วนประกอบของ SAI ประกอบด้วยส่วนรับ(Receive)และส่ง(Transmit)แยกออกจากกัน ทั้งสองส่วนทำงานได้ทั้งโหมด Master และ Slave มีส่วนสร้าง Baud-rate ที่ผู้ใช้สามารถกำหนดความเร็วในการสื่อสารได้เอง มีรีจิสเตอร์รับข้อมูล 2 ชุดที่ทำงานได้พร้อมๆกัน(Fully synchronize) ภายใต้อัตราความถี่เดียวกัน เช่นเดียวกันกับรีจิสเตอร์ชุดส่งที่มีอยู่ 3 ชุดทำงานได้พร้อมกัน

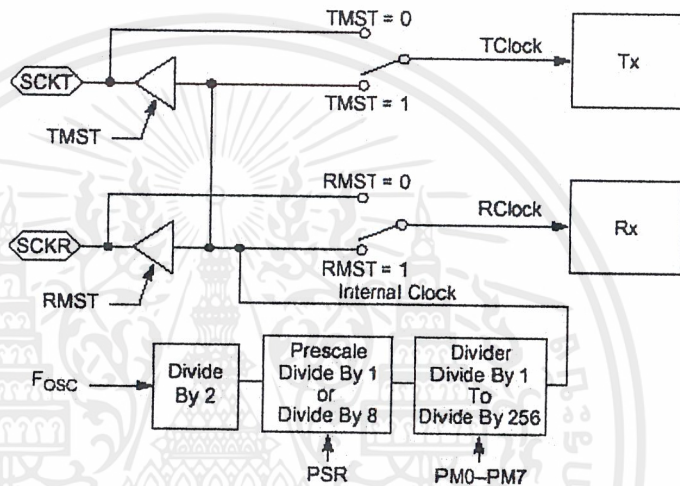
เอกสารนี้เป็นเอกสารที่สงวนไว้สำหรับการใช้งานเพื่อการศึกษาเท่านั้น ไม่อนุญาตให้นำไปใช้ประโยชน์ในเชิงพาณิชย์ใดๆ ทั้งสิ้น อีกทั้งห้ามมิให้ตัดแปลงเนื้อหาและต้องอ้างอิงถึงเจ้าของเอกสารทุกครั้งที่มีการนำไปใช้

6.2.1 Serial Audio Interface Internal Architecture

ประกอบด้วย 3 ส่วนย่อยๆ ได้

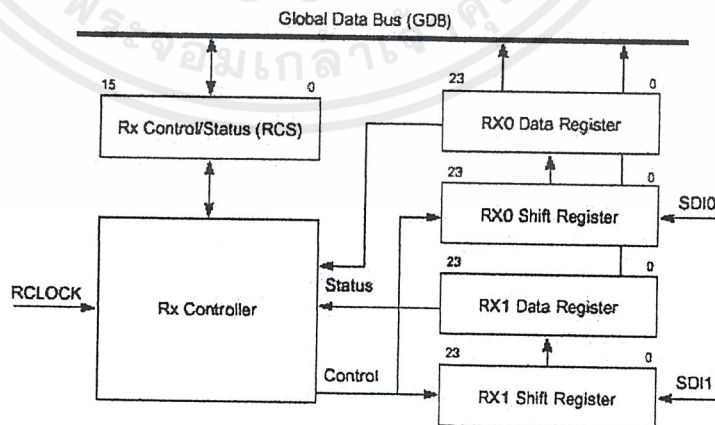
แก่

1) Baud-Rate Generator สำหรับสร้าง clock ภายในเพื่อใช้ในระบบ SAI ทั้งชุดรับและส่ง แสดง ได้ดังรูปที่ 6.6



รูปที่ 6.6 SAI Baud-Rate Generator Block Diagram

2) Receive Section ประกอบด้วยรีจิสเตอร์ควบคุมขนาด 16 บิต, รีจิสเตอร์เลื่อนขนาด 24 บิต 2 ชุด และรีจิสเตอร์ข้อมูลขนาด 24 บิต 2 ชุด(RX0 และ RX1) ดังรูปที่ 6.7



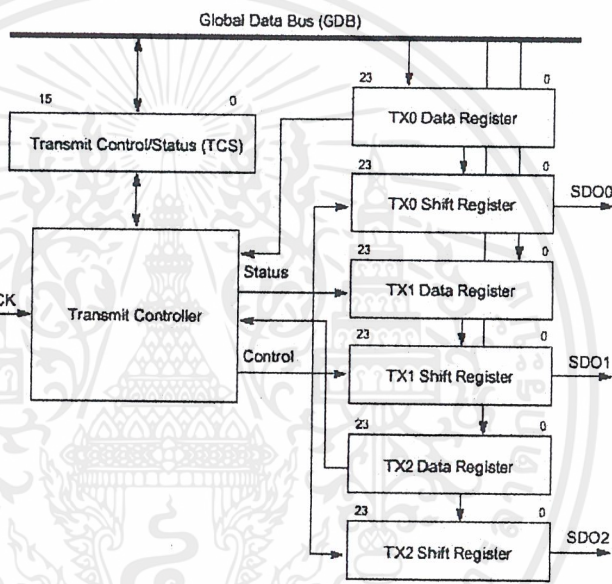
รูปที่ 6.7 SAI Receive Section Block Diagram

จากรูป ข้อมูลจะถูกเลื่อนเข้ามาที่รีจิสเตอร์เลื่อนจนกระทั่งครบตาม

เอกสารนี้เป็นเอกสารที่สงวนจำนวนบิตที่ถูกกำหนดไว้ในรีจิสเตอร์ควบคุม ข้อมูลเหล่านั้นก็จะถูกเก็บเข้าสู่รีจิสเตอร์ไม่ว่ากรณีใดๆ ทั้งสิ้น อีกทั้งห้ามมิให้ตัดแปลงเนื้อหาและต้องอ้างอิงถึงเจ้าของเอกสารทุกครั้งที่มีการนำไปใช้

เตอร์ข้อมูลเพื่อรอการอ่านจากหน่วยประมวลผลต่อไป โดยสามารถกำหนดขนาดข้อมูลได้เป็น 16, 24 หรือ 32 บิต โดยแบบ 32 บิตจะมีวิธีการควบคุมที่พิเศษกว่าแบบอื่น

3) SAI Transmit Section ประกอบด้วยรีจิสเตอร์ควบคุมขนาด 16 บิต, รีจิสเตอร์เลื่อนขนาด 24 บิต 3 ชุด และรีจิสเตอร์ข้อมูลขนาด 24 บิต 3 ชุด (TX0, TX1 และ TX2) ดังรูปที่ 6.8



รูปที่ 6.8 SAI Transmit Section Block Diagram

รีจิสเตอร์เลื่อนทั้ง 3 จะทำงานไปพร้อมๆกันในการส่งข้อมูลออกไปสู่ภายนอก ถ้ามีการอนุญาตให้ใช้งาน ซึ่งควบคุมจาก Transmit Control/Status Register (TCR) ซึ่งขนาดของข้อมูลที่จะส่งออกไปนั้น เป็นได้ทั้ง 16, 24 และ 32 บิต

6.2.2 Serial Audio Interface Programming Model

รายละเอียดแสดงได้ดังรูปที่

6.9 ประกอบด้วยรีจิสเตอร์ต่างๆดังนี้

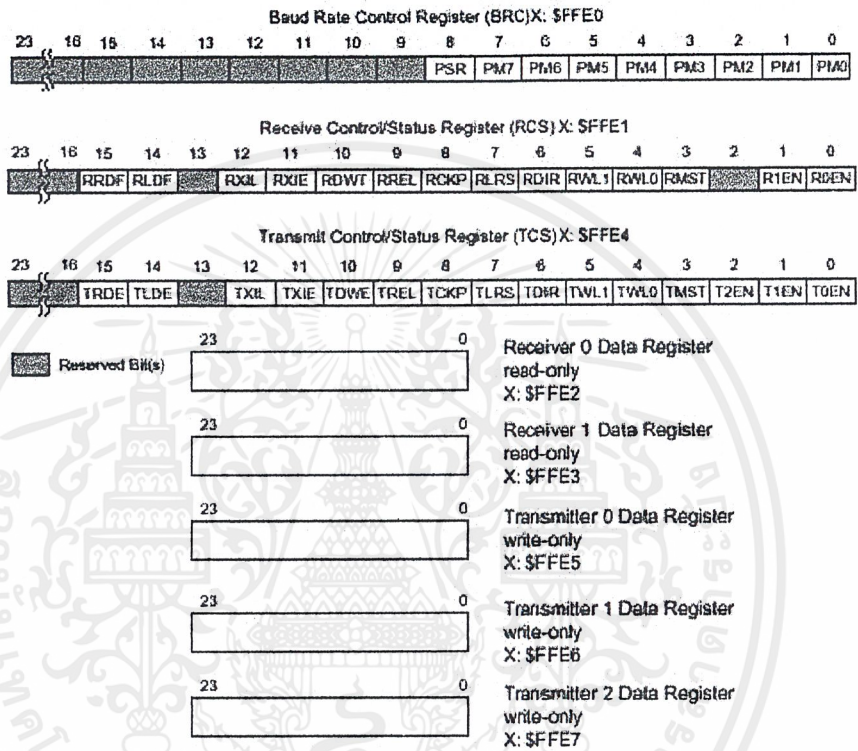
1) Baud Rate Control Register (BRC)

เราสามารถกำหนดความถี่ของ

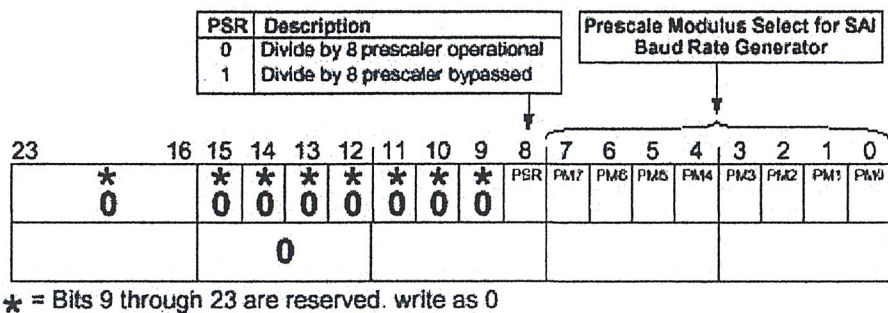
clock ได้ผ่านทาง Baud Rate Control Register โดยความถี่ที่สามารถสร้างได้จะมีค่าไม่เกินหนึ่งในสี่ของความถี่ออสซิลเลเตอร์ (Fosc) และสามารถรับความถี่จากสัญญาณภายนอกได้มากที่สุดหนึ่งในสามของความถี่ออสซิลเลเตอร์ แสดงดังรูปที่ 6.10

เอกสารนี้เป็นเอกสารที่สงวนไว้สำหรับการใช้งานเพื่อการศึกษาเท่านั้น ไม่อนุญาตให้นำไปใช้ประโยชน์ด้านการค้าไม่ว่ากรณีใดๆ ทั้งสิ้น อีกทั้งห้ามมิให้ตัดแปลงเนื้อหาและต้องอ้างอิงถึงเจ้าของเอกสารทุกครั้งที่มีการนำไปใช้

2) Receiver Control/Status Register (RCS) รีจิสเตอร์ควบคุมขนาด 16 บิต โดยจะทำหน้าที่ควบคุมการทำงานต่างๆของชุดรับข้อมูล รายละเอียดของแต่ละบิต แสดงในรูปที่ 6.11

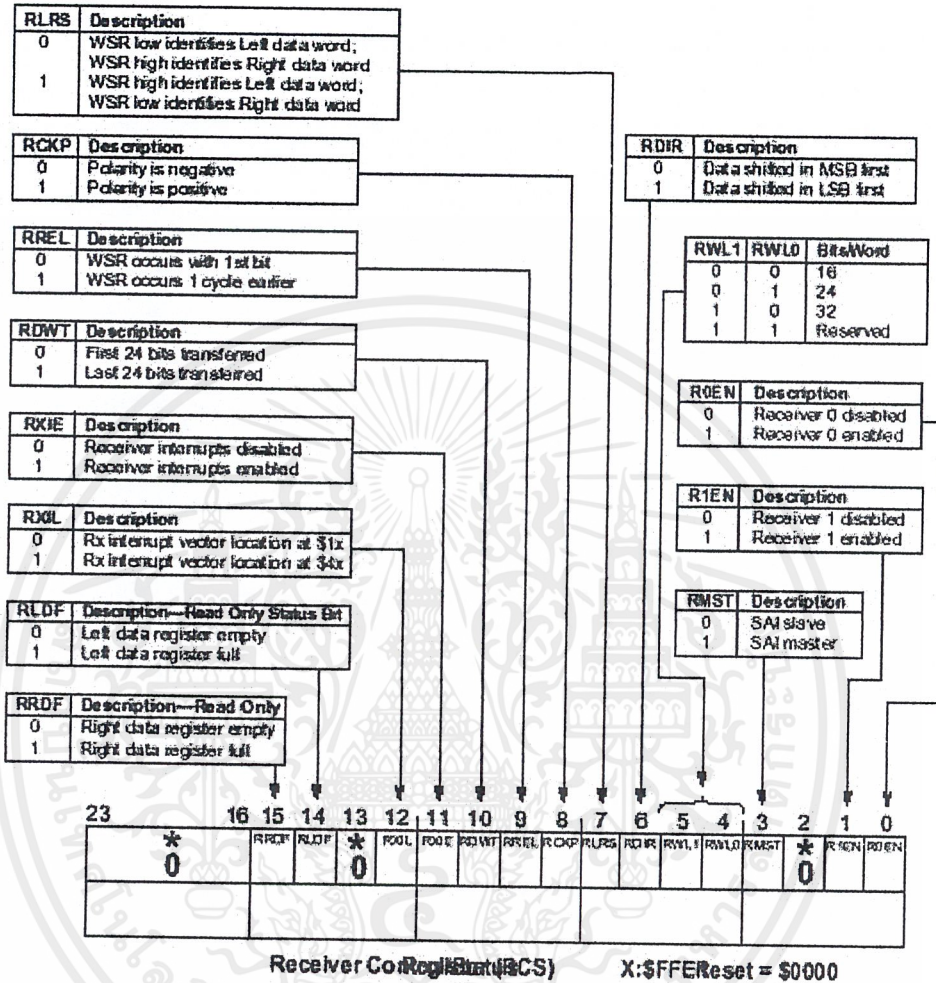


รูปที่ 6.9 SAI Programming Model



รูปที่ 6.10 Baud Rate Control Register (BRC)

เอกสารนี้เป็นเอกสารที่สงวนไว้สำหรับใช้ในการเพื่อการศึกษาเท่านั้น ไม่อนุญาตให้นำไปใช้ประโยชน์ด้านการค้า ไม่ว่าจะกรณีใดๆ ทั้งสิ้น อีกทั้งห้ามมิให้คัดแปลงเนื้อหาและต้องอ้างอิงถึงเจ้าของเอกสารทุกครั้งที่มีการนำไปใช้



รูปที่ 6.11 Receiver Control/Status Register

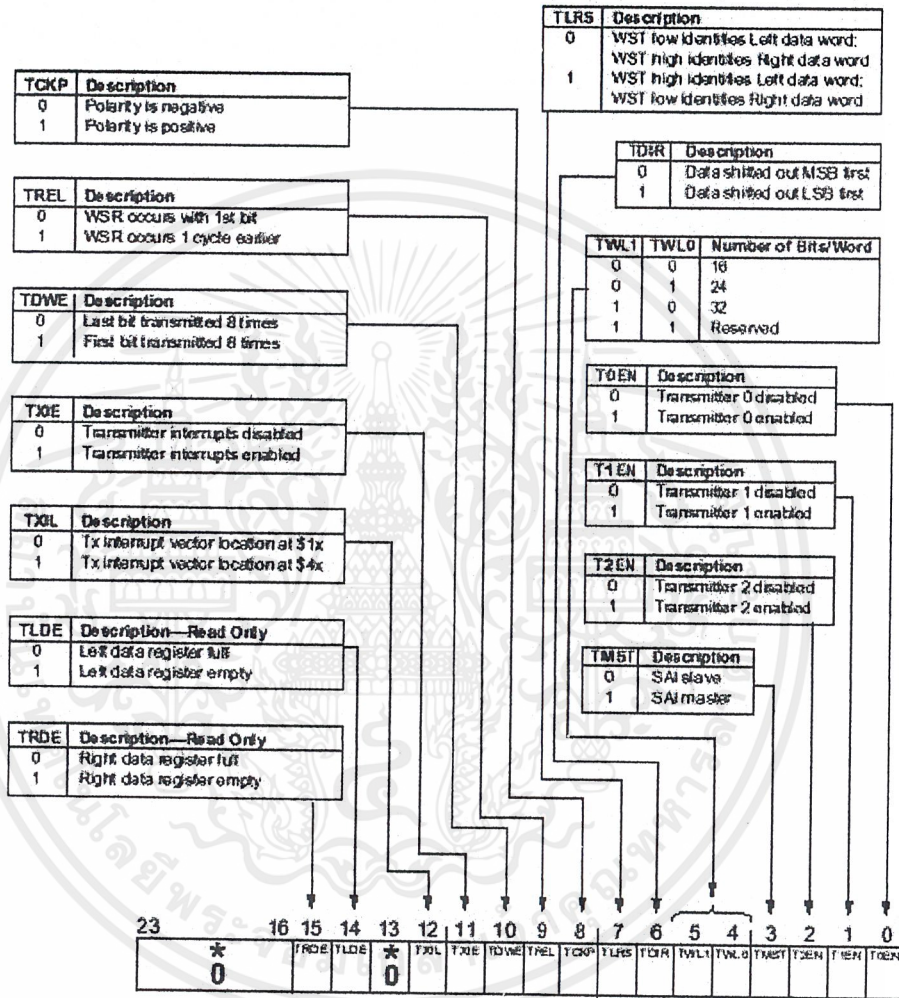
3) Transmit Control/Status Register (TCS) รีจิสเตอร์ควบคุมขนาด 16 บิต โดยจะทำหน้าที่ควบคุมการทำงานต่างๆของชุดส่งข้อมูล รายละเอียดของแต่ละบิต แสดงในรูปที่ 6.12

4) SAI Receiver Data Register (RX0, RX1) รีจิสเตอร์ข้อมูลขนาด 24 บิต ใช้เก็บข้อมูลที่รับมาจากภายนอก ทำงานพร้อมกันทั้ง 2 ตัว

5) SAI Transmit Data Register (TX0, TX1, TX2)

รีจิสเตอร์ข้อมูลขนาด

24 บิต ใช้เก็บข้อมูลที่จะส่งออกไปสู่ภายนอก ทำงานพร้อมกันทั้ง 3 ตัว



รูปที่ 6.12 Transmit Control/Status Register

6.3 Serial Host Interface (SHI)

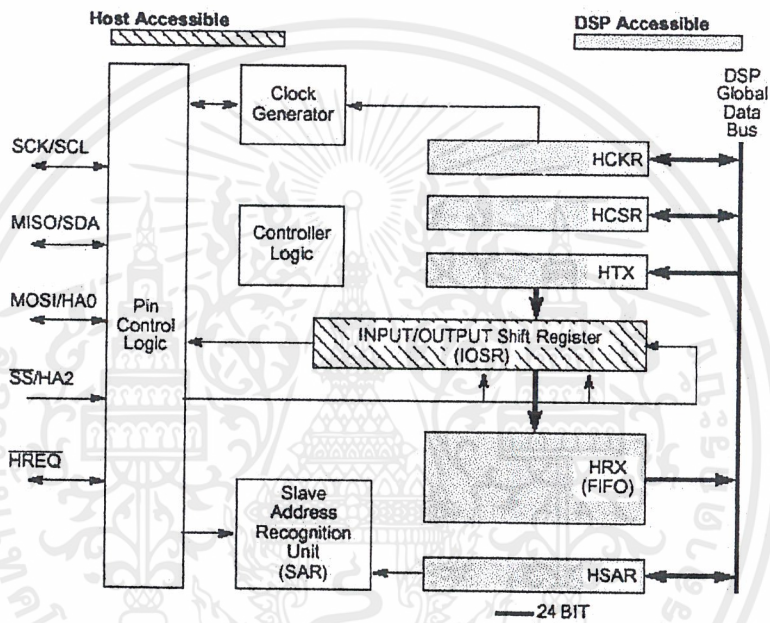
Serial Host Interface เป็นส่วนที่ใช้ติดต่อกับ Host processor ภายนอก โดยมีการอินเทอร์เฟสผ่านรูปแบบของบัสอนุกรมที่เป็นที่รู้จักกันอย่างกว้างขวาง (Synchronous Serial Bus) ได้แก่ Motorola Serial Peripheral Interface (SPI) และ Philips Inter-Integrated-circuit Control (I²C) โดย

เอกสารนี้เป็นเอกสารที่สงวนไว้สำหรับการใช้งานเพื่อการศึกษาเท่านั้น ไม่อนุญาตให้นำไปใช้ประโยชน์ด้านการค้าไม่ว่ากรณีใดๆ ทั้งสิ้น อีกทั้งห้ามมิให้ดัดแปลงเนื้อหาและต้องอ้างอิงถึงเจ้าของเอกสารทุกครั้งที่มีการนำไปใช้

สามารถทำงานได้ทั้งโหมด Master และ Slave รองรับความยาวของข้อมูลได้ 3 แบบคือ 1, 2 และ 3 ไบต์ นอกจากนี้ยังมี Buffer พักข้อมูลที่รับมา 10 ระดับแบบ FIFO (First-In-First-Out)

6.3.1 Serial Host Interface Internal Architecture

DSP จะมองเห็น SHI เป็นเสมือน Peripheral register ที่อยู่ในหน่วยความจำภายใน (X-Memory) ซึ่งสามารถแก้ไขและเคลื่อนย้ายข้อมูลได้โดยใช้คำสั่งพื้นฐานทั่วไป (MOVEP) Block diagram ของส่วนนี้แสดงในรูปที่ 6.13



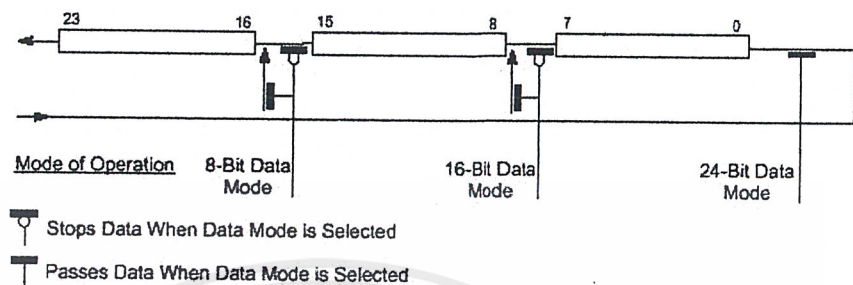
รูปที่ 6.13 Serial Host Interface Block Diagram

6.3.2 Serial Host Interface Programming Model

รายละเอียดของรีจิสเตอร์ต่างๆมีดังนี้

- 1) SHI Input/Output Shift Register (IOSR) เป็นรีจิสเตอร์รับ-ส่งข้อมูลระหว่าง Host ภายนอกกับ SHI โดยเสมือนเป็นตัวแปลงข้อมูลจากแบบขนาน-อนุกรม และอนุกรม-ขนานที่สามารถเลือกขนาดความยาวของข้อมูลได้เป็น 8, 16 หรือ 24 บิตดังแสดงในรูปที่ 6.14 โดยเมื่อเลือกใช้แบบ 8 บิต Most Significant Byte จะถูกใช้เป็น Shift register ทำนองเดียวกันกับแบบ 16 บิต

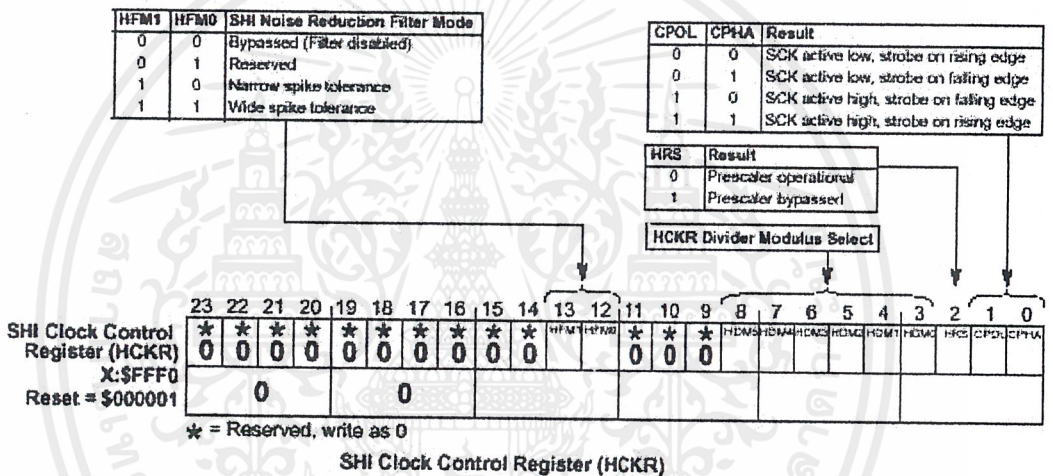
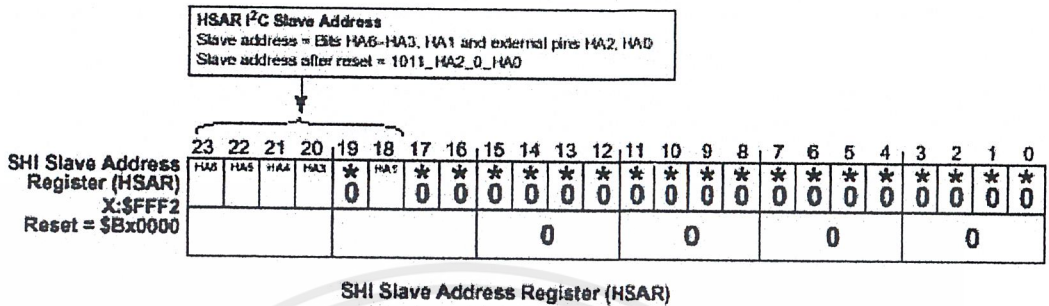
เอกสารนี้เป็นเอกสารที่สงวนไว้สำหรับการใช้งานเพื่อการศึกษาเท่านั้น ไม่อนุญาตให้นำไปใช้ประโยชน์ด้านการค้า ไม่ว่าจะกรณีใดๆ ทั้งสิ้น อีกทั้งห้ามมิให้ตัดแปลงเนื้อหาและต้องอ้างอิงถึงเจ้าของเอกสารทุกครั้งที่มีการนำไปใช้



รูปที่ 6.14 SHI I/O Shift Register

- 2) **SHI Host Transmit Data Register (HTX)** ใช้ในการเคลื่อนย้ายข้อมูลจาก DSP ไปสู่ Host เป็นรีจิสเตอร์ขนาด 24 บิต ในการเคลื่อนย้ายข้อมูลไบต์เดี่ยว (8 บิต) ข้อมูลที่อยู่ใน Most Significant Byte ของ HTX เท่านั้นที่จะถูกส่งออกไปสู่ Host ทำนองเดียวกันกับข้อมูลขนาด 16 บิต
- 3) **SHI Host Receive Data FIFO (HRX)** เป็นรีจิสเตอร์แบบ First-In-First-Out ที่มีความลึก 10 ลำดับชั้น แต่ละชั้นมีขนาด 24 บิต ใช้สำหรับพักข้อมูลที่ได้รับมาจาก Host ภายนอก โดยการรับข้อมูลที่มีความยาวน้อยกว่า 24 บิต Most Significant Byte ของ HRX ที่จะถูกใช้เก็บข้อมูลนั้น (ส่วนที่เหลือจะเติมศูนย์ให้อัด โนมัติ)
- 4) **SHI Slave Address Register (HSAR)** จะถูกใช้เมื่อ SHI ถูกใช้งานใน โหมด I²C Slave โดยจะทำหน้าที่เก็บค่า Address ที่ใช้ร่วมกันกับ โหมดนี้
- 5) **SHI Clock Control Register (HCKR)** เป็นรีจิสเตอร์ควบคุมการสร้าง Clock รวมทั้ง Phase และ Polarity ที่ใช้ในการติดต่อกับ Host โดยสามารถสร้างความถี่ได้สูงสุดหนึ่งในสี่ของความถี่ออสซิลเลเตอร์ (F_{osc}) สำหรับ โหมด SPI และ หนึ่งในหกในกรณีโหมด I²C (สามารถรับความถี่จากภายนอกได้มากที่สุดเป็น หนึ่งในสามและหนึ่งในห้าเมื่อใช้ในโหมด SPI และ I²C ตามลำดับ)
- 6) **SHI Control/Status Register (HCSR)** รีจิสเตอร์ใช้ควบคุมการทำงาน ของ SHI เช่น โหมดการทำงาน เป็นต้น รายละเอียดแสดงในรูปที่ 6.16

เอกสารนี้เป็นเอกสารที่สงวนไว้สำหรับการใช้งานเพื่อการศึกษาเท่านั้น ไม่อนุญาตให้นำไปใช้ประโยชน์ด้านการค้า ไม่ว่ากรณีใดๆ ทั้งสิ้น อีกทั้งห้ามมิให้ดัดแปลงเนื้อหาและต้องอ้างอิงถึงเจ้าของเอกสารทุกครั้งที่มีการนำไปใช้



รูปที่ 6.15 SHI Slave Address Register And SHI Clock Control Register

6.3.3 Characteristics Of The SPI Bus บัสดข้อมูลแบบ SPI ประกอบด้วยทางเดิน

ข้อมูล 2 เส้น (ได้แก่ MISO และ MOSI), สัญญาณนาฬิกา (SCK) และ สัญญาณเลือก Slave Select(SS) สำหรับการรับและส่งข้อมูลสามารถทำได้พร้อมๆกันทั้ง 2 ทาง โดยขาใดจะเป็น input หรือoutput นั้นก็ขึ้นอยู่กับกำหนัดโหมดการทำงานจาก Control Register

ส่วนของ Clock นั้น สามารถเลือก Polarity ได้ 2 แบบเพื่อให้สอดคล้องกับอุปกรณ์อื่นที่นำมาต่อใช้งานร่วมกัน โดยรูปแบบของสัญญาณต่างๆแสดงดังรูปที่ 6.17

สัญญาณ SS เป็น input ที่ให้อุปกรณ์อื่นส่งสัญญาณมาเลือกตัวมันให้ทำงานหรือไม่ก็ได้ (กรณีทำงานแบบ Slave) โดยถ้าไม่มีสัญญาณมาเลือก ขา output จะอยู่ในสภาวะ high-impedance

6.3.4 Characteristics Of The I²C Bus

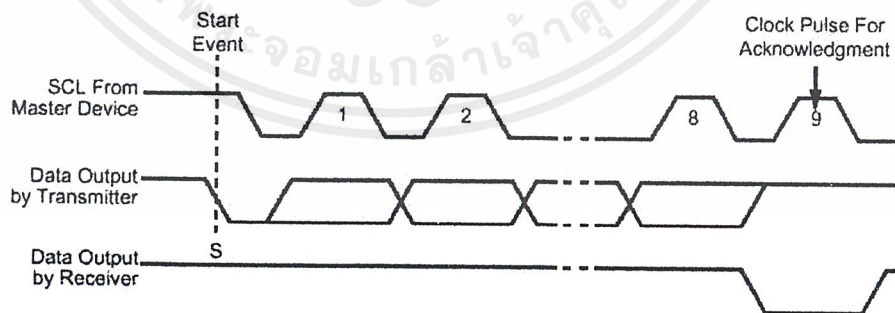
บัสข้อมูลแบบ I²C ประกอบด้วยขาข้อมูล 2 ทิศทาง (SDA) และสัญญาณนาฬิกา (SCL) โดยทั้ง 2 ขาต้องมีการต่อกับแหล่งจ่ายบวกผ่าน pull-up resistor อยู่ตลอดเวลาขณะใช้งาน

I²C Protocol ประกอบด้วยเหตุการณ์ต่างๆเพื่อใช้ในการรับส่งข้อมูลดังต่อไปนี้

- Bus not busy บัสข้อมูลและสัญญาณ clock มี logic high
- Start data transfer การเปลี่ยนสถานะของบัสข้อมูลจาก high ไปเป็น low ขณะที่สัญญาณ clock มีสถานะ high ดังรูปที่ 6.18
- Stop data transfer การเปลี่ยนสถานะของบัสข้อมูลจาก low ไปเป็น high ขณะที่สัญญาณ clock มีสถานะ high ดังรูปที่ 6.18



รูปที่ 6.18 I²C Bus Characteristics



เอกสารนี้เป็นเอกสารที่สงวนไว้สำหรับการใช้งานเพื่อการศึกษาเท่านั้น ไม่อนุญาตให้นำไปใช้ประโยชน์ด้านการค้า ไม่ว่ากรณีใดๆ ทั้งสิ้น อีกทั้งห้ามมิให้ตัดแปลงเนื้อหาและต้องอ้างอิงถึงเจ้าของเอกสารทุกครั้งที่มีการนำไปใช้

บทที่ 7

Software Algorithm

Polyphase Filterbank Algorithm

อธิบายได้เป็นขั้นตอนดังนี้

- 1) โปรแกรมจะทำการตรวจสอบว่าเป็นการผ่านข้อมูลเข้าสู่ Polyphase Filterbank ครั้งแรกหรือไม่ (1st pass flag) ถ้าเป็นการผ่านครั้งแรก โปรแกรมจะทำการเคลียร์ค่าในเมโมรี่ที่เป็น Analysis Window ให้เป็นศูนย์ทั้งหมด แต่ถ้าไม่ใช่การผ่านครั้งแรกก็จะเข้าสู่ขั้นตอนถัดไป
- 2) ทำการ copy ข้อมูลของสัญญาณทดสอบจำนวน 32 ค่าที่อยู่ในเมโมรี่มาใส่ลงไปในตำแหน่งที่ 480 ถึง 511 (Newest input samples)
- 3) เริ่มเข้าสู่กระบวนการ Filter โดยทำการคำนวณ vector z จากข้อมูลใน Analysis Window ดังสมการ

$$Z(i)=C(i)*X(511-i) ; i=0,1,2,\dots,511$$

โดย $X(i)$ =input sample ใน Analysis Window

$C(i)$ =Filter Coefficient

$Z(i)$ =Vector Z

จะได้ผลลัพธ์จำนวน 512 ค่า ใน vector z buffer

- 4) นำค่าใน vector z buffer ไปคำนวณ Partial Calculation ดังสมการ

$$Y(i) = \sum_{j=0}^7 [Z(i+64j)] ; i=0,1,2,\dots,63$$

โดย $Y(i)$ =Partial value

$Z(i)$ =Vector Z

- 5) คำนวณ Matrixing ดังสมการ

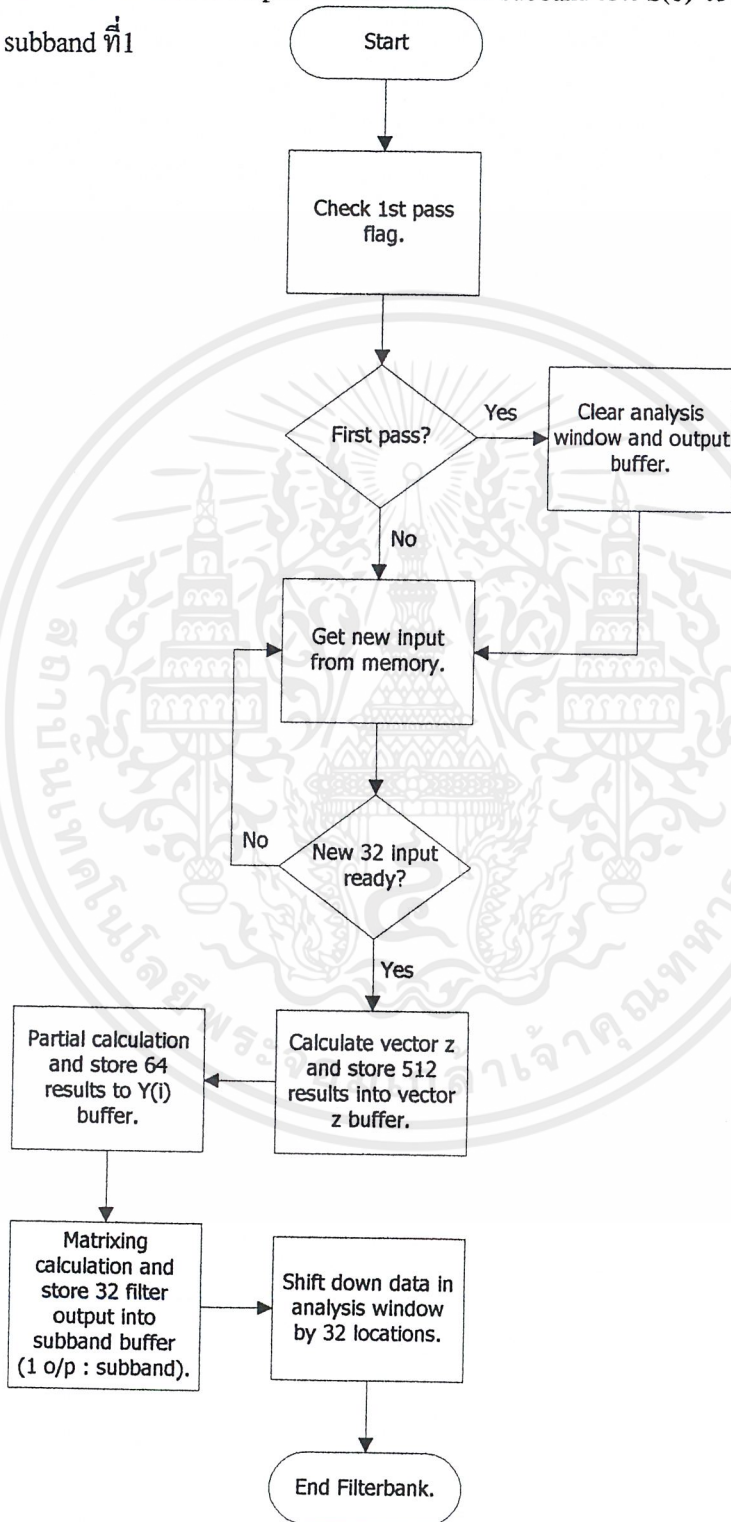
$$S(i) = \sum_{k=0}^{63} [M(ik)*Y(k)] ; i=0,1,2,\dots,31$$

โดย $M(ik)=\cos[(2i+1)*(k+16)*\pi/64]$

$Y(k)$ =Partial value

เอกสารนี้เป็นเอกสารที่สงวนไว้สำหรับการใช้งานเพื่อการศึกษาเท่านั้น ไม่อนุญาตให้นำไปใช้ประโยชน์ด้านการค้าไม่ว่ากรณีใดๆ ทั้งสิ้น อีกทั้งห้ามมิให้ดัดแปลงเนื้อหาและต้องอ้างอิงถึงเจ้าของเอกสารทุกครั้งที่มีการนำไปใช้

ผลลัพธ์ที่ได้จะเป็น output ของ Filter แต่ละ subband เช่น $S(0)$ จะเป็น output ของ subband ที่ 1



รูปที่ 7.1 Flow Diagram ของโปรแกรม Polyphase Filterbank

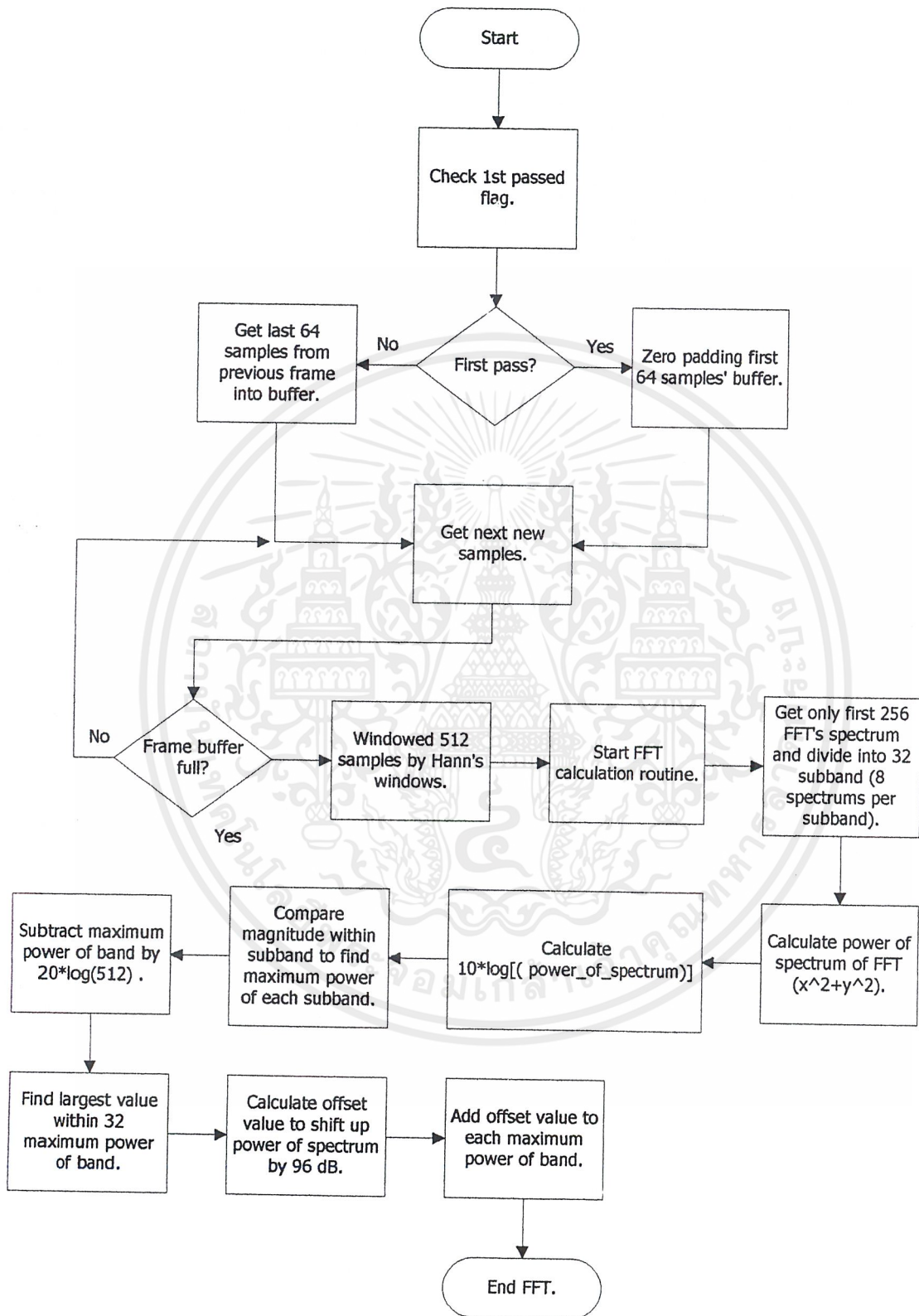
เอกสารนี้เป็นเอกสารที่สงวนไว้สำหรับการใช้งานเพื่อการศึกษาเท่านั้น ไม่อนุญาตให้นำไปใช้ประโยชน์ด้านการค้า ไม่ว่ากรณีใดๆ ทั้งสิ้น อีกทั้งห้ามมิให้ดัดแปลงเนื้อหาและต้องอ้างอิงถึงเจ้าของเอกสารทุกครั้งที่มีการนำไปใช้

FFT Algorithm

อธิบายขั้นตอนต่างๆ ได้ดังนี้

- 1) โปรแกรมจะทำการตรวจสอบว่าเป็นการผ่านข้อมูลเข้าสู่ FFT ครั้งแรกหรือไม่ (1st pass flag) ถ้าเป็นการผ่านครั้งแรก โปรแกรมจะทำการใส่ศูนย์ให้กับ 64 ตำแหน่งแรกของ FFT Analysis Buffer (Zero padding) แต่ถ้าไม่ใช่การผ่านครั้งแรก โปรแกรมจะดึงเอาข้อมูล 64 ตำแหน่งล่าสุด (Newest 64 samples) จาก Frame ก่อนหน้ามาใส่ที่ 64 ตำแหน่งแรกของ FFT Analysis Buffer
- 2) ทำการ copy ข้อมูลของสัญญาณทดสอบจำนวน 448 ค่าที่อยู่ในเมมโมรี่มาใส่ลงไปในตำแหน่งที่เหลือจนครบเต็ม Frame ข้อมูล (Newest input samples)
- 3) นำ Frame ข้อมูลที่ได้ไปทำการ Windowing ด้วย Hann's Window โดยใช้ค่าจากตารางในเมมโมรี่ที่ได้กำหนดไว้ก่อนแล้ว
- 4) ผ่านข้อมูลที่ได้เข้าสู่ FFT Calculation ขนาด 512 จุด จากนั้นทำการ Bit reversal เพื่อเรียงผลลัพธ์ที่ได้ให้ถูกต้องตามลำดับ
- 5) นำผลลัพธ์ 256 ค่าแรกที่ได้จาก FFT Calculation มาคำนวณ Power Spectrum จากสมการ
$$\text{power_spectrum}(i) = x_i^2 + y_i^2 ; \text{เมื่อ } x_i = \text{real part of FFT}$$
$$y_i = \text{imaginary part of FFT}$$
 จากนั้นจึงแบ่ง Power Spectrum ออกเป็น 32 ส่วนๆ ละ 8 ค่าซึ่งเท่ากับจำนวน subband ของ Filterbank
- 6) คำนวณค่า Power Spectrum ให้อยู่ในหน่วย dB ดังสมการ
$$\text{power_spectrum}(i) = 10 * \text{Log}_{10}(x_i^2 + y_i^2) \quad [\text{dB}]$$
- 7) นำค่าที่ได้มาเปรียบเทียบกันภายในส่วนที่ได้แบ่งไว้ (32 ส่วน) เพื่อหาค่าที่มากที่สุดสำหรับใช้เป็นตัวแทน 32 ค่า (P_i) ที่จะนำไปเปรียบเทียบกับ Scale Factor ซึ่งหาได้จาก Polyphase Filterbank
- 8) หาค่าที่มากที่สุดจากตัวแทน 32 ค่านั้น เพื่อใช้หาค่า Offset ที่จะยกระดับพลังงานขึ้นไป 96 dB ดังนี้
$$\text{Offset} = 96 - \text{MAX}(P_i)$$
- 9) บวกค่า Offset เพิ่มให้กับ P_i ทุกๆ ค่า โดยค่าพลังงานที่มากที่สุดจะมีค่าเป็น 96dBพอดี

เอกสารนี้เป็นเอกสารที่สงวนไว้สำหรับการใช้งานเพื่อการศึกษาเท่านั้น ไม่อนุญาตให้นำไปใช้ประโยชน์ด้านการค้าไม่ว่ากรณีใดๆ ทั้งสิ้น อีกทั้งห้ามมิให้ดัดแปลงเนื้อหาและต้องอ้างอิงถึงเจ้าของเอกสารทุกครั้งที่มีการนำไปใช้



รูปที่ 7.2 FFT Flow Diagram

เอกสารนี้เป็นเอกสารที่สงวนไว้สำหรับการใช้งานเพื่อการศึกษาเท่านั้น ไม่อนุญาตให้นำไปใช้ประโยชน์ด้านการค้า ไม่ว่ากรณีใดๆ ทั้งสิ้น อีกทั้งห้ามมิให้ตัดแปลงเนื้อหาและต้องอ้างอิงถึงเจ้าของเอกสารทุกครั้งที่มีการนำไปใช้

Function Logarithm Base10 Algorithm [$\text{Log}_{10}(X)$]

อธิบายได้ดังนี้

1) ตรวจสอบค่า X โดย

- ถ้าค่า $X=0$ จะออกจากโปรแกรมทันที
- ถ้า $X \geq 1$ หรือ $X < 0.5$ (Unnormalized) โปรแกรมก็จะทำการ Normalize ค่า X โดย
 - a) ถ้า $X \geq 1$ จะทำการหารค่า X ด้วย 2 จนกระทั่ง $X < 1$ แล้วเก็บจำนวนครั้งที่หาร (n) ไว้
 - b) ถ้า $X < 0.5$ จะทำการคูณค่า X ด้วย 2 จนกระทั่ง $X \geq 0.5$ แล้วเก็บจำนวนครั้งที่คูณ (n) ไว้และ set flag $X < 0.5$ ไว้ด้วย
- ถ้า $0.5 \leq X < 1$ (Normalized) ก็จะทำการคำนวณ Function Logarithm ต่อไป

2) คำนวณ Logarithm ฐาน 2 [$\text{Log}_2(Y)$; $Y = \text{Normalized}(X)$] จากสมการ

$$\text{Log}_2(Y) = 4 * (-.3372223 Y^2 + .9981958 Y - .6626105)$$

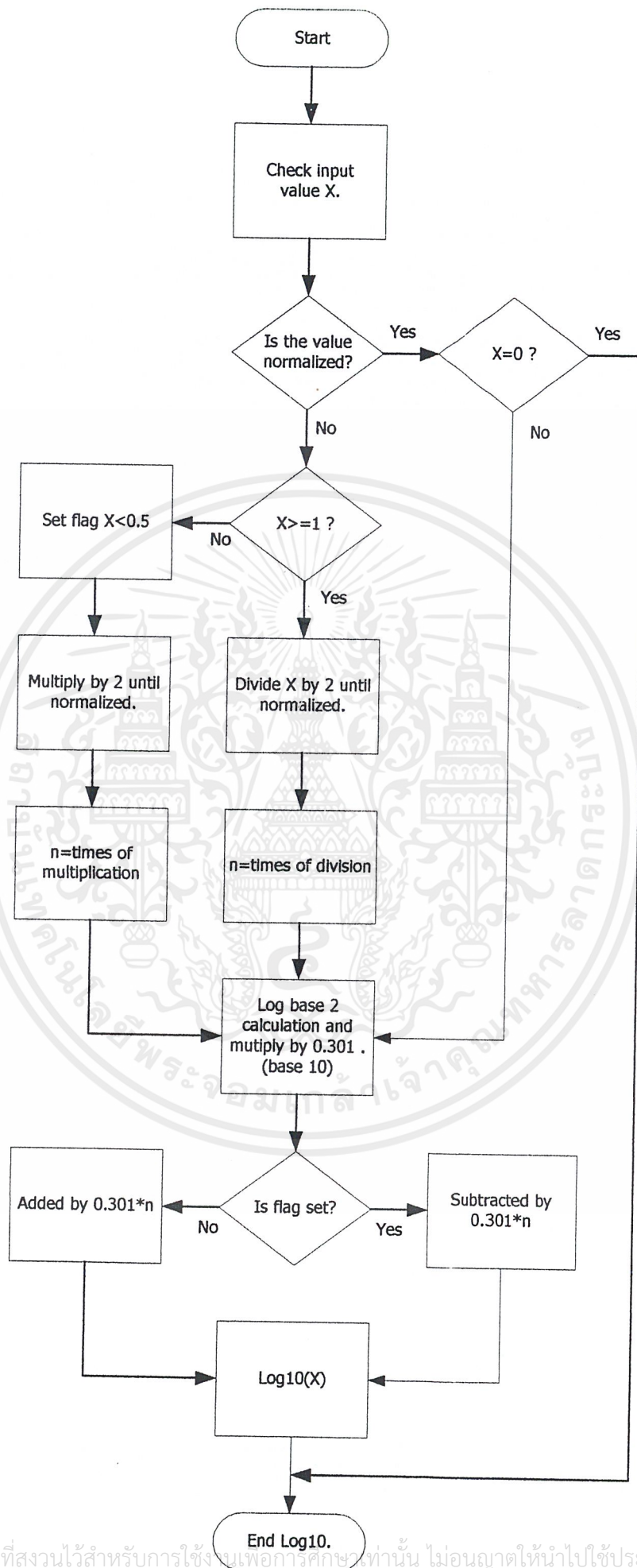
3) แปลงให้อยู่ในรูป Logarithm ฐาน 10 โดยคูณผลลัพธ์ที่ได้ด้วย $\text{Log}_{10}(2) = 0.3010$

$$\text{Log}_{10}(Y) = \text{Log}_{10}(2) * \text{Log}_2(Y)$$

4) ตรวจสอบสถานะของ Flag $X < 0.5$

- ถ้า Flag $X < 0.5$ ถูก Set หมายถึงค่า input X มีค่าน้อยกว่า 0.5 นั่นคือเราจะต้องลบค่าที่ได้จากข้อ 3 ด้วย $0.301 * n$ โดยที่ n คือจำนวนครั้งที่คูณค่า X ด้วย 2
- ถ้า Flag $X < 0.5$ ไม่ถูก Set หมายถึงค่า input X มีค่ามากกว่า 0.5 นั่นคือเราจะต้องบวกค่าที่ได้จากข้อ 3 ด้วย $0.301 * n$ โดยที่ n คือจำนวนครั้งที่หารค่า X ด้วย 2 หรือถ้าหากว่าค่า X อยู่ในช่วง Normalize ค่า n ก็จะมีค่าเท่ากับศูนย์โดยอัตโนมัติ

ผลลัพธ์ที่ได้หลังจากการบวกหรือลบนั้นจะเป็นค่าของ $\text{Log}_{10}(X)$ นั่นเอง



เอกสารนี้เป็นเอกสารที่สงวนไว้สำหรับการใช้งานเพื่อการศึกษาเท่านั้น ไม่อนุญาตให้นำไปใช้ประโยชน์ด้านการค้า
ไม่ว่ากรณีใดๆ ทั้งสิ้น อีกทั้งยังมีให้ตัดแปลงเนื้อหาและต้องอ้างอิงถึงเจ้าของเอกสารทุกครั้งที่มีการนำไปใช้

รูปที่ 7.3 Flow Diagram ของ Function Logarithm ฐาน 10

บทที่ 8

วิเคราะห์ผลการทดลองและสรุปผล

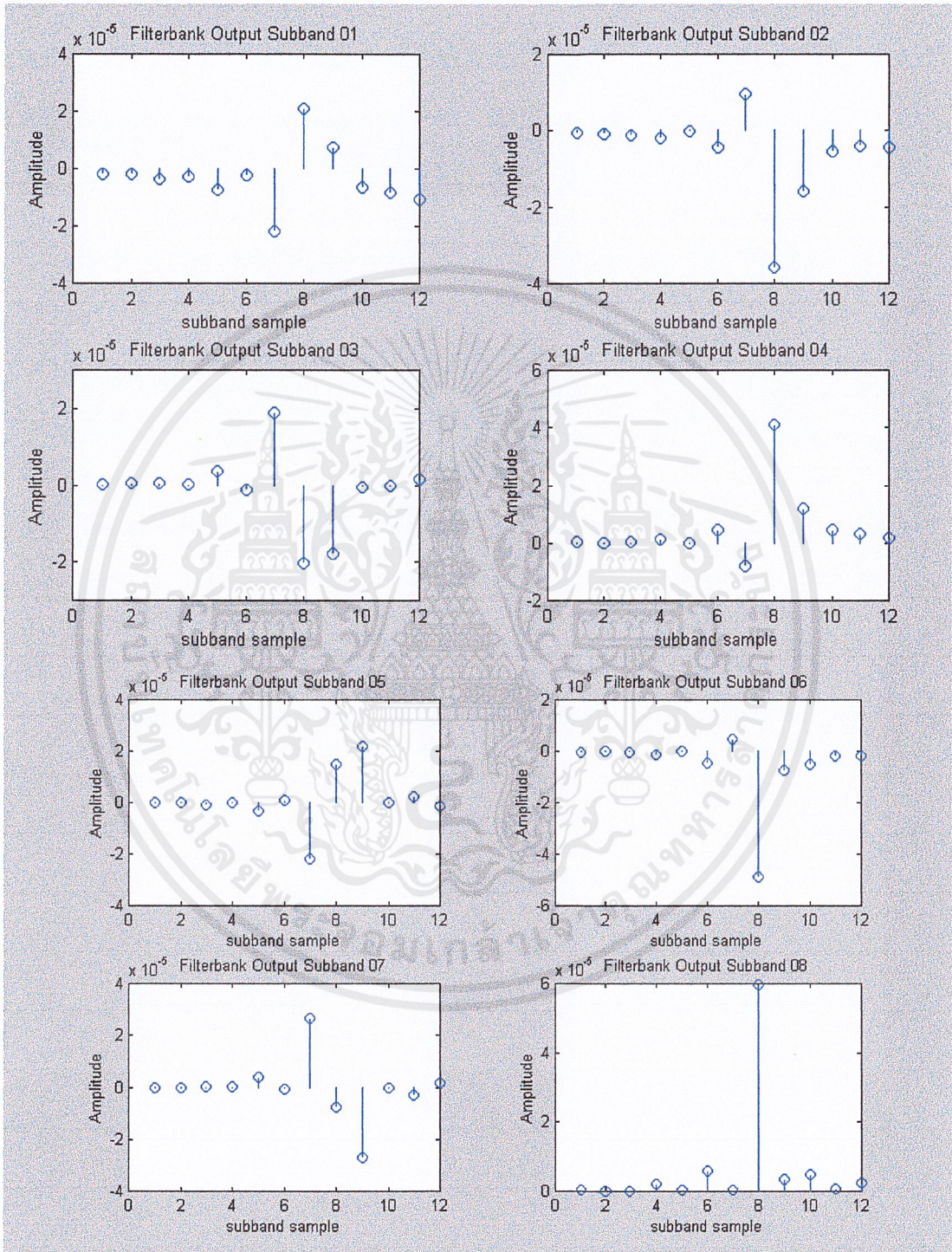
ผลการทดลองตอนที่ 1

ผลการทดลองโปรแกรมภาษาแอสแซมบลี ในส่วนของ Filter bank และ FFT โดยการป้อนอินพุตรูปซายน์ 1 ความถี่ $f = 10 \text{ kHz}$ แอมพลิจูด $A = 0.002$ ที่อัตราการแซมปลิ่ง (Sampling rate) = 44.1 kHz และผลการทดลองโปรแกรมที่เขียนโดย MATLAB ในส่วนของ Psychoacoustics โดยการป้อนอินพุตรูปซายน์ 1 ความถี่ $f = 10 \text{ kHz}$ แอมพลิจูด $A = 0.002$ ที่อัตราการแซมปลิ่ง (Sampling rate) = 44.1 kHz

ผลการทดลองตอนที่ 2

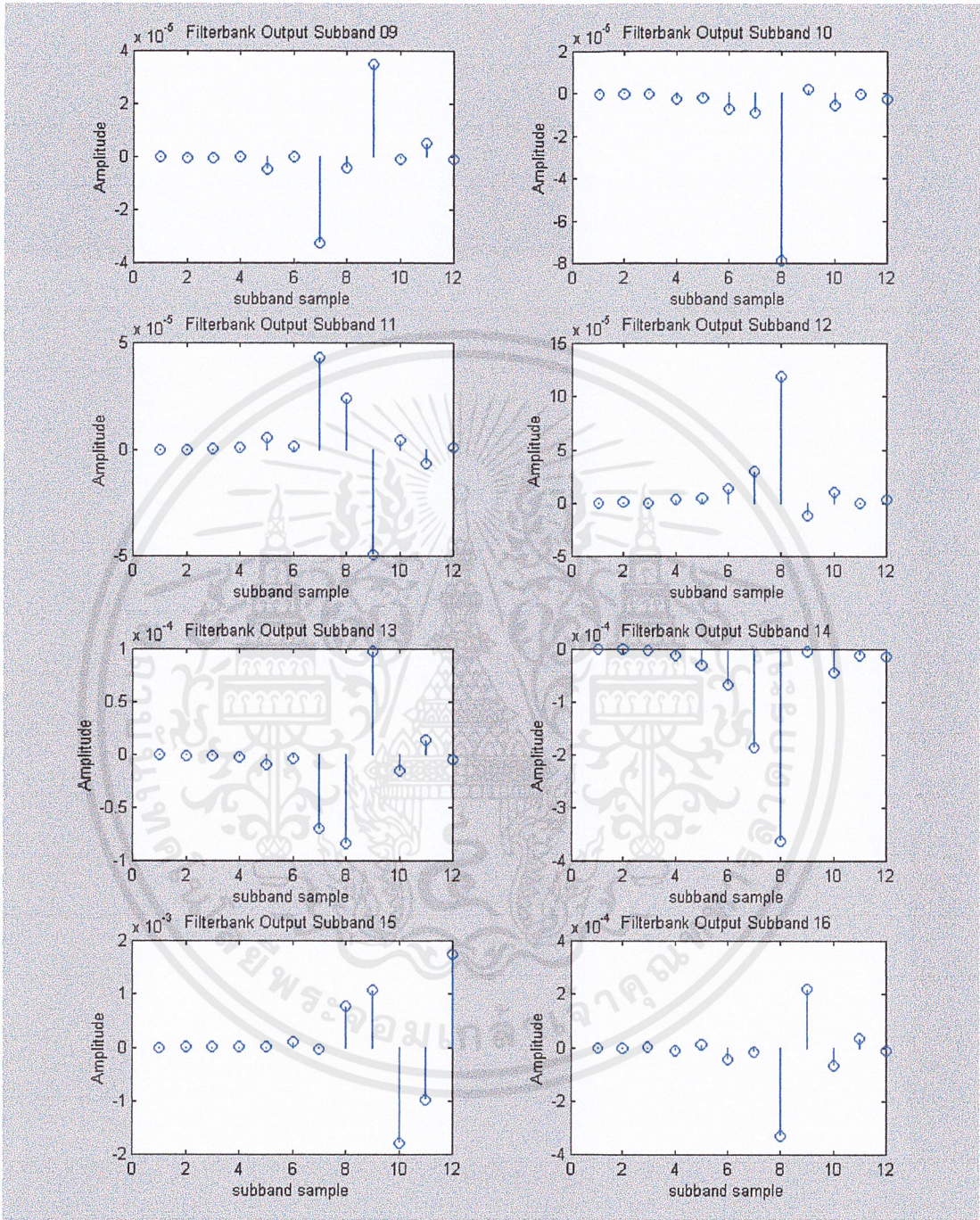
ผลการทดลองโปรแกรมภาษาแอสแซมบลี ในส่วนของ Filter bank และ FFT โดยการป้อนอินพุตรูปซายน์ 3 ความถี่ 1) $f = 1 \text{ kHz}$, $A = 0.003$ 2) $f = 10 \text{ kHz}$, $A = 0.002$ 3) $f = 11 \text{ kHz}$, $A = 0.001$ ที่อัตราการแซมปลิ่ง (Sampling rate) = 44.1 kHz และผลการทดลองโปรแกรมที่เขียนโดย MATLAB ในส่วนของ Psychoacoustics โดยการป้อนอินพุตรูปซายน์ 3 ความถี่ 1) $f = 1 \text{ kHz}$, $A = 0.003$ 2) $f = 10 \text{ kHz}$, $A = 0.002$ 3) $f = 11 \text{ kHz}$, $A = 0.001$ ที่อัตราการแซมปลิ่ง (Sampling rate) = 44.1 kHz

ผลการทดลองตอนที่ 1 ป้อนอินพุตรูปซายน์ 1 ความถี่ $f = 10\text{KHz}$, $A = 0.003$



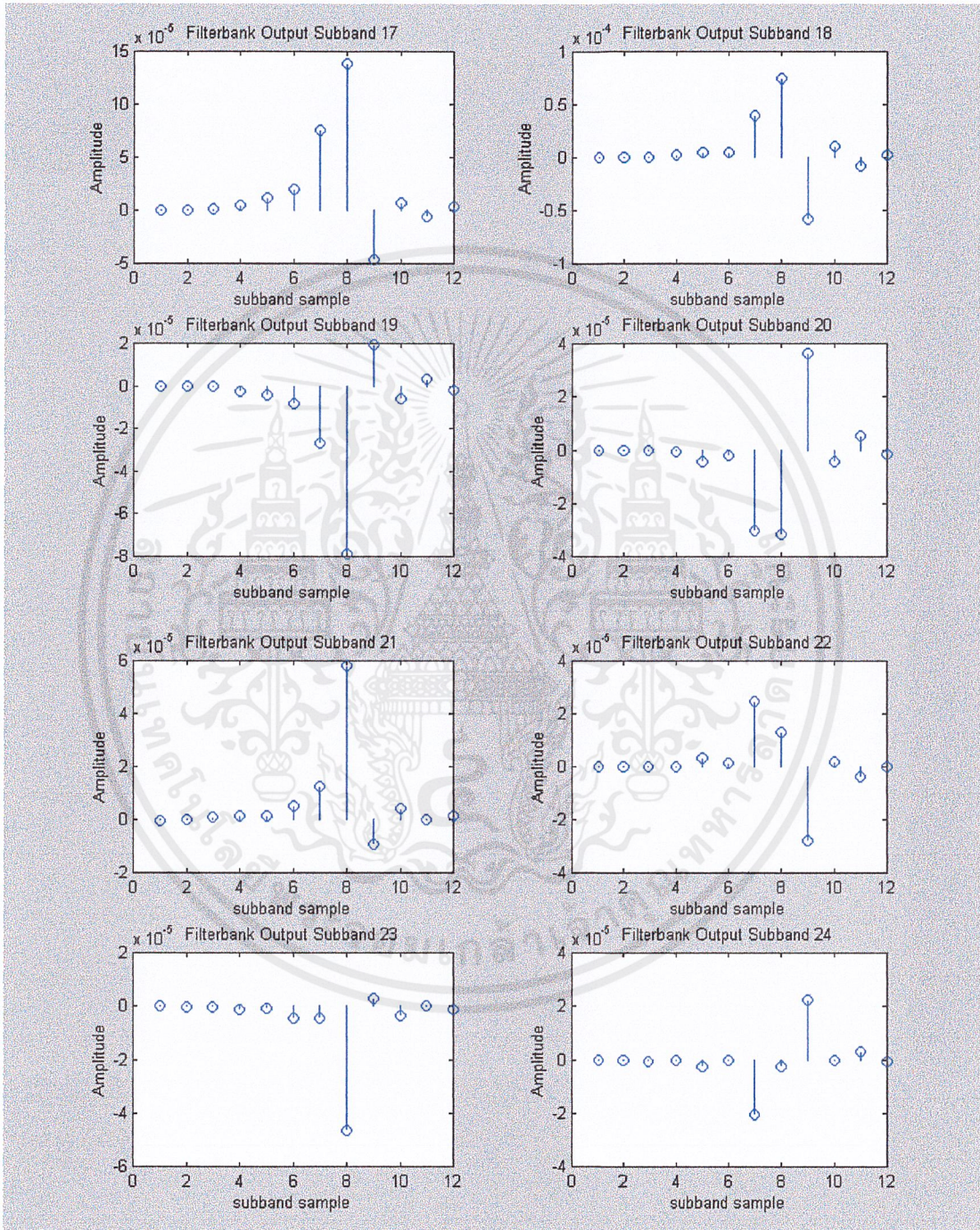
รูปที่ 8.1 ก แสดงกราฟ Filterbank Output Subband 01-08 ซึ่งค่าที่นำมาพล็อตได้มาจาก Motorola DSP56000 Software Simulator โดยที่ป้อนอินพุตคลื่นรูปซายน์เข้าไปหนึ่งความถี่ คือ $f = 10\text{ KHz}$, แอมพลิจูด $A = 0.003$ ที่อัตราการ แซมปลิง(Sampling rate) = 44.1 KHz

เอกสารนี้เป็นเอกสารที่สงวนลิขสิทธิ์ไว้เพื่อใช้ประโยชน์ในวงจำกัด ไม่อนุญาตให้เผยแพร่ไปใช้ประโยชน์ด้านการค้า ไม่ว่าจะกรณีใดๆ ทั้งสิ้น อีกทั้งห้ามมิให้ตัดแปลงเนื้อหาและต้องอ้างอิงถึงเจ้าของเอกสารทุกครั้งที่มีการนำไปใช้



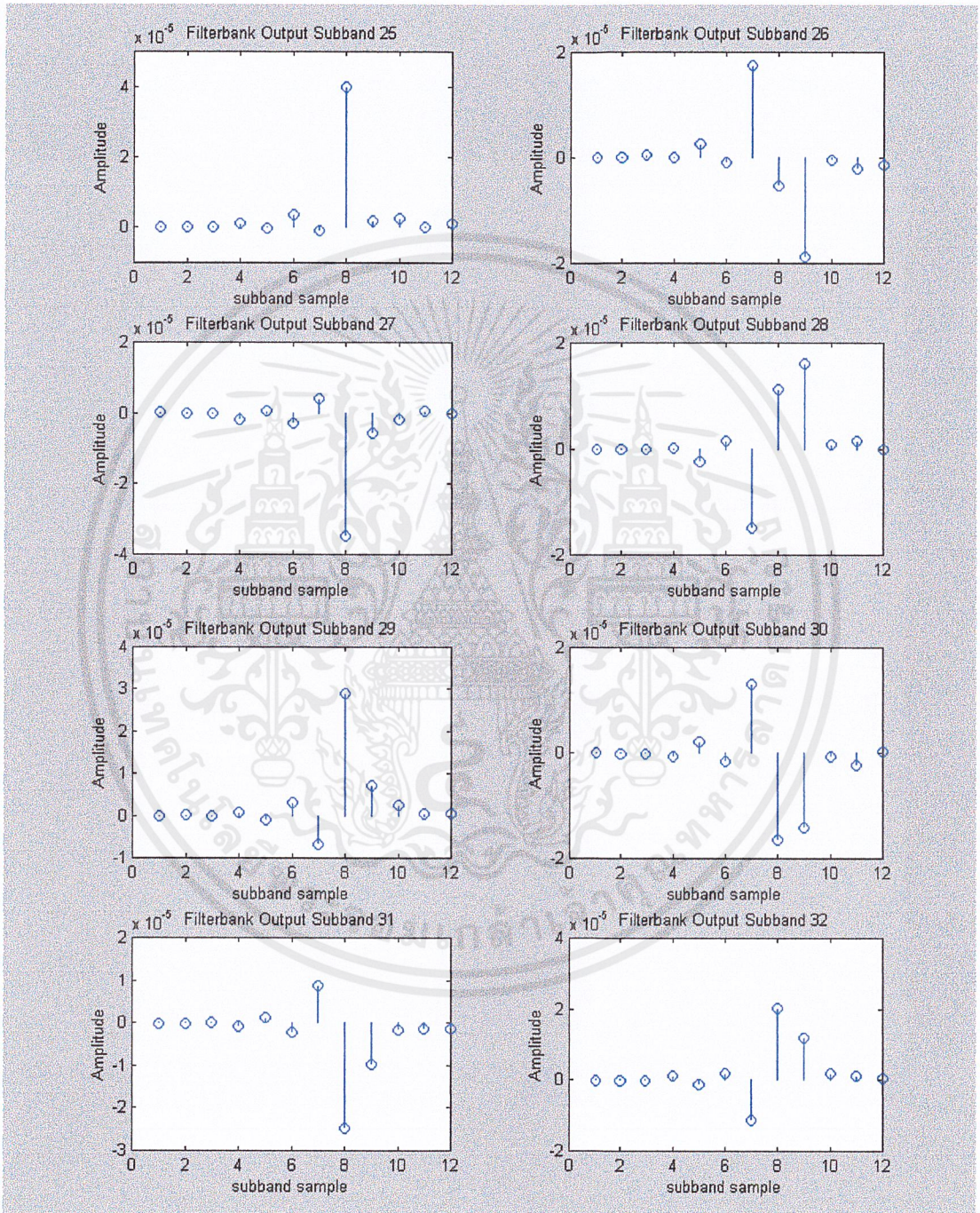
รูปที่ 8.1 ข แสดงกราฟ Filterbank Output Subband 09-16 ซึ่งค่าที่นำมาพล็อตได้มาจาก Motorola DSP56000 Software Simulator โดยที่ป้อนอินพุตคลื่นรูปไซน์เข้าไปหนึ่งความถี่ คือ $f = 10 \text{ KHz}$, แอมพลิจูด $A = 0.003$ ที่อัตราการ แซมปลิ่ง (Sampling rate) = 44.1 KHz

เอกสารนี้เป็นเอกสารที่สงวนไว้สำหรับการใช้งานเพื่อการศึกษาเท่านั้น ไม่อนุญาตให้นำไปใช้ประโยชน์ด้านการค้า ไม่ว่ากรณีใดๆ ทั้งสิ้น อีกทั้งห้ามมิให้ดัดแปลงเนื้อหาและต้องอ้างอิงถึงเจ้าของเอกสารทุกครั้งที่มีการนำไปใช้



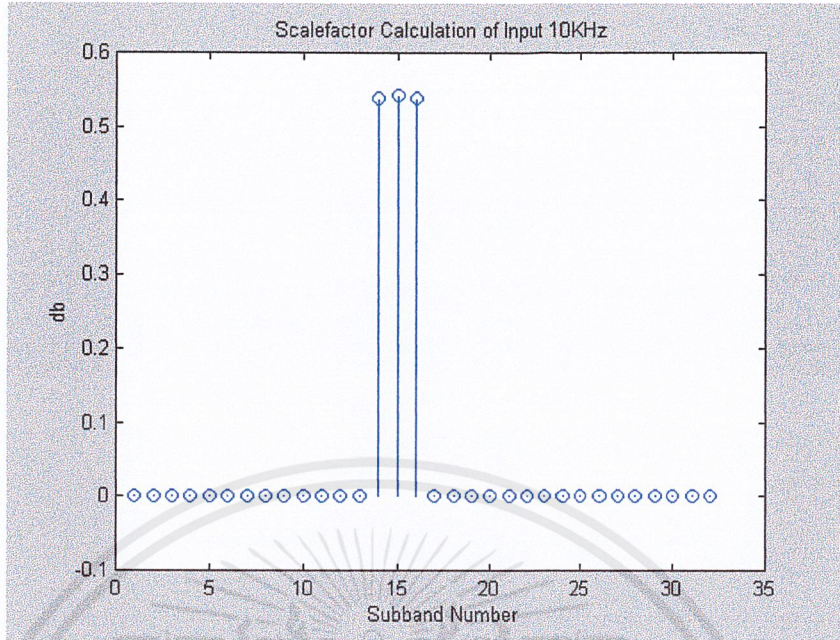
รูปที่ 8.1 ค แสดงกราฟ Filterbank Output Subband 17-24 ซึ่งค่าที่นำมาพล็อตได้มาจาก Motorola DSP56000 Software Simulator โดยที่ป้อนอินพุตคลื่นรูปไซน์เข้าไปหนึ่งความถี่ คือ $f = 10 \text{ KHz}$, แอมพลิจูด $A = 0.003$ ที่อัตราการ แซมปลิง (Sampling rate) = 44.1 KHz

เอกสารนี้เป็นเอกสารที่สงวนไว้สำหรับการใช้งานเพื่อการศึกษาเท่านั้น ไม่อนุญาตให้นำไปใช้ประโยชน์ด้านการค้า ไม่ว่ากรณีใดๆ ทั้งสิ้น อีกทั้งห้ามมิให้ดัดแปลงเนื้อหาและต้องอ้างอิงถึงเจ้าของเอกสารทุกครั้งที่มีการนำไปใช้

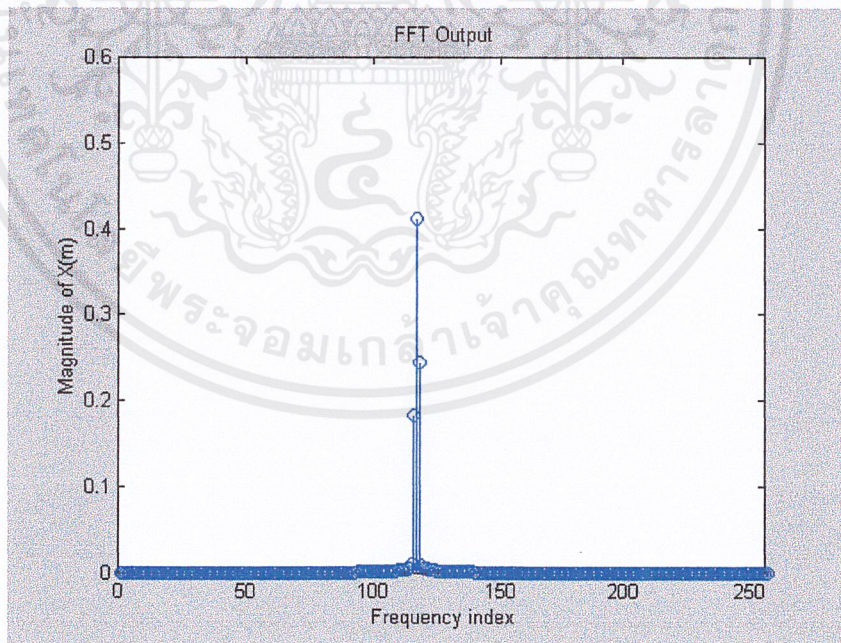


รูปที่ 8.1 ง แสดงกราฟ Filterbank Output Subband 25-32 ซึ่งค่าที่นำมาพล็อตได้มาจาก Motorola DSP56000 Software Simulator โดยที่ป้อนอินพุตคลื่นรูปไซน์เข้าไปหนึ่งความถี่ คือ $f = 10 \text{ KHz}$, แอมพลิจูด $A = 0.003$ ที่อัตราการ แซมปลิ่ง(Sampling rate) = 44.1 KHz

เอกสารนี้เป็นเอกสารที่สงวนไว้สำหรับการใช้งานเพื่อการศึกษาเท่านั้น ไม่อนุญาตให้นำไปใช้ประโยชน์ด้านการค้า ไม่ว่ากรณีใดๆ ทั้งสิ้น อีกทั้งห้ามมิให้ดัดแปลงเนื้อหาและต้องอ้างอิงถึงเจ้าของเอกสารทุกครั้งที่มีการนำไปใช้

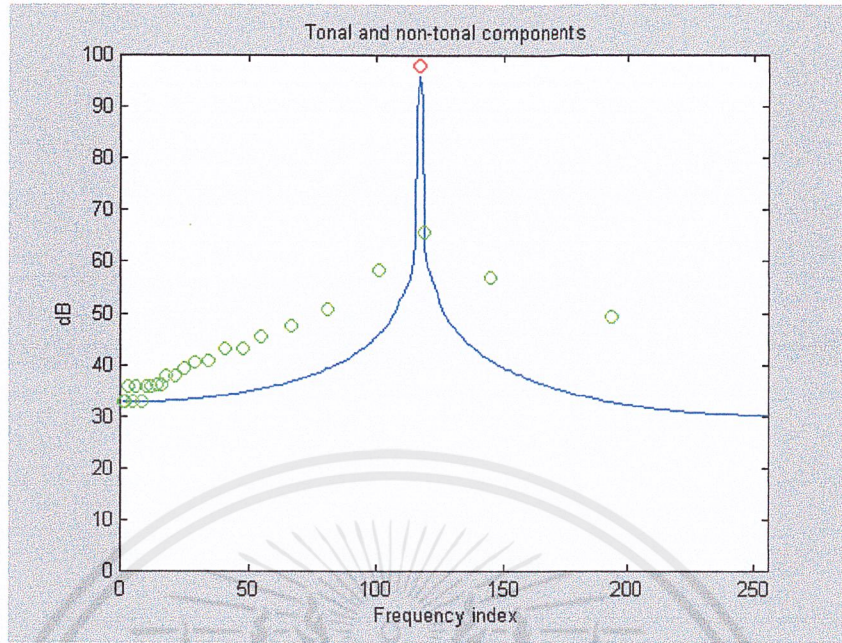


รูปที่ 8.2 แสดงกราฟ Scalefactor Calculation (In Unit) ซึ่งค่าที่นำมาพล็อตได้มาจาก Motorola DSP56000 Software Simulator โดยที่ป้อนอินพุตคลื่นรูปไซน์เข้าไปหนึ่งความถี่ คือ $f = 10 \text{ KHz}$, แอมพลิจูด $A = 0.003$ ที่อัตราการ แซมปลิ่ง(Sampling rate) = 44.1 KHz

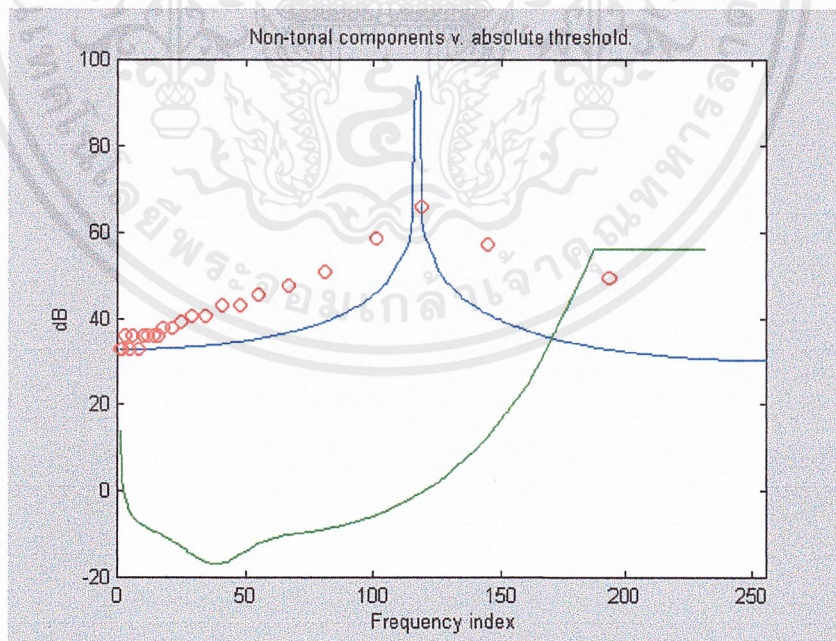


รูปที่ 8.3 แสดงกราฟ FFT – 256 In Maxnitude Of $X(m)$ ซึ่งค่าที่นำมาพล็อตได้มาจาก Motorola DSP56000 Software Simulator โดยที่ป้อนอินพุตคลื่นรูปไซน์เข้าไปหนึ่งความถี่ คือ $f = 10 \text{ KHz}$, แอมพลิจูด $A = 0.003$ ที่อัตราการ แซมปลิ่ง(Sampling rate) = 44.1 KHz

เอกสารนี้เป็นเอกสารที่สงวนไว้สำหรับการใช้งานเพื่อการศึกษาเท่านั้น ไม่อนุญาตให้นำไปใช้ประโยชน์ด้านการค้า ไม่ว่ากรณีใดๆ ทั้งสิ้น อีกทั้งห้ามมิให้ตัดแปลงเนื้อหาและต้องอ้างอิงถึงเจ้าของเอกสารทุกครั้งที่มีการนำไปใช้

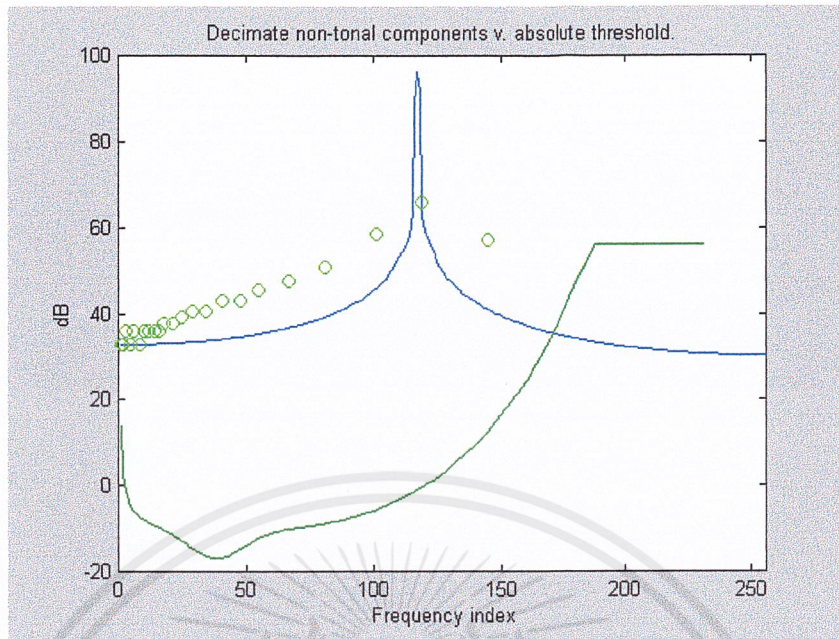


รูปที่ 8.6 แสดงกราฟ Tonal and non-tonal components จากการเขียนโปรแกรมส่วน Psychoacoustics โดยใช้โปรแกรม MATLAB โดยที่ป้อนอินพุตคลื่นรูปไซน์เข้าไปหนึ่งความถี่ คือ $f = 10 \text{ KHz}$, แอมพลิจูด $A = 0.003$ ที่อัตราการ แซมปลิง (Sampling rate) = 44.1 KHz

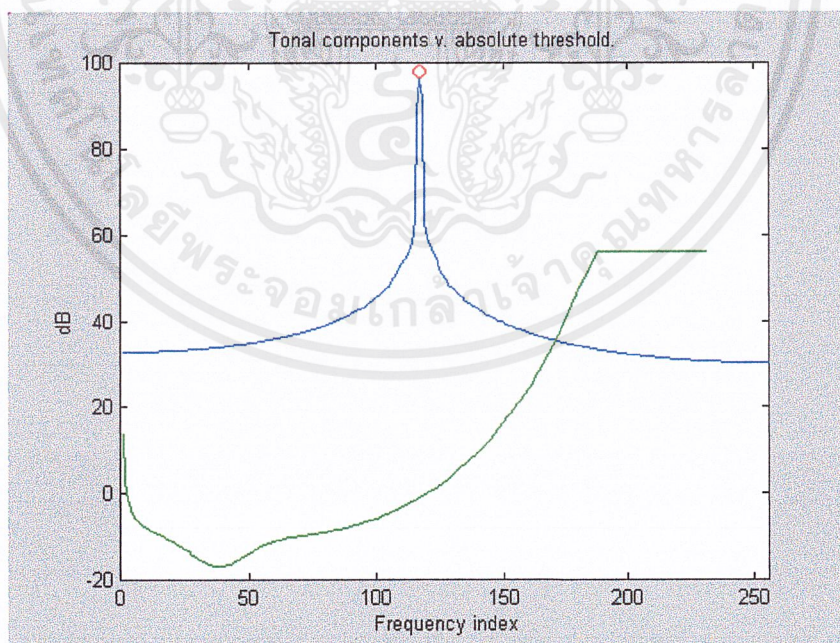


รูปที่ 8.7 แสดงกราฟ Non-tonal components v. absolute threshold จากการเขียนโปรแกรมส่วน Psychoacoustics โดยใช้โปรแกรม MATLAB โดยที่ป้อนอินพุตคลื่นรูปไซน์เข้าไปหนึ่งความถี่ คือ $f = 10 \text{ KHz}$, แอมพลิจูด $A = 0.003$ ที่อัตราการ แซมปลิง (Sampling rate) = 44.1 KHz

เอกสารนี้เป็นเอกสารที่สงวนไว้สำหรับการใช้งานเพื่อการศึกษาเท่านั้น ไม่อนุญาตให้นำไปใช้ประโยชน์ด้านการค้า ไม่ว่ากรณีใดๆ ทั้งสิ้น อีกทั้งห้ามมิให้ตัดแปลงเนื้อหาและต้องอ้างอิงถึงเจ้าของเอกสารทุกครั้งที่มีการนำไปใช้

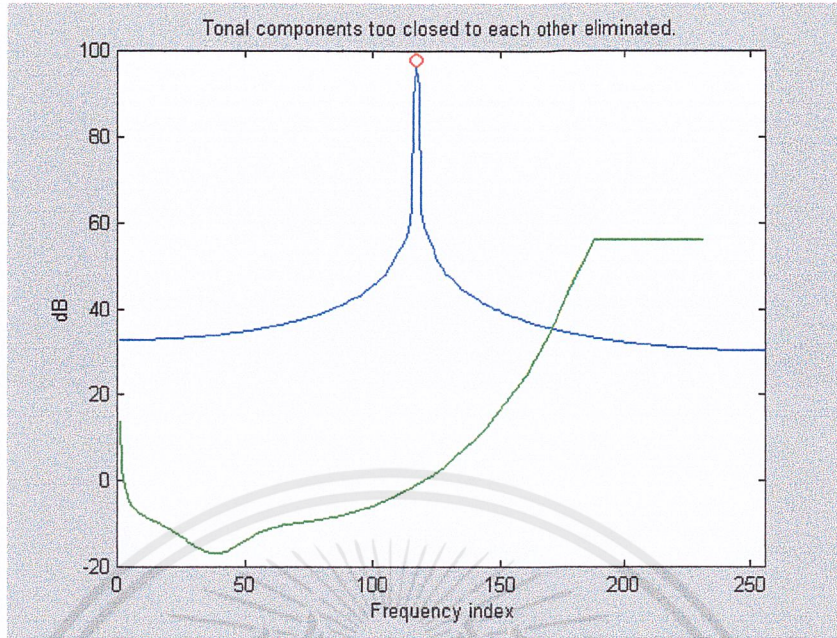


รูปที่ 8.8 แสดงกราฟ Decimate non-tonal components v. absolute threshold จากการเขียนโปรแกรมส่วน Psychoacoustics โดยใช้โปรแกรม MATLAB โดยที่ป้อนอินพุตคลื่นรูปไซน์เข้าไปหนึ่งความถี่ คือ $f = 10 \text{ KHz}$, แอมพลิจูด $A = 0.003$ ที่อัตราการ แซมปลิง (Sampling rate) = 44.1 KHz

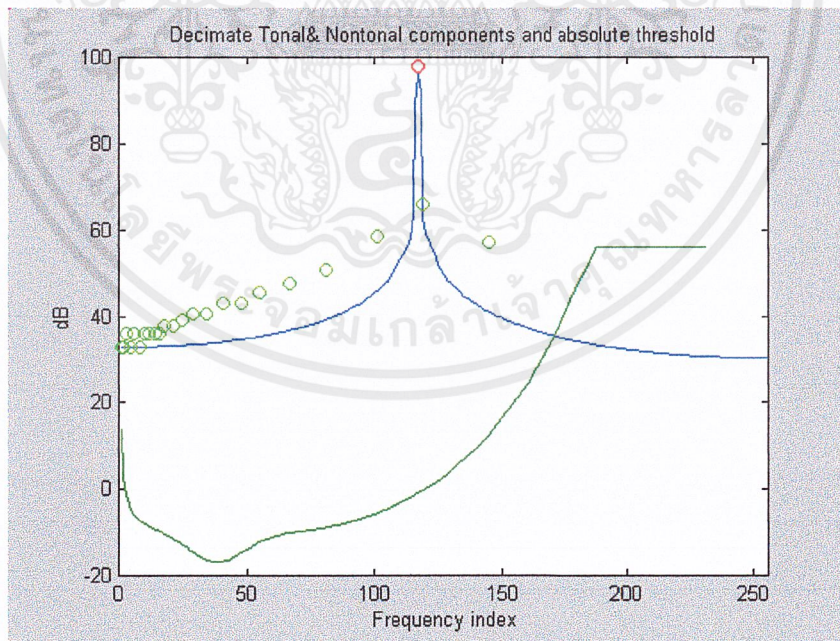


รูปที่ 8.9 แสดงกราฟ Tonal components v. absolute threshold จากการเขียนโปรแกรมส่วน Psychoacoustics โดยใช้โปรแกรม MATLAB โดยที่ป้อนอินพุตคลื่นรูปไซน์เข้าไปหนึ่งความถี่ คือ $f = 10 \text{ KHz}$, แอมพลิจูด $A = 0.003$ ที่อัตราการ แซมปลิง (Sampling rate) = 44.1 KHz

เอกสารนี้เป็นเอกสารที่สงวนไว้สำหรับการใช้งานเพื่อการศึกษาเท่านั้น ไม่อนุญาตให้นำไปใช้ประโยชน์ด้านการค้า ไม่ว่าจะกรณีใดๆ ทั้งสิ้น อีกทั้งห้ามมิให้ตัดแปลงเนื้อหาและต้องอ้างอิงถึงเจ้าของเอกสารทุกครั้งที่มีการนำไปใช้

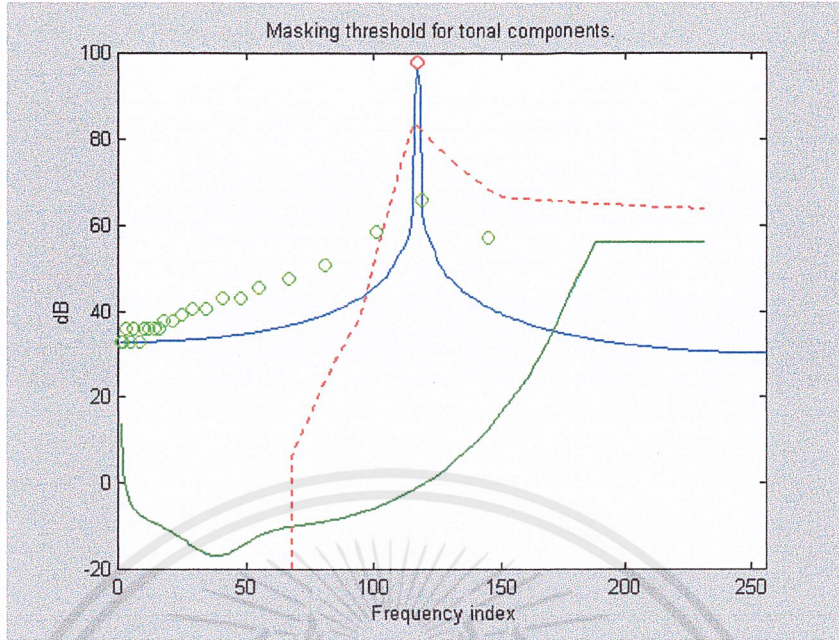


รูปที่ 8.10 แสดงกราฟ Tonal components too closed to each other eliminated จากการเขียนโปรแกรมส่วน Psychoacoustics โดยใช้โปรแกรม MATLAB โดยที่ป้อนอินพุตคลื่นรูปไซน์เข้าไปหนึ่งความถี่ คือ $f = 10 \text{ KHz}$, แอมพลิจูด $A = 0.003$ ที่อัตราการ แซมปลิ่ง(Sampling rate) = 44.1 KHz

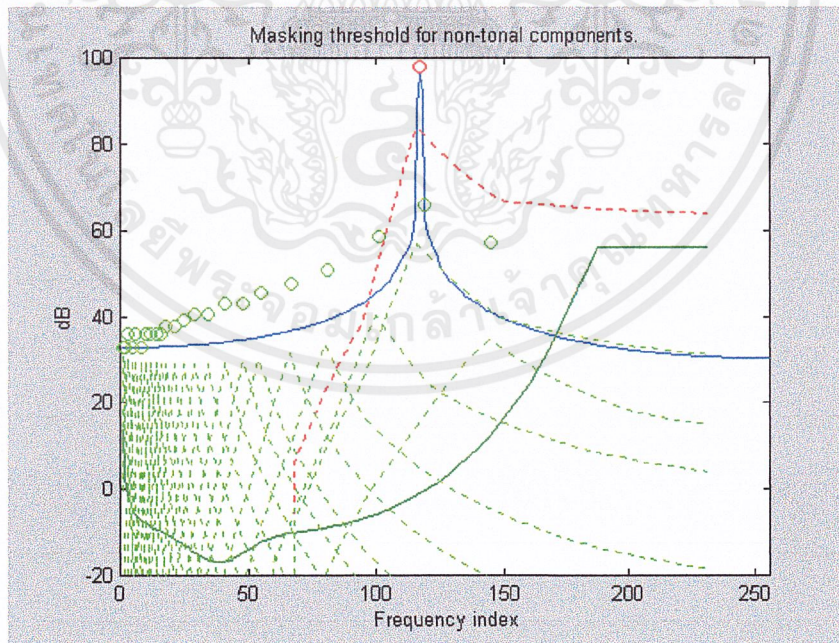


รูปที่ 8.11 แสดงกราฟ Decimate tonal & Non-tonal components and absolute threshold จากการเขียนโปรแกรมส่วน Psychoacoustics โดยใช้โปรแกรม MATLAB โดยที่ป้อนอินพุตคลื่นรูปไซน์เข้าไปหนึ่งความถี่ คือ $f = 10 \text{ KHz}$, แอมพลิจูด $A = 0.003$ ที่อัตราการ แซมปลิ่ง(Sampling rate) = 44.1 KHz

เอกสารนี้เป็นเอกสารที่สงวนไว้สำหรับการใช้งานเพื่อการศึกษาเท่านั้น ไม่อนุญาตให้นำไปใช้ประโยชน์ด้านการค้าไม่ว่ากรณีใดๆ ทั้งสิ้น อีกทั้งห้ามมิให้ตัดแปลงเนื้อหาและต้องอ้างอิงถึงเจ้าของเอกสารทุกครั้งที่มีการนำไปใช้

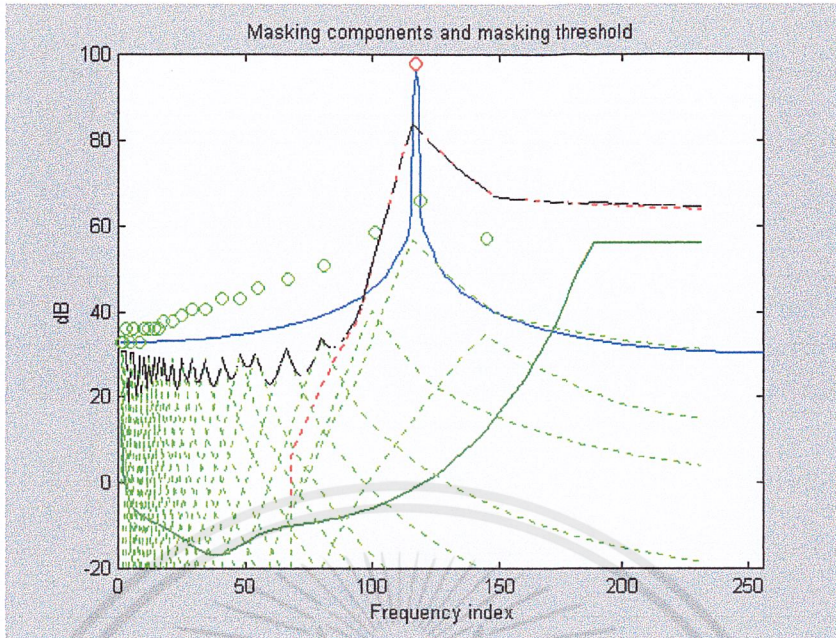


รูปที่ 8.12 แสดงกราฟ Masking threshold for tonal components จากการเขียนโปรแกรมส่วน Psychoacoustics โดยใช้โปรแกรม MATLAB โดยที่ป้อนอินพุตคลื่นรูปไซน์เข้าไปหนึ่งความถี่ คือ $f = 10 \text{ KHz}$, แอมพลิจูด $A = 0.003$ ที่อัตราการ แซมปลิง (Sampling rate) = 44.1 KHz

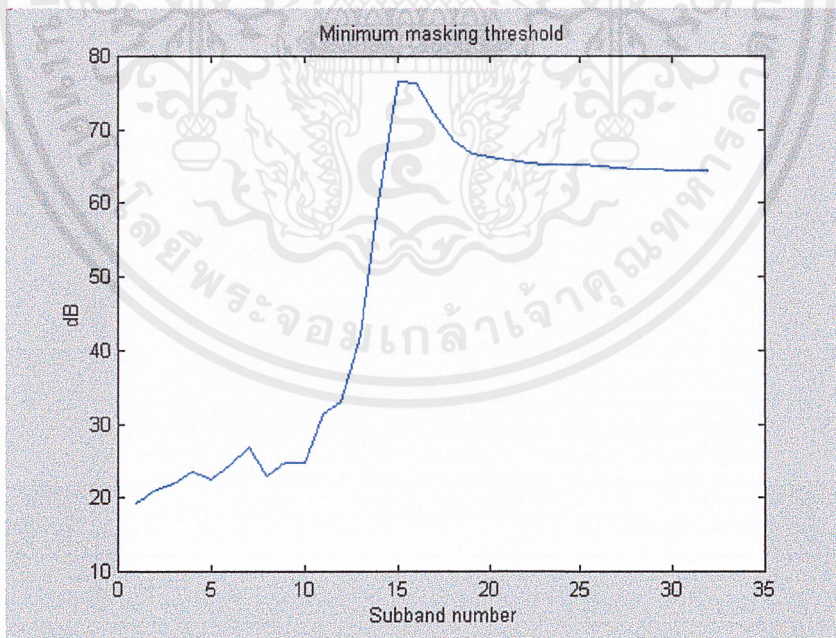


รูปที่ 8.13 แสดงกราฟ Masking threshold for non-tonal components จากการเขียนโปรแกรมส่วน Psychoacoustics โดยใช้โปรแกรม MATLAB โดยที่ป้อนอินพุตคลื่นรูปไซน์เข้าไปหนึ่งความถี่ คือ $f = 10 \text{ KHz}$, แอมพลิจูด $A = 0.003$ ที่อัตราการ แซมปลิง (Sampling rate) = 44.1 KHz

เอกสารนี้เป็นเอกสารที่สงวนไว้สำหรับการใช้งานเพื่อการศึกษาเท่านั้น ไม่อนุญาตให้นำไปใช้ประโยชน์ด้านการค้า ไม่ว่ากรณีใดๆ ทั้งสิ้น อีกทั้งห้ามมิให้ตัดแปลงเนื้อหาและต้องอ้างอิงถึงเจ้าของเอกสารทุกครั้งที่มีการนำไปใช้

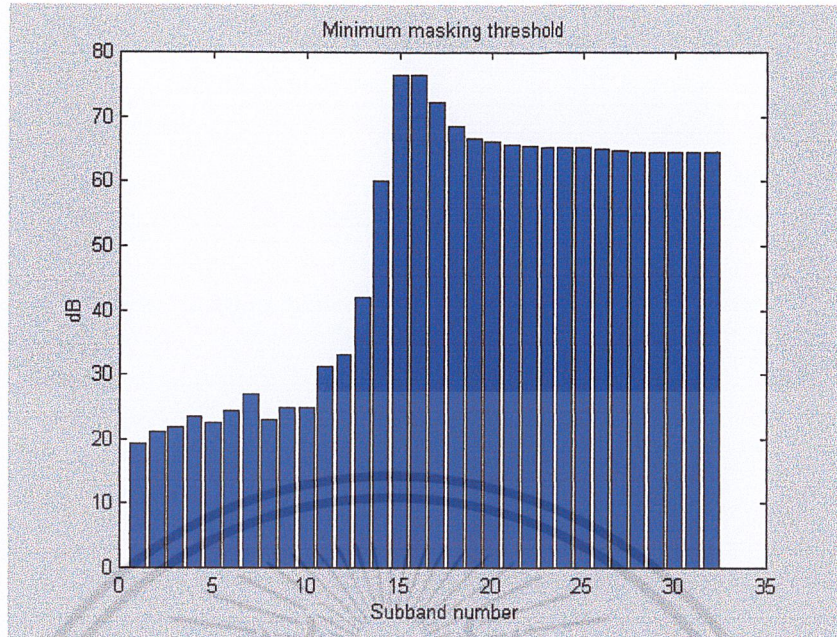


รูปที่ 8.14 แสดงกราฟ Masking components and masking threshold จากการเขียนโปรแกรมส่วน Psychoacoustics โดยใช้โปรแกรม MATLAB โดยที่ป้อนอินพุตคลื่นรูปไซน์เข้าไปหนึ่งความถี่ คือ $f = 10 \text{ KHz}$, แอมพลิจูด $A = 0.003$ ที่อัตราการ แซมปลิ่ง (Sampling rate) = 44.1 KHz

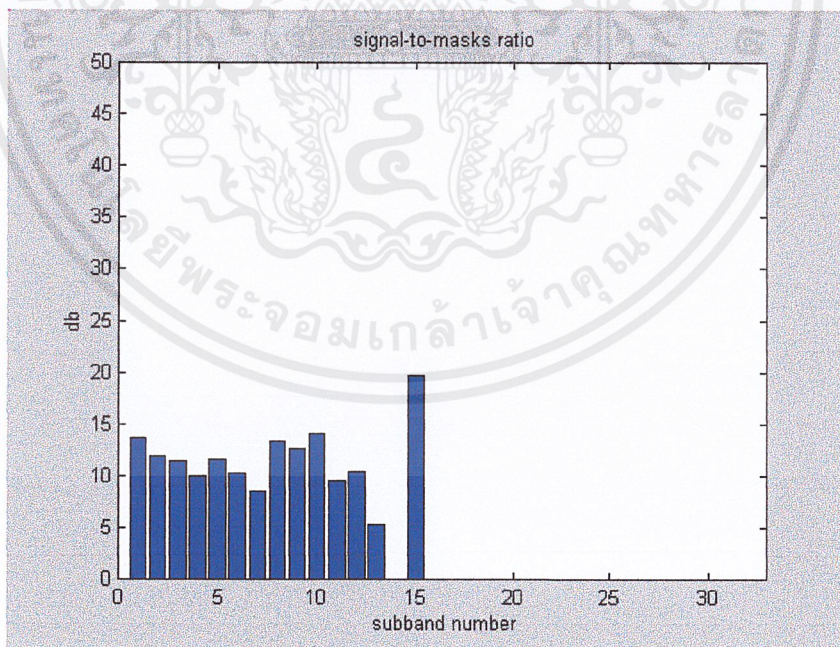


รูปที่ 8.15 แสดงกราฟ Minimum masking threshold จากการเขียนโปรแกรมส่วน Psychoacoustics โดยใช้โปรแกรม MATLAB โดยที่ป้อนอินพุตคลื่นรูปไซน์เข้าไปหนึ่งความถี่ คือ $f = 10 \text{ KHz}$, แอมพลิจูด $A = 0.003$ ที่อัตราการ แซมปลิ่ง (Sampling rate) = 44.1 KHz

เอกสารนี้เป็นเอกสารที่สงวนไว้สำหรับการใช้งานเพื่อการศึกษาเท่านั้น ไม่อนุญาตให้นำไปใช้ประโยชน์ด้านการค้า ไม่ว่ากรณีใดๆ ทั้งสิ้น อีกทั้งห้ามมิให้ตัดแปลงเนื้อหาและต้องอ้างอิงถึงเจ้าของเอกสารทุกครั้งที่มีการนำไปใช้



รูปที่ 8.16 แสดงกราฟ Minimum masking threshold จากการเขียน โปรแกรมส่วน Psychoacoustics โดยใช้โปรแกรม MATLAB โดยที่ป้อนอินพุตคลื่นรูปไซน์เข้าไปหนึ่งความถี่ คือ $f = 10 \text{ KHz}$, แอมพลิจูด $A = 0.003$ ที่อัตราการ แซมปลิ่ง(Sampling rate) = 44.1 KHz

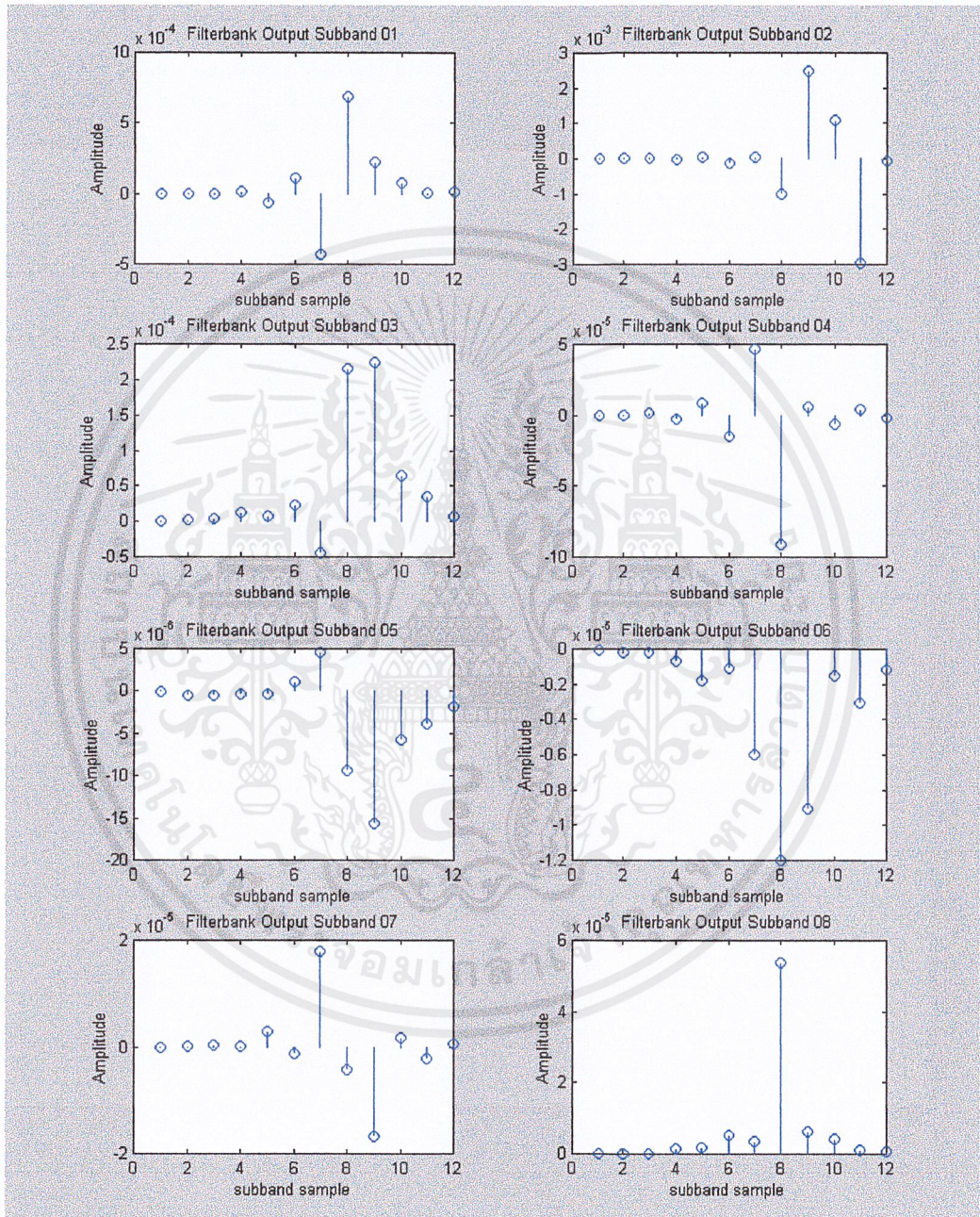


รูปที่ 8.17 แสดงกราฟ Signal-to-masks ratio จากการเขียน โปรแกรมส่วน Psychoacoustics โดยใช้โปรแกรม MATLAB โดยที่ป้อนอินพุตคลื่นรูปไซน์เข้าไปหนึ่งความถี่ คือ $f = 10 \text{ KHz}$, แอมพลิจูด $A = 0.003$ ที่อัตราการ แซมปลิ่ง(Sampling rate) = 44.1 KHz

เอกสารนี้เป็นเอกสารที่สงวนไว้สำหรับการใช้งานเพื่อการศึกษาเท่านั้น ไม่อนุญาตให้นำไปใช้ประโยชน์ด้านการค้า ไม่ว่ากรณีใดๆ ทั้งสิ้น อีกทั้งห้ามมิให้ตัดแปลงเนื้อหาและต้องอ้างอิงถึงเจ้าของเอกสารทุกครั้งที่มีการนำไปใช้

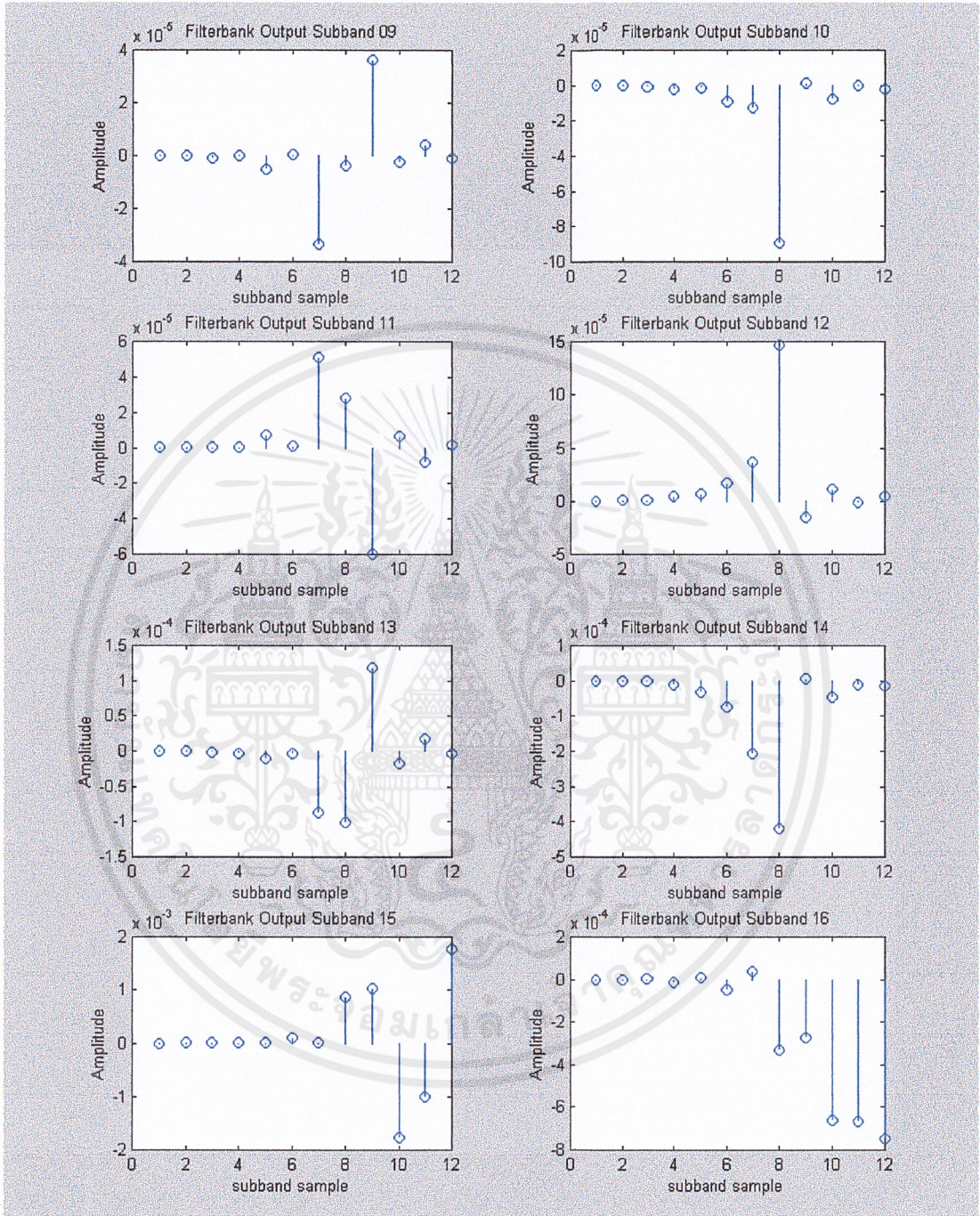
ผลการทดลองตอนที่ 2 ป้อนอินพุตรูปชายน้ 3 ความถี่ (1) $f = 1\text{KHz}$, $A = 0.003$

(2) $f = 10\text{KHz}$, $A = 0.002$ (3) $f = 11\text{KHz}$, $A = 0.001$



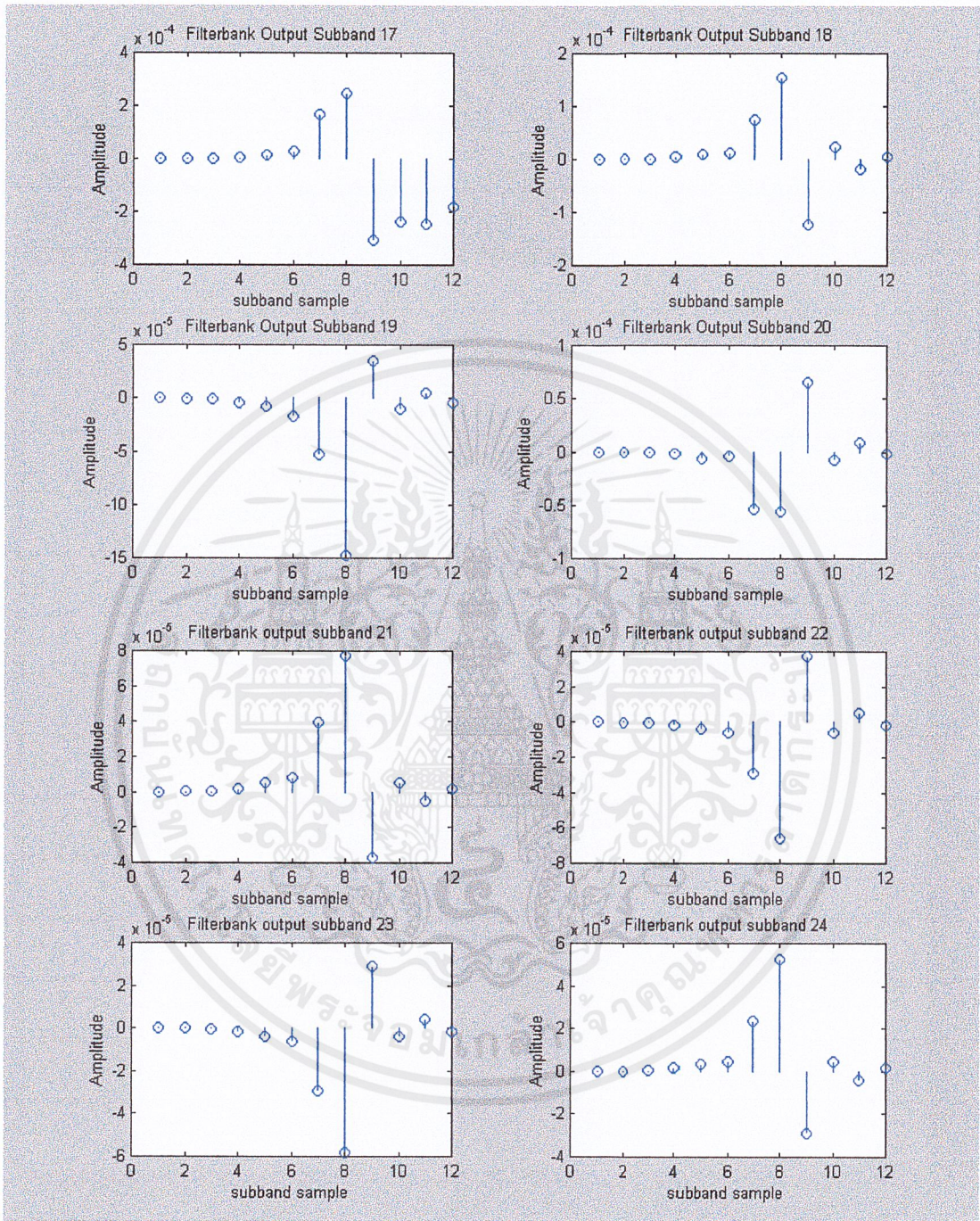
รูปที่ 8.18 ก แสดงกราฟ Filterbank Output Subband 01-08 ซึ่งค่าที่นำมาพล็อตได้มาจาก Motorola DSP56000 Software Simulator โดยที่ป้อนอินพุตคลื่นรูปชายน้เข้าไป 3 ความถี่ คือ (1) $f = 1\text{KHz}$, $A = 0.003$ (2) $f = 10\text{KHz}$, $A = 0.002$ (3) $f = 11\text{KHz}$, $A = 0.001$ ที่อัตราการ แซมปลิ่ง (Sampling rate) = 44.1 KHz

เอกสารนี้เป็นเอกสารที่สงวนไว้สำหรับการใช้งานเพื่อการศึกษาเท่านั้น ไม่อนุญาตให้นำไปใช้ประโยชน์ด้านการค้า ไม่ว่าจะกรณีใดๆ ทั้งสิ้น อีกทั้งห้ามมิให้ดัดแปลงเนื้อหาและต้องอ้างอิงถึงเจ้าของเอกสารทุกครั้งที่มีการนำไปใช้



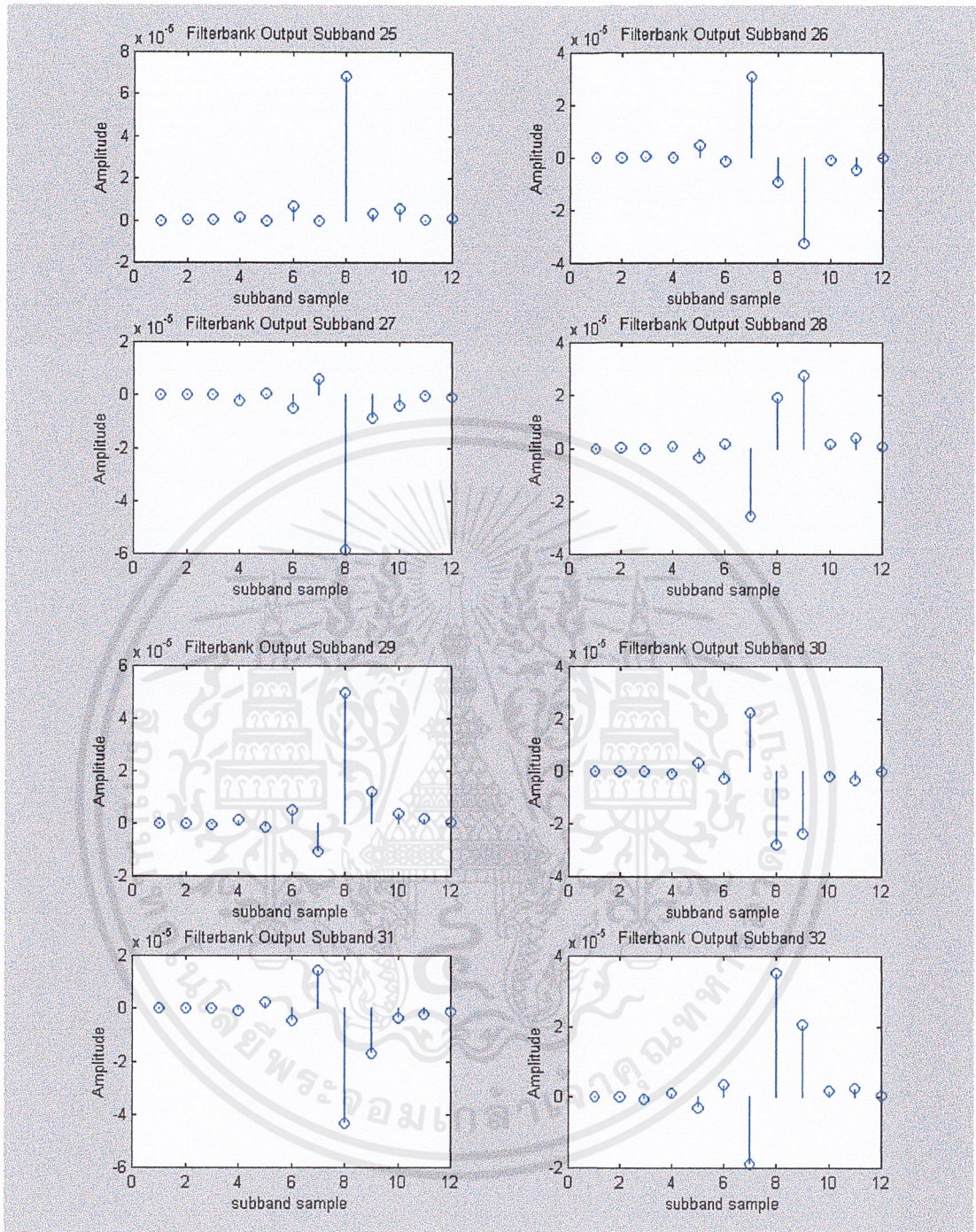
รูปที่ 8.18 ข แสดงกราฟ Filterbank Output Subband 09-16 ซึ่งค่าที่นำมาพล็อตได้มาจาก Motorola DSP56000 Software Simulator โดยที่ป้อนอินพุตคลื่นรูปซายน์เข้าไป 3 ความถี่ คือ (1) $f = 1\text{KHz}$, $A = 0.003$ (2) $f = 10\text{KHz}$, $A = 0.002$ (3) $f = 11\text{KHz}$, $A = 0.001$ ที่อัตราการ แซมปลิง (Sampling rate) = 44.1 KHz

เอกสารนี้เป็นเอกสารที่สงวนไว้สำหรับการใช้งานเพื่อการศึกษาเท่านั้น ไม่อนุญาตให้นำไปใช้ประโยชน์ด้านการค้า ไม่ว่ากรณีใดๆ ทั้งสิ้น อีกทั้งห้ามมิให้ตัดแปลงเนื้อหาและต้องอ้างอิงถึงเจ้าของเอกสารทุกครั้งที่มีการนำไปใช้



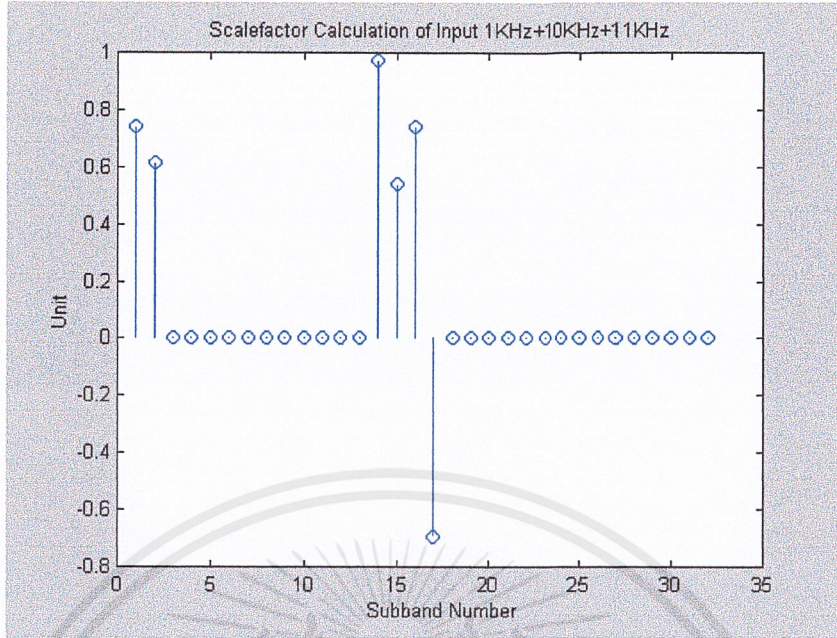
รูปที่ 8.18 ค แสดงกราฟ Filterbank Output Subband 17-24 ซึ่งค่าที่นำมาพล็อตได้มาจาก Motorola DSP56000 Software Simulator โดยที่ป้อนอินพุตคลื่นรูปไซน์เข้าไป 3 ความถี่ คือ (1) $f = 1\text{KHz}$, $A = 0.003$ (2) $f = 10\text{KHz}$, $A = 0.002$ (3) $f = 11\text{KHz}$, $A = 0.001$ ที่อัตราการ แซมปลิ่ง (Sampling rate) = 44.1 KHz

เอกสารนี้เป็นเอกสารที่สงวนไว้สำหรับการใช้งานเพื่อการศึกษาเท่านั้น ไม่อนุญาตให้นำไปใช้ประโยชน์ด้านการค้า ไม่ว่ากรณีใดๆ ทั้งสิ้น อีกทั้งห้ามมิให้ดัดแปลงเนื้อหาและต้องอ้างอิงถึงเจ้าของเอกสารทุกครั้งที่มีการนำไปใช้

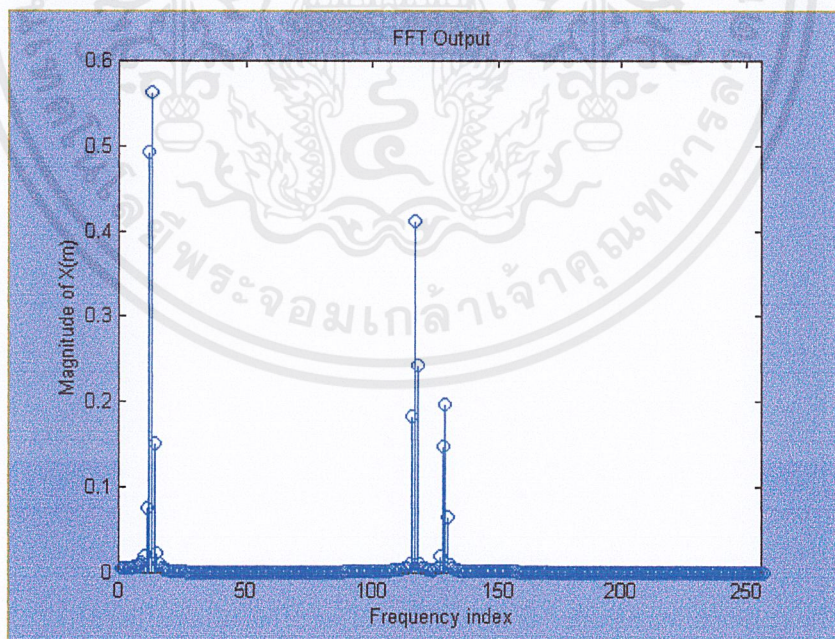


รูปที่ 8.18 ง แสดงกราฟ Filterbank Output Subband 25-32 ซึ่งค่าที่นำมาพล็อตได้มาจาก Motorola DSP56000 Software Simulator โดยที่ป้อนอินพุตคลื่นรูปไซน์เข้าไป 3 ความถี่ คือ (1) $f = 1\text{KHz}$, $A = 0.003$ (2) $f = 10\text{KHz}$, $A = 0.002$ (3) $f = 11\text{KHz}$, $A = 0.001$ ที่อัตราการ แซมปลิ่ง (Sampling rate) = 44.1 KHz

เอกสารนี้เป็นเอกสารที่สงวนไว้สำหรับการใช้งานเพื่อการศึกษาเท่านั้น ไม่อนุญาตให้นำไปใช้ประโยชน์ด้านการค้า ไม่ว่าจะกรณีใดๆ ทั้งสิ้น อีกทั้งห้ามมิให้ดัดแปลงเนื้อหาและต้องอ้างอิงถึงเจ้าของเอกสารทุกครั้งที่มีการนำไปใช้

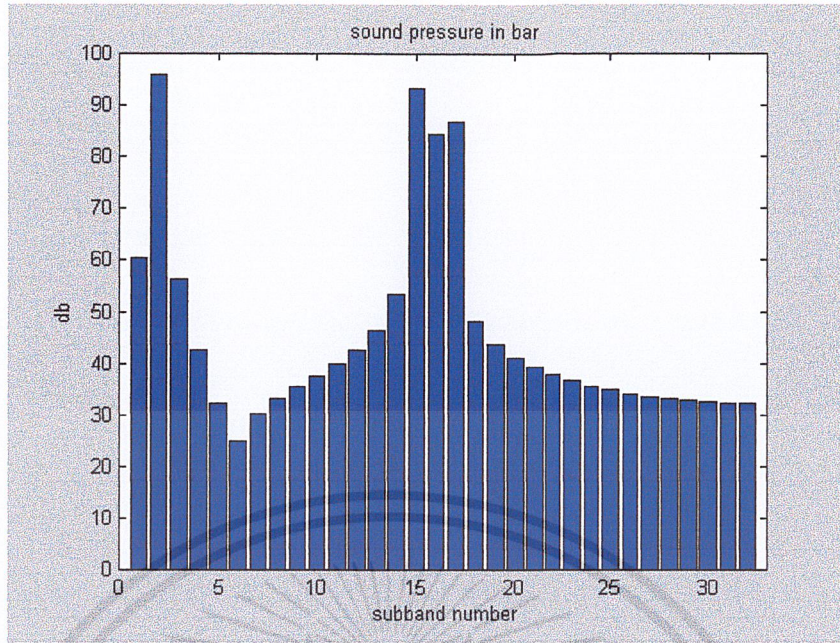


รูปที่ 8.19 แสดงกราฟ Scalefactor Calculation ซึ่งค่าที่นำมาพล็อตได้มาจาก Motorola DSP56000 Software Simulator โดยที่ป้อนอินพุตคลื่นรูปซายน์เข้าไป 3 ความถี่ คือ (1) $f = 1\text{KHz}$, $A = 0.003$ (2) $f = 10\text{KHz}$, $A = 0.002$ (3) $f = 11\text{KHz}$, $A = 0.001$ ที่อัตราการแซมปลิง (Sampling rate) = 44.1 KHz

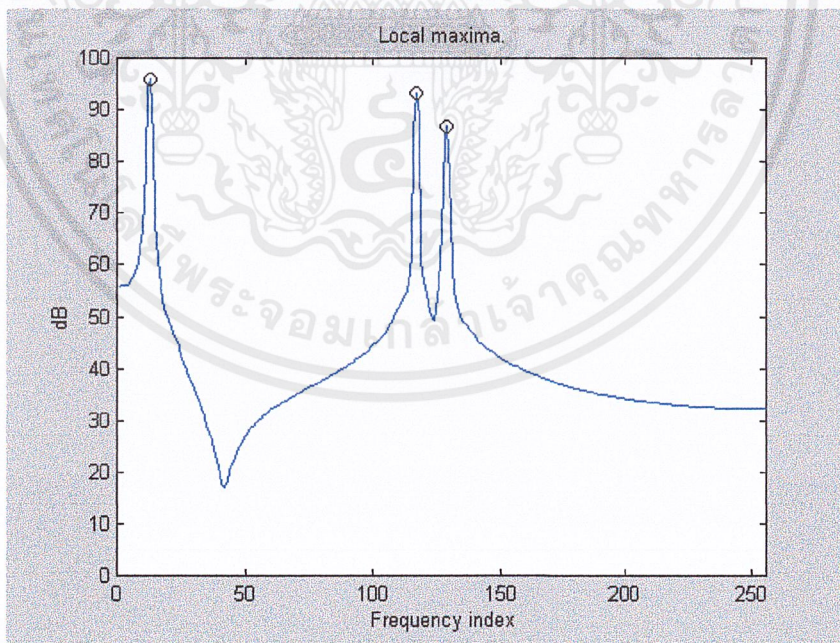


รูปที่ 8.20 แสดงกราฟ FFT – 256 In Maxnitude Of $X(m)$ ซึ่งค่าที่นำมาพล็อตได้มาจาก Motorola DSP56000 Software Simulator โดยที่ป้อนอินพุตคลื่นรูปซายน์เข้าไป 3 ความถี่ คือ (1) $f = 1\text{KHz}$, $A = 0.003$ (2) $f = 10\text{KHz}$, $A = 0.002$ (3) $f = 11\text{KHz}$, $A = 0.001$ ที่อัตราการ

แซมปลิง (Sampling rate) = 44.1 KHz เพื่อการศึกษาเท่านั้น ไม่อนุญาตให้นำไปใช้ประโยชน์ด้านการค้า ไม่ว่ากรณีใดๆ ทั้งสิ้น อีกทั้งห้ามมิให้ตัดแปลงเนื้อหาและต้องอ้างอิงถึงเจ้าของเอกสารทุกครั้งที่มีการนำไปใช้

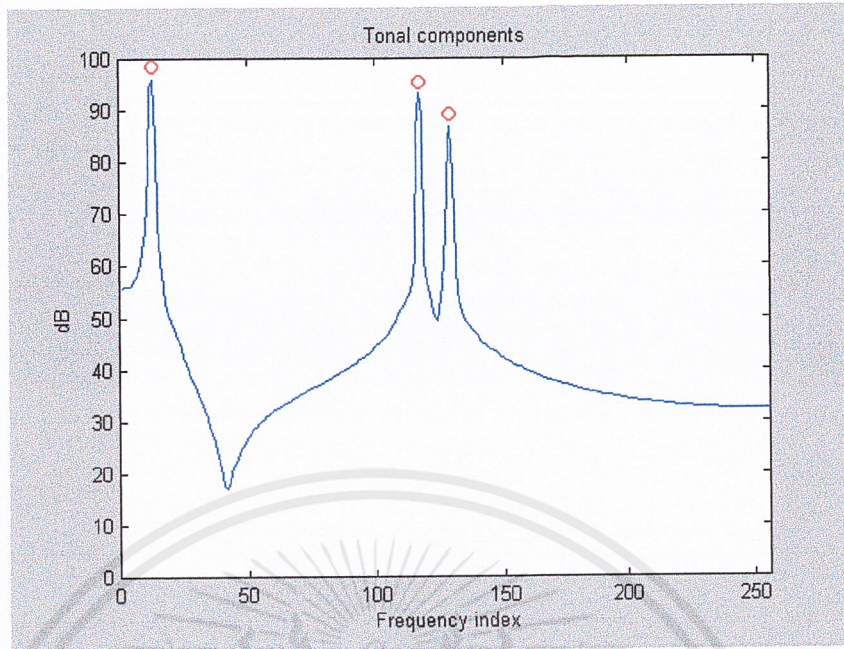


รูปที่ 8.21 แสดงกราฟ Sound pressure in bar จากการเขียน โปรแกรมส่วน Psychoacoustics โดยใช้โปรแกรม MATLAB โดยที่ป้อนอินพุตคลื่นรูปไซน์เข้าไป 3 ความถี่ คือ (1) $f = 1\text{KHz}$, $A = 0.003$ (2) $f = 10\text{KHz}$, $A = 0.002$ (3) $f = 11\text{KHz}$, $A = 0.001$ ที่อัตราการ แซมปลิ่ง(Sampling rate) = 44.1KHz

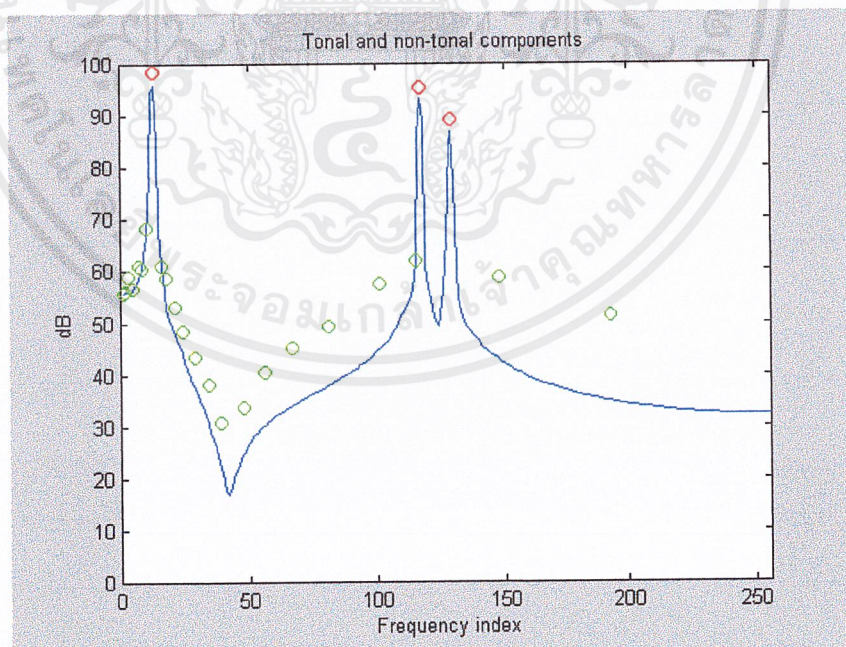


รูปที่ 8.22 แสดงกราฟ Local maxima จากการเขียน โปรแกรมส่วน Psychoacoustics โดยใช้โปรแกรม MATLAB โดยที่ป้อนอินพุตคลื่นรูปไซน์เข้าไป 3 ความถี่ คือ (1) $f = 1\text{KHz}$, $A = 0.003$ (2) $f = 10\text{KHz}$, $A = 0.002$ (3) $f = 11\text{KHz}$, $A = 0.001$ ที่อัตราการ แซมปลิ่ง(Sampling rate) = 44.1 KHz

เอกสารนี้เป็นเอกสารที่สงวนไว้สำหรับการใช้งานเพื่อการศึกษาเท่านั้น ไม่อนุญาตให้นำไปใช้ประโยชน์ด้านการค้าไม่ว่ากรณีใดๆ ทั้งสิ้น อีกทั้งห้ามมิให้ตัดแปลงเนื้อหาและต้องอ้างอิงถึงเจ้าของเอกสารทุกครั้งที่มีการนำไปใช้

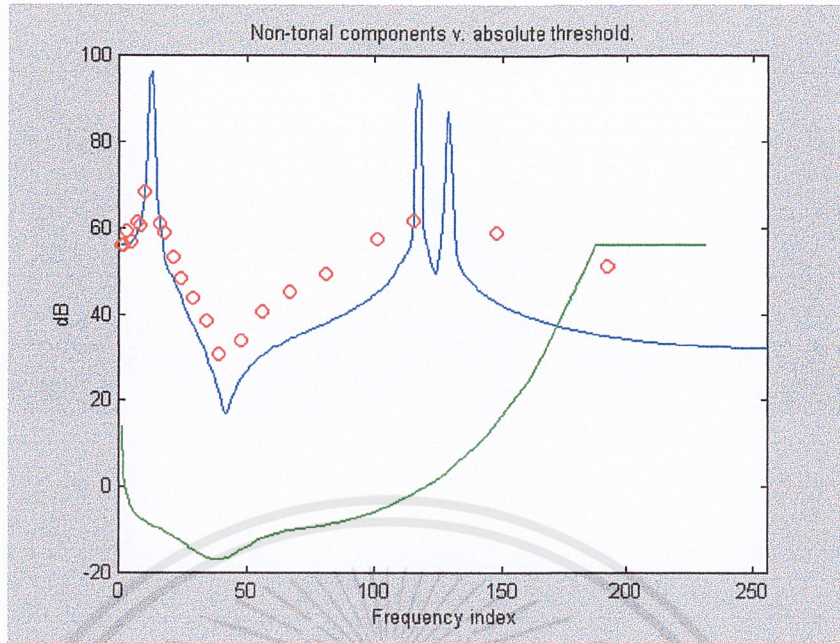


รูปที่ 8.23 แสดงกราฟ Tonal components จากการเขียนโปรแกรมส่วน Psychoacoustics โดยใช้โปรแกรม MATLAB โดยที่ป้อนอินพุตคลื่นรูปไซน์เข้าไป 3 ความถี่ คือ (1) $f = 1\text{KHz}$, $A = 0.003$ (2) $f = 10\text{KHz}$, $A = 0.002$ (3) $f = 11\text{KHz}$, $A = 0.001$ ที่อัตราการ แซมปลิ่ง(Sampling rate) = 44.1 KHz

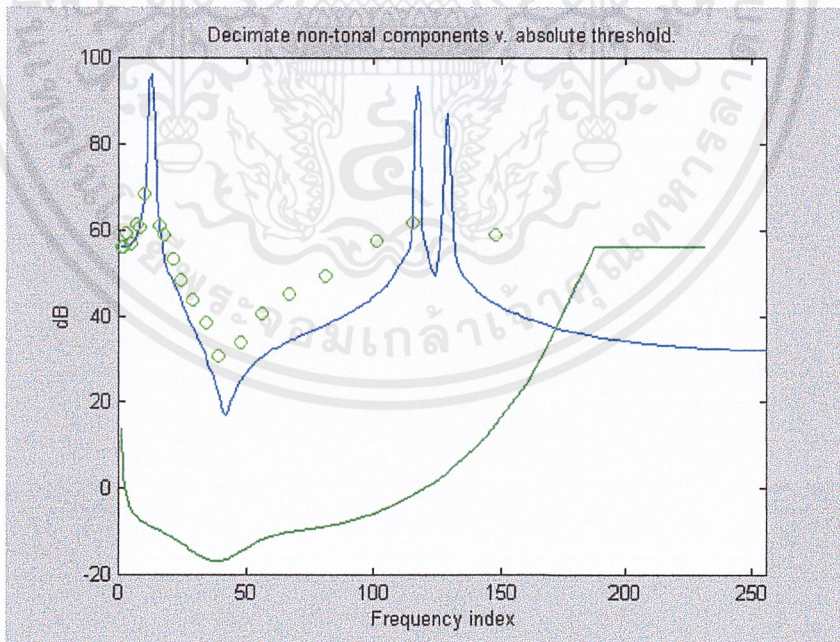


รูปที่ 8.24 แสดงกราฟ Tonal and non-tonal components จากการเขียนโปรแกรมส่วน Psychoacoustics โดยใช้โปรแกรม MATLAB โดยที่ป้อนอินพุตคลื่นรูปไซน์เข้าไป 3 ความถี่ คือ (1) $f = 1\text{KHz}$, $A = 0.003$ (2) $f = 10\text{KHz}$, $A = 0.002$ (3) $f = 11\text{KHz}$, $A = 0.001$ ที่อัตราการ แซมปลิ่ง(Sampling rate) = 44.1 KHz

เอกสารนี้เป็นเอกสารที่สงวนไว้สำหรับการใช้งานเพื่อการศึกษาเท่านั้น ไม่อนุญาตให้นำไปใช้ประโยชน์ด้านการค้า ไม่ว่ากรณีใดๆ ทั้งสิ้น อีกทั้งห้ามมิให้ตัดแปลงเนื้อหาและต้องอ้างอิงถึงเจ้าของเอกสารทุกครั้งที่มีการนำไปใช้

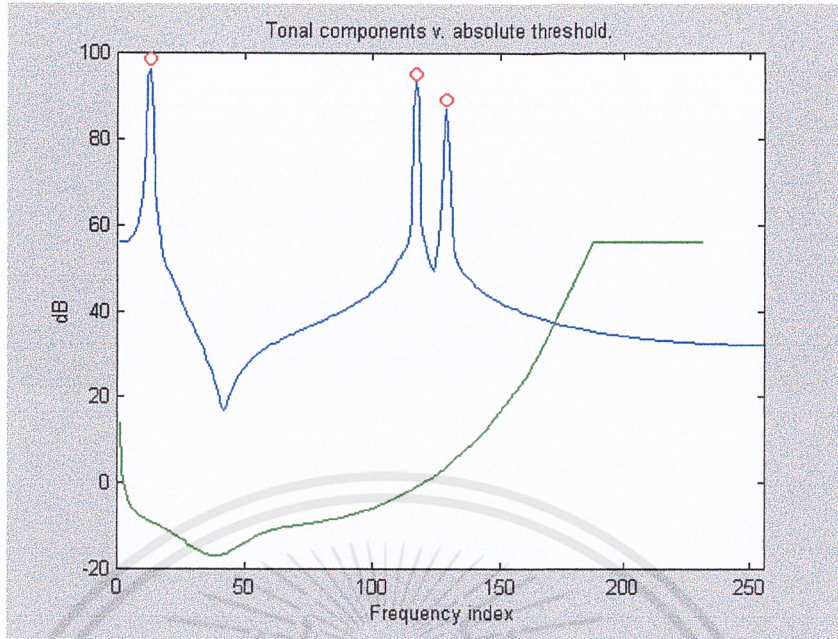


รูปที่ 8.25 แสดงกราฟ Non-tonal components v. absolute threshold จากการเขียนโปรแกรมส่วน Psychoacoustics โดยใช้โปรแกรม MATLAB โดยที่ป้อนอินพุตคลื่นรูปไซน์เข้าไป 3 ความถี่ คือ (1) $f = 1\text{KHz}$, $A = 0.003$ (2) $f = 10\text{KHz}$, $A = 0.002$ (3) $f = 11\text{KHz}$, $A = 0.001$ ที่อัตราการแซมปลิง (Sampling rate) = 44.1 KHz

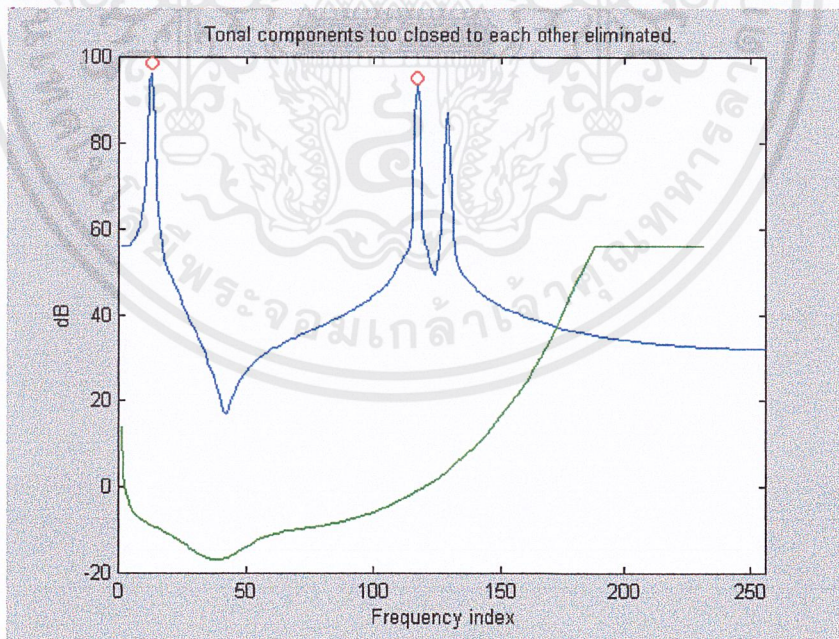


รูปที่ 8.26 แสดงกราฟ Decimate non-tonal components v. absolute threshold จากการเขียนโปรแกรมส่วน Psychoacoustics โดยใช้โปรแกรม MATLAB โดยที่ป้อนอินพุตคลื่นรูปไซน์เข้าไป 3 ความถี่ คือ (1) $f = 1\text{KHz}$, $A = 0.003$ (2) $f = 10\text{KHz}$, $A = 0.002$ (3) $f = 11\text{KHz}$, $A = 0.001$ ที่

อัตราการแซมปลิง (Sampling rate) = 44.1 KHz ศึกษาเท่านั้น ไม่อนุญาตให้นำไปใช้ประโยชน์ด้านการค้า ไม่ว่ากรณีใดๆ ทั้งสิ้น อีกทั้งห้ามมิให้ตัดแปลงเนื้อหาและต้องอ้างอิงถึงเจ้าของเอกสารทุกครั้งที่มีการนำไปใช้

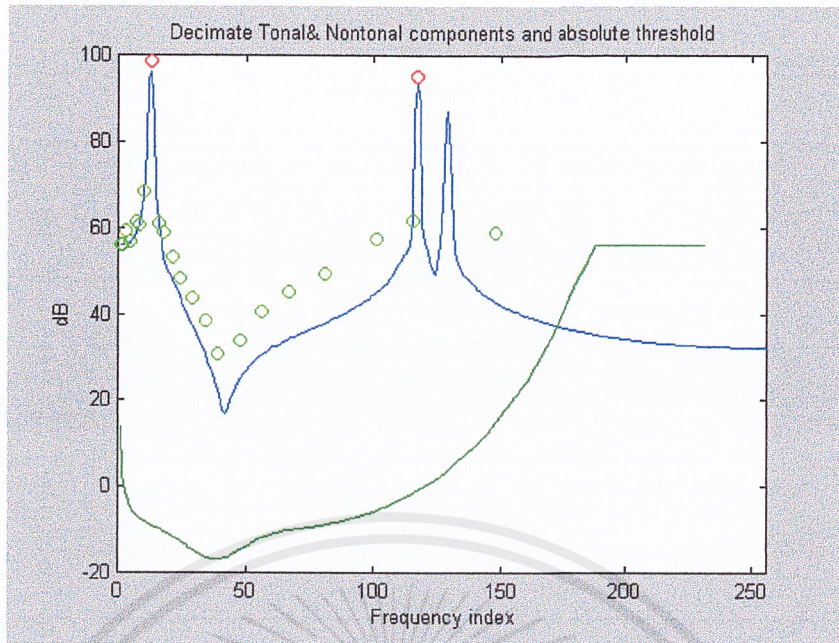


รูปที่ 8.27 แสดงกราฟ Tonal components v. absolute threshold จากการเขียนโปรแกรมส่วน Psychoacoustics โดยใช้โปรแกรม MATLAB โดยที่ป้อนอินพุตคลื่นรูปไซน์เข้าไป 3 ความถี่ คือ (1) $f = 1\text{KHz}$, $A = 0.003$ (2) $f = 10\text{KHz}$, $A = 0.002$ (3) $f = 11\text{KHz}$, $A = 0.001$ ที่อัตราการแซมปลิง (Sampling rate) = 44.1 KHz

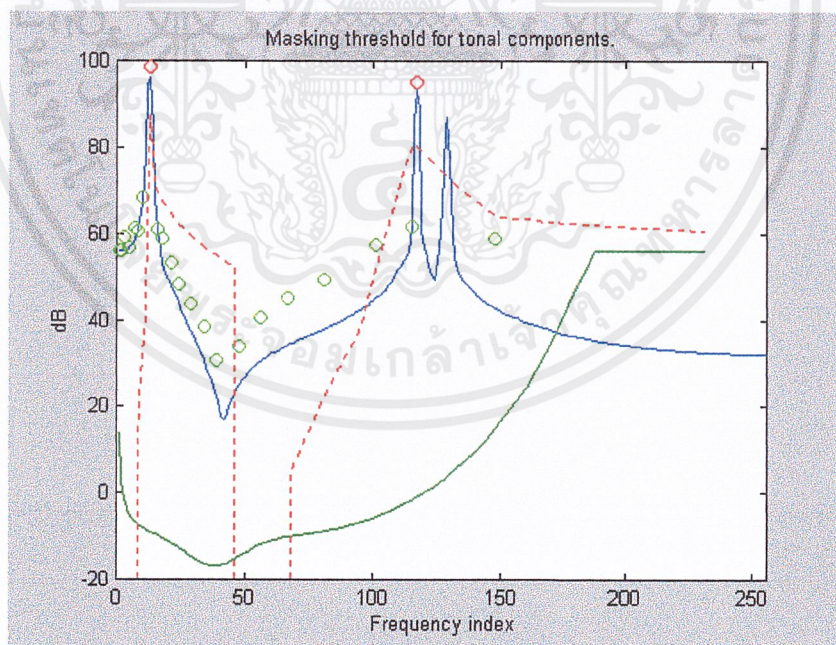


รูปที่ 8.28 แสดงกราฟ Tonal components too closed to each other eliminated จากการเขียนโปรแกรมส่วน Psychoacoustics โดยใช้โปรแกรม MATLAB โดยที่ป้อนอินพุตคลื่นรูปไซน์เข้าไป 3 ความถี่ คือ (1) $f = 1\text{KHz}$, $A = 0.003$ (2) $f = 10\text{KHz}$, $A = 0.002$ (3) $f = 11\text{KHz}$, $A = 0.001$ ที่อัตราการแซมปลิง (Sampling rate) = 44.1 KHz

เอกสารนี้เป็นเอกสารที่สงวนไว้สำหรับการใช้งานเพื่อการศึกษาเท่านั้น ไม่อนุญาตให้นำไปใช้ประโยชน์ด้านการค้า ไม่ว่ากรณีใดๆ ทั้งสิ้น อีกทั้งห้ามมิให้ตัดแปลงเนื้อหาและต้องอ้างอิงถึงเจ้าของเอกสารทุกครั้งที่มีการนำไปใช้

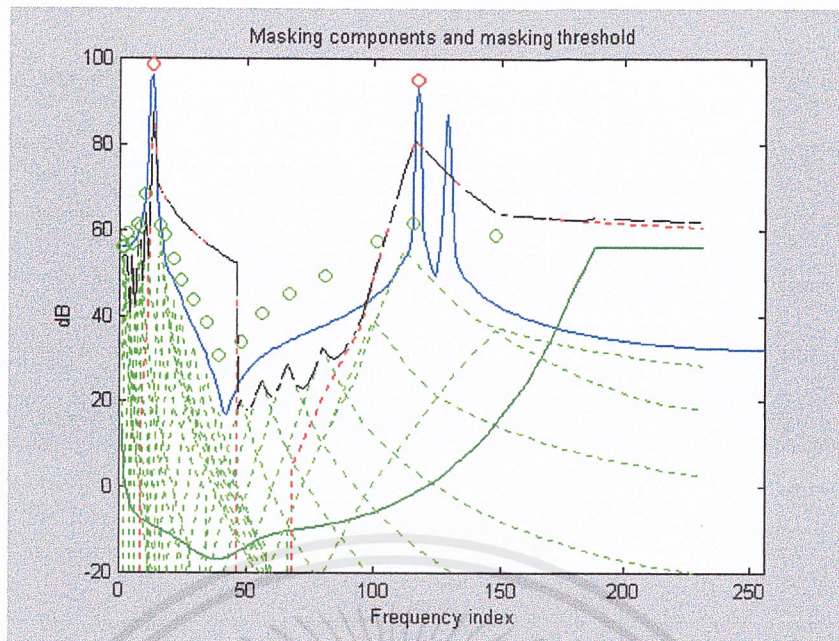


รูปที่ 8.29 แสดงกราฟ Decimate Tonal&Non-tonal components and absolute threshold จากการเขียนโปรแกรมส่วน Psychoacoustics โดยใช้โปรแกรม MATLAB โดยที่ป้อนอินพุตคลื่นรูปไซน์เข้าไป 3 ความถี่ คือ (1) $f = 1\text{KHz}$, $A = 0.003$ (2) $f = 10\text{KHz}$, $A = 0.002$ (3) $f = 11\text{KHz}$, $A = 0.001$ ที่อัตราการแซมปลิง (Sampling rate) = 44.1 KHz

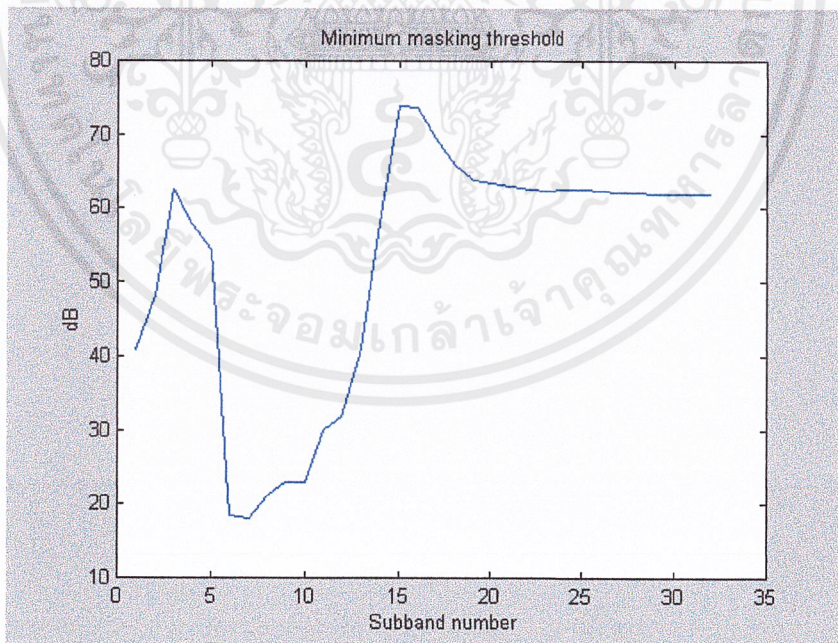


รูปที่ 8.30 แสดงกราฟ Masking threshold for tonal components จากการเขียนโปรแกรมส่วน Psychoacoustics โดยใช้โปรแกรม MATLAB โดยที่ป้อนอินพุตคลื่นรูปไซน์เข้าไป 3 ความถี่ คือ (1) $f = 1\text{KHz}$, $A = 0.003$ (2) $f = 10\text{KHz}$, $A = 0.002$ (3) $f = 11\text{KHz}$, $A = 0.001$ ที่อัตราการแซมปลิง (Sampling rate) = 44.1 KHz

เอกสารนี้เป็นเอกสารที่สงวนไว้สำหรับการใช้งานเพื่อการศึกษาเท่านั้น ไม่อนุญาตให้นำไปใช้ประโยชน์ด้านการค้า ไม่ว่ากรณีใดๆ ทั้งสิ้น อีกทั้งห้ามมิให้ตัดแปลงเนื้อหาและต้องอ้างอิงถึงเจ้าของเอกสารทุกครั้งที่มีการนำไปใช้



รูปที่ 8.31 แสดงกราฟ Masking components and masking threshold จากการเขียนโปรแกรมส่วน Psychoacoustics โดยใช้โปรแกรม MATLAB โดยที่ป้อนอินพุตคลื่นรูปไซน์เข้าไป 3 ความถี่ คือ (1) $f = 1\text{KHz}$, $A = 0.003$ (2) $f = 10\text{KHz}$, $A = 0.002$ (3) $f = 11\text{KHz}$, $A = 0.001$ ที่อัตราการ แซมปลิ่ง (Sampling rate) = 44.1 KHz



รูปที่ 8.32 แสดงกราฟ Minimum masking threshold จากการเขียนโปรแกรมส่วน Psychoacoustics โดยใช้โปรแกรม MATLAB โดยที่ป้อนอินพุตคลื่นรูปไซน์เข้าไป 3 ความถี่ คือ (1) $f = 1\text{KHz}$, $A = 0.003$ (2) $f = 10\text{KHz}$, $A = 0.002$ (3) $f = 11\text{KHz}$, $A = 0.001$ ที่อัตราการ แซมปลิ่ง

(Sampling rate) = 44.1 KHz

เอกสารนี้เป็นเอกสารที่สงวนไว้สำหรับการใช้งานเพื่อการศึกษาเท่านั้น ไม่อนุญาตให้นำไปใช้ประโยชน์ด้านการค้า ไม่ว่าจะกรณีใดๆ ทั้งสิ้น อีกทั้งห้ามมิให้ตัดแปลงเนื้อหาและต้องอ้างอิงถึงเจ้าของเอกสารทุกครั้งที่มีการนำไปใช้

วิเคราะห์ผลการทดลอง

ส่วนที่ 1 เป็นคำอธิบายของอินพุต 10000 Hz ที่ 0.002

รูปที่ 8.1 ก- 8.1ง ที่อินพุต 10000 Hz ขนาด 0.002 จะเสมือนเป็นตัวกรองความถี่บางช่วงผ่าน (Bandpass Filter) โดยจะแบ่งออกเป็น 32 แถบความถี่ย่อย ณ ที่ความถี่สูงที่ 41000 Hz เราจะสังเกตเห็นว่า แอมพลิจูดของความถี่อินพุต 10000 Hz จะออกไปปรากฏในตำแหน่งแถบความถี่ย่อยที่ 15 โดย Filter Bank แบบนี้จะเป็นการแบ่งสัญญาณอินพุตที่มีช่วงสัญญาณความถี่กว้างออกให้เป็นช่วงสัญญาณความถี่ที่เท่าๆกัน โดยมีจุดมุ่งหมายเพื่อจำลองรูปแบบของแถบความถี่วิกฤตของหูคนเรา ส่วนแอมพลิจูดจะมีขนาดใกล้เคียงกับในส่วนทางด้านอินพุต คือใกล้เคียง 0.002 ด้วย แต่ในช่วงแถบความถี่ย่อยอื่นๆ จะเห็นได้อย่างชัดเจนว่ามีเอาพุตออกมาน้อยมากๆ ต่างกันเป็นร้อยเท่าขึ้นไป จึงสามารถบอกเราได้ว่าตัวกรองทางดิจิตอลชนิดนี้มีประสิทธิภาพสูง (มีคัทออฟที่คม) ในส่วนของการประมาณว่า โดยอาจจะคำนวณโดยคร่าวๆว่าสัญญาณอินพุตที่เราป้อนเข้าไปนั้น ไปปรากฏที่แถบความถี่ย่อยใด

$$\text{แถบความถี่ย่อยใดๆ} = (64 * \text{input frequency}) / F_s$$

รูปที่ 8.2 เป็นส่วนที่แสดงผลลัพธ์ของค่าที่ได้จากการเทียบค่าจากการโค้ดแบบสับแบนด์ หาได้จากทุกๆ 8 ค่าในสับแบนด์เดียวแล้วนำค่าที่มากที่สุดมาเปรียบเทียบกับค่าในตาราง โดยถือว่าจะเอาค่าที่มากเป็นค่าแรกมาเป็นตัวแทนของค่านั้นๆ เห็นได้ว่าจะมีเพียงสับแบนด์เดียวเท่านั้นที่มีค่าเด่นออกมา ซึ่งก็คือสับแบนด์ที่ 15 นั่นเอง ส่วนสับแบนด์อื่นๆ ก็ยังมีค่าอยู่เล็กน้อย ไม่มีผลอะไรมากมายนัก

รูปที่ 8.3 เป็นกราฟที่บอกค่าแมกนิจูดของสัญญาณในโดเมนเวลาที่เรाप้อนเข้าไป หลังจากที่ผ่านมา การคำนวณแบบ FFT สังเกตว่า ณ ที่ความถี่ 10000 Hz จะมีบางสเปกตรัมเท่านั้นที่เด่นขึ้นมา และจะมีผลทำให้สเปกตรัมที่อยู่ในย่านใกล้เคียงๆ มีค่าขึ้นมาอีกเล็กน้อย อันเป็นผลมาจาก DFT Leakage ซึ่งหลีกเลี่ยงไม่ได้ แต่ต้องระวังว่าเหตุการณ์นี้จะไม่กระทบกับการคำนวณของเรา ถ้าสังเกตกราฟเราได้ว่าที่แอมพลิจูดสัญญาณอินพุตที่ 0.002 หลังจากผ่านการคำนวณ FFT แล้วจะให้แมกนิจูดที่ประมาณ 0.5 โดยที่เราต้องใช้แอมพลิจูดขนาดนี้ก็เนื่องมาจากข้อจำกัดบางประการของ DSP

รูปที่ 8.4 เป็นส่วนที่สร้างขึ้นเพื่อการหาที่คาดว่าจะเป็นเสียงที่เราได้ยิน โดยมีหลักการว่าถ้า

เอกสารนี้เป็นเอกสารที่สงวนไว้สำหรับการใช้งานเพื่อการศึกษาเท่านั้น ไม่อนุญาตให้นำไปใช้ประโยชน์ด้านการค้า ไม่ว่ากรณีใดๆ ทั้งสิ้น อีกทั้งห้ามมิให้ตัดแปลงเนื้อหาและต้องอ้างอิงถึงเจ้าของเอกสารทุกครั้งที่มีการนำไปใช้

($X(k) > X(k-1) \& X(k) \geq X(k+1) \& K > 2 \& K < 250$) จะกล่าวได้ว่าเป็นส่วนที่เราได้ยิน โดนกี้คือการหาค่าที่มากสุดในย่านใกล้เคียงกัน หนึ่งไม่มีการระบุว่าจะต้องมากค่ามากเท่าไร เพียงแต่ให้ค่านั้นสอดคล้องกับเงื่อนไขข้างต้นก็เพียงพอแล้ว เมื่อได้ค่านี้นำไปคำนวณเพื่อหาเสียงที่ได้ยินจริงๆต่อไป สังเกตว่า ณ ที่ความถี่ 10000 Hz ก็จะมีเพียงแค่ความถี่เดียวที่สูงขึ้นมาเด่นกว่าคนอื่นในย่านเดียวกัน หรือในกรณีนี้ก็คือ ทั้งย่านสัญญาณเสียงเลย เป็นการสอดคล้องกับสมมติฐานของเราทุกประการ

รูปที่ 8.5 เป็นส่วนที่นำผลมาจาก local maxima แล้วพิจารณาอีกครั้ง เพื่อจะหาส่วนที่เราได้ยินจริงๆ โดยมีเงื่อนไขว่าอย่างน้อยพลังงานของสัญญาณเสียงนั้นๆ จะต้องมากกว่าพลังงานของเสียงในย่านเดียวกันไม่น้อยไปกว่า 7 dB ถ้าสอดคล้องกับเงื่อนไขนี้จะสามารถบอกได้ทันทีว่าเสียงนั้นๆ เราได้ยินแน่นอน แล้วจะถูกนำไปบันทึกเป็นรายการในส่วนของเสียงที่เราได้ยิน โดยจะมีการบันทึกทั้งดัชนี และ พลังงานของเสียงพลังงานนั้นๆ

รูปที่ 8.6 หลังจากที่ได้ในส่วนของเสียงที่เราได้ยินแล้ว เราจะต้องมาหาพลังงานของเสียงที่เราไม่ได้ยินด้วย โดยมีวิธีที่จะต้องรวมพลังงานของเสียงในส่วนที่นอกเหนือจากค่าที่เราได้ยินแล้ว โดยจะรวมพลังงานตามช่วงความถี่ของแถบวิกฤตของพลังงานที่ไม่ใช่ส่วนที่เราได้ยิน แล้วรวมเป็น 1 พลังงานเสมือนหนึ่งว่าเราได้ยินเสียงนั้น ส่วนอินดิเคซ์ ซึ่งก็คือ ตัวบอกตำแหน่งของสัญญาณนั้นๆ จะสามารถหาได้จากค่าเฉลี่ยตามความกว้างของแถบความถี่วิกฤตตามมาตรฐาน ISO/IEC 11172-3

รูปที่ 8.7 เป็นกราฟที่แสดงเสียงที่เสมือนหนึ่งได้ยิน อันได้มาจากการรวมพลังงานเสียงในย่านความถี่วิกฤตนั้น โดยเปรียบเทียบค่าขีดเริ่มของการได้ยินของมนุษย์ (Absolute Threshold) เห็นได้ว่าในทุกๆ แถบความถี่วิกฤต ก็จะมีส่วนที่เสมือนหนึ่งได้ยินเพียง 1 ค่าเท่านั้น

รูปที่ 8.8 เป็นกราฟที่จะมีการตัดบางดัชนีที่ไม่จำเป็นออก โดยจะสังเกตว่าพลังงานที่อยู่ต่ำกว่าขีดความถี่ขีดเริ่มของหูคนเราจะถูกตัดทิ้ง อันเนื่องมาจากว่า ค่าพลังงานนี้ยังงไรเราก็ไม่ได้ยิน ส่วนเสียงที่มีพลังงานอยู่เหนือความถี่ขีดเริ่มก็จะยังคงค่านั้นไว้อยู่ ด้วยวิธีนี้ทำให้เราสามารถจัดข้อมูลที่จำเป็นบางค่าออกไป ทำให้ขนาดของข้อมูลเล็กลง ส่งผลให้การลดขนาดของข้อมูลมีประสิทธิภาพมากขึ้น

รูปที่ 8.9 เป็นกราฟที่เปรียบเทียบเสียงสัญญาณในส่วนที่เราได้ยินจากกราฟ tonal component กับ ความถี่ขีดเริ่มของหูคนเรา ณ ที่ความถี่เดียว ซึ่งก็คือ 10000 Hz ก็ย่อมจะมีเพียงพลังงานเดียวเท่านั้นที่เด่นขึ้นมา

รูปที่ 8.10 เป็นกราฟที่จะมีการตัดบางดัชนีที่ไม่จำเป็นออกโดยมีเงื่อนไขใหญ่ๆ อยู่ 2 ประการ คือ อย่างที่หนึ่งจะสังเกตว่าพลังงานที่อยู่ต่ำกว่าขีดความถี่ขีดเริ่มของหูคนเราจะถูกตัดทิ้ง อันเนื่องมาจากว่า ค่าพลังงานนี้ยังไรเราก็ไม่ได้ยิน ส่วนเสียงที่มีพลังงานอยู่เหนือความถี่ขีดเริ่มก็จะยังคงค่านั้นไว้อยู่ ส่วนประการที่สองจะเป็นการมองเป็นแถบความถี่วิกฤตไป โดยถ้าพลังงานเสียงในแถบความถี่วิกฤตเดียวกันนั้นสามารถจะเกิดการบดบังกันได้ ดังนั้น ถ้าเสียงอันไหนที่ถูกบดบังก็จะสามารถตัดค่านั้นออกได้เช่นกัน เนื่องมาจากว่า ยังไรเราก็ไม่ได้ยินเสียงนั้นแน่นอน ด้วยวิธีนี้ทำให้เราสามารถจัดข้อมูลที่ไม่จำเป็นบางค่าออกไป ทำให้ขนาดของข้อมูลเล็กลง

รูปที่ 8.11 เป็นกราฟที่บอกถึงค่าทั้งในส่วนของเสียงที่เราได้ยินจริงๆ และเสียงที่เราเสมือนหนึ่งได้ยิน โดยเปรียบเทียบกับความถี่ขีดเริ่มด้วยซึ่งในกรณีนี้เราได้ลดข้อมูลในส่วนของเสียงที่เสมือนจะได้ยินไปหนึ่งค่า ก็จะส่งผลให้ขนาดข้อมูลเราเล็กลงอีก ยิ่งขนาดเล็กเท่าไรก็ยิ่งดี แต่ก็ต้องมีข้อแม้ว่าจะต้องไม่สูญเสียข้อมูลที่มีนัยสำคัญออกไป

รูปที่ 8.12 เป็นกราฟที่แสดงทางเดินของเส้นทางการบดบัง โดยจะสามารถได้มาจากเงื่อนไขที่ว่า ระยะห่างในหน่วยของบาร์กจะต้องอยู่ในช่วงมากกว่า -3 แต่ต้องน้อยกว่า 8 ถ้าผ่านเงื่อนไขนี้ก็จะหาดัชนีการบดบัง และฟังก์ชันการบดบังตามลำดับ โดยจะเห็นว่า ณ ความถี่ในส่วนของเสียงที่ได้ยินก็จะมีทางเดินการบดบังเป็นของตนเอง ถ้ายังสัญญาณนั้นมีพลังงานมากขึ้นเท่าไร เส้นทางการบดบังก็จะยิ่งแผ่ขยายออกไปมากขึ้น และก็น่าจะสังเกตอีกว่าในทางด้านความถี่สูง ความชันของกราฟจะน้อยกว่าทางด้านความถี่ต่ำ อันเป็นผลทำให้เป็นการง่ายในการที่สัญญาณนั้นจะบดบังสัญญาณอื่นที่ความถี่สูง และก็ขอให้อีกว่า ถ้ายังพลังงานเสียงมากขึ้นเท่าไร ความชันทางด้านความถี่สูงก็จะยิ่งลดลง ทำให้การบดบังเกิดได้ในช่วงที่กว้างขึ้นกว่าเดิมขึ้นไปอีก

รูปที่ 8.13 นอกจากเสียงที่เราได้ยินจะมีทางเดินการบดบังเป็นของมันแล้ว เสียงในส่วนที่เสมือนได้ยินก็จะมีเส้นทางการบดบังเป็นของมันเองเหมือนกัน โดยจะสามารถได้มาจากเงื่อนไขที่ว่า ระยะห่างในหน่วยของบาร์กจะต้องอยู่ในช่วงมากกว่า -3 แต่ต้องน้อยกว่า 8 ถ้าผ่านเงื่อนไขนี้ก็จะหาดัชนีการบดบัง และฟังก์ชันการบดบังตามลำดับ โดยจะเห็นว่า ณ ความถี่ในส่วนของเสียงที่เสมือนได้ยินก็จะมีทางเดินการบดบังเป็นของมันเองเหมือนกัน

เอกสารนี้เป็นทรัพย์สินของมหาวิทยาลัยเทคโนโลยีพระจอมเกล้าธนบุรี ไม่อนุญาตให้นำไปใช้ประโยชน์ด้านการค้า ไม่ว่ากรณีใดๆ ทั้งสิ้น อีกทั้งห้ามมิให้ตัดแปลงเนื้อหาและต้องอ้างอิงถึงเจ้าของเอกสารทุกครั้งที่มีการนำไปใช้

รูปที่ 8.14 เป็นกราฟที่แสดง Masking threshold ของเสียงที่อินพุท โดยจะสามารถหาได้มาจากเส้นทางการบดบัง โดยดูได้จากเส้นสีดำว่าขีดเริ่มของการบดบังจะได้มาจากการเชื่อมเส้นของเส้นทางการบดบังเข้าด้วยกัน เห็นได้อีกว่าพลังงานเสียงนั้นยังเลื่อนขีดเริ่มการได้ยินของหูคนเราขึ้นมา ทำให้ระดับขีดเริ่มบดบังก็จะสูงขึ้นมา อันเป็นการดีมาก ทำให้สามารถจะลดขนาดการโค้ดข้อมูลลงได้มากด้วยวิธีนี้ ซึ่งเป็นวิธีการที่ค่อนข้างจะยุ่งยากซับซ้อน แต่ทำให้ขนาดข้อมูลลดลงไปได้มาก ซึ่งทำให้มีการใช้กันอย่างแพร่หลาย ในระยะหลังต่อมา

รูปที่ 8.15 เป็นกราฟที่ขยายผลจากกราฟที่แล้วอีกครั้ง minimum masking threshold เป็นการแสดงแถบความถี่บดบัง โดยดูเป็นสับแบนด์ ถ้าอินพุทที่เราป้อนอยู่ในสับแบนด์ใดค่านี้ก็จะมากตามไปด้วย

รูปที่ 8.17 เป็นกราฟที่ได้มาจากการหาผลต่างของระดับพลังงานของเสียง (Sound Pressure Level) กับค่าขีดเริ่มการบดบัง โดยจะต้องหาค่าออกมาให้ได้ 32 ค่าตามจำนวนแถบความถี่วิกฤตผลลัพธ์ อันนี้จะใช้เพื่อไปหา Signal to Noise Ratio ต่อไป อันอยู่ในส่วนของการจัดเรียงบิตซึ่งมีวิธีการที่ยุ่งยากซับซ้อนมาก สังเกตว่าจะมีเพียงเส้นเดียวที่มีผลต่างของพลังงานเด่นชัดขึ้นมาที่สุด ส่วนเส้นอื่นก็อาจจะได้มาจากส่วนที่เสมือนได้ยิน ซึ่งจำนวนบิตที่จะโค้ดสัญญาณเหล่านี้ก็จะน้อยลงไปด้วยเป็นเงาตามตัว การทำแบบนี้จะไม่ยุ่งกับดัชนีความถี่ แต่จะหาพลังงานในแต่ละแถบความถี่ย่อยเป็นสำคัญ

ส่วนที่ 2 เป็นคำอธิบายอินพุทที่ (0.003 ,1000 Hz), (0.002, 10000Hz) , (0.001 11000Hz)

รูปที่ 8.18ก - 8.18ง สังเกตว่าเมื่อป้อนอินพุทเข้าไปตัวกรองชนิดนี้ก็จะทำการแม็ปจากโดเมนเวลาเป็นโดเมนความถี่โดยสามารถใช้สูตรในคำอธิบายในกราฟชุดที่แล้วให้ผลออกมาว่า ทางด้านเอาพุทจะเด่นที่แบนด์ 2 ซึ่งแน่นอนจะต้องมีแอมพลิจูดและนอกจากนี้ก็ยังเด่นออกมาอีกทีในแบนด์ที่ 15 อันเป็นผลจากอินพุทเราอยู่ในช่วง 10000-11000Hz แทนที่น่าจะออกมาเป็น 2 แบนด์แต่เนื่องมันอยู่ในช่วงความถี่ใกล้เคียงกันจึงเด่นออกมาเพียงแบนด์เดียวเท่านั้น ส่วนขนาดสูงสุดก็แน่นอนที่ออกมาประมาณ 0.002(ตามค่ามากที่สุดของอินพุท) จึงทำให้เราทราบว่าไม่ว่าจะป้อนความถี่เป็น

เอกสารอย่างใดอย่างหนึ่งมันก็จะมีความถี่ของมันเฉพาะตัว ไม่ไปยุ่งเกี่ยวกับแบนด์อื่น ซึ่งจะทำให้ง่ายขึ้นไม่ว่ากรณีใดๆ ทั้งสิ้น อีกทั้งห้ามมิให้ตัดแปลงเนื้อหาและต้องอ้างอิงถึงเจ้าของเอกสารทุกครั้งที่มีการนำไปใช้

ในการพิจารณาสำหรับช่วงความถี่ที่เราสนใจ สำหรับส่วนอื่นที่ไม่สนใจ ก็จะสามารถละเลยไปได้บ้าง

รูปที่ 8.19 สังเกตได้ว่าจะมีบางช่วงสับแบนด์เท่านั้นที่ค่า scale factor มีค่าชัดเจน ซึ่งก็คือ แบนด์ที่ 2 และแบนด์ที่ 15,16 โดยจะนำค่าที่ได้จากการ ไล่คัดแบบสับแบนด์ ส่วนสับแบนด์อื่นๆ ก็แน่นอนว่าจะมีค่าอยู่เล็กน้อยซึ่งก็ไม่สำคัญอะไร ค่าของขนาดก็จะเหมือนเดิม คือมีค่าใกล้เคียงกับขนาดแอมพลิจูดสัญญาณทางอินพุท

รูปที่ 8.20 เป็นกราฟที่เป็นการการไล่คัดแบบทรานส์ฟอร์ม คือเป็นการเม็บบจากโดเมนเวลาเป็นโดเมนความถี่อีกแบบหนึ่ง ส่วนแบบตัวกรองความถี่ เราเรียกว่าการไล่คัดแบบสับแบนด์ ด้วยวิธีการนี้ก็อีกเช่นกันเราป้อนไป 3 อินพุท ก็จะต้องออกเส้นสเปกตรัมออกมาเด่น 3 ค่าเช่นกัน โดยเราสังเกตเห็นว่า นอกจากจะมีค่าที่เด่นออกมาแล้ว ยังมีบางค่าที่อยู่ในย่านใกล้ๆพอมีค่าออกมาบ้าง สำหรับขนาดของแมกนิจูดก็จะมีค่าประมาณ 0.06, 0.04 และ 0.02 ตามลำดับ อันเป็นผลเนื่องมาจากอินพุทที่เราป้อนเข้าไป ขนาด 0.003, 0.002 และ 0.001 ตามลำดับ ซึ่งผลออกมาก็เป็นการยืนยันว่าผลการทดลองน่าจะถูกต้อง

รูปที่ 8.21 เมื่อป้อนไป 3 อินพุท ก็ย่อมจะมีเพียงบางสับแบนด์เท่านั้นที่เด่นออกมา คือ สับแบนด์ที่ 2, 15 และ 16

รูปที่ 8.22 แสดงพลังงานของเสียงที่ความถี่ 1000Hz, 10000Hz และ 11000Hz

รูปที่ 8.23 เป็นกราฟที่แสดงเสียงที่เราได้ยิน ซึ่งในรูปจะมีอยู่ 3 ความถี่ตรงตามที่เราป้อนเข้าไป

รูปที่ 8.24 เป็นกราฟที่บอกถึงเสียงส่วนที่เราได้ยิน และเสียงที่เสมือนได้ยิน

รูปที่ 8.25 เป็นการแสดงเสียงส่วนที่เสมือนจะได้ยินกับความถี่ขีดเริ่ม

รูปที่ 8.26 เป็นการตัดเสียงที่เสมือนหนึ่งได้ยินออกไปบางส่วนเพื่อลดขนาดข้อมูลลง

รูปที่ 8.27 เป็นการแสดงเสียงที่ได้ยิน กับความถี่ขีดเริ่ม

เอกสารนี้เป็นเอกสารที่สงวนไว้สำหรับการใช้งานเพื่อการศึกษาเท่านั้น ไม่อนุญาตให้นำไปใช้ประโยชน์ด้านการค้าไม่ว่ากรณีใดๆ ทั้งสิ้น อีกทั้งห้ามมิให้ดัดแปลงเนื้อหาและต้องอ้างอิงถึงเจ้าของเอกสารทุกครั้งที่มีการนำไปใช้

รูปที่ 8.28 เป็นการกำจัดเสียงส่วนที่ได้ยินออกไปบางค่า อันเป็นผลเนื่องมาจากเกิดการบดบังขึ้นภายในแถบความถี่วิกฤตนั้น

รูปที่ 8.29 เป็นการแสดงเสียงทั้งส่วนที่ได้ยิน และ เสียงในส่วนที่เสมือนได้ยินเทียบกับความถี่ขีดเริ่ม

รูปที่ 8.30 เป็นการแสดงเส้นทางการบดบังของสัญญาณเสียงในส่วนที่เราได้ยิน

รูปที่ 8.31 เป็นการแสดงเส้นทางการเดินทางการบดบังของเสียงส่วนที่เสมือนได้ยิน

รูปที่ 8.32 เป็นกราฟที่แสดงถึงส่วนขีดเริ่มของความถี่ชุดใหม่อันเป็นผลมาจากอินพุทที่เราป้อนเข้าไป

รูปที่ 8.33 เป็นการแสดง minimum masking threshold โดยดูเป็นสับแบนด์

รูปที่ 8.34 เป็นอัตราส่วนของพลังงานของสัญญาณเสียงเทียบกับขีดเริ่มการบดบัง โดยดูเป็นสับแบนด์

ภาคผนวก ก

รายละเอียดของชุดคำสั่งของชิป DSP 56009

(Instruction Set Detail)

Instruction Set Summary (Sheet 1 of 7)

Mnemonic	Syntax	Parallel Moves	Instruction on Program Words	Osc. Clock Cycles	Status Request Bits:							
					S	L	E	U	N	Z	V	C
ABS	D	(parallel move)	1 + mv	2 + mv	*	*	*	*	*	*	*	—
ADC	S,D	(parallel move)	1 + mv	2 + mv	*	*	*	*	*	*	*	*
ADD	S,D	(parallel move)	1 + mv	2 + mv	*	*	*	*	*	*	*	*
ADDL	S,D	(parallel move)	1 + mv	2 + mv	*	*	*	*	*	*	?	*
ADDR	S,D	(parallel move)	1 + mv	2 + mv	*	*	*	*	*	*	*	*
AND	S,D	(parallel move)	1 + mv	2 + mv	*	*	—	?	?	?	0	—
AND(I)	#xx,D		1	2	?	?	?	?	?	?	?	?
ASL	D	(parallel move)	1 + mv	2 + mv	*	*	*	*	*	*	?	?
ASR	D	(parallel move)	1 + mv	2 + mv	*	*	*	*	*	*	0	?
BCHG	#n,X:<aa>		1 + ea	4 + mvb	?	?	?	?	?	?	?	?
	#n,X:<pp>											
	#n,X:<ea>											
	#n,Y:<aa>											
	#n,Y:<pp>											
	#n,Y:<ea>											
	#n,D											
BCLR	#n,X:<aa>		1 + ea	4 + mvb	?	?	?	?	?	?	?	?
	#n,X:<pp>											
	#n,X:<ea>											
	#n,Y:<aa>											
	#n,Y:<pp>											
	#n,Y:<ea>											
	#n,D											
BSET	#n,X:<aa>		1 + ea	4 + mvb	?	?	?	?	?	?	?	?
	#n,X:<pp>											
	#n,X:<ea>											
	#n,Y:<aa>											
	#n,Y:<pp>											
	#n,Y:<ea>											
	#n,D											

— indicates that the bit is unaffected by the operation
 * indicates that the bit may be set according to the definition, depending on parallel move conditions
 ? indicates that the bit is set according to a special definition. See the instruction descriptions in Appendix A of the DSP56000 Family Manual (DSP56KFAMUMAD)
 0 indicates that the bit is cleared

เอกสารนี้เป็นเอกสารที่สงวนไว้สำหรับการใช้งานเพื่อการศึกษาเท่านั้น ไม่อนุญาตให้นำไปใช้ประโยชน์ด้านการค้า
 ไม่ว่ากรณีใดๆ ทั้งสิ้น อีกทั้งห้ามมิให้ตัดแปลงเนื้อหาและต้องอ้างอิงถึงเจ้าของเอกสารทุกครั้งที่มีการนำไปใช้

Instruction Set Summary (Sheet 2 of 7)

Mnemonic	Syntax	Parallel Moves	Instruction on Program Words	Osc. Clock Cycles	Status Request Bits:									
					S	L	E	U	N	Z	V	C		
BTST	#n,X:<aa>			1 + ea	4 + mvb	*	*							?
	#n,X:<pp>													
	#n,X:<ea>													
	#n,Y:<aa>													
	#n,Y:<pp>													
	#n,Y:<ea>													
	#n,D													
CLR	D	(parallel move)		1 + mv	2 + mv	*	*	?	?	?	?	?	?	—
CMP	S1,S2	(parallel move)		1 + mv	2 + mv	*	*	*	*	*	*	*	*	*
CMPM	S1,S2	(parallel move)		1 + mv	2 + mv	*	*	*	*	*	*	*	*	*
DEBUG				1	4									
DEBUGcc				1	4									
DEC	D			1	2	*	*	*	*	*	*	*	*	*
DIV	S,D			1	2	*	*					?	?	
DO	X:<ea>,expr			2	6 + mv	*	*							
	X:<aa>,expr													
	Y:<ea>,expr													
	Y:<aa>,expr													
	#xxx,expr													
	S,expr													
ENDDO				1	2									
EOR	S,D	(parallel move)		1 + mv	2 + mv	*	*			?	?	?	0	
ILLEGAL				1	8									
INC	D			1	2	*	*	*	*	*	*	*	*	*
Jcc	xxx			1 + ea	4 + jx									
JCLR	#n,X:<ea>,xxxx			2	6 + jx	*	*							
	#n,X:<aa>,xxxx													
	#n,X:<pp>,xxxx													
	#n,Y:<ea>,xxxx													
	#n,Y:<aa>,xxxx													
	#n,Y:<pp>,xxxx													
	#n,S,xxxx													

— indicates that the bit is unaffected by the operation
 * indicates that the bit may be set according to the definition, depending on parallel move conditions
 ? indicates that the bit is set according to a special definition. See the instruction descriptions in Appendix A of the DSP56000 Family Manual (DSP56KFAMUMAD)
 0 indicates that the bit is cleared

เอกสารนี้เป็นเอกสารที่สงวนไว้สำหรับการใช้งานเพื่อการศึกษาเท่านั้น ไม่อนุญาตให้นำไปใช้ประโยชน์ด้านการค้า
 ไม่ว่ากรณีใดๆ ทั้งสิ้น อีกทั้งห้ามมิให้ดัดแปลงเนื้อหาและต้องอ้างอิงถึงเจ้าของเอกสารทุกครั้งที่มีการนำไปใช้

Instruction Set Summary (Sheet 3 of 7)

Mnemonic	Syntax	Parallel Moves	Instruction Program Words	Osc. Clock Cycles	Status Request Bits:									
					S	L	E	U	N	Z	V	C		
JMP	xxxx			1 + ea	4 + jx									
	ea													
JScc	xxxx			1 + ea	4 + jx									
	ea													
JSCLR	#n,X:<ea>,xxxx			2	6 + jx	*	*							
	#n,X:<aa>,xxxx													
	#n,X:<pp>,xxxx													
	#n,Y:<ea>,xxxx													
	#n,Y:<aa>,xxxx													
	#n,Y:<pp>,xxxx													
	#n,S,xxxx													
JSET	#n,X:<ea>,xxxx			2	6 + jx	*	*							
	#n,X:<aa>,xxxx													
	#n,X:<pp>,xxxx													
	#n,Y:<ea>,xxxx													
	#n,Y:<aa>,xxxx													
	#n,Y:<pp>,xxxx													
	#n,S,xxxx													
JSR	xxx			1 + ea	4 + jx									
	ea													
JSSET	#n,X:<ea>,xxxx			2	6 + jx	*	*							
	#n,X:<aa>,xxxx													
	#n,X:<pp>,xxxx													
	#n,Y:<ea>,xxxx													
	#n,Y:<aa>,xxxx													
	#n,Y:<pp>,xxxx													
	#n,S,xxxx													
LSL	D	(parallel move)		1 + mv	2 + mv	*	*			?	?	0	?	
LSR	D	(parallel move)		1 + mv	2 + mv	*	*			?	?	0	?	
LUA	<ea>,D			1	4									
MAC	(±)S2,S1,D	(parallel move)		1 + mv	2 + mv	*	*	*	*	*	*	*	*	
	(±)S1,S2,D	(parallel move)												

— indicates that the bit is unaffected by the operation
 * indicates that the bit may be set according to the definition, depending on parallel move conditions
 ? indicates that the bit is set according to a special definition. See the instruction descriptions in Appendix A of the DSP56000 Family Manual (DSP56KFAMUMAD)
 0 indicates that the bit is cleared

เอกสารนี้เป็นเอกสารที่สงวนไว้สำหรับการใช้งานเพื่อการศึกษาเท่านั้น ไม่อนุญาตให้นำไปใช้ประโยชน์ด้านการค้า
 ไม่ว่ากรณีใดๆ ทั้งสิ้น อีกทั้งห้ามมิให้ดัดแปลงเนื้อหาและต้องอ้างอิงถึงเจ้าของเอกสารทุกครั้งที่มีการนำไปใช้

Instruction Set Summary (Sheet 4 of 7)

Mnemonic	Syntax	Parallel Moves	Instruction Program Words	Osc. Clock Cycles	Status Request Bits:													
					S	L	E	U	N	Z	V	C						
	(±)S,#n,D	(no parallel move)		1	2													
MACR	(±)S2,S1,D	(parallel move)		1 +mv	2 +mv	*	*	*	*	*	*	*	*	*	*	*	*	*
	(±)S1,S2,D	(parallel move)																
	(±)S,#n,D	(no parallel move)		1	2													
MOVE	S,D			1 +mv	2 +mv	*	*											
	No parallel data move	{.....}		mv	mv													
	Immediate short data move	{.....}#xx,D		mv	mv													
	Register to register data move	{.....}S,D		mv	mv	*	*											
	Address register update	{.....}ea		mv	mv													
	X memory data move	{.....}X:<ea>,D {.....}X:<aa>,D {.....}S,X:<ea> {.....}S,X:<aa> {.....}#xxxxxx,D		mv	mv	*	*											
	Register and X memory data move	{.....}X:<ea>,D1 S2,D2 {.....}S1,X:<ea> S2,D2 {.....}#xxxxxx,D1 S2,D2 {.....}A,X:<ea> X0,A {.....}B,X:<ea> X0,B		mv	mv	*	*											
	Y memory data move	{.....}Y:<ea>,D {.....}Y:<aa>,D {.....}S,Y:<ea> {.....}S,Y:<aa> {.....}#xxxxxx,D		mv	mv	*	*											
	Register and Y memory data move	{.....}S1,D1 Y:<ea>,D2 {.....}S1,D1 S2,Y:<ea> {.....}S1,D1 #xxxxxx,D2 {.....}Y0,A A,Y:<ea> {.....}Y0,B B,Y:<ea>		mv	mv	*	*											
<p>— indicates that the bit is unaffected by the operation * indicates that the bit may be set according to the definition, depending on parallel move conditions ? indicates that the bit is set according to a special definition. See the instruction descriptions in Appendix A of the DSP56000 Family Manual (DSP56KFAMUM/AD) 0 indicates that the bit is cleared</p>																		

เอกสารนี้เป็นเอกสารที่สงวนไว้สำหรับการใช้งานเพื่อการศึกษาเท่านั้น ไม่อนุญาตให้นำไปใช้ประโยชน์ด้านการค้า
 ไม่ว่ากรณีใดๆ ทั้งสิ้น อีกทั้งห้ามมิให้ตัดแปลงเนื้อหาและต้องอ้างอิงถึงเจ้าของเอกสารทุกครั้งที่มีการนำไปใช้

Instruction Set Summary (Sheet 5 of 7)

Mnemonic	Syntax	Parallel Moves	Instruction on Program Words	Osc. Clock Cycles	Status Request Bits:													
					S	L	E	U	N	Z	V	C						
Long memory data move		{.....}L:<ea>,D		mv	mv	*	*											
		{.....}L:<aa>,D																
		{.....}S,L:<ea>																
		{.....}S,L:<aa>																
XY memory data move		{.....}X:<eax>,D1	Y:<eay>,D2	mv	mv	*	*											
		{.....}X:<eax>,D1	S2,Y:<eay>															
		{.....}S1,X:<eax>	Y:<eay>,D2															
		{.....}S1,X:<eax>	S2,Y:<eay>															
MOVE(C)	X:<ea>,D1			1 + ea	2 + mvc	?	?	?	?	?	?	?	?	?	?	?	?	?
	X:<aa>,D1																	
	S1,X:<ea>																	
	S1,X:<aa>																	
	Y:<ea>,D1																	
	Y:<aa>,D1																	
	S1,Y:<ea>																	
	S1,Y:<aa>																	
	S1,D2																	
	S2,D1																	
	#xxxx,D1																	
	#xx,D1																	
MOVE(M)	P:<ea>,D			1 + ea	2 + mvm	?	?	?	?	?	?	?	?	?	?	?	?	?
	S,P:<ea>																	
	S,P:<aa>																	
	P:<aa>,D																	
MOVE(P)	X:<pp>,D			1 + ea	2 + mvp	?	?	?	?	?	?	?	?	?	?	?	?	?
	X:<pp>,X:<ea>																	
	X:<pp>,Y:<ea>																	
	X:<pp>,P:<ea>																	
	S,X:<pp>																	
	#xxxxx,X:<pp>																	
X:<ea>,X:<pp>																		

— Indicates that the bit is unaffected by the operation
 * indicates that the bit may be set according to the definition, depending on parallel move conditions
 ? indicates that the bit is set according to a special definition. See the instruction descriptions in Appendix A of the DSP56000 Family Manual (DSP56KFAMUM/AD)
 0 indicates that the bit is cleared

เอกสารนี้เป็นเอกสารที่สงวนไว้สำหรับการใช้งานเพื่อการศึกษาเท่านั้น ไม่อนุญาตให้นำไปใช้ประโยชน์ด้านการค้า
 ไม่ว่ากรณีใดๆ ทั้งสิ้น อีกทั้งห้ามมิให้ดัดแปลงเนื้อหาและต้องอ้างอิงถึงเจ้าของเอกสารทุกครั้งที่มีการนำไปใช้

Instruction Set Summary (Sheet 6 of 7)

Mnemonic	Syntax	Parallel Moves	Instruction on Program Words	Osc. Clock Cycles	Status Request Bits:															
					S	L	E	U	N	Z	V	C								
MOVE(P) (continued)	Y:<ea>,X:<pp>																			
	P:<ea>,X:<pp>																			
	Y:<pp>,D																			
	Y:<pp>,X:<ea>																			
	Y:<pp>,Y:<ea>																			
	Y:<pp>,P:<ea>																			
	S,Y:<pp>																			
	#xxxxxx,Y:<pp>																			
	X:<ea>,Y:<pp>																			
	Y:<ea>,Y:<pp>																			
P:<ea>,Y:<pp>																				
MPY	(±)S2,S1,D	(parallel move)		1 + mv	2 + mv	*	*	*	*	*	*	*	*	*	*	*	*	*	*	*
	(±)S1,S2,D	(parallel move)																		
	(±)S,#n,D	(no parallel move)		1	2															
MPYR	(±)S2,S1,D	(parallel move)		1 + mv	2 + mv	*	*	*	*	*	*	*	*	*	*	*	*	*	*	*
	(±)S1,S2,D	(parallel move)																		
	(±)S,#n,D	(no parallel move)		1	2															
NEG	D	(parallel move)		1 + mv	2 + mv	*	*	*	*	*	*	*	*	*	*	*	*	*	*	*
NOP				1	2															
NORM	Rn,D			1	2		*	*	*	*	*	*	*	*	*	*	*	*	*	*
NOT	D	(parallel move)		1 + mv	2 + mv	*	*													
OR	S,D	(parallel move)		1 + mv	2 + mv	*	*													
ORI	#xx,D			1	2	?	?	?	?	?	?	?	?	?	?	?	?	?	?	?
REP	X:<ea>			1	4 + mv	?	?													
	X:<aa>																			
	Y:<ea>																			
	Y:<aa>																			
	S																			
	#xxx																			
RESET				1	4															
RND	D	(parallel move)		1 + mv	2 + mv	*	*	*	*	*	*	*	*	*	*	*	*	*	*	*

— indicates that the bit is unaffected by the operation
 * indicates that the bit may be set according to the definition, depending on parallel move conditions
 ? indicates that the bit is set according to a special definition. See the instruction descriptions in Appendix A of the DSP56000 Family Manual (DSP56KFAMUMAD)
 0 indicates that the bit is cleared

เอกสารนี้เป็นเอกสารที่สงวนไว้สำหรับการใช้งานเพื่อการศึกษาเท่านั้น ไม่อนุญาตให้นำไปใช้ประโยชน์ด้านการค้า
 ไม่ว่ากรณีใดๆ ทั้งสิ้น อีกทั้งห้ามมิให้ดัดแปลงเนื้อหาและต้องอ้างอิงถึงเจ้าของเอกสารทุกครั้งที่มีการนำไปใช้

Instruction Set Summary (Sheet 7 of 7)

Mnemonic	Syntax	Parallel Moves	Instruction on Program Words	Osc. Clock Cycles	Status Request Bits:							
					S	L	E	U	N	Z	V	C
ROL	D	(parallel move)	1 + mv	2 + mv	*	*	—	—	?	?	0	?
ROR	D	(parallel move)	1 + mv	2 + mv	*	*	—	—	?	?	0	?
RTI			1	4 + rx	?	?	?	?	?	?	?	?
RTS			1	4 + rx	—	—	—	—	—	—	—	—
SBC	S,D	(parallel move)	1 + mv	2 + mv	*	*	*	*	*	*	*	*
STOP			1	n/a	—	—	—	—	—	—	—	—
SUB	S,D	(parallel move)	1 + mv	2 + mv	*	*	*	*	*	*	*	*
SUBL	S,D	(parallel move)	1 + mv	2 + mv	*	*	*	*	*	*	?	*
SUBR	S,D	(parallel move)	1 + mv	2 + mv	*	*	*	*	*	*	*	*
SWI			1	8	—	—	—	—	—	—	—	—
Tcc	S1,D1		1	2	—	—	—	—	—	—	—	—
	S1,D1 S2,D2				—	—	—	—	—	—	—	—
TFR	S,D	(parallel move)	1 + mv	2 + mv	*	*	—	—	—	—	—	—
TST	S	(parallel move)	1 + mv	2 + mv	*	*	*	*	*	*	0	—
WAIT			1	n/a	—	—	—	—	—	—	—	—

— indicates that the bit is unaffected by the operation
 * indicates that the bit may be set according to the definition, depending on parallel move conditions
 ? indicates that the bit is set according to a special definition. See the instruction descriptions in Appendix A of the DSP56000 Family Manual (DSP56KFAMUMAD)
 0 indicates that the bit is cleared

เอกสารนี้เป็นเอกสารที่สงวนไว้สำหรับการใช้งานเพื่อการศึกษาเท่านั้น ไม่อนุญาตให้นำไปใช้ประโยชน์ด้านการค้า
 ไม่ว่ากรณีใดๆ ทั้งสิ้น อีกทั้งห้ามมิให้ตัดแปลงเนื้อหาและต้องอ้างอิงถึงเจ้าของเอกสารทุกครั้งที่มีการนำไปใช้

ภาคผนวก ข

โปรแกรมการเข้ารหัสในส่วนของ Filterbank, FFT

Filterbank test routine

```
;include files : flttest.asm, sign10k.asm, mik.asm, coef.asm
```

```
;See detail:each_band.txt
```

```
include 'sign10k'
```

```
include 'mik'
```

```
include 'coef'
```

```
include 'scf'
```

```
include 'log10'
```

```
;
```

```
; Equate
```

```
;
```

```
main equ $40  
flag equ $1f  
frame equ 1  
subband equ 32  
subband_sample equ 12  
input_buffer equ 0  
vectorz_buffer equ $200  
yi_buffer equ $400  
output_buffer equ $600  
scale_buffer equ $800  
data equ $a00  
scale_factor_table equ $a00  
filter_coef equ $2000  
mik equ $2200  
zero equ 0  
yi_points equ 64  
points equ 512
```

```

pcoef          equ    $1
value_10       equ    0.625
value_20       equ    0.625
max_power_filter equ    $830
times          equ    25
minus          equ    $ffffff

```

```

lower_05      equ    2
neg           equ    3
unnorm        equ    4
extent        equ    5
limit         equ    6

```

```

org    y:pcoef
dc     0.9981958
dc     -0.3372223
dc     -0.6626105
dc     0.301029996

```

```

save ds 21

```

```

org p:$0

```

```

reset

```

```

jmp main

```

```

org p:main

```

```

;=====

```

```

; Main Program

```

```

;=====

```

เอกสารนี้เป็นเอกสารที่สงวนไว้สำหรับการใช้งานเพื่อการศึกษาเท่านั้น ไม่อนุญาตให้นำไปใช้ประโยชน์ด้านการค้า
ไม่ว่ากรณีใดๆ ทั้งสิ้น อีกทั้งห้ามมิให้ตัดแปลงเนื้อหาและต้องอ้างอิงถึงเจ้าของเอกสารทุกครั้งที่มีการนำไปใช้

```
move #zero,x0
move x0,y0
move #zero,r0
move r0,r1
```

```
rep #1024
move x0,x:(r0)+
```

;Pointer initialization

```
move #subband_sample,r2 ;Loop counter for Si calculation
move #subband,r3 ;R3 as memory pointer
; (for store calculated data)
move #output_buffer,r7 ;Lower boundary of MUDULO(K=9)
move #480,r5
move #data,r0
```

start

```
nop
do #subband_sample,_end_auto
nop
jsr get_new_input
```

;Polyphase filterbank

```
jsr vectorz
jsr partial_calc
;jsr filter_output
jsr shift
```

เอกสารนี้เป็นเอกสารที่สงวนไว้สำหรับการใช้งานเพื่อการศึกษาเท่านั้น ไม่อนุญาตให้นำไปใช้ประโยชน์ด้านการค้า
ไม่ว่ากรณีใดๆ ทั้งสิ้น อีกทั้งห้ามมิให้ตัดแปลงเนื้อหาและต้องอ้างอิงถึงเจ้าของเอกสารทุกครั้งที่มีการนำไปใช้

```

        jsset    #frame,y:flag,scale_factor
        nop
_end_auto
        jmp     start

```

```

;-----
;  Get input sample
;-----

```

```

get_new_input
    nop
    do      #subband,end_get
    move   x:(r0)+,x0
    move   x0,x:(r5)+
end_get
    move   #480,r5
    rts

```

```

;-----
;      Vector Z calculation
;-----

```

```

; Calculate vector Z from formular  $Z[i]=C[i]*X[511-i]$ 
; Coefficient's start at p:$2000

```

vectorz

```

    move   r0,y:save
    move   r1,y:save+1
    move   r2,y:save+2
    move   #511,r0           ;RO is raw data pointer
    move   #points,r1       ;R1 is vector Z stored
                                ;Memory pointer

```

```

    move   #filter_coef,r2   ;R2 is coefficient pointer

```

เอกสารนี้เป็นเอกสารที่สงวนไว้สำหรับการใช้งานเพื่อการศึกษาเท่านั้น ไม่อนุญาตให้นำไปใช้ประโยชน์ด้านการค้า
ไม่ว่ากรณีใดๆ ทั้งสิ้น อีกทั้งห้ามมิให้ตัดแปลงเนื้อหาและต้องอ้างอิงถึงเจ้าของเอกสารทุกครั้งที่มีการนำไปใช้

```

do      #points,end_z
move   x:(r0)-,x0
movem  p:(r2)+,x1
mpy    x0,x1,a

move   a,x:(r1)+      ;Move to X memory by auto limiting
end_z

move   y:save,r0
move   Y:save+1,r1
move   Y:save+2,r2
rts

;-----
;   Partial calculation
;-----

;For i=0 to 63 DO Yi=SUM[Z(i+64j)] for J=0 to 7
;For example:Y0=Z(0+0)+Z(0+64)+Z(0+128)+...+Z(0+448)
;   :Y1=Z(1+0)+Z(1+64)+Z(1+128)+...+Z(1+448)
;   :
;   :
;   :Y63=Z(63+0)+Z(63+64)+Z(63+128)+...+Z(63+448)
;We use : r0 as i(point at vector Z memory)
;   : r1 as 1024(store Yi)
;   : r2 as Update n0(add 64 to n0)
;   : n0 as 64j
;   : n2 as Constant to update r2(64)
;---Left channel---

```

```

partial_calc

```

```

move   r0,y:save

```

```

move   r1,y:save+1

```

เอกสารนี้เป็นเอกสารที่สงวนไว้สำหรับการใช้งานเพื่อการศึกษาเท่านั้น ไม่อนุญาตให้นำไปใช้ประโยชน์ด้านการค้า
ไม่ว่ากรณีใดๆ ทั้งสิ้น อีกทั้งห้ามมิให้ดัดแปลงเนื้อหาและต้องอ้างอิงถึงเจ้าของเอกสารทุกครั้งที่มีการนำไปใช้

```

move r2,y:save+2
move n0,y:save+8
move n2,y:save+10

move #points,r0
move #zero,n0
move n0,r2
move #64,n2
clr a #yi_buffer,r1

do #yi_points,end_partial
nop
do #8,yil
move x:(r0+n0),b
add b,a
lua (r2)+n2,n0
move n0,r2
yil

move a,x:(r1)+ ;Save Yi into memory(start @1024)
clr a (r0)+ ;Point at next vector Z
move #zero,r2 ;Clear update register
move r2,n0 ;Clear offset register

end_partial

move y:save,r0
move y:save+1,r1
move y:save+2,r2
move y:save+8,n0
move y:save+10,n2

```

rts

เอกสารนี้เป็นเอกสารที่สงวนไว้สำหรับการใช้งานเพื่อการศึกษาเท่านั้น ไม่อนุญาตให้นำไปใช้ประโยชน์ด้านการค้า
ไม่ว่ากรณีใดๆ ทั้งสิ้น อีกทั้งห้ามมิให้ดัดแปลงเนื้อหาและต้องอ้างอิงถึงเจ้าของเอกสารทุกครั้งที่มีการนำไปใช้

```

;-----
; Calculate 32 sample by matrixing
;-----
;For i=0 to 31 do Si=SUM[Mik*Yk] for K=0 to 63
;Mik=cos[(2*i+1)(k-16)Pi/64]
;Example:S0=M(0,0)*Y(0)+M(0,1)*Y(1)+...+M(0,63)*Y(63)
;      S1=M(1,0)*Y(0)+M(1,1)*Y(1)+...+M(1,63)*Y(63)
;
;      :
;      S31=M(31,0)*Y(0)+M(31,1)*Y(1)+...+M(31,63)*Y(63)
;Each Si is a result of each subband(S0 for subband 0,...,S31 for subband 31)
;Use look up table(Mik)start at address $2200 in program memory.
;      We use : r0 as table pointer
;
;      : r1 as Yi pointer
;
;      : r2 as Countdown loop
;
;      : r7 as Result(Si)pointer
;
;      : n7 as Offset for store data
;
;      : m7 as Modulo size(384)
filter_output
    move    r0,y:save
    move    r1,y:save+1
    move    #mik,r0
    move    #yi_buffer,r1
    move    #subband_sample,n7
    move    #383,m7          ;Modulo size=384

    do     #subband,end_keep_si
    clr    a
    do     #yi_points,end_get_si
    move   x:(r1)+,x1      ;Get Yi from memory
    movem p:(r0)+,x0

```

เอกสารนี้เป็นเอกสารที่สงวนไว้สำหรับการใช้งานเพื่อการศึกษาเท่านั้น ไม่อนุญาตให้นำไปใช้ประโยชน์ด้านการค้า
ไม่ว่ากรณีใดๆ ทั้งสิ้น อีกทั้งห้ามมิให้ดัดแปลงเนื้อหาและต้องอ้างอิงถึงเจ้าของเอกสารทุกครั้งที่มีการนำไปใช้

```

mac    x0,x1,a
end_get_si          ;Get one of Si value

```

```

move   a,x:(r7)+n7 ;Store data in buffer
move   #yi_buffer,r1 ;Point at Y0 again

```

```
end_keep_si
```

```

abs   a   (r7)+
clr   a   (r2)- ;Countdown loop
move  r2,y0
cmp   y0,a

```

```
;If R2=0 then jump to subroutine 'frame_full'
```

```
;else return to main program.
```

```

jseq   frame_full
move   y:save,r0
move   y:save+1,r1
rts

```

```

;-----
;Subroutine for moving data of subband to memory
;-----

```

```
frame_full
```

```

move   #output_buffer,r4
do     #subband_sample,end_collect
move   x:(r4)+,x0
move   x0,y:(r3)+

```

```
end_collect
```

```

move   #subband_sample,r2
move   #output_buffer,r7
bset   #frame,y:flag

```

```
rts
```

;-----
; Start shift old data by X[i]=X[i-32]for i=32 to 511

;-----
;For example:move X[511] to X[479]and then,put new data into X[511].

shift

```
    move    r0,y:save
    move    r1,y:save+1
    move    #zero,r0                ;Destination pointer
    move    #subband,r1            ;Source pointer

    do      #480,end1
    move    x:(r1)+,x0              ;Move X data
    move    x0,x:(r0)+
end1
    move    y:save,r0
    move    y:save+1,r1
    rts
```

;At the end of this subroutine,
;we're ready to receive new 32 input sample.

scale_factor

```
    bclr   #frame,y:flag
    move   r0,y:save
    move   r1,y:save+1
    move   r2,y:save+2
    move   r3,y:save+3
    move   r4,y:save+4
    move   r5,y:save+5
```

```
    move   #output_buffer,r5
```

```
    move   r5,r1
```

เอกสารนี้เป็นเอกสารที่สงวนไว้สำหรับการใช้งานเพื่อการศึกษาเท่านั้น ไม่อนุญาตให้นำไปใช้ประโยชน์ด้านการค้า
ไม่ว่ากรณีใดๆ ทั้งสิ้น อีกทั้งห้ามมิให้ตัดแปลงเนื้อหาและต้องอ้างอิงถึงเจ้าของเอกสารทุกครั้งที่มีการนำไปใช้

```

move    #scale_buffer,r2
move    #scale_factor_table,r3
move    #max_power_filter,r4

do      #subband,end_max
move    x:(r5)+,a

do      #l1,end_compare
move    x:(r5)+,x0
cmpm   x0,a
jpl     no_change
move    x0,a
no_change
nop
end_compare

mcve   a,y:(r1)+
move   y:(r3)+,x1

do     #59,loop
move   x1,x0
cmpm   x1,a    y:(r3)+,xi

jpl     comp_scale
move   x0,x:(r2)+
enddo

```

```

comp_scale
    nop
loop

    move    x0,a          ;move scale factor to acc. a
    move    #value_10,b   ;value_10 = 0.625
    rep     #4
    asl     b              ;b=10

    rep     #15
    asl     a              ;multiply scale factor by 32,768
    sub     b,a
    jmi     mark_for_minus
    move    r1,y:save+9
    move    r2,y:save+10

log10a    pcoef

    move    y:save+9,r1
    move    y:save+10,r2

    move    #value_20,y1   ;value_20 = 0.625
    move    #1,r0

    bclr   #limit,sr
    move    a,x0           ;log10(a)>=1?
    jlc    skipa
    rep     #times
    norm   r0,a

```

เอกสารนี้เป็นเอกสารที่สงวนไว้สำหรับการใช้งานเพื่อการศึกษาเท่านั้น ไม่อนุญาตให้นำไปใช้ประโยชน์ด้านการค้า
ไม่ว่ากรณีใดๆ ทั้งสิ้น อีกทั้งห้ามมิให้ตัดแปลงเนื้อหาและต้องอ้างอิงถึงเจ้าของเอกสารทุกครั้งที่มีการนำไปใช้

```

skipa
    move    a,x0
    mpy    x0,y1,a
    rep    #5
    asl    a            ;multiply a by 20

```

```

    bclr   #limit,sr
    move   a,x0            ;20*log10(a)>=1?
    jlc   skipb
    rep    #times
    norm   r0,a

```

```

skipb
    move   a,x:(r4) ;store max power of filter
    move   r0,y:(r4)+
    jmp    continu

```

```

mark_for_minus
    move   #minus,y0
    move   y0,x:(r4)+

```

```

continu
    move   #scale_factor_table,r3

```

```

end_max
    move   y:save,r0
    movc   y:save+1,r1
    move   y:save+2,r2
    move   y:save+3,r3
    move   y:save+4,r4
    move   y:save+5,r5

```

```

rts

```

เอกสารนี้เป็นเอกสารที่สงวนไว้สำหรับการใช้งานเพื่อการศึกษาเท่านั้น ไม่อนุญาตให้นำไปใช้ประโยชน์ด้านการค้า
ไม่ว่ากรณีใดๆ ทั้งสิ้น อีกทั้งห้ามมิให้ตัดแปลงเนื้อหาและต้องอ้างอิงถึงเจ้าของเอกสารทุกครั้งที่มีการนำไปใช้

FFT test routine

```
include 'sincos'  
include 'fft512'  
include 'exhann'  
include 'sign10k'  
include 'log10'
```

```
reset      equ 0  
start      equ $40  
points     equ 512  
coef       equ $2000  
pcoef      equ $1  
hann       equ $2a00  
input      equ $a00  
idata      equ $200  
odata      equ $400  
mean       equ $600  
power      equ $800  
max_value  equ $20  
offset_96db equ $40  
max_power  equ $45  
max_value_96db equ $50  
pi         equ 3.141592654  
freq       equ 2.0*pi/@cvf(points)  
fft_scale  equ 0.625  
times      equ 25  
value_150  equ 0.586661716  
val_20log512 equ 0.846646864
```

```
flag       equ $0
```

เอกสารนี้เป็นเอกสารที่สงวนไว้สำหรับการใช้งานเพื่อการศึกษาเท่านั้น ไม่อนุญาตให้นำไปใช้ประโยชน์ด้านการค้า
ไม่ว่ากรณีใดๆ ทั้งสิ้น อีกทั้งห้ามมิให้ดัดแปลงเนื้อหาและต้องอ้างอิงถึงเจ้าของเอกสารทุกครั้งที่มีการนำไปใช้

```

newloop    equ    0
lower_05   equ    2
first_pass equ    3
zero       equ    2
neg        equ    3
unnorm     equ    4
extent     equ    5
limit      equ    6

```

```

sincos points,coef ;table start at $2000 in
                    ;X and Y memory

```

```

org    y:pcoef
dc     0.9981958
dc     -0.3372223
dc     -0.6626105
dc     0.301029996

```

```

buffer ds    21

```

```

org    p:reset
jmp    start

```

```

org    p:start

```

```

move    #0,x0
move    #idata,r5 ;r0 updated by r5
move    r5,r0

```

```

rep    #64

```

```

move    x0,x:(r0)+ ;zero padding for first calc

```

เอกสารนี้เป็นเอกสารที่สงวนไว้สำหรับการใช้งานเพื่อการศึกษาเท่านั้น ไม่อนุญาตให้นำไปใช้ประโยชน์ด้านการค้า
ไม่ว่ากรณีใดๆ ทั้งสิ้น อีกทั้งห้ามมิให้ดัดแปลงเนื้อหาและต้องอ้างอิงถึงเจ้าของเอกสารทุกครั้งที่มีการนำไปใช้

```

bclr    #newloop,y:flag
move    #0x2a40,r1    ;hann's windows pointer(at 64th)
move    #input,r2    ;input data pointer
move    x0,r6
move    #128,n2
move    #64,n6

loop
nop
jclr    #newloop,y:flag,loop_1

move    #0,x0
do      #512,_clear
move    x0,x:(r0)
move    x0,y:(r0)+
_clear
move    r5,r0
do      #64,_last64
movem  p:(r1)+,y0
move    x:(r2)+,y1
mpy    y0,y1,a
move    a,x:(r0)+
_last64
nop

loop_1
nop

;hann windows
do      #83,end_normal1
movem  p:(r1)+,y0

```

เอกสารนี้เป็นเอกสารที่สงวนไว้สำหรับการใช้งานเพื่อการศึกษาเท่านั้น ไม่อนุญาตให้นำไปใช้ประโยชน์ด้านการค้า
ไม่ว่ากรณีใดๆ ทั้งสิ้น อีกทั้งห้ามมิให้ดัดแปลงเนื้อหาและต้องอ้างอิงถึงเจ้าของเอกสารทุกครั้งที่มีการนำไปใช้

```

        move    x:(r2)+,y1
        mpy    y0,y1,b
        move    b,x:(r0)+
end_normal1
        nop
        do     #219,end_ex
        move    x:(r2)+,y0
        move    y0,a
        movem   p:(r1)+,y1
        mac    y0,y1,a
        clr    a    a,x:(r0)+
end_ex
        nop
        do     #146,end_normal2
        movem   p:(r1)+,y0
        move    x:(r2)+,y1
        mpy    y0,y1,a
        move    a,x:(r0)+
end_normal2
        nop
        move    r0,y:buffer    ;save pointer
        move    r1,y:buffer+1
        move    r2,y:buffer+2
        move    r4,y:buffer+4
        move    r5,y:buffer+5
        move    n6,y:buffer+14

fft512  points,idata,odata,coef

```

;In this section,find the power of spectrum from FFT

;calculation : $pwr=10*\log_{10}[(x^2 +y^2)]-20*\log_{10}[512]$

เอกสารนี้เป็นเอกสารที่สงวนไว้สำหรับการใช้งานเพื่อการศึกษาเท่านั้น ไม่อนุญาตให้นำไปใช้ประโยชน์ด้านการค้า
ไม่ว่ากรณีใดๆ ทั้งสิ้น อีกทั้งห้ามมิให้ตัดแปลงเนื้อหาและต้องอ้างอิงถึงเจ้าของเอกสารทุกครั้งที่มีการนำไปใช้

```

move #cdata,r3
move #mean,r4
move #max_value,r5
move #ffff,m4
move m4,m5

do #32,end_max
bclr #first_pass,y:flag

do #8,end_max_subband

move x:(r3),x0
move y:(r3)+,y0
mpy x0,x0,a
mac y0,y0,a
move a,x:(r4)+ ;mean square calculation

move b0,y:buffer+16 ;store value in acc b
move b1,y:buffer+17
move b2,y:buffer+18

log10a pcoef

move y:buffer+16,b0 ;recall value in acc b
move y:buffer+17,b1
move y:buffer+18,b2

move #1,r0
bclr #limit,sr

move a,x0

```

```

jlc    skip4
rep    #20
norm   r0,a

skip4

move   a,x0
move   #fft_scale,x1    ;fft_scale = 0.625
mpy    x0,x1,a

rep    r0
asl    a
asr    a    ;restore value in a by multiply by 2(r0 times)

rep    #4    ;multiply by 16 (0.625*16=10)
asl    a    ;this value is a power

jset   #first_pass,y:flag,skip5
tfr    a,b
bset   #first_pass,y:flag

skip5

cmp    a,b
tmi    a,b

end_max_subband

move   #1,r0
bcir   #limit,sr
move   b,x0
jlc    do_nothing
rep    #times
norm   r0,b

```

เอกสารนี้เป็นเอกสารที่สงวนไว้สำหรับการใช้งานเพื่อการศึกษาเท่านั้น ไม่อนุญาตให้นำไปใช้ประโยชน์ด้านการค้า
ไม่ว่ากรณีใดๆ ทั้งสิ้น อีกทั้งห้ามมิให้ตัดแปลงเนื้อหาและต้องอ้างอิงถึงเจ้าของเอกสารทุกครั้งที่มีการนำไปใช้

```

do_nothing
    move    r0,y:(r5)
    move    b,x:(r5)+
end_max

```

```

    move    #max_value,r5
    nop
    move    x:(r5),a
    move    y:(r5)+,r0

rep    r0
asl    a
asr    a

do    #31,end_max_power
    move    x:(r5),b
    move    y:(r5)+,r0
rep    r0
asl    b
asr    b
bclr   #neg,sr
cmp    b,a
tmi    b,a
nop

end_max_power

    move    #offset_96db,r4
    move    #value_150,b    ;value_150=0.586661716.
rep    #8

```

```

asl    b    ;0.586661716*2^8=150.1853992

```

เอกสารนี้เป็นเอกสารที่สงวนไว้สำหรับการใช้งานเพื่อการศึกษาเท่านั้น ไม่อนุญาตให้นำไปใช้ประโยชน์ด้านการค้า
ไม่ว่ากรณีใดๆ ทั้งสิ้น อีกทั้งห้ามมิให้ตัดแปลงเนื้อหาและต้องอ้างอิงถึงเจ้าของเอกสารทุกครั้งที่มีการนำไปใช้

```

sub    a,b
move  b0,x:(r4)+
move  b1,x:(r4)+
move  b2,x:(r4)    ;store 150.1853992-(max power of 32 subband)

```

```

move  #max_power,r5
move  #1,r0
bclr  #limit,sr
move  a,x0
jlc   skip6
rep   #times
norm  r0,a
skip6
move  a,x:(r5)
move  r0,y:(r5)

move  #val_20log512,a
rep   #6
asl   a    ; a = 20*log10(512) = 54.1853992

sub   a,b    ; b = 150.1853992-(max power of 32 subband)-20*log10(512)

move  #max_value,r5
move  #max_value_96db,r4

do    #32,end_offset_96db
move  x:(r5),a
move  y:(r5)+,r0
rep   r0
asl   a

```

เอกสารนี้เป็นเอกสารที่สงวนไว้สำหรับการใช้งานเพื่อการศึกษาเท่านั้น ไม่อนุญาตให้นำไปใช้ประโยชน์ด้านการค้า
ไม่ว่ากรณีใดๆ ทั้งสิ้น อีกทั้งห้ามมิให้ดัดแปลงเนื้อหาและต้องอ้างอิงถึงเจ้าของเอกสารทุกครั้งที่มีการนำไปใช้

```

asr    a
add    b,a

move   #1,r1
bclr   #limit,sr
move   a,x0
jlc    skip7
rep    #times
norm   r1,a
skip7
move   a,x:(r4)
move   r1,y:(r4)+
end_offset_96db
move   y:buffer+14,n6 ;load pointer
move   y:buffer+5,r5
move   y:buffer+4,r4
move   y:buffer+2,r2
move   y:buffer+1,r1
move   y:buffer,r0

move   (r2)-n2      ;decrease value in register r2 by 128
move   r5,r0        ;set pointer to get last 64
                        ;sample of n-1 th frame
move   #$2a00,r1    ;and windowing
bset   #newloop,y:flag

jmp    loop

```

เอกสารนี้เป็นเอกสารที่สงวนไว้สำหรับการใช้งานเพื่อการศึกษาเท่านั้น ไม่อนุญาตให้นำไปใช้ประโยชน์ด้านการค้า
ไม่ว่ากรณีใดๆ ทั้งสิ้น อีกทั้งห้ามมิให้ดัดแปลงเนื้อหาและต้องอ้างอิงถึงเจ้าของเอกสารทุกครั้งที่มีการนำไปใช้

บรรณานุกรม

1. Davis Yen Pan, "Digital Audio Compression", Digital Technical Journal Vol. 5 No. 2, Spring 1993
2. A. Oppenheim and Schafer, *Discrete Time Signal Processing* (Englewood Cliffs, NJ: Prentice Hall, 1989)
3. K. Pohlman, *Principles of Digital Audio* (Indianapolis, IN: Howard W. Sams and Co., 1989)
4. Motorola Inc., *DSP56000/DSP56001 Digital Signal Processor User's Manual*
5. Motorola Inc., *DSP56000 Digital Signal Processor Family Manual*
6. Motorola Inc., *DSP56009 Digital Signal Processor User's Manual*
7. Motorola Inc., *DSP56009EVM User's Manual*
8. John Lane and Garth Hillman, *Implementing IIR / FIR Filters with Motorola's DSP56000/DSP56001*, Motorola Inc., 1991
9. Keshab K. Parhi, Takao Nishitani, *Digital Signal Processing for Multimedia*, Marcel Dekker, Inc. USA 1999
10. ศ. ดร. วัลลภ สุระกำพลธร, *การประมวลผลสัญญาณเชิงเลข*, สถาบันเทคโนโลยีพระจอมเกล้าเจ้าคุณทหารลาดกระบัง, ตุลาคม พ.ศ. 2533
11. ISO/IEC 11172-3 International Standard, 1993
12. Kent Salomonsen, Sten Sogaard, Eddie Proft Larsen, "Design and Implementation of an MPEG/Audio Layer III Bitstream Processor", Department of Communication Technology, Aalborg University, 1997
13. Emmanuel C. Ifeachor, Bernie W. Jervis, *Digital Signal Processing A Practical Approach*, Addison-Wesley Publishers Ltd., 1993

ใบแก้คำผิด

- รูปที่ 8.1ก-8.17 หน้า 79-90 แก้จาก “A=0.003 เป็น A=0.002”



เอกสารนี้เป็นเอกสารที่สงวนไว้สำหรับการใช้งานเพื่อการศึกษาเท่านั้น ไม่อนุญาตให้นำไปใช้ประโยชน์ด้านการค้า
ไม่ว่ากรณีใดๆ ทั้งสิ้น อีกทั้งห้ามมิให้ตัดแปลงเนื้อหาและต้องอ้างอิงถึงเจ้าของเอกสารทุกครั้งที่มีการนำไปใช้